

HPL  
G-e+e<sup>-</sup>  
280

VOLUMEN TERCERO

Ag.BC.42853



BC-D-671-31(C)

## ÍNDICE DEL VOLUMEN TERCERO

CAPÍTULO VII. CARACTERÍSTICAS DE LA DINÁMICA ATMOSFÉRICA SOBRE EXTREMADURA .....	1044
1.- FRECUENCIA ANUAL DE LOS TIPOS DE TIEMPO .....	1045
2.- VARIACIONES ESTACIONALES DE LOS TIPOS DE TIEMPO .....	1048
2.1. Los tiempos perturbados .....	1048
* 2.1.1. Características generales .....	1048
* 2.1.2. Frecuencia estacional y mensual de los tiempos ciclónicos .....	1051
* 2.1.3. Variedad y ritmo estacional de los tiempos ciclónicos .....	1054
2.2. Los tiempos anticiclónicos o estables .....	1057
* 2.2.1. Características generales .....	1057
* 2.2.2. Frecuencia estacional y mensual de los tiempos anticiclónicos .....	1059
* 2.2.3. Variedad y ritmo estacional de los tiempos anticiclónicos .....	1062
3.- DISTRIBUCIÓN MENSUAL DE LOS TIPOS DE TIEMPO SEGÚN LOS DISTINTOS TIPOS CICLÓNICOS Y ANTICICLÓNICOS .....	1065
CAPÍTULO VIII. CONCLUSIONES.....	1074

1.- SÍNTESIS DE LA DINÁMICA ESTACIONAL .....	1075
2.- PROPUESTA DE UNA REGIONALIZACIÓN CLIMÁTICA ..	1092
BIBLIOGRAFÍA .....	1112
APÉNDICE .....	1172
- ESTACIONES METEOROLÓGICAS CONSIDERADAS .....	1173
- TABLAS DE CLASIFICACIÓN DE LOS DÍAS SEGÚN SEAN CICLÓNICOS O ANTICICLÓNICOS .....	1395
- CALENDARIO DE TIPOS DE TIEMPO .....	1456

**CAPÍTULO VII**

**CARACTERÍSTICAS DE LA DINÁMICA  
ATMOSFÉRICA SOBRE EXTREMADURA**

La sucesión de los diferentes tipos de tiempo constituye la génesis fundamental del clima de nuestra región.

Del estudio detallado de los mismos se desprende el predominio de los tiempos anticiclónicos sobre los ciclónicos, las diferencias observadas en la frecuencia de aparición de los mismos a lo largo del año y la gran variedad de tipos existentes.

#### 1. FRECUENCIA ANUAL DE LOS TIPOS DE TIEMPO

De los 1826 días correspondientes a los cinco años del período estudiado (1965-70), 1168 días, es decir, el 64% de todos ellos ofrecen unas características anticiclónicas mientras que los 658 días restantes, presentan un carácter perturbado, con un porcentaje respecto al total del 36%.

De los 1826 días, el 75% (1379) ha sido clasificado objetivamente y el 24,5% restante subjetivamente. De los 1379 días el 66% son anticiclónicos (907 días) y el 34% ciclónicos (472).

Si comparamos estas frecuencias con las obtenidas en otras áreas geográficas de Europa e incluso de la propia Península Ibérica (1) a latitudes más septentrionales a la nuestra, observamos la disminución de los tiempos perturbados según nos desplazamos a zonas más meridionales, como consecuencia de situarnos cada vez más al sur de los westerlies. Así la Cuenca de París posee una media para el

período de 1926 a 1950 del 58% de tiempos ciclónicos, y Mounier señala para La Coruña un 50%.

Si tenemos en cuenta el estudio de Fernández García sobre el clima de la Meseta Meridional, sus cifras varían sensiblemente de los porcentajes obtenidos para Extremadura, él distingue un 39% de ciclónicos y un 61% de anticiclónicos, para un período más amplio que el nuestro. Estas diferencias pueden deberse a que en nuestra tipología de tipos de tiempo: anticiclónico y ciclónico, también han quedado englobados, en uno u otro, aquellos días con dispositivo isobárico poco definido, o días cuyo tipo de tiempo no responde a ninguno de los dos modelos establecidos. Estos días se han clasificado en función del tipo de tiempo "sensu stricto". El criterio que permite diferenciarlos es cuantitativo y vendría dado por el porcentaje de probabilidad de pertenencia al grupo. Mientras que el citado autor no clasifica a los días de transición o situaciones difíciles.

A latitudes más meridionales, en Argel, Pédelaborde y Delannoy (2) diferencian un 40% de tipos ciclónicos.

El año medio (quedando excluidos los años 1965 y 1970 por no tener el año completo) contaría con 232 días durante los cuales habría estabilidad frente a 133 en los cuales la inestabilidad sería el factor dominante.

Sin embargo teniendo en cuenta las variaciones interanuales como aparece en el cuadro nº 324 vemos que ningún año reune las características antes apuntadas. Hay años como 1966 y 1967 en que el carácter anticiclónico se refuerza, mientras que en otros: 1968 y 1969, se afianza el dominio ciclónico.

Existe, por lo tanto, una gran irregularidad interanual de los tipos de tiempo que tiene un fiel reflejo en el ritmo anual de las precipitaciones, cuya variabilidad, como

ya hemos visto, es una de las características del clima de la región.

Esta irregularidad es debida a la ubicación de Extremadura en una zona de transición entre la zona templada y la tropical, muy en contacto con las altas presiones subtropicales, quedando marginada de las principales vías de perturbaciones. Esta situación intermedia explicaría el constante y complejo trasiego de masas de aire de diferentes características sobre la superficie de nuestra región.

Cuadro nº 324

Distribución de los días ciclónicos y anticyclónicos  
durante el período 1965-70

Año	Días ciclónicos	Días anticyclónicos
1965	205	101
1966	245	120
1967	257	108
1968	223	143
1969	203	162
1970	35	24
Media	232	133
Desviación	24	24

El reducido número de días del año 1970 es debido a que sólo hemos considerado los dos primeros meses del año para completar el período de cinco inviernos.

## 2. VARIACIONES ESTACIONALES DE LOS TIPOS DE TIEMPO

El ritmo estacional de los tipos de tiempo está en función de los profundos cambios que experimenta la circulación de altura en esos períodos como consecuencia de las variaciones del campo térmico superficial por la influencia de los factores astronómicos.

### 2.1. LOS TIEMPOS PERTURBADOS O CICLÓNICOS

#### 2.1.1. Características generales

De los tiempos perturbados (cuadro nº 325, gráfico nº 63), más de la mitad (63,7%) son de procedencia atlántica, hallándose relacionados con la dirección más frecuente de la circulación general de las zonas templadas. De éstos, el más habitual (27,5%) es el de carácter templado que alcanza nuestra región con dirección W, seguido por el tiempo ciclónico ligado a un flujo cálido y húmedo del SW con el 20,7%, y desciende al 15,5% en el caso del ciclónico del NW ligado a un flujo del Atlántico norte.

FRECUENCIA DE LOS TIEMPOS PERTURBADOS

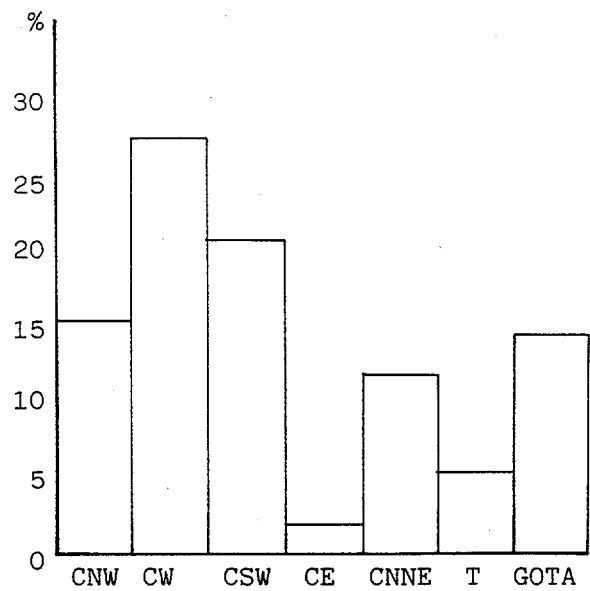


Gráfico nº 63

Cuadro nº 325

Frecuencia de cada tiempo ciclónico  
respecto al total del mismo tipo

Tipo	Total	%
CNW	102	15,5
CV	181	27,5
CSV	136	20,7
CE	28	4,2
CNNE	80	12,2
T	36	5,5
Gota	95	14,4
<b>Total</b>	<b>658</b>	<b>100,0</b>

El 36,3% de los días ciclónicos restantes se distribuye entre los tipos de gata y ciclónicos del NNE -con el 14,4% y el 12,2% respectivamente- y los del tormenta y ciclónicos del E, mucho menos frecuentes.

Sin embargo, algunos de los tipos pertenecientes a este segundo grupo, adquieren estacionalmente una mayor importancia, como sucede con el tiempo de gata en verano u otoño, con el de tormenta en verano o con el ciclónico del NNE en primavera.

### 2.1.2. Frecuencia estacional y mensual de los tiempos ciclónicos

El ritmo estacional (cuadro nº 326, grf. nº 64) se caracteriza por la presencia de un máximo destacado en primavera con 210 días ciclónicos que en términos relativos equivale al 31,9% del total y un mínimo claro en verano con 98 días y un porcentaje del 14,9%.

Cuadro nº 326

#### Frecuencia estacional de los tiempos ciclónicos

Estación	Total	%
Inviero	173	26,3
Primavera	210	31,9
Verano	98	14,9
Otoño	177	26,9
Total	658	100,0

El otoño y el invierno presentan casi idéntica frecuencia con un 26,9% el primero y un 26,3% el segundo. Sin embargo esta frecuencia no se corresponde con el reparto de precipitación, que, como ya hemos visto, se caracterizaba por un máximo principal, en todos los observatorios, en invierno, seguido mayoritariamente por uno secundario en el otoño.

Mensualmente (cuadro nº 327, grf. 65) el mínimo más acusado lo presenta julio, a partir del cual se inicia un incremento de días ciclónicos, lento en principio y más rápido a partir de octubre, hasta alcanzar un máximo

FRECUENCIA ESTACIONAL DE LOS TIEMPOS CICLONICOS

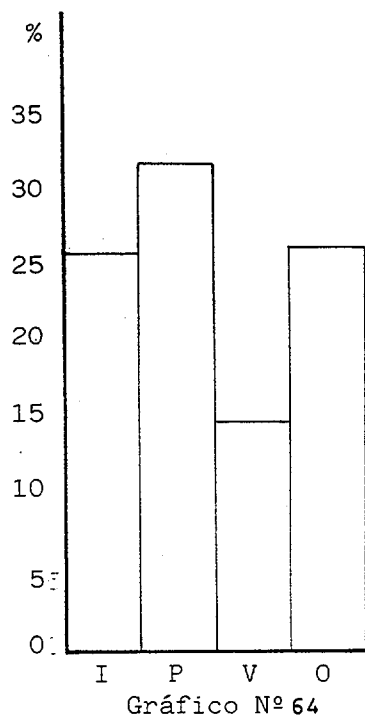


Gráfico N° 64

FRECUENCIA MENSUAL DE LOS TIEMPOS CICLONICOS

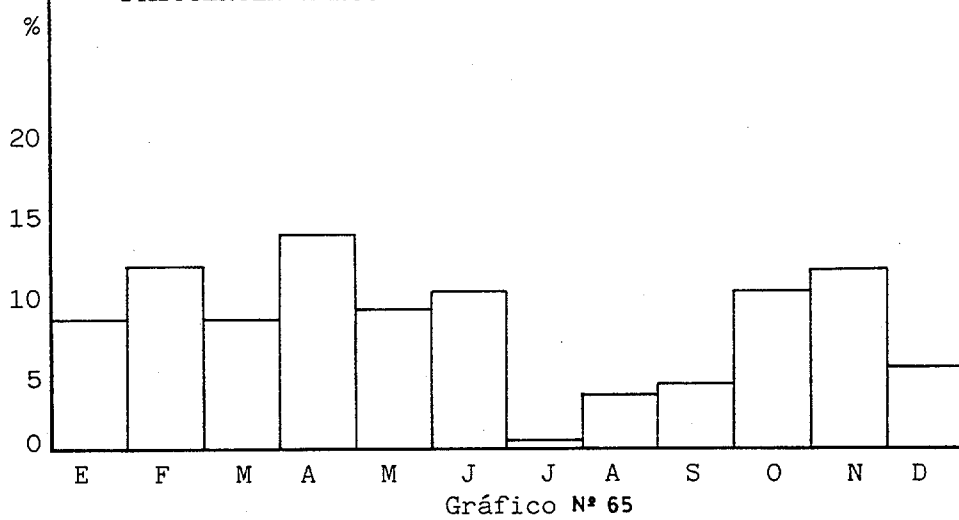


Gráfico N° 65

secundario en noviembre. Diciembre marca el mínimo invernal, comenzando, de nuevo, a aumentar la frecuencia en enero hasta conseguir otro máximo secundario, idéntico al de noviembre, en febrero. En marzo nuevo descenso para llegar al máximo principal de abril con el 14,3% de todo los tiempos ciclónicos. Junio tiene un comportamiento semejante a octubre.

Cuadro nº 327

Frecuencia mensual de los tiempos ciclónicos

Mes	Total	%
Diciembre	36	5,5
Enero	58	8,8
Febrero	79	12,0
Marzo	56	8,5
Abril	94	14,3
Mayo	60	9,1
Junio	69	10,5
Julio	4	0,6
Agosto	25	3,8
Septiembre	28	4,3
Octubre	70	10,6
Noviembre	79	12,0
<hr/>		
Anual	658	100,0

### 2.1.3. Variedad y ritmo estacional de los tiempos ciclónicos

Las variaciones de la circulación general a lo largo del año originan cambios tanto en su velocidad como en su posición que se manifiestan en el predominio de unos tipos de tiempo perturbados sobre otros.

Durante el invierno las altas presiones de Azores se han desplazado hacia latitudes más meridionales, siguiendo el aparente movimiento del sol. Además se acentúa el contraste térmico y dinámico entre las superficies continentales frías y las marítimas más tibias, entre el Atlántico y el Mediterráneo y entre la masa de aire tropical y la masa de aire polar.

Todo ello se traduce en un reforzamiento de la corriente en chorro que presenta entonces un elevado índice zonal, por lo que su posición es baja en sentido latitudinal, de ahí que sea durante esta estación cuando los tiempos perturbados del W y SW alcanzan su máxima frecuencia. (cuadro nº 328).

También se desencadenan irrupciones de aire polar marítimo o aire polar continental que tienen lugar como consecuencia de la acumulación de aire frío a fines del invierno en la cuenca ártica, aunque éstas aparecen con una frecuencia menor a la que se registra en primavera, pero mayor que la de otoño y sobre todo que la del verano.

Están ausentes los tiempos de tormenta, típicos de verano, sin embargo si hemos podido detectar formaciones de gotas frías invernales como consecuencia del choque entre las masas de aire cálidas y húmedas-procedentes del Mediterráneo o Atlántico, cercanas a las costas meridionales peninsulares- y las masas frías y secas que previamente han penetrado en la región generalmente trás un tiempo del NNE,

si bien su importancia pluviométrica es menor que en verano y otoño, debido al menor contraste entre la masa de aire superficial y la de altura.

Cuadro nº 328

**Frecuencia de los tipos de tiempo ciclónicos  
respecto de los días ciclónicos estacionales**

Tipo	Inviero	Primavera	Verano	Otoño
CNW	12,1	16,7	18,4	15,8
CW	36,4	27,1	9,2	29,9
CSW	32,4	19,5	1,0	21,5
CE	0,6	10,5	-	2,8
CNNE	12,7	17,6	2,0	10,7
T	-	-	34,7	1,1
GOTAS	5,8	9,0	34,7	18,1
Total	100,0	100,0	100,0	100,0

El verano es la época en que por una mayor incidencia de la insolación, los continentes se recalientan, mientras que los océanos se mantienen más frescos, por su mayor inercia térmica y por su capacidad de conducción de la energía calorífica. Lo cual lleva a un debilitamiento de la circulación zonal que queda relegada a las latitudes más septentrionales y a una elevación en latitud de las altas presiones subtropicales, lo que explica el escaso porcentaje de los tiempos ciclónicos estivales (14,9%).

Sin embargo el tiempo perturbado hace acto de presencia esporádicamente y se debe fundamentalmente a

procesos que tienen lugar en altura y no en superficie. Temporalmente el aire cálido subtropical es sustituido por transgresiones frías en altura, bien en forma de gota fría o de vanguardia. Cuando estas masas frías se trasladan por nuestras latitudes en esta época del año, se produce tal contraste térmico vertical que da lugar a una fuerte inestabilidad termodinámica que se traduce en precipitaciones de gran intensidad horaria y abundante aparato eléctrico. En muchas ocasiones se desencadenan tormentas con gran aparato eléctrico y escasas precipitaciones, que incluso llegan a evaporarse antes de su caída al suelo, debido al débil contenido en humedad de la masa de aire. Precisamente durante esta estación los tipos de tormenta y de gota representan 69,4% de todos los tiempos ciclónicos estivales.

Mientras que en primavera se manifiesta un aumento progresivo de la radiación sobre nuestras latitudes, las superficies continentales se recalientan mientras que los océanos muestran una mayor inercia térmica, lo que conduce a una disminución del gradiente de temperatura entre ambos, en otoño, se empieza realizar un cambio contrario al realizado en primavera. A partir de los últimos días de septiembre el balance radiactivo comienza a ser negativo. Los continentes inicián un proceso de enfriamiento y los océanos conservan gran parte del calor adquirido durante el período cálido. Como consecuencia de todo este proceso se produce un debilitamiento de la corriente en chorro, circulando con flujo lento, describiendo ondas de gran amplitud, dando lugar a un aumento de los tiempos perturbados de componente NNE en detrimento de los del W y SW que experimentan un descenso en relación al invierno, aunque siguen siendo predominantes. Igualmente se hace patente la influencia de los tiempos de levante en ambas estaciones, si bien con cifras más altas en primavera. Las coladas frías que ubican

su apéndice meridional en los aledaños de la Península, con frecuencia desembocan en embolsamientos en forma de gotas frías, produciéndose una mayor frecuencia de las mismas en el otoño, que es cuando presentan su máximo vigor, como consecuencia del calor almacenado durante el verano en las aguas mediterráneas, lo que determina la existencia de una masa de labilidad latente alta.

## 2.2. LOS TIEMPOS ANTICICLÓNICOS O ESTABLES

### 2.2.1. Características generales

En la distribución anual de los tiempos anticiclónicos (cuadro nº 329, grf. 66) destacan con el porcentaje más elevada los anticiclones cálidos con el 36,6% de todos los días anticiclónicos. A muy poca distancia, con el 36,4% encontramos los anticiclones templados, correspondiendo una frecuencia menor a los anticiclones fríos (27,8%).

Sin embargo si de los anticiclones cálidos excluimos los que corresponden a tiempos que únicamente aparecen en los meses estivales y alguno de ellos con una menor frecuencia en mayo y septiembre (AS y Ae), el porcentaje anual queda reducido al 16,3%, muy por detrás de los tiempos anticiclónicos del W que presentan una frecuencia del 19,7%, de los anticiclónicos del NW con el 18,1% y de los anticiclónicos mixtos o atlántico-europeos con el 16,7%.

Mientras que los tiempos anticiclónicos del NNE sólo representan un porcentaje del 9,7% del conjunto anual.

FRECUENCIA DE LOS TIEMPOS ANTICICLONICOS

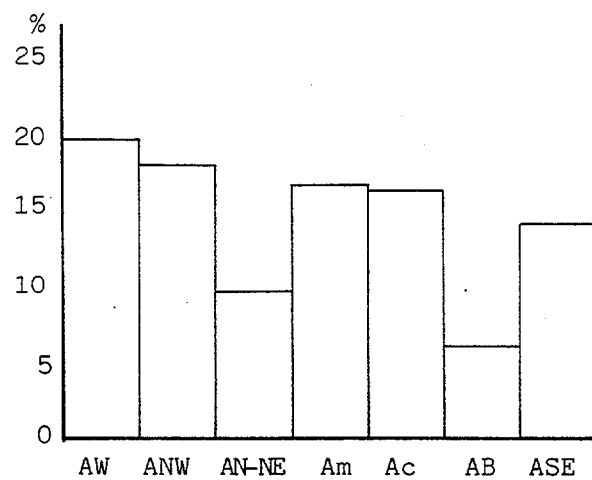


Gráfico N° 66

Cuadro nº 329

Frecuencia de los tiempos anticiclónicos  
respecto al total del mismo tipo

Tipo	Total	%
<b>AV</b>	230	19,7
<b>ANW</b>	211	18,1
<b>ANNE</b>	113	9,7
<b>Am</b>	190	16,7
<b>Ac</b>	186	16,3
<b>Ae</b>	73	6,2
<b>AS</b>	165	14,1
<b>Total</b>	1168	100,0

2.2.2. Frecuencia estacional y mensual  
de los tiempos anticiclónicos

En los tiempos anticiclónicos la estación estival muestra el máximo de situaciones estables con 362 días y un porcentaje del 31% del total. El mínimo estacional corresponde a la primavera con 250 días anticiclónicos y un porcentaje del 21,4% (cuadro nº 330, grf. 67).

El otoño y el invierno presentan idénticos porcentajes con el 23,8% que corresponde a un total de 278 días.

FRECUENCIA ESTACIONAL DE LOS TIEMPOS  
ANTICICLONICOS

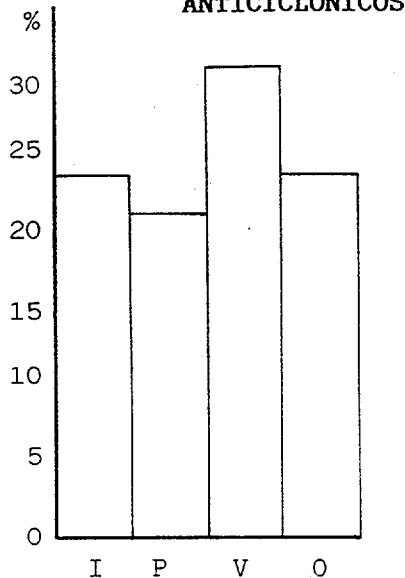


Gráfico N° 67

FRECUENCIA MENSUAL DE LOS TIEMPOS ANTICICLONICOS

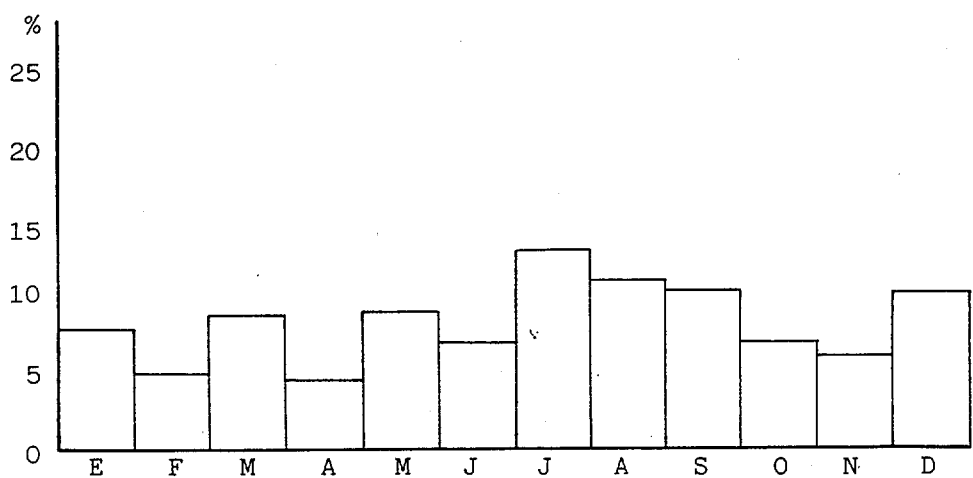


Gráfico N° 68

Cuadro nº 330

**Frecuencia estacional de los tiempos anticiclónicos**

Estación	Total	%
Inviero	278	23,8
Primavera	250	21,4
Verano	362	31,0
Otoño	278	23,8
Total	1168	100,0

La distribución mensual (cuadro nº 331, grf. 68) alcanza su punto máximo en el mes de julio con el 12,9%. A partir de éste se inicia el descenso, muy poco acusado en los meses de agosto y septiembre, que siguen presentando cifras elevadas: 11,1% y 10,4% respectivamente. La bajada es más brusca en octubre y noviembre hasta alcanzarse un máximo secundario en diciembre con el 10,2%. En enero comienza el descenso que culmina en el mínimo secundario de febrero con el 5,3%, aunque el punto más bajo se consigue en abril con el 4,8%.

Cuadro nº 331

Frecuencia mensual de los tiempos anticiclónicos

Mes	Total	%
Diciembre	119	10,2
Enero	97	8,3
Febrero	62	5,3
Marzo	99	8,5
Abril	56	4,8
Mayo	95	8,1
Junio	81	6,9
Julio	151	12,9
Agosto	130	11,1
Septiembre	122	10,4
Octubre	85	7,3
Noviembre	71	6,1
<hr/>		
Anual	1168	100,0

2.2.3. Variedad y ritmo estacional de los tiempos anticiclónicos

Es necesario llevar a cabo un estudio por estaciones de los tiempos anticiclónicos (cuadro nº 332), al igual que hemos hecho con los ciclónicos, pues su distribución anual está enmascarando la variedad y el contraste que aparece entre estaciones, como es el caso del invierno y del verano, durante las cuales los tiempos anticiclónicos, fríos en el primer caso y cálidos en el segundo, destacan claramente,

sobre los demás grupos. La primavera y el otoño son épocas de transición entre ambos extremos con la aparición en estos meses de tiempos típicamente invernales o estivales, y en ocasiones con cambios bruscos de temperatura, lo cual ha contribuido según Fernández García a desarrollar la idea de que en nuestra zona no existan estaciones intermedias (3).

Durante el invierno el 41,3% de los días anticiclónicos corresponde a tipos de tiempo fríos, bien de carácter oceánico o continental. Es ahora cuando las masas de aire polares y árticas alcanzan su mayor desarrollo y extensión, debido al enfriamiento que por causas cósmicas ya conocidas, sufre nuestro hemisferio, dando lugar cuando nos invaden a auténticos descensos de temperatura. Durante esta estación los tiempos anticiclónicos continentales fríos alcanzan su máxima frecuencia en relación al total de este tipo durante todo el año. En las demás estaciones las masas frías son menos activas y cuando nos afectan lo hacen más bien en régimen ciclónico que anticiclónico.

Los anticiclones cálidos son los menos frecuentes con el 12,2%, debido a las características térmicas y dinámicas de la estación, pero cuando aparecen siempre están ligados a la presencia de dorsales cálidas en altura.

Los anticiclones templados representan el 46,4%, destacando el tiempo anticiclónico del W (28,1%) sobre el tiempo anticiclónico mixto, en el que la continentalización desempeña un importante papel.

En el verano las condiciones térmicas y dinámicas difieren de las de invierno, la corriente en chorro se desplaza hacia el polo y sobre las áreas continentales los anticiclones fríos son sustituidos por bajas presiones térmicas, de ahí que el 64,9% de todos los días anticiclónicos, pertenece a los tiempos cálidos, de ellos el 47,8% corresponde a tipos ligados a la presencia de baja térmica o pantano barométrico, ligado o no a la baja presión

norteafricana. El elevado porcentaje de días anticiclónicos veraniegos es lo que va a dar una gran uniformidad al clima durante esta estación. El porcentaje restante corresponde a situaciones que ya encontramos en otras estaciones, alcanzando la mayor frecuencia los tiempos anticiclónicos del NW y del W con un 18,4% y 9,2%. Apenas aparecen los tiempos del NNE.

En primavera y otoño existe un predominio de los anticiclones templados sobre el resto, consiguiéndose unos porcentajes del 42,4% en la primera y del 37,8% en la segunda. Dentro de los mismos sobresale el tiempo anticiclónico atlántico-europeo o mixto por tener la mayor frecuencia de días anticiclónicos primaverales, con el 25,6%. También durante la primavera los anticiclones fríos (34,4%) mantienen su predominio sobre los cálidos (23,2%). Mientras que en otoño los tiempos anticiclónicos cálidos (35,3%), aventajan a los fríos (26,9%).

Cuadro nº 332

Frecuencia de los días anticiclónicos respecto  
de los días anticiclónicos estacionales

Tipo	Inviero	Primavera	Verano	Otoño
<b>AV</b>	28,1	16,8	15,2	19,8
<b>ANW</b>	24,8	22,4	9,7	18,3
<b>ANNE</b>	16,5	12,0	3,5	8,6
<b>Am</b>	18,3	25,6	6,9	18,0
<b>Ac</b>	12,2	9,2	17,1	24,5
<b>Ae</b>	-	-	20,2	-
<b>AS</b>	-	14,0	27,6	10,8
<b>Total</b>	100,0	100,0	100,0	100,0

### 3. DISTRIBUCIÓN MENSUAL DE LOS TIPOS DE TIEMPO SEGÚN LOS DISTINTOS TIPOS CICLÓNICOS Y ANTICICLÓNICOS

El estudiar conjuntamente la frecuencia mensual de días ciclónicos y anticiclónicos (cuadro nº 333, grf. 69) nos ayuda a conocer las variaciones de la circulación general sobre nuestra región y las peculiaridades que presenta en cada estación mensualmente.

En enero prevalecen los tiempos anticiclónicos (62,6%) sobre los ciclónicos (37,4%). Cuando la corriente del oeste circula a bajas latitudes existe un predominio de los tiempos ciclónicos o anticiclónicos del W, que representan en conjunto el 40% de los días del mes con una ligera ventaja a favor de los anticiclónicos. El tiempo es templado y húmedo.

Los flujos fríos del NW-N-NE nos invaden en un 23,9% con carácter anticiclónico y en un 5,1% con carácter ciclónico. A ellos se deben los días más fríos y secos del mes. El flujo del NE asociado a un tiempo templado representa el 7,7%. La llegada y el posterior aislamiento de las coladas frías hasta el SW de la Península desencadena el tiempo de gota que es muy poco representativo en el conjunto dinámico del mes (2,6%).

El tiempo anticiclónico cálido ligado a la presencia de dorsales en altura alcanza un porcentaje del 9%.

Febrero globalmente está caracterizado por un tiempo perturbado, aumenta la frecuencia de los tiempos ciclónicos del W (19,2%) y sobre todo del SW (21,3%) a la vez que la de los tiempos ciclónicos del NNE (7,1%) y de gota (3,6%).

Frente al 56% de días ciclónicos tenemos un 44% de días anticiclónicos, correspondiendo las cifras más elevadas a los anticiclones templados con el 23,4%, también se percibe un aumento de los anticiclones cálidos (10,6%).

Marzo inicia el cambio hacia la estación primaveral: aumentan los tipos de tiempo relacionados con una circulación de tipo meridiano, tanto en régimen ciclónico (8,4%) como anticiclónico (16,1%) y aparece un nuevo tipo que no había tenido significatividad durante la estación invernal, el ciclónico del E cuyo porcentaje respecto al total del mes es sólo del 1,9%. Como contrapartida existe una disminución de los tipos de tiempo en régimen zonal, tanto ciclónicos como anticiclónicos. El desplazamiento de la circulación zonal hacia las altas latitudes, permite la formación de grandes dorsales ligadas a una circulación de tipo submeridiano, que canalizan hacia nuestra región un flujo del NW en régimen anticiclónico (23,2%) que es el más sobresaliente del mes.

Abril es el mes que registra el mayor número de días ciclónicos del año, con el (62,7%) frente a un 37,3% de días anticiclónicos, luego es el mes más perturbado del año. Tras el ciclónico del W (17,3%), los tiempos que muestran una mayor significación están ligados a una circulación meridiana: el ciclónico del NNE con un 14,7%, e incluso a una circulación celular: tiempo de gotas que alcanza la cifra del 8,7%. El ciclónico de levante logra en este mes su máxima frecuencia. En cuanto a los anticiclónicos destaca sobre los demás el anticiclónico mixto con un 20,7%.

Mayo es un mes más anticiclónico (61,3%) que ciclónico (38,7%). Los escasos días ciclónicos se deben a un descenso en latitud de la circulación del W, en un 9% de los casos y a una circulación de tipo submeridiano en un 22,6%; el tiempo ciclónico del E todavía sigue teniendo importancia (5,2%). Los días anticiclónicos también muestran fluctuaciones de la circulación general, en un 12,3% de días la circulación del oeste tiene su eje al norte de nuestra región, encontrándonos bajo la influencia del anticiclón de las Azores; en otro 12,3% la masa de aire atlántica penetra

hacia el interior del continente y nos llega con un flujo del NE. Durante este mes se percibe un incremento de los anticiclones cálidos (7,7%) y de tiempos típicamente estivales (22,6%).

Junio es un mes de transición en que persisten rasgos de la estación precedente con los propiamente estivales. Los días anticiclónicos aventajan (54%) a los ciclónicos (46%). Dentro de los primeros sobresalen, por un lado, los anticiclones marítimos con un flujo procedente del W y NW (20,6%), por otro, los anticiclones continentales con un flujo del NE en un 9,3% de los días y con clara ventaja sobre los anteriores tenemos los anticiclones cálidos (24%), en los ya se nota la presencia de tipos de tiempo A<sub>E</sub> y AS.

Los días ciclónicos también son importantes en el mes de junio y están relacionados, la mayor parte (32,7%), con tiempos de gota y de tormenta, y en 12,6% con los ciclónicos del NW y W.

Julio es el mes menos perturbado del año, con un dominio absoluto de los tiempos anticiclónicos (97,4%) frente a los ciclónicos (2,6%). El 100% de los ciclónicos lo constituye el tiempo de tormenta. Los tiempos anticiclónicos dominantes sobre los demás son el AS y el A<sub>E</sub> relacionados con la formación de bajas presiones conectadas a la baja térmica norteafricana o bien formadas sobre el interior de la Península.

En agosto, al igual que en julio, prevalecen los tiempos anticiclónicos (83,9%) sobre los ciclónicos (16,1%). En cuanto a la variedad, los tiempos anticiclónicos presentan los mismos matices que en julio, predominan los anticiclones cálidos ligados a un flujo meridiano S-N, canalizado por la dorsal de la corriente de altura situada sobre nuestra región, afectándonos masas de aire tropicales continentales. También, aunque en menor medida, nos llegan masas de aire tropicales marítimas asociadas al tiempo

anticiclónico del W y masas de aire europeo recalentado con el tiempo anticiclónico mixto. Ocasionalmente pueden deslizarse hasta nuestra zona masas de aire frío de componente N, que ocasionan algún descenso térmico.

De los tiempos ciclónicos destaca sobre el resto, el tiempo de tormentas, no teniendo apenas trascendencia la formación de gotas frías, que queda prácticamente reservada al mes de junio. Ahora el ascenso hacia el norte de las altas presiones subtropicales, protege a nuestra región de las borrascas atlánticas, si bien excepcionalmente esta estabilidad se puede romper, por la proximidad de vaguadas de aire frío que se acercan por el Atlántico, que ocasionarán las citadas tormentas, o bien aunque con menos frecuencia, la presencia en algún día del tiempo ciclónico del NW y del W.

**Septiembre** tiene un comportamiento más anticiclónico (81,3%) que ciclónico (18,7%). Si bien dentro de los ciclónicos adquieren más importancia los tiempos ciclónicos del W (10%) y la aparición de nuevo de las gotas frías (2%). Los tiempos anticiclónicos más frecuentes son los cálidos (43,3%), y dentro de ellos, los AS representan el 19,3%. Los anticiclones templados tienen más importancia que durante el verano con un 32% de los días del mes.

**Octubre** se presenta más perturbado que septiembre, no obstante, son predominantes los tiempos anticiclónicos (54,8%) sobre los ciclónicos (45,2%). Si bien el tipo de tiempo más dominante es el ciclónico del SW en un 20,6% de los días del mes, también adquieren mucha importancia la formación de gotas frías (6,4%) como consecuencia de las invasiones de aire polar que llegan hasta el Mediterráneo o SW de la Península. Los tiempos anticiclónicos templados (28,4%) prevalecen sobre los cálidos (16,8%) y los anticiclones fríos empiezan a ganar importancia (9%).

En noviembre predominan los días ciclónicos (52,7%) sobre los anticiclónicos (47,3%). Si domina el tiempo ciclónico del W (14%), los temporales de lluvia son generales, y en algunos puntos inducen al máximo anual. Es el mes más afectado por el tiempo ciclónico del NW (13,3%). Las irrupciones de masas de aire frío son traídas por los tiempos ciclónicos del NNE (11,3%) que en muchas ocasiones desencadenan la formación de gotas de aire frío al quedarse aisladas de la circulación general (12,7%).

Existe una disminución de los anticiclones cálidos (4%) y templados (8,7%) frente a un aumento de los días anticiclónicos fríos (34,7%), aunque es más frecuente el flujo del NW (20,7%) que el del NNE (14%).

Diciembre ya es un mes netamente invernal con un segundo máximo de días anticiclónicos trás el máximo principal de julio, agosto y septiembre. Éstos representan el 76,8% frente al 23,2% de días ciclónicos. Éstos últimos están repartidos entre los tiempos ciclónicos más cálidos- W y SW (10,4%) - y los tiempos ciclónicos más fríos- NW (7%) y NNE (4,5%).

Se acentúa la tendencia iniciada ya en noviembre de aumento de los tiempos anticiclónicos fríos, que culmina en este mes de diciembre, donde los de componente NNE alcanzan la cifra del 15,4%, y los del NW llegan hasta el 25,8%. En ambos casos se originan irrupciones meridianas de aire polar continental y marítimo que hacen descender las temperaturas por debajo de los 0°. También existe un aumento de los tiempos anticiclónicos templados, tanto del anticiclónico del W con el 14,2%, como del anticiclónico mixto con el 18,1%, que es en este mes cuando logra su mayor porcentaje después del máximo de abril. Mientras que los cálidos son los menos frecuentes, sólo representan el 3,2% del mes.

Cuadro nº 333

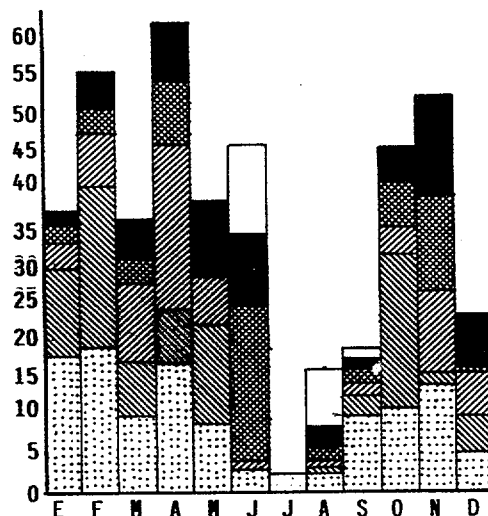
Distribución mensual de los tiempos  
anticiclónicos y ciclónicos

Tipos	Meses					
	E	F	M	A	M	Jn
CNW	1,9	5,0	5,2	8,0	9,7	9,3
CW	18,1	19,2	10,3	17,3	9,0	3,3
CSV	11,6	21,3	7,1	6,7	12,9	-
CE	-	-	1,9	7,3	5,2	-
CNE	3,2	7,1	8,4	14,7	1,3	0,7
T	-	-	-	-	-	12,0
GOTAS	2,6	3,6	3,2	8,7	0,6	20,7
AW	21,9	15,6	10,3	4,7	12,3	11,3
ANW	12,9	6,4	23,2	7,3	5,8	9,3
ANNE	11,0	3,6	16,1	2,7	0,6	4,0
Am	7,7	7,8	9,0	20,7	12,3	5,3
Ac	9,0	10,6	5,2	2,0	7,7	11,3
AS	-	-	-	-	22,6	10,7
As	-	-	-	-	-	2,0
Total	100,0	100,0	100,0	100,0	100,0	100,0

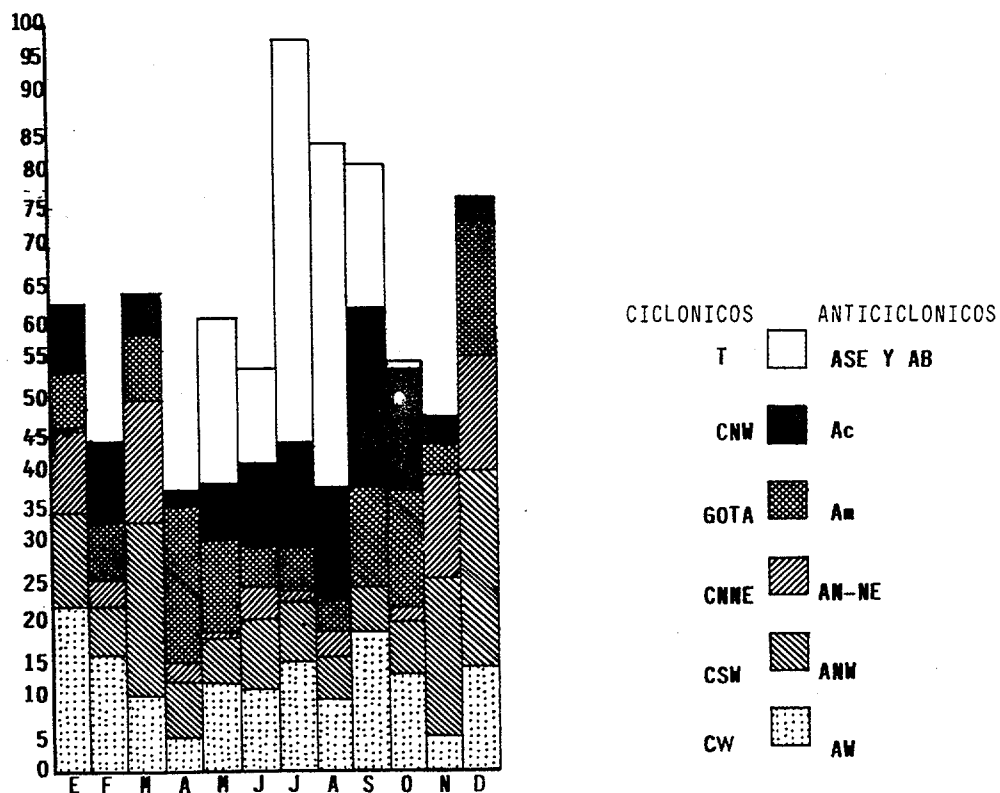
Cuadro nº 333

## Distribución mensual de los tiempos anticiclónicos y ciclónicos

DISTRIBUCION MENSUAL DE LOS TIPOS DE TIEMPO  
SEGUN LOS DISTINTOS TIEMPOS CICLONICOS



DISTRIBUCION MENSUAL DE LOS TIPOS DE TIEMPO  
SEGUN LOS DISTINTOS TIEMPOS ANTICICLONICOS



## NOTAS

(1).- PÉDÉLABORDE, P. : Le climat du bassin parisien. París, Genin, 1958, pág. 361. MOUNIER, J. : Les climats oceaniques des regions atlantiques de l'Espagne et du Portugal. París, Honoré Champion, 1979, pág. 534.

(2).- PÉDÉLABORDE, P. y DELANOY, H.: "Recherches sur les types de temps et le mecanisme de pluies en Algerie". Annales de Géographie, 1958, pág. 234.

(3).- FERNANDEZ GARCÍA, F. : El clima de la Meseta Meridional: los tipos de tiempo. U.A.M., Pág. 174.

**CAPÍTULO VIII**

**CONCLUSIONES**

## 1. SÍNTESIS DE LA DINÁMICA ESTACIONAL

### 1.1. EL INVIERNO

La estación invernal se caracteriza en conjunto por un predominio de los tiempos anticiclónicos (278) frente a los ciclónicos (173), lo que en términos relativos equivale al 61,6% y 38,4% respectivamente del total estacional.

La mayor participación a los tiempos anticiclónicos la proporciona el mes de diciembre, con un 76,8% de días anticiclónicos, seguido de enero con un 62,6%. Mientras que el mes de febrero refleja una situación inversa a los anteriores, mostrando el dominio de los tiempos ciclónicos sobre los anticiclónicos, 56% frente al 44% (cuadro nº 334).

Cuadro nº 334

#### Frecuencia de los tipos de tiempo durante el invierno

	Diciembre		Enero		Febrero		Invierno	
	núm. días	%	núm. días	%	núm. días	%	núm. días	%
Ciclónicos	36	23,2	58	37,4	79	56,0	173	38,4
Anticiclónicos	119	76,8	97	62,6	62	44,0	278	61,6
Total	155	100,0	155	100,0	141	100,0	451	100,0

El número de días clasificados objetivamente es de 330 de un total de 451, es decir, el 73,2%, los 121 días restantes (26,8%) han sido clasificados con la función de clasificación (7%) o subjetivamente (20%). De los 330, 218 son anticiclónicos (66,1%) y 112 ciclónicos (33,9%).

#### 1.1.1. TIEMPOS CICLÓNICOS

Del total de días ciclónicos, 100 se han clasificado objetivamente, 23 con la función de clasificación y 50 subjetivamente.

Cuadro nº 335

#### Frecuencia de los tiempos ciclónicos en relación al total del mismo tipo durante el invierno

Tipo	Nº de días	Porcentaje
CNW	21	12,1
CW	63	36,4
CSV	56	32,4
CE	1	0,6
CNNE	22	12,7
GOTAS	10	5,8
Total	173	100,0

Por tipos de tiempo, el porcentaje más elevado corresponde a los de origen atlántico (W, NW, SW) que

representan el el 80,9% del total de días ciclónicos invernales. De ellos el que alcanza un porcentaje más alto es el tiempo ciclónico del W con el 36,4%, seguido a corta distancia por el tiempo ciclónico del SW con el 32,4% y muy alejado de los anteriores tenemos el tiempo ciclónico fresco del NW con el 12,1% (cuadro nº 335).

El tiempo ciclónico del E sólo se ha presentado durante 1 día en el período estudiado (diciembre 1965-febrero 1970) lo que equivale al 0,6%.

Los tiempos ciclónicos del NNE ligados a coladas frías procedentes del N muestran una frecuencia del 12,7%, mayor que en el resto de las estaciones salvo en primavera, y son los responsables de los días más fríos y desapacibles del invierno.

También está presente durante el invierno la formación de gotas frías al quedarse aisladas, en las latitudes próximas a la Península, ramificaciones de la masa de aire fría procedente de las irrupciones de aire ártico o polar sobre la Península (5,8%), al ponerse en contacto la corriente fría polar y la corriente cálida subtropical.

#### 1.1.2. TIEMPOS ANTICICLÓNICOS

De los 278 días anticiclónicos, se han clasificado objetivamente 175 (63%) y los restantes días nos hemos visto obligados a asignarlos mediante la función de clasificación (15) o bien clasificarlos subjetivamente (88).

El primer lugar se sitúan los tiempos anticiclónicos templados con el 46,4%, se trata o bien de anticiclones marítimos que se corresponden con una dorsal cálida en altura, que originan unas temperaturas suaves como es el caso del tiempo anticiclónico del W con una frecuencia del

28,1%, o bien de anticiclones atlántico-europeos en los que la continentalización desempeña un importante papel (18,3%).

Le siguen los anticiclones fríos, tanto de origen oceánico como continental con el 41,3%. Ellos van ligados a masas de aire polar marítimo o polar continental con las que se registran las más bajas temperaturas.

La última posición, como es obvio en invierno, la ocupa el tiempo anticiclónico cálido, con un porcentaje del 12,2% (cuadro nº 336)

Cuadro nº 336

Frecuencia de los tiempos anticiclónicos en relación  
al total del mismo tipo durante el invierno

Tipo	Nº de días	Porcentaje
<b>AV</b>	78	28,1
<b>ANW</b>	69	24,8
<b>ANNE</b>	46	16,5
<b>Am</b>	51	18,3
<b>Ac</b>	34	12,2
<b>Total</b>	<b>278</b>	<b>100,0</b>

**1.2. PRIMAVERA**

Es la única estación del año que presenta una menor diferencia entre los tiempos anticiclónicos y ciclónicos, aunque a favor de los primeros. Ya hemos comentado en el capítulo anterior que el máximo de tiempos ciclónicos se

registraba en esta estación, pero no ocurría lo mismo con la lluvia recogida, pues los tiempos que aportan más precipitación, los ciclónicos del SW y W, alcanzan su máxima frecuencia en el invierno, seguido por el otoño, siendo estas estaciones las más favorecidas en cuanto a cantidad de precipitación. Frente al 54,4% de días estables (250) existe un 45,6% de días perturbados (210).

De los 460 días que constituyen el período estudiado, el 79,1% (364 días) han sido clasificados objetivamente, un 7% mediante la función de clasificación y el 14% restante subjetivamente.

En cuanto a la distribución por meses, abril es el único mes primaveral en el que los días ciclónicos (62,7%) aventajan a los anticiclónicos (37,3%), además es donde se concentra el máximo mensual del año, mientras que marzo y mayo participan más del carácter anticiclónico (cuadro nº 337) con un porcentaje que oscila entre el 99% y 95% respectivamente.

Cuadro nº 337

Frecuencia de los tipos de tiempo durante la primavera

	Marzo		Abril		Mayo		Primavera	
	núm. días	%	núm. días	%	núm. días	%	núm. días	%
Ciclónicos	56	36,1	94	62,7	60	38,7	210	45,6
Anticiclónicos	99	63,9	56	37,3	95	61,3	250	54,4
Total	155	100,0	150	100,0	155	100,0	460	100,0

### 1.2.1. TIEMPOS CICLÓNICOS

El total de días ciclónicos considerados es de 210, de los cuales 131 se han clasificado mediante la aplicación del Análisis Discriminante, 7 con la función de clasificación resultante y 77 subjetivamente.

Ocupan el primer lugar los tiempos ciclónicos de procedencia atlántica, al igual que en invierno, pero con una frecuencia menor que la de la anterior estación, un 63,3% de todos los tiempos perturbados primaverales (cuadro nº 338). De todos ellos sobresale el tiempo ciclónico ligado al flujo templado del W con un 27%, seguido del ciclónico del SW con un 19,5% aunque han disminuido su porcentaje respecto al invierno y ha habido un aumento del tiempo anticiclónico del NW que ha pasado al 16,7%.

Cuadro nº 338

Frecuencia de los tiempos ciclónicos en relación  
al total del mismo tipo durante la primavera

Tipo	Nº de días	Porcentaje
CNW	35	16,7
CW	56	27,1
CSV	41	19,5
CE	22	10,5
CNE	37	17,6
GOTAS	19	9,0
Total	210	100,0

El debilitamiento de la circulación zonal lleva consigo la formación de ondulaciones dentro de la misma, resaltando la importancia de la circulación meridiana. Esto hace que haya un aumento de los tiempos ciclónicos ligados a una circulación meridiana o submeridiana de la corriente de altura. El conjunto de éstos, formado por los ciclónicos del NW y NNE representa el 34,3% frente al 24,8% del invierno.

También es época propicia para la formación de gotas frías sobre el Mediterráneo occidental o entre las Azores y la propia Península. Estas gotas (9%) van unidas a un anticiclón de bloques en latitudes altas que por su borde sur y este canaliza aire frío que queda aislado de la circulación general, al restablecerse ésta en la parte norte del centro positivo.

Finalmente hay que destacar un tiempo ligado a la influencia de tipo mediterráneo, como es el tiempo ciclónico de levante que alcanza la cifra del 10,5% frente al 0,6% invernal.

#### 1.2.2. TIEMPOS ANTICICLÓNICOS

Destacan sobre los demás los tiempos anticiclónicos templados con una frecuencia del 42,4% de todos los anticiclones primaverales, en la cual participa mayoritariamente el tiempo anticiclónico mixto con un porcentaje del 25,6%, alcanzando su máximo mensual en abril. Sin embargo desciende a 16,8% el tiempo anticiclónico del W, mientras que en el invierno su porcentaje era del 28,1%.

Disminuye también el porcentaje de los anticiclones fríos, que como es lógico son más propios de la época más fría del año, sin embargo su frecuencia alcanza el 34,4%,

correspondiendo la mayor representación al tiempo anticiclónico del NW con el 24,8% (cuadro nº 339).

Cuadro nº 339

Frecuencia de los tiempos anticiclónicos en relación  
al total del mismo tipo durante la primavera

Tipo	Nº de días	Porcentaje
AV	42	16,8
ANW	56	22,4
ANNE	30	12,0
Am	64	25,6
Ac	23	9,2
AS	35	14,0
Total	250	100,0

Sin embargo, se amplia el número de días con tiempo anticiclónico cálido a un 23,2%, y a medida que la circulación general va adquiriendo una trayectoria más septentrional, aparece el típico tiempo de verano, hecho que en la primavera acontece durante el mes de mayo.

El total de días anticiclónicos es de 250 días, de los cuales sólamente se han clasificado objetivamente el 63% (163 días). Los 87 días restantes han sido clasificados mediante la función de clasificación (4) o subjetivamente (83).

### 1.3. VERANO

Es la estación del año menos perturbada en la que los días anticiclónicos son mucho más cuantiosos que los ciclónicos: 78,7% frente al 21,3%.

Cuadro nº 340

#### Frecuencia de los tipos de tiempo durante el verano

	Junio		Julio		Agosto		Verano	
	núm. días	%	núm. días	%	núm. días	%	núm. días	%
Ciclónicos	69	46,0	4	2,6	25	16,1	98	21,3
Anticiclónicos	81	54,0	151	97,4	130	83,9	362	78,7
Total	150	100,0	155	100,0	155	100,0	460	100,0

Los tres meses estivales participan del carácter anticiclónico de la estación, sin embargo son julio y agosto los que más acusan la estabilidad atmosférica, constituyendo los meses en que los tiempos anticiclónicos presentan su mayor frecuencia mensual, ya que en junio los días perturbados son todavía bastante frecuentes (46% frente al 54%).

De los 460 días que suponen los cinco veranos estudiados se han clasificado objetivamente el 75% de los días (344 días) mientras que el 25% restante (116 días) se

ha clasificado subjetivamente (1%) o mediante la función de clasificación (24%).

### 1.3.1 TIEMPOS CICLÓNICOS

De un total de 98 días ciclónicos durante los cinco veranos del período estudiado, el 61% se han clasificado objetivamente, y el 37% subjetivamente.

Más de la mitad de los tiempos ciclónicos del verano (69,4%) se deben a invasiones de aire frío en altura, bien en forma degota o de vaguada, sobre nuestras latitudes más meridionales, desencadenando una fuerte inestabilidad vertical, dando lugar a potentes nubes convectivas, con chubascos y tormentas, a veces importantes, y con un marcado carácter torrencial.

Cuadro nº 341

Frecuencia de los tiempos ciclónicos en relación al total del mismo tipo durante el verano

Tipo	Nº de días	Porcentaje
CNW	18	18,4
CW	9	9,2
CSV	1	1,0
CE	-	-,
CNNE	2	2,0
GOTAS	34	34,7
T	34	34,7
Total	98	100,0

La corriente del oeste se encuentra desplazada al norte del paralelo 45°, por lo que los tiempos perturbados característicos del resto de las estaciones son muy escasos, destacan el tiempo ciclónico del NW con un porcentaje del 18,4% y el del W con el 9,2% (cuadro nº 341).

### 1.3.2. TIEMPOS ANTICICLÓNICOS

Casi todos los tiempos estables estivales se derivan del ascenso en latitud de las altas presiones subtropicales, determinado a su vez por la disposición de la corriente de altura, que tiene su eje desplazado hacia las latitudes septentrionales, quedando nuestra región mayoritariamente (48%) bajo el dominio de masas de aire cálido.

De los restantes tipos de tiempo sobresale la frecuencia alcanzada por por el tiempo anticiclónico del NW (15,2%) y del W (9,7%) (cuadro nº 342).

Dentro de los anticiclones cálidos, el tiempo que muestra una mayor frecuencia es el AS (27,6%) formado cuando un amplio thalweg barométrico, apófisis de la depresión sahariana, afecta al sector meridional de la Península, donde numerosas veces se forma una baja de origen térmico con la cual se une. En estas circunstancias nos llega aire muy cálido y seco procedente del norte de África o modificado a su paso por el Mediterráneo o Atlántico.

Otro tipo de tiempo, que sólamente aparece en verano, es el ligado a la formación de una baja térmica sobre el interior de la Meseta como consecuencia de las altas temperaturas superficiales que alcanza la masa de aire establecida sobre ella o bien no aparece esa depresión térmica y en su lugar tenemos una situación de pantano barométrico. En ambos casos el tiempo está regido por la

presencia en altura de altas presiones subtropicales (20,2%) si bien estamos bajo el dominio de la masa de aire muy cálido continental peninsular.

El influjo directo del anticiclón de las Azores nos alcanza en un 17,1% de las veces.

Cuadro nº 342

Frecuencia de los tiempos antíclonicos en relación  
al total del mismo tipo durante el verano

Tipo	Nº de días	Porcentaje
<b>AV</b>	55	15,2
<b>ANW</b>	35	9,7
<b>ANNE</b>	13	3,5
<b>Am</b>	25	6,9
<b>Ac</b>	61	17,1
<b>AS</b>	100	27,6
<b>As</b>	73	20,2
<b>Total</b>	<b>362</b>	<b>100,0</b>

De los 362 días antíclonicos han sido clasificados con el Análisis Discriminante el 60% (217 días), el resto mediante la función de clasificación (45) y subjetivamente (100).

#### 1.4. OTOÑO

El otoño es una estación relativamente perturbada, en la que los días anticiclónicos (61,1%) son mucho más asiduos que los ciclónicos (38,9%).

Cuadro nº 343

#### Frecuencia de los tipos de tiempo durante el otoño

	Septiembre		Octubre		Noviembre		otoño	
	núm. días	%	núm. días	%	núm. días	%	núm. días	%
Ciclónicos	28	18,7	70	45,2	79	52,7	177	38,9
Anticiclónicos	122	81,3	85	54,8	71	47,3	278	61,1
Total	150	100,0	155	100,0	150	100,0	455	100,0

Por meses septiembre es el que presenta el carácter más anticiclónico, al continuar las condiciones de estabilidad del verano, ofreciendo un porcentaje de días anticiclónicos del 81,3% frente al 18,7% de días ciclónicos. En el mes de octubre continúa la ventaja aunque más reducida (54,8%) a favor de los anticiclónicos mientras que en el mes de noviembre se invierte el orden siendo superior la frecuencia de días ciclónicos (52,7%) que anticiclónicos (47,3%). Precisamente es en noviembre donde se concentra el máximo secundario de días ciclónicos tras el máximo principal de abril.

En esta estación el total de días tenidos en cuenta es de 455, de los cuales el 74,9% (341 días) han sido clasificados objetivamente mediante la aplicación del análisis discriminante. El 25,1% restante ha sido clasificado, en parte, mediante la función de clasificación (6%) y en parte subjetivamente (19%).

De los 341 clasificados con el análisis discriminante el 64% son anticiclónicos y el 36% ciclónicos.

#### 1.4.1. TIEMPOS CICLÓNICOS

Los días ciclónicos considerados son 177 que se reparten: 90 clasificados con Análisis Discriminante, 11 con función de clasificación y 72 subjetivamente.

Como consecuencia del descenso en latitud de los principales centros de acción: los anticiclones subtropicales, el jet stream, el frente polar y sus depresiones asociadas se desplazan hacia el ecuador. La corriente en chorro va adquiriendo mayor potencia de forma progresiva. Todas estas circunstancias se traducen en un aumento de los tiempos ciclónicos del W que ocupan el primer lugar con un porcentaje del 29,9%, seguidos de los ciclónicos del SW con el 21,5%. Del resto de los tiempos perturbados atlánticos, el ciclónico del NW presenta una frecuencia menor: 15,8% (cuadro nº 344).

Tras el paréntesis estival, se reanudan las coladas frías, aunque de forma tímida, llegando a alcanzar el 10,7% de los días otoñales. Con frecuencia el apéndice meridional de las mismas se ubica en las proximidades de la Península, dando lugar a la formación de gotas frías que son de gran importancia durante el otoño (18,1%), ocupan el tercer lugar de todos los tiempos ciclónicos otoñales.

El tiempo de tormenta típico de verano sólo obtiene el 1,1%, quedando restringido a dos días durante el mes de septiembre.

El flujo cálido de levante consigue una frecuencia del 2,8% y tiene lugar durante los meses de septiembre y octubre.

Cuadro nº 344

Frecuencia de los tiempos ciclónicos en relación  
al total del mismo tipo durante el otoño

Tipo	Nº de días	Porcentaje
CNW	28	15,8
CW	53	29,9
CSV	38	21,5
CE	5	2,8
CNE	19	10,7
GOTAS	32	18,1
T	2	1,1
Total	177	100,0

#### 1.4.2. TIEMPOS ANTICICLÓNICOS

Dentro de los tiempos anticiclónicos otoñales predominan, por un lado, tiempos típicamente estivales con otros propios de la estación invernal, lo cual está manifestando el carácter de transición del otoño.

En primer lugar tenemos los anticiclones templados, con un porcentaje inferior (37,8%), al del invierno (46,4%)

y al de la primavera (42,4%), repartido casi por igual entre el tiempo anticiclónico del W (19,8%) y el mixto (18%).

El segundo lugar, lo ocupan los anticiclones cálidos con un porcentaje de 35,3%, muy cercano al anterior grupo y bastante superior al alcanzado en primavera, estación durante la cual los anticiclones fríos tenían un mayor protagonismo. Sin embargo en otoño se manifiestan más los rasgos estivales con una mayor aparición de tiempos anticiclónicos cálidos y anticiclónicos del S, estos últimos suceden casi siempre en septiembre salvo un día que acontece en octubre (cuadro nº 345).

Finalmente los anticiclones fríos consiguen un 26,9%, inferior al de la primavera y el invierno, con un claro predominio de los anticiclones del NW (18,3%) sobre los del NNE (8,6%).

Cuadro nº 345

Frecuencia de los tiempos anticiclónicos en relación  
al total del mismo tipo durante el otoño

Tipo	Nº de días	Porcentaje
<b>AW</b>	55	19,8
<b>ANW</b>	51	18,3
<b>ANNE</b>	24	8,6
<b>Am</b>	50	18,0
<b>Ac</b>	68	24,5
<b>AS</b>	30	10,8
<b>Total</b>	<b>278</b>	<b>100,0</b>

De los 278 días anticiclónicos otoñales se han clasificado con el Análisis Discriminante el 60,8% (169 días), el resto: 109 días (39,2%) los hemos clasificado mediante la función de clasificación (18) o subjetivamente (91).

## 2. PROPUESTA DE UNA REGIONALIZACIÓN CLIMÁTICA

Concluimos con una regionalización climática de Extremadura, que proporcione una visión de síntesis de la caracterización climática realizada en la primera parte de nuestra investigación.

Como consecuencia de la presencia de los diferentes tipos de tiempo estudiados, de sus consecuencias, de su alternancia, sucesión y duración, resulta una diferente distribución espacial de los elementos climáticos que caracterizan las distintas comarcas de la región. El hecho de tratarse de una zona de transición entre un clima de características oceánicas y otro de influencia marcadamente mediterránea y el hecho de poseer una variada topografía, con zonas muy elevadas de distinta orientación, valles etc., lo que ocasiona importantes inversiones de temperatura en el invierno, lleva consigo el interés de delimitar subzonas o comarcas.

Esta síntesis la hemos llevado a cabo exclusivamente con observatorios termopluviométricos que presentaban un período de observación completo (20 años) aunque para el caso de las temperaturas hemos considerado también a los que poseían más de 15 años. A pesar de ello, de los 111 observatorios que constituyan la matriz de información inicial, sólamente han entrado en juego 23, el resto no han sido tenidos en cuenta al fallarles las observaciones termométricas. Sin embargo se han podido clasificar a posteriori con la función de clasificación. Las variables empleadas han sido 269 y hacen alusión a aspectos termopluviométricos (precipitación media mensual, anual y estacional, número de días de precipitación en los mismos períodos de tiempo, intensidad de las mismas, porcentaje de la precipitación máxima en 24 horas, temperatura media

mensual y anual, media de las máximas y media de las mínimas).

El método empleado ha sido el mismo que para clasificar los tipos de tiempo: el Análisis Discriminante. Por lo que el punto de partida ha consistido en el establecimiento dentro de la región extremeña, en función, por un lado, del comportamiento de las variables climáticas ya estudiadas, y por otro, en función, de una serie de factores geográficos como la altitud, topografía, distancia al mar, orientación etc., de tres conjuntos climáticos:

1º) Sector septentrional de la región, correspondiente a la vertiente meridional del Sistema Central.

2º) El espacio de transición entre la provincia de Cáceres y Badajoz, que comprende la prolongación de los Montes de Toledo a través de las Sierras de Guadalupe, Montánchez, San Pedro etc, así como también el espacio concerniente al límite meridional de Extremadura (estribaciones más septentrionales de Sierra Morena).

3º) Zonas de menor altitud ocupadas por los valles del Tajo, Guadiana y sus respectivos afluentes.

Esta clasificación empírica la sometimos a un proceso de objetivización mediante la aplicación del algoritmo discriminante. Con esta técnica se clasifica a los observatorios en un número dado de grupos de modo que podamos establecer la relevancia estadística de las hipótesis proporcionadas por el análisis de los grupos, determinar las principales causas de diferenciación entre éstos y confeccionar algún sistema mediante el cual los casos no identificados, o no considerados previamente,

puedan ser clasificados con una probabilidad de error mínima. Así pues, el objetivo fundamental es hallar una combinación lineal de variables originales, introducidas en el análisis, que proporcione la máxima separación entre dos o más grupos definidos a priori en una clasificación; dicha combinación es un función discriminante que maximiza la distancia de la media de las variables entre los grupos y minimiza la dispersión de los datos, produciendo, así, una discriminación óptima de elementos en una clasificación.

Para ver si los observatorios han sido bien clasificados por la función discriminante se parte de la hipótesis nula ( $H_0$ ), es decir, que no hay diferencias significativas entre las medias de los grupos. La verificación de  $H_0$  se realiza mediante la aplicación del test de F de Snedecor.

Una vez asumidos los supuestos básicos inherentes al modelo, la aplicación del Análisis Discriminante se plasma en la ejecución de tres etapas:

**1<sup>a</sup> Selección de las variables discriminantes.** Se trata de saber si, en función de las variables con las que hemos caracterizado a los grupos, éstos quedan suficientemente discriminados. Précisamente, la búsqueda de las variables discriminantes, con su respectiva capacidad de discriminación entre los grupos, constituye el primer objetivo parcial del análisis que, a su vez implica:

\* Obtención de los valores medios, desviaciones típicas y coeficientes de variación para todas las variables en los tres conjuntos establecidos (cuadro nº 346). De la interpretación de estos valores se deduce que el primer grupo es el que posee precipitaciones más abundantes, un mayor número de días de precipitación y una mayor intensidad de las mismas. A partir de este grupo,

constituído por observatorios de la vertiente meridional del Sistema Central, hay un degradación de las precipitaciones hacia el sur, estableciéndose una diferencia menor entre los dos conjuntos restantes, si bien la menor precipitación, menor número de días y menor intensidad corresponde a las estaciones ubicadas en los valles del Tajo y del Guadiana.

En la primera región el mes más lluvioso es noviembre seguido de marzo y enero, a la vez es el mes que más intensidad de precipitación registra (situándose a continuación enero y marzo) y el que recibe un mayor aporte pluviométrico en 24 horas mientras que el número más elevado de días de precipitación tiene lugar en marzo y enero.

En la segunda región es enero el que se anota la mayor precipitación, la mayor intensidad y la máxima precipitación en 24 horas, seguido de noviembre en los dos primeros casos y de marzo en el tercero. El mayor número de días de precipitación se concentra en febrero y marzo.

La tercera región presenta a noviembre como el mes que recibe un porcentaje más alto de lluvia, acompañado por febrero y enero. En cuanto a la intensidad destacan los meses otoñales de octubre y noviembre y en cuanto a la máxima en 24 horas noviembre y octubre. Enero es el mes que apunta el número más alto de días de precipitación.

Las tres conjuntos tienen en común el mostrar al invierno como la estación más lluviosa del año seguida del otoño. Mientras que el ritmo estacional de los días de precipitación tiene el máximo principal en invierno seguido de un máximo secundario en primavera.

Estos aportes pluviométricos son ocasionados fundamentalmente por los tiempos ciclónicos del W y SW que predominan sobre los demás en cualquier estación del año, salvo en verano, donde las vaguadas o embolsamientos de aire frío provocan el 76,9% de la precipitación caída en esa estación. En el otoño, este tiempo ocupa el segundo lugar

en cuanto al aporte de precipitación tras el tiempo ciclónico del SW, pasando a ocupar el tercer lugar el tiempo ciclónico del W.

En la distribución de las precipitaciones que proporciona cada tipo de tiempo es evidente la influencia del relieve, y, principalmente del factor orográfico. Las zonas montañosas de Sierra Morena, Montes de Toledo y sobre todo del Sistema Central actúan como importantes pantallas condensadoras de humedad, descargándose sobre ellas precipitaciones más abundantes que sobre las llanuras. Si bien esto ocurre con los tiempos ciclónicos del W y del SW al estar sus laderas a barlovento respecto a estos flujos perturbados, sin embargo no sucede lo mismo con los flujos del NW, N-NE y del E, que cuando llegan a la región, aparte de encontrarse a sotavento, han descargado ya toda su humedad, al tener un largo recorrido sobre el territorio peninsular.

Las variables térmicas tienen un comportamiento contrario a las pluviométricas, pues el factor altitud trae consigo que las temperaturas medias mensuales, medias de las máximas y medias de las mínimas alcancen unos valores más bajos en la primera región, mientras que las temperaturas más elevadas corresponden a las zonas más bajas, es decir a la región C.

Por otra parte las desigualdades entre los conjuntos B y C no son tan acusadas como en las precipitaciones, en general las diferencias son de 1º C a favor del segundo, salvo en el caso de las temperaturas medias de los meses invernales de diciembre, enero y febrero, temperatura media de agosto, temperatura media de las máximas de diciembre, enero y de agosto en que no se llega a 1º C. En las temperaturas medias de las mínimas los observatorios de los dos grupos tienen comportamientos parecidos y las

diferencias en algunos casos no existen como ocurre con los meses de diciembre y enero (cuadro nº 346 ).

Cuadro nº 346

**Características medias y desviaciones típicas  
de las regiones establecidas**

Variable	Región 1	Región 2	Región 3
PMEN	156,7±15,5	110,9± 19	80,0±15,4
PMFE	136,5±24,8	98,7± 14	80,2±18
PMMA	163,7± 7,1	96,9± 16,7	74,3±10,5
PMAB	98,8± 7,8	55,2± 9,6	48,4± 9,7
PMMY	88,9± 9,9	46,6± 4,2	40,7± 8,4
PMJU	47,0± 8,6	27,7± 4,1	27,9± 4,2
PMJL	8,2± 2,2	4,1± 1,5	4,2± 1,8
PMAG	13,9± 3,7	6,2± 2,2	4,9± 2,3
PMSP	62,7± 7,6	32,4± 5,5	33,3± 9,2
PMOC	120,1± 9,2	78,7± 9,9	64,9± 9,1
PMNO	172,8± 9,8	101,6± 15,2	82,2±21,4
PMDI	135,7±15,6	96,4± 20,4	75,0±12,6
PMAN	1205,2±47,7	755,1±105,8	608,2±94,3
TPPR	29,2± 0,9	26,4± 1,5	25,6± 3,7
TPVE	5,7± 1,1	5,1± 0,4	6,2± 0,7
TPOT	29,5± 1,8	28,2± 0,7	29,6± 2,1
TPIN	35,6± 0,9	40,4± 1,2	38,6± 2,2
NDEN	10,0± 0,7	8,9± 1,6	10,3± 2,2
NDFE	9,8± 1,4	9,9± 2,1	9,9± 1,4
NDMA	10,6± 0,8	9,5± 1,5	9,8± 1,1
NDAB	8,5± 1,3	6,7± 1,1	7,4± 0,9
NDMY	7,8± 1,3	5,8± 0,9	6,5± 1,0
NDJU	4,9± 0,9	3,4± 0,7	4,3± 1,4

Cuadro nº 346

**Características medias y desviaciones típicas  
de las regiones establecidas**

Variable	Región 1	Región 2	Región 3
NDJL	1,2± 0,4	0,5± 0,2	0,6± 0,2
NDAG	1,9± 0,5	0,9± 0,3	1,0± 0,5
NDSP	5,0± 1,0	3,4± 0,5	4,1± 1,1
NDOC	7,6± 1,1	7,2± 1,3	7,6± 1,0
NDNO	9,6± 0,5	8,9± 1,2	9,6± 1,4
NDDI	9,0± 1,5	8,6± 1,6	9,1± 1,1
NDAN	86,1± 8,8	74,0± 11,4	79,8± 9,2
NDPR	26,8± 3,1	22,1± 3,4	23,6± 2,7
NDVE	8,1± 1,5	4,8± 1,1	5,5± 0,9
NDOT	22,2± 2,4	19,5± 2,7	21,3± 3,0
NDIN	28,9± 2,7	27,5± 4,8	29,3± 3,2
IPEN	15,7± 1,6	13,2± 4,6	7,8± 1,4
IPFE	13,9± 1,7	10,6± 2,9	8,2± 1,7
IPMA	15,5± 0,8	10,6± 2,4	8,2± 1,1
IPAB	11,9± 2,3	8,3± 1,5	6,6± 1,5
IPMY	11,6± 1,2	8,2± 1,8	6,3± 1,3
IPJU	9,6± 0,4	8,5± 3,2	7,0± 2,2
IPJL	6,7± 1,2	10,6± 10,2	7,9± 4,4
IPAG	7,4± 1,1	7,1± 2,2	4,9± 2,4
IPSP	12,7± 1,6	9,7± 2,5	8,1± 1,4
IPOC	16,1± 3,1	11,3± 2,3	8,7± 1,6
IPNO	18,0± 1,6	11,5± 2,2	8,6± 1,9
IPDI	15,2± 1,5	11,4± 2,6	8,4± 1,8
IPAN	14,1± 1,4	10,4± 2,3	7,7± 1,2
MPEN	41,6± 1,2	31,4± 5,2	22,3± 3,4
MPFE	35,6± 4,2	27,3± 4,8	21,8± 4,9
MPMA	48,5± 5,8	29,8± 4,9	21,2± 3,9

Cuadro nº 346

Características medias y desviaciones típicas  
de las regiones establecidas

Variable	Región 1	Región 2	Región 3
MPAB	30,7± 3,8	20,1± 3,2	17,3± 3,4
MPMY	27,7± 2,8	17,0± 3,3	15,2± 3,4
MPJU	22,4± 5,7	15,0± 2,9	15,4± 2,4
MPJL	6,0± 1,6	4,5± 3,0	3,9± 1,8
MPAG	9,8± 2,1	4,9± 1,4	3,9± 1,6
MPSP	30,7± 3,8	17,6± 2,9	18,0± 3,0
MPOC	38,6± 3,3	24,9± 3,4	22,1± 3,5
MPNO	51,7± 8,4	29,4± 3,0	26,0± 5,0
MPDI	37,1± 0,9	27,1± 6,0	21,0± 4,0
MPAN	380,5± 6,2	248,6± 36,2	208,5±25,2
TMMEN	6,6± 0,8	7,5± 1,0	7,8± 1,3
TMMFE	7,2± 0,8	8,2± 1,2	8,8± 1,5
TMMMA	9,7± 0,6	10,8± 1,0	11,4± 1,5
TMMAB	12,2± 0,7	13,5± 1,0	14,3± 1,4
TMMMY	15,9± 0,5	17,8± 1,0	18,5± 1,3
TMMJU	19,8± 0,9	21,7± 0,9	22,5± 1,3
TMMJL	23,6± 0,5	25,6± 1,2	26,2± 1,3
TMMAG	23,4± 0,6	25,2± 1,1	25,6± 1,4
TMMSP	20,0± 0,5	22,0± 1,0	22,3± 1,4
TMMOC	15,2± 0,8	16,6± 1,0	17,2± 1,5
TMMNO	9,8± 0,8	10,8± 0,9	7,6± 2,2
TMMDI	6,9± 0,6	7,5± 0,8	7,6± 1,2
TMMAN	14,2± 0,6	15,6± 0,9	16,2± 1,3
TMHEN	10,6± 0,8	11,1± 1,9	11,6± 1,6
TMHFE	11,6± 0,7	12,3± 2,1	13,1± 1,8
TMHMA	14,5± 0,7	15,3± 1,9	16,4± 1,8
TMHAB	17,5± 0,5	18,8± 1,9	20,0± 1,9

Cuadro nº 346

**Características medias y desviaciones típicas  
de las regiones establecidas**

Variable	Región 1	Región 2	Región 3
TMHMY	21,6± 0,9	23,8± 1,9	24,9± 1,7
TMHJU	25,8± 1,2	28,1± 1,6	29,1± 1,7
TMHJL	30,9± 0,8	32,9± 1,7	33,7± 1,8
TMHAG	30,4± 0,9	32,4± 1,9	32,9± 1,8
TMHSP	26,3± 0,5	27,9± 2,0	28,7± 1,7
TMHOC	20,3± 0,4	21,2± 2,0	22,5± 1,9
TMHNO	14,1± 0,4	14,7± 1,9	15,4± 1,8
TMHDI	11,0± 0,2	11,2± 1,8	11,6± 1,6
TMHAN	19,3± 0,7	20,8± 1,8	21,7± 1,7
TMLEN	2,8± 1,3	3,9± 0,5	3,9± 1,4
TMLFE	3,0± 1,0	4,2± 0,7	4,4± 1,4
TMLMA	5,0± 0,8	6,3± 0,6	6,5± 1,5
TMLAB	6,9± 1,2	8,2± 0,8	8,6± 1,4
TMLMY	10,4± 1,0	11,8± 1,0	12,2± 1,2
TMLJU	13,6± 1,2	15,3± 1,2	15,7± 1,3
TMLJL	16,5± 1,0	18,2± 1,5	18,7± 1,5
TMLAG	16,4± 0,8	18,0± 1,1	18,3± 1,5
TMLSP	13,6± 0,7	15,9± 0,9	16,0± 1,4
TMLOC	10,0± 1,3	11,9± 0,6	12,0± 1,6
TMLNO	5,6± 1,1	6,9± 0,6	7,1± 1,5
TMLDI	2,9± 1,1	3,7± 0,5	3,7± 1,3
TMLAN	8,9± 0,9	10,4± 0,8	10,6± 1,3

\* El proceso de discriminación se inicia con el cálculo de F (o poder discriminante) y la tolerancia para cada variable. Los pasos 1 al 4 explicitan el número de variables introducidas en la clasificación, y que, en definitiva, han sido las que se han mostrado con mayor capacidad de discriminación a la hora de diferenciar entre las tres áreas climáticas (cuadros nºs 347 al 351).

La variable precipitación media de marzo con un valor en el estadístico F de 78,792 presenta el poder discriminante más elevado y será la primera que entre en el proceso discriminatorio. La matriz F resultante de este primer paso indica una nítida separación entre todas las regiones, mayor entre la A y la C y entre la A y la B y menor, pero muy significativa, entre la B y la C.

A continuación se seleccionan el porcentaje de precipitación en invierno, el porcentaje de precipitación en primavera y el porcentaje de la precipitación máxima en 24 horas en junio.

El resto de las variables (en las que están incluidas las variables térmicas) no incorporan ningún poder de discriminación, su F es inferior al umbral de significación estadística establecido por el programa 7 M.

Cuadro nº 352

**Tabla resumen**

Paso	variable entrada	F para entrar o F para salir	F aproximada	G. L.
1	PMMA	78,7923	78,792	2-20
2	TPIN	7,0927	27,912	4-38
3	TPPR	16,8283	34,028	6-36
4	MPJU	5,0944	31,607	8-34

VARIABLE	F TO REMOVE	FORCE LEVEL	TOLERANCE	VARIABLE	F TO ENTER	FORCE LEVEL	TOLERANCE	
	*	*	*		DE=	2 20		
	DE=	2 21		*	3 PHEN	33.344	1	1.000000
*	*	*	*	*	4 PHEE	14.591	1	1.000000
*	*	*	*	*	5 PMHA	78.792	1	1.000000
*	*	*	*	*	6 PMAB	43.684	1	1.000000
*	*	*	*	*	7 PMMY	61.330	1	1.000000
*	*	*	*	*	8 PMJU	23.261	1	1.000000
*	*	*	*	*	9 PMJL	8.264	1	1.000000
*	*	*	*	*	10 PMAG	19.374	1	1.000000
*	*	*	*	*	11 PMSP	22.821	1	1.000000
*	*	*	*	*	12 PMOC	52.463	1	1.000000
*	*	*	*	*	13 PMNO	36.649	1	1.000000
*	*	*	*	*	14 PMDI	22.645	1	1.000000
*	*	*	*	*	15 PMAN	62.232	1	1.000000
*	*	*	*	*	16 TPPR	2.275	1	1.000000
*	*	*	*	*	17 TPVE	5.215	1	1.000000
*	*	*	*	*	18 IPUT	1.455	1	1.000000
*	*	*	*	*	19 IPIN	9.308	1	1.000000
*	*	*	*	*	20 NDEN	3.089	1	1.000000
*	*	*	*	*	21 NDFE	-0.009	1	1.000000
*	*	*	*	*	22 NDMA	0.965	1	1.000000
*	*	*	*	*	23 NDAB	3.658	1	1.000000
*	*	*	*	*	24 NDHY	4.555	1	1.000000
*	*	*	*	*	25 NDJU	2.207	1	1.000000
*	*	*	*	*	26 NDJL	12.194	1	1.000000
*	*	*	*	*	27 NDAG	6.947	1	1.000000
*	*	*	*	*	28 NDSP	3.654	1	1.000000
*	*	*	*	*	29 NDOC	0.385	1	1.000000
*	*	*	*	*	30 NDNO	0.720	1	1.000000
*	*	*	*	*	31 NDDI	0.265	1	1.000000
*	*	*	*	*	32 NDAN	1.959	1	1.000000
*	*	*	*	*	33 NDPR	3.192	1	1.000000
*	*	*	*	*	34 NDVE	11.187	1	1.000000
*	*	*	*	*	35 NDOT	1.386	1	1.000000
*	*	*	*	*	36 NDIN	0.542	1	1.000000
*	*	*	*	*	37 IPEN	15.611	1	1.000000
*	*	*	*	*	38 IPFE	11.039	1	1.000000
*	*	*	*	*	39 IPMA	37.622	1	1.000000
*	*	*	*	*	40 IPAB	15.042	1	1.000000
*	*	*	*	*	41 IPMY	20.341	1	1.000000
*	*	*	*	*	42 IPJU	2.099	1	1.000000
*	*	*	*	*	43 IPJL	0.564	1	1.000000
*	*	*	*	*	44 IPAG	3.157	1	1.000000
*	*	*	*	*	45 IPSP	9.534	1	1.000000
*	*	*	*	*	46 IPOC	18.072	1	1.000000
*	*	*	*	*	47 IPHO	36.413	1	1.000000
*	*	*	*	*	48 IPDI	17.129	1	1.000000
*	*	*	*	*	49 IPAN	24.106	1	1.000000
*	*	*	*	*	50 MPEN	41.654	1	1.000000
*	*	*	*	*	51 MPFE	13.018	1	1.000000
*	*	*	*	*	52 MPMA	53.789	1	1.000000
*	*	*	*	*	53 MPAB	23.320	1	1.000000
*	*	*	*	*	54 MPHY	22.320	1	1.000000
*	*	*	*	*	55 MPJU	7.953	1	1.000000
*	*	*	*	*	56 MPJL	1.390	1	1.000000
*	*	*	*	*	57 MPAG	19.230	1	1.000000
*	*	*	*	*	58 MPPS	28.252	1	1.000000
*	*	*	*	*	59 MPOC	34.736	1	1.000000
*	*	*	*	*	60 MPNO	36.874	1	1.000000
*	*	*	*	*	61 MPDI	20.404	1	1.000000
*	*	*	*	*	62 MPAN	59.188	1	1.000000
*	*	*	*	*	152 IMHEN	1.365	1	1.000000
*	*	*	*	*	153 IMHFE	2.088	1	1.000000
*	*	*	*	*	154 IMHMA	2.867	1	1.000000
*	*	*	*	*	155 IMHAB	4.420	1	1.000000
*	*	*	*	*	156 IMHMY	7.790	1	1.000000
*	*	*	*	*	157 IMHJU	8.479	1	1.000000
*	*	*	*	*	158 IMHJL	7.468	1	1.000000
*	*	*	*	*	159 IMHAG	5.168	1	1.000000
*	*	*	*	*	160 IMHSP	5.953	1	1.000000
*	*	*	*	*	161 IMHOC	4.085	1	1.000000
*	*	*	*	*	162 IMHNO	2.048	1	1.000000
*	*	*	*	*	163 IMHDI	0.736	1	1.000000
*	*	*	*	*	164 IMMAN	4.748	1	1.000000
*	*	*	*	*	189 IMHEN	0.667	1	1.000000
*	*	*	*	*	190 IMHFE	1.239	1	1.000000
*	*	*	*	*	191 IMHMA	2.117	1	1.000000
*	*	*	*	*	192 IMHAB	3.317	1	1.000000
*	*	*	*	*	193 IMHMY	6.021	1	1.000000
*	*	*	*	*	194 IMHJU	6.118	1	1.000000
*	*	*	*	*	195 IMHJL	4.273	1	1.000000
*	*	*	*	*	196 IMHAG	3.330	1	1.000000
*	*	*	*	*	197 IMHSP	3.244	1	1.000000
*	*	*	*	*	198 IMHOC	2.663	1	1.000000
*	*	*	*	*	199 IMHNO	0.991	1	1.000000
*	*	*	*	*	200 IMHDT	0.355	1	1.000000
*	*	*	*	*	201 IMHAN	3.245	1	1.000000
*	*	*	*	*	226 IMLEN	1.715	1	1.000000
*	*	*	*	*	227 IMLEF	2.335	1	1.000000
*	*	*	*	*	228 IMLMA	2.308	1	1.000000
*	*	*	*	*	229 IMLAB	3.090	1	1.000000
*	*	*	*	*	230 IMLHY	3.815	1	1.000000
*	*	*	*	*	231 IMLJU	4.451	1	1.000000
*	*	*	*	*	232 IMLJL	3.733	1	1.000000
*	*	*	*	*	233 IMLAG	3.345	1	1.000000
*	*	*	*	*	234 IMLSP	6.490	1	1.000000
*	*	*	*	*	235 IMLOC	3.602	1	1.000000
*	*	*	*	*	236 IMLNG	2.367	1	1.000000
*	*	*	*	*	237 IMLDI	0.953	1	1.000000
*	*	*	*	*	238 IMLAN	3.637	1	1.000000

VARIABLE	E TO REMOVE	FORCE LEVEL	TOLERANCE	*	VARIABLE	E TO ENTER	FORCE LEVEL	TOLERANCE	
5 PMMA	DE= 2 20	78.792	1	1.000000	*	3 PMEN	1.846	1	0.601538
	*	*	*	*	4 PMEE	0.290	1	0.723645	
	*	*	*	*	6 PMAB	1.681	1	0.673884	
	*	*	*	*	7 PMMY	3.570	1	0.734878	
	*	*	*	*	8 PMJU	2.858	1	0.844031	
	*	*	*	*	9 PMJL	1.030	1	0.952501	
	*	*	*	*	10 PMAG	1.099	1	0.962095	
	*	*	*	*	11 PMSP	3.248	1	0.769954	
	*	*	*	*	12 PHOC	1.043	1	0.735347	
	*	*	*	*	13 PMNO	0.175	1	0.498520	
	*	*	*	*	14 PMDI	1.426	1	0.468375	
	*	*	*	*	15 PMAN	0.235	1	0.378363	
	*	*	*	*	16 TPPR	0.962	1	0.973602	
	*	*	*	*	17 TPVE	5.254	1	0.913910	
	*	*	*	*	18 TPOT	1.527	1	0.986109	
	*	*	*	*	19 IPIN	7.093	1	0.943443	
	*	*	*	*	20 NDEN	3.052	1	0.988589	
	*	*	*	*	21 NDEE	0.014	1	0.998555	
	*	*	*	*	22 NDMA	0.432	1	0.950571	
	*	*	*	*	23 NDAB	2.481	1	0.889442	
	*	*	*	*	24 NDMY	2.257	1	0.956114	
	*	*	*	*	25 NDJU	1.883	1	0.996723	
	*	*	*	*	26 NDJL	2.837	1	0.910701	
	*	*	*	*	27 NDAG	1.841	1	0.999740	
	*	*	*	*	28 NDSP	2.712	1	0.911891	
	*	*	*	*	29 NDOC	0.376	1	0.997930	
	*	*	*	*	30 NDNO	1.104	1	0.957420	
	*	*	*	*	31 NDDI	0.253	1	0.999258	
	*	*	*	*	32 NDAN	1.374	1	0.974173	
	*	*	*	*	33 NDPR	1.702	1	0.923313	
	*	*	*	*	34 NDVE	3.656	1	0.983387	
	*	*	*	*	35 NDCT	1.470	1	0.957528	
	*	*	*	*	36 NDIN	0.501	1	0.999919	
	*	*	*	*	37 IPEN	3.932	1	0.964938	
	*	*	*	*	38 IPFE	0.631	1	0.814922	
	*	*	*	*	39 IPHA	0.829	1	0.619249	
	*	*	*	*	40 IPAB	0.402	1	0.933461	
	*	*	*	*	41 IPHY	0.790	1	0.910413	
	*	*	*	*	42 IPJU	0.366	1	0.964310	
	*	*	*	*	43 IPJL	0.588	1	0.982080	
	*	*	*	*	44 IPAG	1.343	1	0.948956	
	*	*	*	*	45 IPSP	0.336	1	0.966630	
	*	*	*	*	46 IPOC	0.780	1	0.944256	
	*	*	*	*	47 IPNO	0.462	1	0.689127	
	*	*	*	*	48 IPDI	1.880	1	0.602114	
	*	*	*	*	49 IPAN	1.507	1	0.802261	
	*	*	*	*	50 MPEN	5.143	1	0.547894	
	*	*	*	*	51 MPFE	1.932	1	0.545872	
	*	*	*	*	52 MPMA	0.921	1	0.343713	
	*	*	*	*	53 MPAB	0.225	1	0.613105	
	*	*	*	*	54 MPHY	0.727	1	0.866423	
	*	*	*	*	55 MPJU	1.266	1	0.974507	
	*	*	*	*	56 MPJL	0.199	1	0.999561	
	*	*	*	*	57 MPAG	1.363	1	0.984476	
	*	*	*	*	58 MPSP	4.093	1	0.901302	
	*	*	*	*	59 MPDC	1.431	1	0.892552	
	*	*	*	*	60 MPNO	1.466	1	0.769336	
	*	*	*	*	61 MPDI	2.830	1	0.397631	
	*	*	*	*	62 MPAN	0.223	1	0.376788	
	*	*	*	*	152 TMMEN	0.019	1	0.968540	
	*	*	*	*	153 TMMFE	0.026	1	0.967316	
	*	*	*	*	154 TMMMA	0.094	1	0.984591	
	*	*	*	*	155 TMMAB	0.201	1	0.975485	
	*	*	*	*	156 TMMY	0.246	1	0.978350	
	*	*	*	*	157 TMMJU	0.265	1	0.974646	
	*	*	*	*	158 TMMJL	0.979	1	0.998925	
	*	*	*	*	159 TMMAG	0.389	1	0.996611	
	*	*	*	*	160 TMMSP	0.369	1	0.993019	
	*	*	*	*	161 TMMOC	0.075	1	0.974643	
	*	*	*	*	162 TMMNO	0.888	1	0.981609	
	*	*	*	*	163 TMMDI	0.067	1	0.966176	
	*	*	*	*	164 TMMAN	0.179	1	0.988929	
	*	*	*	*	189 TMHEN	0.487	1	0.909650	
	*	*	*	*	190 TMHFE	0.438	1	0.916208	
	*	*	*	*	191 TMHMA	0.365	1	0.951484	
	*	*	*	*	192 TMHAB	0.280	1	0.951647	
	*	*	*	*	193 TMHMY	0.109	1	0.959690	
	*	*	*	*	194 TMHJU	0.062	1	0.953369	
	*	*	*	*	195 TMHJL	0.276	1	0.997191	
	*	*	*	*	196 TMHAG	0.061	1	0.982715	
	*	*	*	*	197 TMHSP	0.066	1	0.981750	
	*	*	*	*	198 TMHOC	0.565	1	0.927699	
	*	*	*	*	199 TMHNO	0.234	1	0.954309	
	*	*	*	*	200 TMHDI	0.506	1	0.928940	
	*	*	*	*	201 TMHAN	0.072	1	0.949872	
	*	*	*	*	226 TMLEN	0.458	1	0.997615	
	*	*	*	*	227 TMLFE	0.425	1	0.998190	
	*	*	*	*	228 TMLMA	0.429	1	0.998013	
	*	*	*	*	229 TMLAB	0.271	1	0.999602	
	*	*	*	*	230 TMLMY	0.343	1	0.999662	
	*	*	*	*	231 TMLJU	0.197	1	0.991577	
	*	*	*	*	232 TMLJL	1.055	1	0.982382	
	*	*	*	*	233 TMLAG	0.728	1	0.992016	
	*	*	*	*	234 TMLSP	1.427	1	0.993906	
	*	*	*	*	235 TMLOC	0.738	1	0.997517	
	*	*	*	*	236 TMLNO	0.755	1	0.985982	
	*	*	*	*	237 TMLDI	0.335	1	0.994802	
	*	*	*	*	238 TMLAN	0.638	1	0.997519	

U-STATISTIC OR WILKS' LAMBDA 0.1126224  
 APPROXIMATE F-STATISTIC 78.792 DEGREES OF FREEDOM 1 2 20  
 DEGREES OF FREEDOM 2.00 20.00

E - MATRIX

DEGREES OF FREEDOM = 1 20

A

B

74.71

STEP NUMBER 2

VARIABLE ENTERED 19 TPIN

VARIABLE	E TO REMOVE	FORCE LEVEL	TOLERANCE	*	VARIABLE	E TO ENTER	FORCE LEVEL	TOLERANCE
	DE=	2 19	*		DE=	2 18	*	
5 PMMA	66.804	1	0.943443	*	3 PMEN	0.888	1	0.405107
19 TPIN	7.093	1	0.943443	*	4 PMEE	0.207	1	0.601797
				*	6 PMAB	0.798	1	0.673147
				*	7 PMHY	2.086	1	0.734517
				*	8 PMJU	1.726	1	0.843917
				*	9 PMJL	0.407	1	0.947078
				*	10 PMAG	1.121	1	0.945598
				*	11 PMSP	4.230	1	0.697857
				*	12 PMOC	3.409	1	0.557351
				*	13 PHNO	0.473	1	0.478357
				*	14 PMDI	0.416	1	0.459321
				*	15 PMAN	0.457	1	0.367909
				*	16 TPPR	16.828	1	0.143561
				*	17 IPVE	2.965	1	0.913875
				*	18 IPOT	4.335	1	0.745977
				*	20 NDEN	1.883	1	0.968015
				*	21 NDFF	0.016	1	0.998110
				*	22 NDMA	0.506	1	0.861418
				*	23 NDAB	2.086	1	0.675464
				*	24 NDHY	1.058	1	0.922469
				*	25 NDJU	0.647	1	0.978238
				*	26 NDJL	1.043	1	0.864768
				*	27 NDAG	0.934	1	0.999460
				*	28 NDSP	2.181	1	0.911487
				*	29 NDOC	0.168	1	0.965802
				*	30 NDNO	0.921	1	0.939459
				*	31 NDDI	0.074	1	0.934023
				*	32 NDAN	0.670	1	0.929352
				*	33 NDPR	1.055	1	0.814707
				*	34 NDVE	1.212	1	0.942382
				*	35 NDOT	1.028	1	0.942672
				*	36 NDIN	0.197	1	0.978185
				*	37 IPEN	1.627	1	0.751281
				*	38 IPFE	0.107	1	0.691066
				*	39 IPMA	0.484	1	0.570562
				*	40 IPAB	0.858	1	0.836610
				*	41 IPMY	0.834	1	0.862528
				*	42 IPJU	0.048	1	0.909428
				*	43 IPJL	0.440	1	0.920718
				*	44 IPAG	0.329	1	0.907680
				*	45 IPSP	0.913	1	0.841680
				*	46 IPOC	1.600	1	0.781237
				*	47 IPNO	0.518	1	0.646711
				*	48 IPDI	0.169	1	0.541130
				*	49 IPAN	0.813	1	0.749400
				*	50 MPEN	2.278	1	0.429993
				*	51 MPFE	0.255	1	0.420487
				*	52 MPMA	0.541	1	0.343122
				*	53 MPAB	0.191	1	0.612390
				*	54 MPHY	0.095	1	0.841982
				*	55 MPJU	0.777	1	0.974117
				*	56 MPJL	0.186	1	0.992980
				*	57 MPAG	0.759	1	0.981200
				*	58 MPSP	5.877	1	0.770290
				*	59 MPOC	1.233	1	0.884534
				*	60 MPNO	0.471	1	0.760570
				*	61 MPDI	0.965	1	0.385530
				*	62 MPAN	0.715	1	0.354451
				*	152 IMHEN	0.016	1	0.968115
				*	153 IMHEE	0.095	1	0.958285
				*	154 IMHMA	0.079	1	0.982923
				*	155 IMMAB	0.160	1	0.974915
				*	156 IMMMY	0.281	1	0.973117
				*	157 IMMJU	0.319	1	0.965984
				*	158 IMMJL	0.983	1	0.991390
				*	159 IMHAG	0.370	1	0.992739
				*	160 IMMSP	0.421	1	0.984269
				*	161 IMMOC	0.105	1	0.969101
				*	162 IMMNO	0.889	1	0.975572
				*	163 IMMDI	0.065	1	0.965921
				*	164 IMMAN	0.180	1	0.987708
				*	189 IMHEN	0.256	1	0.906733
				*	190 IMHFE	0.311	1	0.915530
				*	191 IMHMA	0.076	1	0.942682
				*	192 IMHAB	0.067	1	0.940882
				*	193 IMHMY	0.143	1	0.939944
				*	194 IMHJU	0.182	1	0.916189
				*	195 IMHJL	0.773	1	0.921859
				*	196 IMHAG	0.358	1	0.938867
				*	197 IMHSP	0.204	1	0.941925
				*	198 IMHOC	0.175	1	0.922755
				*	199 IMHNO	0.156	1	0.954000
				*	200 IMHDI	0.399	1	0.927698
				*	201 IMHAN	0.012	1	0.932674
				*	226 TMLEN	0.237	1	0.997114
				*	227 TMLFE	0.176	1	0.975944
				*	228 TMLMA	0.218	1	0.996042
				*	229 TMLAB	0.215	1	0.996324
				*	230 TMLMY	0.258	1	0.996329
				*	231 TMLJU	0.093	1	0.986921
				*	232 TMLJL	0.718	1	0.946220
				*	233 TMLAG	0.408	1	0.960300
				*	234 TMLSP	0.553	1	0.971729
				*	235 TMLOC	0.188	1	0.948023
				*	236 TMLNO	0.420	1	0.971941
				*	237 TMLDI	0.190	1	0.994318
				*	238 TMLAN	0.307	1	0.981990

U-STATISTIC OR WILKS' LAMBDA 0.0644809  
 APPROXIMATE F-STATISTIC 27.912 DEGREES OF FREEDOM 2 20  
 DEGREES OF FREEDOM 4.00 38.00

E - MATRIX DEGREES OF FREEDOM = 2 19

A	B
55.91	
92.38	7.80

VARIABLE	E TO REMOVE	FORCE LEVEL	TOLERANCE	VARIABLE	E TO ENTER	FORCE LEVEL	TOLERANCE
5 PMMA	DE= 2	18	*	3 PMEN	DE= 2	17	*
16 TPPR	64.533	1	0.921216	4 PMEE	0.827	1	0.404323
19 TPIN	16.828	1	0.143561	6 PMAB	0.045	1	0.600646
	31.962	1	0.139114	7 PMHY	0.138	1	0.662144
			*	8 PMJU	2.659	1	0.678363
			*	9 PMJL	4.207	1	0.668855
			*	10 PMAG	2.317	1	0.772999
			*	11 PMSP	0.699	1	0.925050
			*	12 PMOC	1.061	1	0.694839
			*	13 PMNO	2.697	1	0.507967
			*	14 PMDI	0.088	1	0.438762
			*	15 PMAN	0.974	1	0.380884
			*	17 IPVE	0.743	1	0.355419
			*	18 IPOT	4.221	1	0.779117
			*	20 NDEN	4.652	1	0.138603
			*	21 NDFE	0.616	1	0.932719
			*	22 NDMA	0.051	1	0.993726
			*	23 NDAB	0.633	1	0.860103
			*	24 NDHY	1.891	1	0.655583
			*	25 NDJU	0.646	1	0.920092
			*	26 NDJL	0.154	1	0.977398
			*	27 NDAG	0.538	1	0.863080
			*	28 NDSP	0.247	1	0.933999
			*	29 NDOC	0.747	1	0.905341
			*	30 NDNO	0.128	1	0.964379
			*	31 NDDI	0.762	1	0.889962
			*	32 NDAN	0.070	1	0.933052
			*	33 NDPR	0.329	1	0.918154
			*	34 NDVE	0.811	1	0.806511
			*	35 NDOT	0.184	1	0.935253
			*	36 NDIN	0.515	1	0.923420
			*	37 IPEN	0.646	1	0.971750
			*	38 IPEE	0.596	1	0.738162
			*	39 IPMA	0.133	1	0.688352
			*	40 IPAR	0.487	1	0.553817
			*	41 IPMY	0.721	1	0.836428
			*	42 IPJU	0.920	1	0.833331
			*	43 IPJL	0.706	1	0.805281
			*	44 IPAG	1.289	1	0.779121
			*	45 IPSP	0.145	1	0.907544
			*	46 IPOC	0.922	1	0.834983
			*	47 IPNO	1.453	1	0.774530
			*	48 IPNI	0.522	1	0.643673
			*	49 IPAN	0.206	1	0.501193
			*	50 MPEN	0.543	1	0.717451
			*	51 MPFE	1.378	1	0.428954
			*	52 MPMA	0.232	1	0.413471
			*	53 MPAB	0.094	1	0.340647
			*	54 MPMY	0.162	1	0.611974
			*	55 MPJU	1.646	1	0.687052
			*	56 MPJL	5.094	1	0.654398
			*	57 MPAG	0.979	1	0.877025
			*	58 MPSP	0.890	1	0.933581
			*	59 MPDC	1.453	1	0.742641
			*	60 MPNO	0.522	1	0.731725
			*	61 MPDI	0.206	1	0.719396
			*	62 MPAN	0.543	1	0.373506
			*	152 IMHEN	0.129	1	0.352181
			*	153 IMHFE	0.156	1	0.952329
			*	154 IMMMA	0.144	1	0.909742
			*	155 IMMAB	0.181	1	0.959298
			*	156 IMHMY	0.518	1	0.935265
			*	157 IMMJU	0.714	1	0.935541
			*	158 IMMJL	1.202	1	0.904051
			*	159 IMHAG	0.561	1	0.957489
			*	160 IMHSP	0.561	1	0.969231
			*	161 IMHOC	0.770	1	0.943861
			*	162 IMMNO	0.330	1	0.883381
			*	163 IMMDI	1.005	1	0.922748
			*	164 IMMAN	0.255	1	0.934582
			*	189 IMHEN	0.449	1	0.936357
			*	190 IMHFE	0.240	1	0.906697
			*	191 IMHMA	0.208	1	0.898033
			*	192 IMHAB	0.001	1	0.939514
			*	193 IMHMY	0.015	1	0.939763
			*	194 IMHJU	0.135	1	0.939942
			*	195 IMHJL	0.152	1	0.918175
			*	196 IMHAG	0.594	1	0.920832
			*	197 IMHSP	0.159	1	0.922748
			*	198 IMHOC	0.178	1	0.935768
			*	199 IMHNO	0.012	1	0.941649
			*	200 IMHDI	0.097	1	0.915375
			*	201 IMHAN	0.303	1	0.933541
			*	226 IMLEN	0.050	1	0.923998
			*	227 IMLFE	0.727	1	0.927114
			*	228 IMLMA	0.723	1	0.936871
			*	229 IMLAB	0.672	1	0.868820
			*	230 IMLY	0.572	1	0.930412
			*	231 IMLJU	1.099	1	0.890115
			*	232 IMLJL	1.127	1	0.840640
			*	233 IMLAG	1.155	1	0.826682
			*	234 IMLSP	1.036	1	0.813914
			*	235 IMLOC	1.769	1	0.820572
			*	236 IMLNO	1.523	1	0.825023
			*	237 IMLDI	1.342	1	0.750399
			*	238 IMLAN	0.892	1	0.820552
			*		1.226	1	0.899764
			*				0.833784

U-STATISTIC OR WILKS' LAMBDA 0.0224687  
APPROXIMATE F-STATISTIC 34.028 DEGREES OF FREEDOM 3 2 20  
DEGREES OF FREEDOM 6.00 36.00

F - MATRIX DEGREES OF FREEDOM = 3 18

A	B
54.29	
62.24	16.12

RIABLE	F TO REMOVE	FORCE LEVEL	TOLERANCE	VARIABLE	F TO ENTER	FORCE LEVEL	TOLERANCE
	DE= 2	17	*		DE= 2	16	
PMMA	40.192	1	0.914960	*	3 PMEN	0.851	1
TPPR	27.413	1	0.096442	*	4 PMEE	0.146	1
TPIN	46.682	1	0.097306	*	6 PMAB	0.190	1
MPJU	5.094	1	0.654398	*	7 PMMY	1.295	1
				*	8 PMJU	0.085	1
				*	9 PMJL	0.628	1
				*	10 PMAG	0.654	1
				*	11 PMSP	0.311	1
				*	12 PMDC	2.776	1
				*	13 PMNO	0.829	1
				*	14 PMDI	0.698	1
				*	15 PMAN	0.781	1
				*	17 TPVE	0.257	1
				*	18 TPOT	0.440	1
				*	20 NDEN	0.827	1
				*	21 NDEF	0.079	1
				*	22 NDMA	0.461	1
				*	23 NDAB	1.701	1
				*	24 NDYM	0.795	1
				*	25 NDJU	0.206	1
				*	26 NDJL	0.480	1
				*	27 NDAG	0.357	1
				*	28 NDSP	0.607	1
				*	29 NDQC	0.120	1
				*	30 NDNO	0.780	1
				*	31 NDDB	0.091	1
				*	32 NDAN	0.410	1
				*	33 NDPR	0.871	1
				*	34 NDVE	0.043	1
				*	35 NDOT	0.553	1
				*	36 NDIN	0.195	1
				*	37 IPEN	0.582	1
				*	38 IPFE	0.077	1
				*	39 IPMA	0.354	1
				*	40 IPAB	0.832	1
				*	41 IPMY	0.694	1
				*	42 IPJU	0.124	1
				*	43 IPJL	0.382	1
				*	44 IPAG	0.043	1
				*	45 IPSP	0.645	1
				*	46 IPOC	1.525	1
				*	47 IPNO	0.605	1
				*	48 IPDI	0.175	1
				*	49 IPAN	0.475	1
				*	50 MPEN	1.404	1
				*	51 MPFE	0.346	1
				*	52 MPMA	1.549	1
				*	53 MPAB	0.185	1
				*	54 MPHY	0.334	1
				*	56 MPJL	0.606	1
				*	57 HPAG	0.759	1
				*	58 MPSP	0.807	1
				*	59 MPOC	1.791	1
				*	60 MPNO	0.732	1
				*	61 MPDI	0.693	1
				*	62 MPAN	0.210	1
				*	152 TMMEN	0.021	1
				*	153 TMMEE	0.111	1
				*	154 TMMMA	0.057	1
				*	155 TMMAB	0.093	1
				*	156 TMMY	0.467	1
				*	157 TMMJU	0.526	1
				*	158 TMMJL	0.999	1
				*	159 TMMAG	0.492	1
				*	160 TMMSP	0.591	1
				*	161 TMMOC	0.046	1
				*	162 TMMNO	0.879	1
				*	163 TMMDI	0.089	1
				*	164 TMMAN	0.204	1
				*	189 TMMHEN	0.221	1
				*	190 TMMFEE	0.319	1
				*	191 TMMHMA	0.027	1
				*	192 TMMHAB	0.100	1
				*	193 TMMHY	0.553	1
				*	194 TMMJU	0.900	1
				*	195 TMMJL	1.231	1
				*	196 TMMAG	0.429	1
				*	197 TMMSP	0.360	1
				*	198 TMMOC	0.012	1
				*	199 TMMNO	0.121	1
				*	200 TMMDI	0.280	1
				*	201 TMMAN	0.280	1
				*	226 TMLEN	0.128	1
				*	227 TMLFE	0.203	1
				*	228 TMLMA	0.151	1
				*	229 TMLAB	0.136	1
				*	230 TMLMY	0.203	1
				*	231 TMLJU	0.108	1
				*	232 TMLJL	0.527	1
				*	233 TMLAG	0.326	1
				*	234 TMLSP	0.740	1
				*	235 TMLOC	0.188	1
				*	236 TMLNO	0.362	1
				*	237 TMLDI	0.112	1
				*	238 TMLAN	0.269	1

2a Cálculo de las funciones discriminantes. Estas funciones mutuamente ortogonales, nos permiten asignar tal o cual individuo a tal o cual grupo con una probabilidad mínima de error, en otras palabras, estimar la posición de cada uno de los observatorios sobre los ejes discriminantes que separan los grupos de manera óptima. Conceptualmente se trata de calcular los coeficientes para la primera función, de manera tal, que la media de los grupos en esta función sean lo más diferentes posibles. Los coeficientes de la segunda función se calculan tratando de maximizar las diferencias entre las medias de los grupos en esa función, con la condición de que los valores de ésta no estén correlacionados con los de la primera y, así sucesivamente, con el resto de las funciones.

Cuadro nº 353

**Funciones discriminantes**

Variable	Coeficientes o pesos	
	f1	f2
PMMA	0,06496	0,05011
TPPR	-0,67037	0,82819
TPIN	-1,24266	1,24277
MPJU	0,17384	-0,17886
Constante	56,61711	-71,84833
Valores propios	13,65732	3,85634
Proporción acumulada de la dispersión total	0,78	1,0

Los resultados se plasman en la denominada matriz resultante que, como una matriz factorial, contiene las saturaciones o pesos de las variables iniciales en cada una de las funciones discriminantes. Al mismo tiempo, aparecen los valores propios o eigenvalues de cada función discriminante, así como, la proporción acumulada de la dispersión total explicada por cada una de ellas (cuadro nº 353).

3a Clasificación de los casos. La asignación de cada estación meteorológica se realiza teniendo en cuenta la distancia de Mahalanobis o distancia al centro del grupo y la probabilidad posterior de pertenencia. El encuadramiento tendrá lugar, pues, en el grupo cuya distancia sea menor y la probabilidad de pertenencia mayor. Los resultados aparecen cartografiados en el mapa que refleja la regionalización climática.

La matriz de clasificación obtenida registra el 100% de casos bien clasificados (cuadro nº 354)

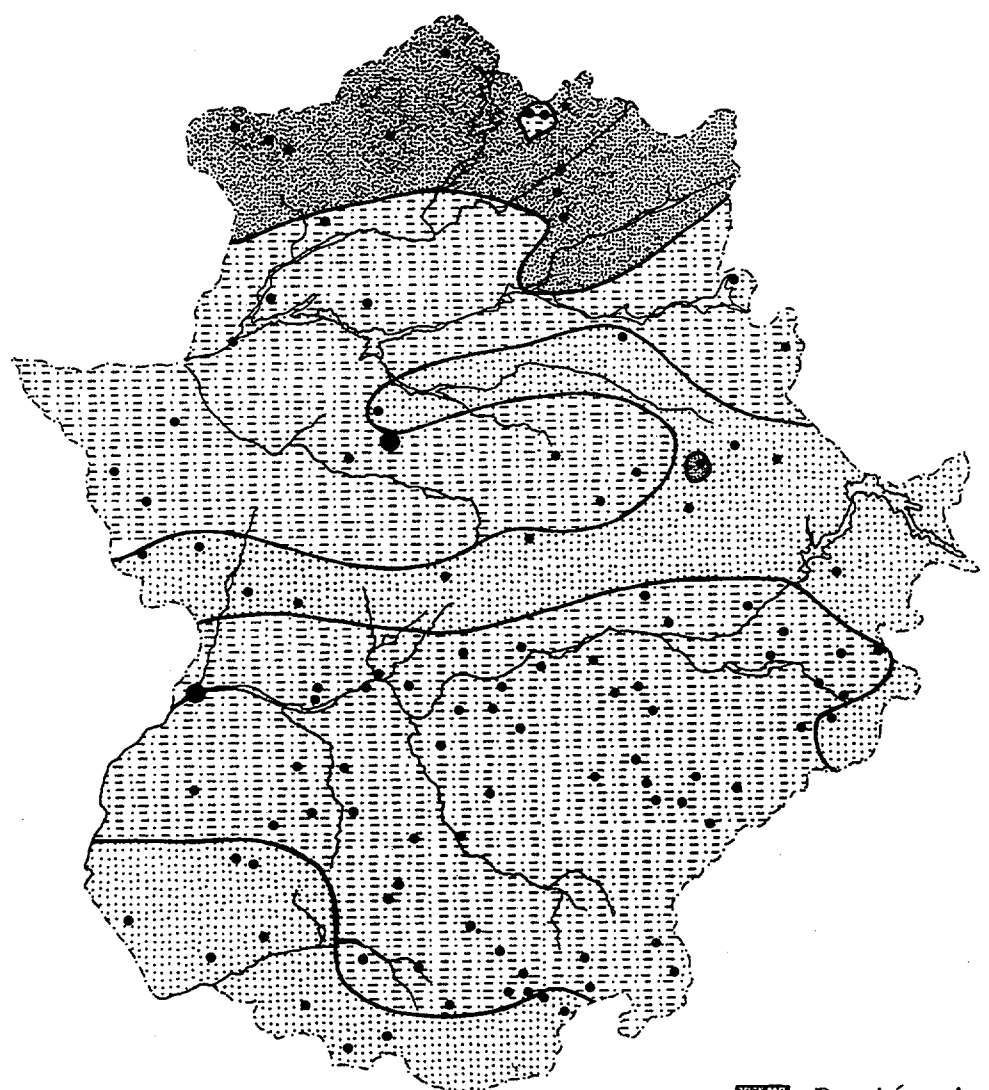
Cuadro nº 354

**Matriz de clasificación**

% correcto                           Nº de casos clasificados

		Región A	Región B	Región C
Región A	100	4	0	0
Región B	100	0	7	0
Región C	100	0	0	12
Total	100	4	7	12

REGIONALIZACION CLIMATICA DE EXTREMADURA



■ Región A  
■ " B  
■ " C

Escala 1:1.500.000

0 15 30 45 60 75 Km.

El hecho de ser seleccionadas, como más discriminantes, variables de tipo pluviométrico, nos ha permitido el clasificar con las funciones de clasificación el resto de los observatorios que constituían la matriz de información inicial y que no disponían de datos termométricos, por esta razón en el mapa de regionalización climática aparecen las 111 estaciones meteorológicas. 23 de las cuales están clasificadas con el Análisis Discriminante y el resto con la función de clasificación, ateniéndonos a la probabilidad de pertenencia.

La separación entre regiones queda perfectamente demostrada como se puede apreciar en la matriz F definitiva.  
(cuadro nº 355)

Cuadro nº 355

Matriz F

	Región A	Región B
Región B	53,89	
Región C	48,92	17,70

G.L. 4-17

Para concluir con la interpretación del Análisis Discriminante hemos de señalar que el valor de la prueba F aproximada (31,607 para unos grados de libertad de 8-34) nos permite rechazar la hipótesis nula ya que la probabilidad de sobrepasarla es inferior al 0,01, por tanto se verifica la hipótesis alternativa ( $H_1$ ) de que las tres muestras pertenecen a poblaciones distintas, es decir, se comprueba

que la regionalización climática realizada posee sobrada entidad estadística.

**BIBLIOGRAFÍA**

ALBENTOSA SÁNCHEZ, L.M. (1975): Los climas de Cataluña. Estudio de climatología dinámica. Barcelona, Edic. Universidad.

ALBENTOSA SÁNCHEZ, L.M. (1975): "La aplicación del método estadístico en climatología: 105 años de lluvia en Barcelona (1866-1970)". Revista de Geografía, vol. IX, núm. 1-2, pp. 59-77, Universidad de Barcelona.

ALBENTOSA SÁNCHEZ, L.M. (1976): "La aplicación del método estadístico en climatología. El régimen anual de precipitaciones en Barcelona". Revista de Geografía, vol. X, núm. 1-2, pp. 79-112, Universidad de Barcelona.

ALBENTOSA SÁNCHEZ, L.M. (1976): "Climatología dinámica, sinóptica o sintética. Origen y desarrollo". Revista de Geografía, vol. X, núm. 1-2, pp. 140-157, Universidad de Barcelona.

ALBENTOSA SÁNCHEZ, L.M. (1977): "Estado actual de las investigaciones en climatología sintética". Revista de Geografía, núm. 1-2, pp. 119-144, Universidad de Barcelona.

ALBENTOSA SÁNCHEZ, L.M. (1977-78): "Contaminación atmosférica y cambio de clima. El dióxido de carbono y el efecto de invernadero". Geographica. Homenaje a Luis Solé Sabaris, pp. 11-20, Madrid.

ALBENTOSA SÁNCHEZ, L.M. (1980): "Contaminación y cambio de clima en las regiones urbanas industrializadas". Tarraco, vol. 1, pp. 11- 25, Dep. Geografía, Delegación Universitaria de Tarragona.

ALBENTOSA SÁNCHEZ, L. M. (1981): "Los recursos hidráulicos y la demanda de agua en el Camp de Tarragona". Notes de Geografía Física, núm. 6, pp. 21-29, Universidad de Barcelona.

ALBENTOSA SÁNCHEZ, L. M. (1982): "Introducción al estudio de la degradación del medio ambiente en la provincia de Tarragona". Tarraco, vol. 3, pp. 105-139, Dep. Geografía, Delegación Universitaria de Tarragona.

ALBENTOSA SÁNCHEZ, L. M. (1982): "Los contrastes espaciales en la distribución de los recursos hidráulicos de superficie en Cataluña". Notes de geografía Física, núm. 8, pp. 21-31, Universidad de Barcelona.

ALBENTOSA SÁNCHEZ, L. M. (1983-84): "La aridez como factor limitante de la agricultura, la aplicación del método de análisis de Papadakis a las comarcas de Tarragona". Tarraco, vol. IV-V, pp. 27-55, Dep. Geografía, Delegación Universitaria de Tarragona.

ALEXANDRE, J. y DAMME, C. (1980): "Evolution de la température selon l' heure et le site dans L' îlot de chaleur urbain de la région liegeoise". Recherches Géographiques a Strasbourg, pp. 121-127.

ALMARZA, C. (1984): Fichas hídricas normalizadas y otros parámetros hidrometeorológicos, Madrid, I. N. M.

ALONSO FERNÁNDEZ, J. (1971): "La utilización de computadoras en trabajos de meteorología y climatología". Geographica, núm. 2, pp. 68-74, Madrid.

ARLERY, R. (1955): "Application de la méthode des courbes de régression de R.A. Fisher à la recherche d'une relation entre les rendements agricoles et certains facteurs météorologiques". Le Météorologie, pp. 19-27, París.

ARLERY, R. GRISOLLET, H. y GUILMET, B. (1973): Climatologie. Méthodes et pratiques, París, Gauthier-villars.

ASCASO LIRIA, A. y CASALS MARCEN, M. (1981): "Períodos secos y sequías en la depresión central del Ebro". Geographicalia, pp. 55-71, Zaragoza.

AUDURIER-CROS, A. y IZARD, J.L. (1980): "Types de temps en climat méditerranéen français et conception architecturale bioclimatique". Méditerranée, pp. 67-79, Marseille.

AUSTIN MILLER, A. (1951): Climatología, Barcelona.

AVILA, M. y AVILA, F. (1987): "Le froid de janvier 1985 et les grands hivers passés dans le sud-ouest de la France". Revue Géographique des Pyrénées et du Sud-Ouest, tomo 58, núm. 1, pp. 5-22, Toulouse.

AYOADE, J.D. (1977): "On the use of multivariate techniques in climatic classification and regionalization". Archiv für Meteorologie. Ser. B. 24, pp. 257-267.

BALL, G.H. y HALL, D.D. (1967): "Clustering techniques for summarizing multivariate data". Behavioural Science, 12, pp. 153-155.

BALLING, R.C. (1980): "Classification and regionalization of climatic change". Great Plains-Rocky Mountain Geographical Journal, núm. 9, pp. 1-8.

BALLING, R.C. (1984): "Classification in Climatology" en Spatial Statistic and Models. GARY L. GAILE y CORT J. WILLMOTT (eds.), pp. 81-108. D. Reidel Publishing Company.

BARRETT, E.C. (1970): "Rethinking climatology". Progress in Geography, v. 2, pp. 153-205, London.

BARRY, R.G. (1967): "Models in Meteorology and Climatology", en Models in Geography. Chorley y Haggett eds. pp. 97-136.

BARRY, R.G. y CHORLEY, R.S. (1972): Atmósfera, Tiempo y Clima, Barcelona, Omega.

BARRY, R.G. y PERRY, A.H. (1973): Synoptic Climatology, Methods and Applications, London, Methuen.

BARRY, R.G. (1979): "Recent advances in climate theory based on simple climate models". Progress in Physical Geography, vol. 3, núm. 1, pp. 119-131, London.

BARRY, R.G. (1980): "Synoptic and Dinamic Climatology". Progress in Physical Geography, vol. 4, núm. 1, pp. 88-96. London.

BASILE, R.M. y CORBIN, W. (1969): "A graphical method for determining Thornthwaite climatic classifications". Annals of the Association of American Geographers, pp. 561-572, Washington.

BAUR, F. (1949): Situaciones generales meteorológicas de Europa, Madrid, I.N.M. (Serie A, 20, pp. 21-55).

BEGUIN, H. (1981): "L'emploi du transfert en classification. Resultats de simulations". L'Espace Géographique, núm. 2, pp. 81-88, París.

BENAVENTE HERRERA, J. y FRONTANA GONZALEZ, J. (1984): "Temperatura y evapotranspiración en un sector de la vertiente sur de España". Cuadernos Geográficos de la Universidad de Granada, vol. 12, pp. 27-40.

BERNABE MAESTRE, J.M. y MATEU BALLES, J.F. (1976): "Tratamiento estadístico de precipitaciones aplicado al País Valenciano". Cuadernos de Geografía, núm. 18, pp. 1-25, Universidad de Valencia.

BERRY, B.J.L. (1958): "A note concerning methods of classification". Annals of the Association of American Geographers, 48, pp. 300-303, Washington.

BERRY, B.J.L. (1967): "Grouping and regionalising: an approach to the problem using multivariate analysis" en Quantitative Geography, pp. 219-251, GARRISON, W.L. y MARBLE, D.F. (eds.), Northwestern University, Evanston.

BERTALANFFY, L.U. (1968): General Systems Theory, New York, Georges Braziller Foundations.

BERTRAND, G. (1968): "Paysage et géographie physique globale. Esquisse méthodologique". Revue Géographique des Pyrénées et du Sud-Ouest, 39, pp. 249-272, Toulouse.

BERTRAND, G. (1972): "Ecologie d' un espace géographique. Les géosystèmes, du valle de Prioro. (L' Espagne du Nord-Ouest)". L' Espace Géographique, T. 1, pp. 113-123, París.

BERTRAND, G. (1972): "Les structures naturelles de l' espace géographique. L' espace des Montagnes Cantabriques Centrales (N.O. de l' Espagne), in nº spécial consacré à la science du paysage". Revue Géographique des Pyrénées et du Sud-Ouest, 43, pp. 175-206. Toulouse.

BERTRAND, G. y DOLLFUS, D. (1973): "Le paysage et son concept". L' Espace Géographique, pp. 161-163, París.

BESANCENOT, J.P. (1986): "Climats tempérés et santé: quelques caractères originaux des risques climatiques majeurs aux latitudes moyennes". Bulletin de l'Association des Géographes Français, núm. 5, pp. 375-380, París.

BIEL LUCEA, A. (1943): "Masa aéreas troposféricas de España". Revista Universidad, 2-4, Zaragoza. \*

BIEL LUCEA, A. (1962): "Heladas". Boletín Mensual Climatológico, pp. 3-7, Madrid, I.N.M.

BIEL LUCEA, A. y GARCÍA DE PEDRAZA, L. (1962): El clima de Zaragoza y Ensayo climatológico para el Valle del Ebro, Madrid, I.N.M. pp. 80.

BIEL LUCEA, A. (1963): "Nubosidad e insolación".  
Boletín Mensual Climatológico, pp. 2-9, Madrid, I.N.M.

BIROT, P. (1956): "Evolution des théories de la circulation atmosphérique générale". Annales de Géographie, pp. 81-97, París.

BIROT, P. (1959): Précis de Géographie Physique Générale, París, A. Colin.

BLASING, T.J. (1975): "A comparison of map-pattern correlation and principal component eigenvector method for analysing climatic anomaly patterns". Fourth Conference on Probability and Statistic in Atmospheric Science, pp. 96-101, American Meteorological Society.

BOCQUET, G. (1979): "Géographie physique et informatique. Réflexion sur les possibilités de dépouiller par ordinateur les enregistrements issus des stations de mesures". Revue de Géographie Alpine, T. LXVII, pp. 207-235, Grenoble.

BOCQUET, G. (1979): "Géographie physique et informatique. Plaidoyer et propositions pour l'édification d'une base de donnéesgraphiques". Revue de Géographie Alpine, T. LXVII, pp. 329-347, Grenoble.

BORCHERT, J.R. (1953): "Regional differences in the world atmospheric circulation". Annals of the Association of American Geographers, pp. 14-26, Washington.

BOIX FERRERO, M; REL ROIG, A. y JODAR BONILLA, D. (1982): "La sequía de 1978-1981 en tierras valencianas". Cuadernos de Geografía, núm. 30, pp. 25-40, Universidad de Valencia.

BOLOS I CAPDEVILLA, M. de (1981): "Problemática actual de los estudios de paisaje integrado". Revista de Geografía, vol. XV, núm. 5, pp. 46-68, Universidad de Barcelona.

BRADSHAW, R. (1983): "El futuro de la Geografía cuantitativa". Geografía Teórica y cuantitativa: concepto y métodos, pp.297-318, Grupo de Métodos cuantitativos (AGE), Oviedo.

BREUER, G. (1982): La modificación del tiempo, Madrid.

BRINKMANN, W.A.R. (1979): "Associations between temperature trends". Annals of the Association of American Geographers, 69, 2, pp. 250-262, Washington.

BROSSARD, T. (1987): "Paisage visible et simulation numérique". Bulletin de l'Association des Géographes Français, núm. 2, pp. 163-174, París.

BRU BISTUER, J. (1980): "Las precipitaciones anuales en la cuenca del río Ter". Notes de Geografía Física, 3, pp. 9-21, Universidad de Barcelona.

BRUCE, J.P. y CLARK, R.H. (1977): Introduction to Hidrometeorology, Oxford.

BRUNET, R. (1979): "Systèmes et approche systémique en géographie". Bulletin de l'Association des Géographes Français, pp. 399-407, París.

BRUNET INDIA, M. (1982): "La aplicación del método sinóptico al análisis de las situaciones de precipitación en el Camp de Tarragona". Cuadernos de Geografía, 3, pp. 165-183, Universidad de Barcelona.

BUENDIA MOYA, G. (1985): Régimen normal de precipitaciones en la provincia de Valladolid, Madrid, I.N.M.

BURGUENO RIVERO, A. (1981): "Diversos aspectos climatológicos de la lluvia en Barcelona". Notes de Geografía Física, 5, pp. 3-16, Universidad de Barcelona.

BURT, J.E. (1986): "Time averages climatic change and predictability". Geographical Analysis, vol. 18, núm. 4, pp. 279-293, Ohio State University Press.

BYERS, H.R. (1974): General Meteorology, New York.

CALONGE CANO, G. (1984): Climatología de los inviernos de Valladolid, Valladolid, Secretariado de publicaciones de la Universidad.

CAÑADA TORRECILLA, M.R. (1983): "El régimen medio anual de las precipitaciones en Cáceres". Boletín de la Real Sociedad Geográfica, T. CXIX, pp. 32-46, Madrid.

CAÑADA TORRECILLA, M. R. (1984): "Estudio climático de la provincia de Cáceres". Estudios Geográficos, pp. 277-301.

CANADA TORRECILLA, M. R. (1986): "Análisis espacial de las precipitaciones en Cáceres". II Coloquio de Geografía Cuantitativa, pp. 137-156, Madrid.

CANADA TORRECILLA, M. R. y GALAN GALLEGO, E. (1987): "Métodos de reducción y discriminación en regionalización climática". X Congreso de Geografía, pp. 277-291, Zaragoza.

CAPEL MOLINA, J.J. (1972): "Evolución y desarrollo de la ola de frío del 21 de diciembre de 1970 al 3 de enero de 1971 sobre la Península Ibérica". Cuadernos geográficos de la Universidad de Granada, núm. 2, pp. 69-83.

CAPEL MOLINA, J.J. (1974): "Génesis de las inundaciones de octubre de 1973 en el sureste de la Península Ibérica". Cuadernos geográficos de la Universidad de Granada, núm. 4, pp. 149-166.

CAPEL MOLINA, J.J. (1975): El clima de la Cuenca Baja del Guadalquivir: Tipos de Tiempo, Tesis Doctoral, Universidad de Granada.

CAPEL MOLINA, J.J. (1975): "Tipos de tiempo de invierno en la Andalucía Atlántica". Boletín de la Real Sociedad Geográfica, pp. 163-185, Madrid.

CAPEL MOLINA, J.J. (1977): "El clima de la Cuenca Baja del Guadalquivir. Síntesis geográfica". Cuadernos geográficos de la Universidad de Granada, núm. 7, pp. 307-350.

CAPEL MOLINA, J.J. (1977): "Insolación y Nubosidad en la España Peninsular y Baleares". Paralelo 37º, núm 1, pp. 9-25, Dep. Geografía, Colegio Universitario de Almería.

CAPEL MOLINA, J.J. (1978): "Avance sobre las invasiones de aire cálido en la Península Ibérica: mecanismos". Cuadernos Geográficos de la Universidad de Granada, núm. 8, pp. 45-62.

CAPEL MOLINA, J.J. (1978): "Tipos de tiempo de verano en el Bajo Guadalquivir". Estudios Geográficos, núm. 151, pp. 163-185, Madrid.

CAPEL MOLINA, J.J. (1981): "Los mecanismos de la precipitación en la España atlántica y el flujo a los 500 mb". Aportación española al XXIV Congreso Internacional de Geografía de Tokio, pp. 41-50, Madrid.

CAPEL MOLINA, J.J. (1981): Los climas de España, Barcelona, Oikos-tau.

CASCOS MARAÑA, C.S. de (1982): Contribución al estudio de los tipos de tiempo en los veranos de Valladolid, Valladolid, Institución cultural Simancas.

CASTELLANI, J.C. (1986): "Régionalisation des précipitations annuelles par la méthode de la régression linéaire simple: l' exemple des Alpes du Nord". Revue de Géographie Alpine, T. LXXIV, núm. 4, pp. 393-403, Grenoble.

CASTILLO REQUENA, J.M. (1978): "Estudio sobre el comportamiento de la gota de aire frío y la distribución de sus consecuencias pluviométricas en la España peninsular". Paralelo 37º, 2, pp. 57-80, Dep. Geografía, Colegio Universitario de Almería.

CASTILLO REQUENA, J. M. (1980): "Causas de la indigencia pluviométrica del Levante andaluz". Paralelo 37º, 4, pp. 153-174, dep. Geografía, Colegio Universitario de Almería.

CASTILLO REQUENA, J.M. (1983): "Mecanismos de la precipitación en Sierra Nevada". Quadernos Geográficos de la Universidad de Granada, núm. 11, pp. 127-152.

CASTILLO REQUENA, J.M. (1985): Precipitaciones y tipos de tiempo en las Béticas-Alto Guadalquivir, Madrid, I.N.M.

CASTRO AGUIRRE, C. de (1982): "Elementos de Metodología Descriptiva para el Análisis Espacial". Lurralde, 5, pp. 409-471, Donostia, I.N.G.E.B.A.

C.E.O.T.M.A. (1982): Guía para la elaboración de estudios del medio físico: contenido y metodología, Madrid.

CLAVAL, P. (1970): "L'influence de la géographie physique et de la géographie naturelle sur les concepts et les méthodes de la géographie humaine". Revue Géographique des Pyrénées et du Sud-Ouest, T. 41, núm. 2, pp. 113-122, Toulouse.

CLAVAL, P. (1972): "La réflexion théorique en Géographie et les méthodes d'analyse". L'Espace Géographique, 1, pp. 7-22, París.

CLAVAL, P. (1985): "Nouvelle géographie, communication et transparence". Annales de Géographie, núm. 522, pp. 129-141, París.

CLAVERO PARICIO, P.L. y RASO NADAL, J.M. (1979): "Catálogo de tipos sinópticos para un estudio climático del Este de la Península y Baleares". Aportacions en homenatge al geògraf Salvador Llobet, pp. 63-86, Dep. Geografía, Universidad de Barcelona.

CLAVERO, P; MARTIN VIDE, J. y RASO, J.M. (1980): "Las precipitaciones de octubre de 1979 en Barcelona". Notes de Geografía Física, 2, pp. 11-27, Dep. Geografía, Universidad de Barcelona.

CLAVERO PARICIO, P.L. (1980): "Estudio climatológico de los días de precipitación en Valencia". Notes de Geografía Física, 3, pp. 23-34, Dep. Geografía, Universidad de Barcelona.

CLAVERO, P; MARTIN VIDE, J. y RASO, J.M. (1981): "Las advecciones frías y las temperaturas mínimas de diciembre de 1980 en Barcelona". Notes de Geografía Física, 4, pp. 17-30, Dep. Geografía, Universidad de Barcelona.

CLAVERO PARICIO, P.L. (1981): "Estudio de la persistencia de días de precipitación en Valencia. Probabilidades de secuencias de n días". Notes de Geografía Física, 4, pp. 31-38, Dep. Geografía, Universidad de Barcelona.

CLAVERO, P; MARTIN VIDE, J. y RASO, J.M. (1981): "Los episodios fríos de diciembre de 1980 en las montañas catalanas". Notes de Geografía Física, 5, pp. 17-32, Dep. Geografía, Universidad de Barcelona.

CLAVERO, P.; MARTIN VIDE, J. y RASO, J. M. (1982): "La climatología actual: el uso de métodos estadísticos y modelos probabilísticos. Proyecto de un estudio termopluviométrico de Cataluña". Notes de Geografía Física, 8, pp. 5-10, Dep. Geografía, Universidad de Barcelona.

CLAVERO PARICIO, P.L. (1983): "Probabilidades de precipitaciones intensas en diversos observatorios de Cataluña". Notes de Geografía Física, 9, pp. 33-38, Dep. Geografía, Universidad de Barcelona.

COOLET, C. (1981): "Comparaison de méthodes de classification appliquées à des données de télédétection". L'Espace Géographique, núm. 1, pp. 25-32, París.

COMEILLAS, J.L. (1963-64): "Los estados de tiempo en la Cuenca de Pamplona". Geográfica, X-XI, pp. 3-34.

COMMERÇON, N. y J. C. (1978): "Une méthode de comparaison à l'usage des géographes. L'analyse factorielle des correspondances". Revue de Géographie de Lyon, 2, pp. 139-156.

CONEZA GARCIA, C. (1985): "Inundaciones en Lorca (Murcia): riesgo y expectación". Papeles de Geografía (Física), núm. 10, pp. 31-47, Universidad de Murcia.

CONRAD, V. y POLLAK, L. W. (1962): Methods in Climatology, Cambridge-Massachusetts, Harvard University Press.

CORBY, G.A. (1970): "Proceedings on the global circulation of the atmosphere". Royal Meteorological Society, 1-2, Londres.

COSTA I CAMPOS, J. (1983): "La distribución de las precipitaciones anuales y estacionales en la Cuenca del río Llobregat". Notes de Geografía Física, 10, pp. 11-16, Dep. Geografía, Uni. Barcelona.

COURT, A. (1957): "Climatology: complex, dynamic, and synoptic". Annals of the Association of American Geographers, pp. 125-136, Washington.

CRADDOCK, J.M. (1973): "Problems and prospects for eigenvector analysis in meteorology". The Statistician, 22, pp. 133-145.

CRADDOCK, J.M. (1975): "Sistema para facilitar el empleo de los ordenadores en problemas climatológicos y estadísticos". Boletín de la O.M.M., XXIV, pp. 23-30. Ginebra.

CREUS NOVAU, J. (1975): "Los estudios climáticos desde el campo de la geografía". Cuadernos de Investigación, I, pp. 41-49, Colegio Universitario de Logroño.

CREUS NOVAU, J. (1978): "La transición climática Altoaragonesa". Estudios Geográficos, núm. 153, pp. 495-519, Madrid.

CREUS NOVAU, J. y PUIGDEFABREGAS, J. (1978): "Influencia del relieve en la distribución de las precipitaciones máximas: un ejemplo pirenaico". Cuadernos de Investigación, IV, pp. 11-23, Colegio Universitario de Logroño.

CREUS NOVAU, J.; PUIGDEFÀBREGAS, J. y GARCÍA RUFIZ, J.M. (1981): "Duración de períodos secos en el Alto Aragón". VII Coloquio de Geografía, pp. 53-60, Pamplona.

CREUS NOVAU, J. (1983): "Evaluación de la precipitación media anual en cuencas hidrográficas". VIII Coloquio de Geografía. Ponencia sobre Métodos y Técnicas recientes en Geografía Física, pp. 3-10, Barcelona.

CREUS NOVAU, J. (1983): El clima del Alto Aragón Occidental, Jaca, Monografías del Instituto de Estudios Pirenaicos.

CUADRATS PRATS, J.M. (1983): "Método de clasificación de tipos de tiempo aplicados al turismo de montaña". VIII Coloquio de Geografía. Ponencia sobre Métodos y Técnicas recientes en Geografía Física, pp. 11-16, Barcelona.

CUADRATS PRATS, J.M. (1984): "Distribución y régimen de las precipitaciones en Aragón". Aportación española al XXV Congreso Geográfico Internacional, pp. 17-31, París.

CHARRE, J. y DUMOLARD, P. (1973): "Essai de classification synthétique des climats de la Turquie". Méditerranée, 3, pp. 51-65, Marseille.

CHOLLEY, A. (1948): "Remarques sur quelques points de vue géographiques". L' Information Géographique, pp. 85-90, París.

CHORLEY, J. y HAGGET, P. (1968): Models in geography, London, Methuen.

CHORLEY, R.G. (1971): "The role and relations of physical geography". Progress in Geography, 3, pp. 88-109, London.

CHORLEY, J. (1975): Nuevas tendencias en Geografía, Madrid, Instituto de Estudios de la Admimistración Local.

CHRISTENSEN, W.I. y BRYSON, R.A. (1966): "An investigation of the potential of component analysis for weather classification". Monthly Weather Review, 94, pp. 697-709.

DADY, G. (1962): "L' état actuel de la Météorologie Dynamique". La Météorologie, 68, pp. 317-325, París.

DANTÍN CERECEDA, J. y REVENGA CARBONELL, A. (1941): "Las líneas y las zonas isóxeras de España, según los índices termopluvimétricos. Avance al estudio de la aridez en España". Estudios Geográficos, 2, pp. 35-91, Madrid.

DAUPHINE, A. (1973): "L' Anayse factorielle: ses contraints mathematiques et ses limites en geographie". L' Espace Géographique, 1, pp. 74-80, París.

DAUPHINE, A. (1975): "Les régimes pluviométriques et leur distribution spatiale dans les Midis Français". L' Espace Géographique, 1, pp. 53-63, París.

DAUPHINE, A. y FULCONIS, M. (1980): "Un exemple de climatologie appliquée: les situations synoptiques favorables aux observations astronomiques". Méditerranée, pp. 81-85, Marseille.

DAUPHINE, A; DURAND-DASTÉS, F. y SAINTIGNON, M.F. (1980): "Informatique et statistique en Climatologie géographique". Information des Sciences Humaines, 48, pp. 75-86.

DAUPHINE, A. (1980): "Démarches et Mathématiques en climatologie". Bulletin de l' Association des Géographes Français, 468, pp. 139-144, París.

DAUPHINE, A. (1984): "Les connexités pluviométriques en Méditerranée". L' Espace Géographique, 2, pp. 113-124, París.

DAVEAU, S. (1977): Répartition et rythme des précipitations au Portugal, Lisboa, Instituto Nacional de Investigación Científica.

DAVIDSON, D.A. (1978): Science for Physical Geographers, London, Arnold.

DELANNOY, H. y LECOMPTE, M. (1975): "Méthode d' étude des régions thermiques en liaison avec les situations météorologiques dans le Moyen-Atlas (Maroc)". Bulletin de l' Association des Géographes Français, pp. 83-94, París.

DELANNOY, H; LECOMPTE, M.y ROMANE, F. (1979): "Géographie des températures quotidiennes dans le Moyen-Atlas et ses bordures: analyse multivariée et situations atmosphériques". L' Espace Géographique, pp. 25-41, París.

DELANNOY, H. y LECOMPTE, M. (1980): "Utilisation de l' analyse factorielle des correspondances pour l' étude des précipitations quotidiennes: un exemple au Maroc". Méditerranée, pp. 29-36, Marseille.

DELANNOY, H. (1980): "Remarques sur les brouillards d' été dans quelques stations côtières du Maroc atlantique". Méditerranée, pp. 37-47, Marseille.

DELANNOY, H. (1982): "Introduction à l' étude des relations entre les températures des eaux océaniques et les précipitations côtières marocaines". Norois, 29, 116, pp. 535-545, Poitiers.

DIXON, R; SPACKMAN, A; JONES, I. y FRANCIS, A. (1972): "The global analysis of meteorological data using orthogonal polynonical base functions". Journal of Atmospheric Science, 29, pp. 609-622.

DOLLFUS, O. (1978): El análisis geográfico, Barcelona, Oikos-tau.

DOLLFUS, O. (1982): El espacio geográfico, Barcelona, Oikos-tau.

DONN, W.L. (1978): Meteorología, Barcelona, Reverté.

DOUGUEDROIT, A. y SAINTIGNON, M.F. (1970): "Méthode d' étude de la décroissance des températures en montagne de latitude moyenne: exemple des Alpes français du Sud". Revue de géographie Alpine, 3, pp. 453-472, Grenoble.

DOUGUEDROIT, A. (1980): "L' evolution des hypothèses de recherches et des méthodes quantitatives: exemple du gradient thermique en altitude". Bulletin de l' Association des Géographes Français, 468, pp. 145-150, Paris.

DOUGUEDROIT, A. (1980): "Caractérisation de la sécheresse par les séquences sèches (exemple de la région Provence-Alpes-Côte d'Azur)". Recherches géographiques à Strasbourg, pp. 25-31.

DOUGUEDROIT, A. (1984): "Les gradients de températures et de précipitations en montagne". Revue de géographie Alpine, 2-3, pp. 225-240, Grenoble.

DUE ROJO, A. (1954): "El jet stream, río aéreo estratosférico". Revista de Geofísica, pp. 117-122, Madrid.

DUMOLARD, P. (1975): "Région et régionalisation. Une approche systémique". L'Espace Géographique, 2, pp. 93-111, Paris.

DURAND-DASTES, F. (1972): Climatología, Barcelona, Ariel.

DURAND-DASTES, F. (1974): "Quelques remarques sur l'utilisation des modèles". Bulletin de l'Association des Géographes Français, 413-414, pp. 43-50, Paris.

DURAND-DASTES, F. (1974): "A propos des notions de type de temps et de type de circulation". Rapport renéotypé présenté aux journées de climatologie de Rennes, pp. 4.

DURAND-DASTES, F. (1975): "Les systèmes de circulation atmosphérique". Cahier n° 7 du Centre de Recherches de Climatologie, pp. 33-72, Dijon.

DURAND-DASTES, F. (1979): "La notion de système et la circulation atmosphérique". Bulletin de l'Association des Géographes Français, 465, pp. 391-398, Paris.

EBDON, D. (1982): Estadística para geógrafos, Barcelona, Oikos-tau.

ELIAS CASTILLO, F. (1963): Precipitaciones máximas en España. Régimen de intensidades y frecuencias, Madrid, Ministerio de Agricultura.

ELIAS CASTILLO, F. y RUIZ BELTRÁN, L. (1977): Agroclimatología de España, Madrid, Ministerio de Agricultura.

ESCOURROU, G. (1978): Climatologie pratique, París, Masson.

ESCOURROU, G. (1981): Climat et environnement: les facteurs locaux du climat, París, Masson.

ESCOURROU, G. (1982): "Espace géographique et manifestation climatique". L'Information Géographique, 46, pp. 3-12, París.

ESCOURROU, G. (1984): "Climatologie et hydrologie urbaines". Bulletin de l' Association des Géographes Français, 500, pp. 83-97, París.

ESSENWANGER, O. (1960): "Linear and logarithmic scale for frequency distribution of precipitation". Geofísica pura e aplicata, 45, pp. 199-214.

ESSENWANGER, O. (1960): "Frequency distributions of precipitation" en H. KEICKMAN (ed), Physics of Precipitation, pp. 271-278, Washington, American Geographical Union.

ESSENWANGER, O. (1976): Applied Statistics in Atmospheric Science. Part A. Frecuencies and Curve Fitting, Amsterdam, Elsevier.

ESTIENNE, P. (1951): "Pour une conception géographique du climat". Revue de géographie Alpine, pp. 331-343, Grenoble.

ESTIENNE, P. (1952): "Le problème des variations climatiques en pays tempéré". Revue de géographie Alpine, pp. 241-252, Grenoble.

FAUGÈRES, L. y GODARD, A. (1986): "Les géographes devant l'environnement physique". Annales de Géographie, 528, pp. 168-192, París.

FERNANDEZ GARCÍA, F. (1980): "Diferenciación regional en función de las precipitaciones y su dinámica en la Meseta Meridional". Estudios Geográficos, 159, pp. 145-170, Madrid.

FERNANDEZ GARCÍA, F. (1983): "La disimetría pluviométrica entre las vertientes Norte y Sur del Sistema Central". VII Coloquio de Geografía, pp. 91-98, Salamanca.

FERNÁNDEZ GARCÍA, F. y GALÁN GALLEGOS, E. (1983): "Características térmicas del Valle del Tiétar". VII Coloquio de Geografía, pp. 99-108, Salamanca.

FERNÁNDEZ GARCÍA, F. (1986): El clima de la Meseta Meridional: los tipos de tiempo, Madrid, Universidad Autónoma.

FERNANDEZ GUTIÉRREZ, F. (1978): "Consideraciones metodológicas y experimentales del análisis factorial en Geografía". Cuadernos de Geografía, 8, pp. 85-101, Universidad de Granada.

FEYERMERM, A.M. y BARK, L.D. (1965): "Statistical methods for persistent precipitation patterns". Journal of applied meteorology, 4, pp. 320, 328.

FEYERMERM, A.M. y BARK, L.D. (1967): "Goodness of fit of a Markov chain model for sequences of wet and dry days". Journal of applied meteorology, 6, pp. 770, 773.

FLOHN, H. (1970): "Climatología, ¿ ciencia descriptiva o física? ". Boletín de la O.M.M., XIX, 4, pp. 272-279, Ginebra.

FONT TULLOT, I. (1956): "Las olas de frío en el mes de febrero". Boletín Mensual Climatológico, Madrid, I.N.M.

FONT TULLOT, I. (1957): "Períodos fríos en la Península Ibérica". Revista de Geofísica, 61, pp. 41-60, Madrid.

FONT TULLOT, I. (1983): Atlas climático de España, Madrid, I.N.M.

FONT TULLOT, I. (1983): Climatología de España y Portugal, Madrid, I.N.M.

FONT TULLOT, I. (1983). "Algunas observaciones sobre las lluvias excepcionales en la vertiente mediterránea española". Estudios Geográficos, pp. 31-54, Madrid.

FRÉCAUT, R. y PAGNEY, P. (1978): Climatologie et hidrologie fluviale à la surface de la terre, París.

FUSSET, R. (1986): "Géographie: théories et méthodes". Annales de Géographie, 258, pp. 219-232, París.

FONTAINE, P. (1951): "Les gouttes d' air froid". La Météorologie, pp. 98-112, París.

GALÁN GALLEGÓ, E. (1981): "El clima de la provincia de Toledo". Estudios Geográficos, pp. 19-49, Madrid.

GALÁN GALLEGÓ, E. (1984): "Aplicación del Análisis Discriminante en la distinción de situaciones ciclónicas y anticiclónicas invernales en Madrid". Estudios Geográficos, pp. 353-369, Madrid.

JOVER Y FERNANDEZ DE BOBADILLA, D. (1977): Notas sobre el clima de Toledo, Madrid, I.N.M.

GAGLIARDO, P. (1975): "Notes critiques sur l' utilisation de l' analyse factorielle en Géographie". Cahiers de Géographie, 12, pp. 83-92, Besançon.

GARETH, S y WHEELER, D. (1985): Statistical Techniques in Geographical Analysis, Gran Bretaña, Wiley and Sons.

GARCÍA DE PEDRAZA, L. (1960): "Olas de calor". Tempero, pp. 12-15, Zaragoza.

GARCÍA DE PEDRAZA, L. (1960): "Olas de frío". Tempero, pp. 26-31, Zaragoza.

GARCÍA DE PEDRAZA, L. (1963): "Masas de aire. Olas de frío y calor". Boletín Mensual Climatológico, pp. 2-9, Madrid, I.N.M.

GARCÍA DE PEDRAZA, L. y CASTILLO REQUENA, J.M. (1981): "Influencia de la configuración topográfica de la Península Ibérica en sus caracteres meteorológicos y climáticos". Paralelo 37º, 5, pp. 31-41, Dep. Geografía, Colegio Universitario de Almeia.

GARCÍA FERNÁNDEZ, J. (1963): El clima de España (Apuntes policopiados), Cátedra de Geografía, Universidad de Valladolid.

GARCÍA FERNÁNDEZ, J. (1986): El clima en Castilla y León, Valladolid, Ámbito.

GARCÍA MARTÍN, B. (1985): El paisaje agrario de la Tierra de Coria. sus transformaciones e incidencias, Universidad de Salamanca, Institución Cultural "El Brocense".

GARNIER, R. (1978): "Aperçu de climatologie dinamique". La Météorologie, 13, pp. 73-94, París.

GARNIER, R. (1979): "Anomalies climatiques et circulation générale". La Météorologie, 18, pp. 157-164, París.

GEORGES, P. (1973): Los métodos de la Geografía, Barcelona, Oikos-tau.

GIL OLCINA, A. (1983): "Lluvias de excepcional intensidad e inundaciones en el Campo de Alicante". Estudios Geográficos, núm 170-171, pp. 121-142, Madrid.

GIL OLCINA, A. (1983): "Lluvias excepcionales en la noche del 19 al 20 de octubre de 1982 y riada en el Barranco de las Ovejas", en Lluvias torrenciales e inundaciones en Alicante, pp. 5-23, Alicante, Instituto Universitario de Geografía.

GIL OLCINA, A. (1984): "Climatología", en Geografía General I, pp. 158-221, Madrid, Bielza de Ory (ed.), Taurus.

GIMÉNEZ MARTÍNEZ, F. (1984): "Régimen y variabilidad de las precipitaciones atmosféricas en el surco intrabético". Cuadernos geográficos de la Universidad de Granada, 12, pp. 41-70.

GIAO, A. (1966): Climatologie dynamique de la Péninsule Ibérique, vol. 4, pp. 127-207, Lisboa, Inst. Gulbelkian de Ciencia.

GODSKE, C.L. (1966): "Methods of statistic and some applications to climatology". Statistical analysis and ... in Meteorology, pp. 9-86, Ginebra, O.M.M.

GONZÁLEZ BERNALÉZ; ROMAN F. y SEMPERE, M.C. (1970): "Analyse factorielle de données climatologiques". Anales de Edafología y Agroclimatología, 29, pp. 23- 44.

GORDON, A. (1965): Elementos de Meteorología Dinámica, México, Unión Topográfica editorial.

GRIFFITH, J.F. (1976): Climate and the environment. The atmospheric impact on man, London, Elek Books Ltd.

GRIFFITH, D.A. (1985): "An evaluation of correction techniques for boundary effects in spatial statistical analysis: contemporary methods". Geographical Analysis, vol. 17, núm. 1, pp. 81-88, Ohio State University Press.

GRIFFITH, D.A. (1987): "Toward a theory of spatial statistics: another step forward". Geographical Analysis, vol. 19, núm. 1, pp. 69-82, Ohio State University Press.

GRIGG, D. (1967): "Regions, models and classes", en Models in Geography, pp. 461-501, R.J. Chorley y P. Haggett (ed.), London, Methuen.

GRINGORTEN, I. (1966): "A stochastic model of the duration and frequency of weather events". Journal of applied meteorology, pp. 606-624.

GRISOLLET, H; GUILMET, B. y ARLERY, R. (1962): Climatologie. Méthodes et pratiques, París, Gauthier-Villars.

GUERRIER, O. (1978): "Synthèse de données climatologiques (thermométric et pluviométric par l' analyse en composantes principales". Cuadernos de Investigación, T. IV, pp. 23-28, Colegio Universitario de Logroño.

GUIGO, M. (1983): "Géographie physique, statistique et informatique". Annales de Géographie, pp. 268-283, París.

HAGGETT, P; CLIFF, A.D. y FREY, A. (1977): Locational Methods, London, Edward Arnold.

HARE, F.K. (1955): "Dynamic and synoptic climatology". Annals of Association American Geographers, vol 45, pp. 152-162, Washington.

HARE, F.K. (1957): "The dynamic aspects of climatology, Geografiska Annaler, núm. 2-3, pp. 87-104, Stockholm.

HARE, F.K. (1981): "Climatic classification", en Essays in Geography, pp. 111-134, L.D. Stamp y S.W. Wooldridge (eds.), London.

HARMAN, H.H. (1970): Modern Factor Analysis, Chicago.

HARVEY, D. (1969): Explanation in Geography, London, Edward Arnold.

HERSFIELD, D.M. (1970): "A comparasion of conditional and un conditional probabilities for wet and dry day sequences". Journal of applied meteorology, 9, pp. 825, 827.

HESSINGER, E. (1949): "La distribución estacional de las precipitaciones en la Península Ibérica y sus causas". Estudios Geográficos, 34, pp. 59-129, Madrid.

HOREL, J.D. (1981): "A rotated principal component analysis of the interannual variability of the northern hemisphere 500 mb height field". Monthly Weather Review, 109, pp. 2080-2092.

HORN, L.M. y BRYSON, R.A. (1960) "Harmonic analysis of the annual march of precipitation over the United States". Annals of the Association of American Geographers, 50, pp. 157-171, Washington.

HOSKINS, B.J. (1971): "Atmospheric frontogenesis models: some solutions". Royal Meteorology Society, 142, pp. 139-153.

HUFTY, A. (1972): "Les types de temps dans le Quebec Méridional". Cahiers de Géographie du Quebec, pp. 29-52.

HUFTY, A. (1975): "Gradients verticaux de température et combinaisons des éléments du temps". Annales de Géographie, nº 485, pp. 526-542, París.

HUFTY, A. (1976): Introduction à la climatologie, París, P.U.F. (traducción al castellano en Ariel, 1984. Prólogo Albentosa).

HUFTY, A. (1976): "Situations synoptiques et analyse multivariée des temps au Quebec". Cahiers de Géographie du Quebec, nº 49, pp. 69-92.

HUFTY, A. (1981): Propos sur la climatologie". Annales de Géographie, XC,500, pp. 428-443, París.

HUERTA, F. (1975): Bibliografía Meteorológica española, Madrid, I.N.M. (Serie E, 2).

I.N.M. (1969): Defensa contra las heladas, Madrid, (Serie G, nº 3) ( Traducción de la nota técnica de la O.M.M. 133).

I.N.M. (1970): Catálogo de tipos de tiempo a gran escala en Europa, Madrid.

ISARD, W. (1971): Métodos de Análisis Regional, Barcelona, Ariel.

ISNARD, H. (1980): "Methodologie et Géographie". Annales de Géographie, pp. 129-143, París.

ISNARD, H. (1985): "La géographie à la recherche de son unité". Annales de Géographie, 522, pp. 145-151, París.

JACKSON, D.M. (1969): "Comparison of classifications" en A.J. Cole (ed.), Numerical Taxonomy, pp. 91- 111, London, Academic Press.

JACOBS, W.C. (1946): "Synoptic climatology". Bulletin of the American Meteorological Society, 27, pp. 306-311.

JACOBS, W.C. (1974): "Wartime developments in applied climatology". Meteorological Monographs of the American Meteorological Society, vol. I, núm. 1.

JANSA CLAR, A. (1974): "Ciclogénesis, aspectos físicos y sinópticos". Revista de Geofísica, vol. XXXIII, nº 12, pp. 103-137, Madrid.

JANSA GUARDIOLA, J.M. (1951): "Enlace de la climatología con la meteorología dinámica". Revista de Aeronáutica, pp. 911-916, Madrid.

JANSA GUARDIOLA, J.M. (1954): "La climatología como ciencia geográfica". Estudios Geográficos, 57, pp. 569-587, Madrid.

JANSA GUARDIOLA, J.M. (1958): "Los diagramas mixtos en Meteorología". Revista de Geofísica, nº 66, pp. 161-172, Madrid.

JANSA GUARDIOLA, J.M. (1959): "La masa de aire mediterránea". Revista de Geofísica, nº 69, pp. 35-50, Madrid.

JANSA GUARDIOLA, J.M. (1960): Meteorología teórica: dinámica, Madrid, I.N.M. (Serie B, 15).

JANSA GUARDIOLA, J.M. (1962): "Choques de presión en las irrupciones frías". Revista de Geofísica, nº 75, pp. 269-284, Madrid.

JANSA GUARDIOLA, J.M. (1962): "El frente mediterráneo". Revista de Geofísica, nº 83, pp. 249-259, Madrid.

JANSA GUARDIOLA, J.M. (1963): "La corriente en chorro mediterránea". Saitabi, pp. 87-104, Valencia.

JANSA GUARDIOLA. J.M. (1966): "Meteorología del Mediterráneo occidental". Tercer ciclo de conferencias desarrollado en el Instituto Nacional de Meteorología durante el año 1964, Madrid, I.N.M. (Serie A, 43).

JANSA GUARDIOLA, J.M. (1973): "Las anomalías climatológicas en España". Calendario Meteorofenológico, pp. 161-169, Madrid, I.N.M.

JANSA GUARDIOLA, J.M. (1983): Curso de Climatología, Madrid, I.N.M.

JARDI, M. (1984): "Comprobación de un modelo matemático para la transformación de precipitaciones en caudales para una cuenca determinada". Notes de Geografía Física, 10, pp. 33-37, Universidad de Barcelona.

JOHNSTON, R.G. (1968): "Choice of classification: the subjectivity of objective methods". Annals of Association American Geographers, pp. 575-589, Washington.

JOHNSTON, R.J. (1970): "Grouping and regionalizing: some methodological and technical observations". Economic Geography, 46, pp. 243-305.

JOHNSTON, R.J. (1978): Multivariate Statistical Analysis in Geography, London, Longman.

JOHNSTON, R.J. (1981): "Regarding the delimitation of regions according to climatic fluctuations". Archiv für Meteorologie, Geophysik und Bioklimatologie, Ser. B, 29, pp. 215-228.

JOHNSTON, R.G. (1983): "Resource analysis, resource management and the integration of physical and human geography". Progress in Physical Geography, vol. 7, nº 1, pp. 127-146, London.

JOLY, D. (1987): "Le paysage climatique. Pour une formulation systémique du climat". Bulletin de l'Association des Géographes Français, 2, pp. 175-184, Paris.

JUAREZ SANCHEZ-RUBIO, C. (1977): Características climáticas de la Cuenca del Guadiana y sus repercusiones agrarias, Universidad de Salamanca.

KALKSTEIN, L. y CORRIGAN, P. (1981): "A synoptic climatological approach for geographical analysis: assessment of sulfur dioxide concentrations". Annal of the Association American Geographers, vol. 76, nº 3, pp. 381-395, Washington.

KING, L.J. (1970): "Discriminant Analysis: a review of recent theoretical contribution and applications". Economic Geography, vol. 46, nº 2, pp. 367-378. Proceedings, I.G.U., Commission on Quantitative Methods.

KUITZBACH, J. (1974): "Fluctuaciones climáticas. Estudio del fenómeno y utilización de modelos". Boletín de la O.M.M. nº 3, pp. 196-207.

KUITZBACH, J. (1975): "Fundamentos físicos del clima y modelos climáticos". Boletín de la O.M.M. nº 1, pp. 11-19.

LADD, J.W. y DRISCOL, D.M. (1980): "A comparison of objective and subjective means of weather typing- an example from West Texas". Journal of Applied Meteorology, 19, pp. 691-704.

LAMB, H.H. (1972): Climate: Present, Past and Future, London, Methuen.

LAMB, H.H. (1972): British Isles Weather types and a register of the daily sequences of circulation patterns 1861-1971, London, Meteorological Office (Geophysical Memoirs, 116).

LANKFORD, P.M. (1969): "Regionalization theory and alternative algorithms". Geographical Analysis, 1, pp. 196-212, Ohio State University Press.

LANKFORD, P.M. y SEMPLE, R. K. (1973): "Classification and Geography". Geographia Polonica, 25, pp. 7-30.

LANDSBERG, H.E; MITCHELL, J.M. y CRUTCHER, H.L. (1959): "Power spectrum analysis of climatological data for woodstock college". Monthly weather review, 87, pp. 283-298.

LANDSBERG, H.E. (1974): "Aplicaciones especiales de la Meteorología y climatología". Boletín de la O.M.M., XXIII, 1, pp. 29-32.

LANDSBERG, H.E. (1982): "La climatología, presente y futuro". Boletín de la O.M.M., 4, pp. 402-410.

LAUTENSACH, H. (1956): "El ritmo de las estaciones en la Península Ibérica". Estudios Geográficos, XVII, 64, pp. 443-461, Madrid.

LAUTENSACH, H. (1962): "Características y ritmo anual de la temperatura en la Península Ibérica". Estudios Geográficos, 87, pp. 259-292, Madrid.

LAUTENSACH, H. (1971): La precipitación en la Península Ibérica, Madrid, I.N.M. (Notas de Meteorología Sinóptica, 25).

LAWSON, M. P; BALLING, R. C; PETERS, A. J. y RUNDQUIST, D.C. (1981): "Spatial analysis of secular temperature fluctuations". Journal of Climatology, 1, pp. 325-332.

LEDAS, J. y ROCHE, G. (1965): Cours de météorologie general, París, Ecole de la Météorologie.

LEE, D.H.K. (1953): "Physical climatology as a field of study". Annals of Association of American Geographers, pp. 127-137, Washington.

LEIGHLY, J. (1955): "What was happened to physical geography?". Annals of Association of American Geographers, pp. 309-318, Washington.

LEIGHLY, J. (1970): "Graphic derivation of elements of the solar climate". Annals of Association of American Geographers, pp. 174-184, Washington.

LEITH, C.E. (1979): "Prévisibilité du climat". La Météorologie, VI, 16, pp. 55-61, París.

LEMAY, G. y RACINE, J.B. (1972): "L' analyse discriminatoire des correspondances typologiques dans l' espace géographique". L' Espace Géographique, pp. 145-166, París.

LEROUX, M. (1986): "L' anticyclone mobile polaire: facteur premier de la climatologie tempérée". Bulletin de l' Association de Géographes français, 4, pp. 311-328, París..

LINES ESCARDO, A. (1959): "Singularidades en el curso anual de los fenómenos atmosféricos de España". Revista de Geofísica, XVIII, 69, pp. 29-39, Madrid.

LINES ESCARDO. A. (1970): "The climate of the Iberian Peninsula", en World Survey of Climatology, vol. 5, cap. 5, pp. 195-239, Amsterdam, Elsevier.

LINES ESCARDO, A. (1973): "Situaciones sinópticas típicas de lluvias torrenciales en el sudeste español". Urania, 277-278, pp. 119-126, Barcelona-Madrid.

LINES ESCARDO, A. (1974): "Situaciones del Norte seguidas de notable inestabilidad". Revista de Geofísica, vol. XXXIII, nº 3-4, pp. 219-224.

LINES ESCARDO, A. (1981): Perturbaciones típicas que afectan a la Península Ibérica y precipitaciones asociadas, Madrid, I.N.M. (Serie a, 80).

LINES ESCARDO, A. (1985): Acción del hombre sobre el clima y contaminación, Madrid, I.N.M.

LOCKWOOD, J. G. (1974): World Climatology. An environmental approach, London, Arnold.

LOCKWOOD, J. G. (1979): Cuases of Climate, London, Arnold.

LOCKWOOD, J. G. (1985): World Climatic Systems, London, Arnold.

LOCKWOOD, J. G. (1987): "Hydrological interactions between the land surfaces and the atmosphere as a factor in climatic change". Progress in Physical Geography, vol. 11, nº 1, pp. 103-111, London.

LOI, D. (1982): "Méthodologie de l' étude du climat dans les thèses régionales classiques: le cas des Alpes français (1925-1956)". L' Espace Géographique, nº 1, pp. 45-55, París.

LÓPEZ GARCÍA, M. J. y CASELLES MIRALLES, V. (1986): "Aplicación de la teledetección al estudio de la temperatura superficial del Mar Balear y Golfo de Valencia". Cuadernos de Geografía, nº 38, pp. 75-92, Universidad de Valencia.

LÓPEZ BERMUDEZ, F. (1971): "Las precipitaciones en Murcia de 1862 a 1971". Papeles del Departamento de Geografía, 3, pp. 171-187, Universidad de Murcia.

LÓPEZ BERMUDEZ, F. (1972): "El agua en la cuenca del Segura". Papeles del Departamento de Geografía, 4, pp. 9-24, Universidad de Murcia.

LÓPEZ BERMUDEZ, F. (1973): La Vega Alta del Segura (Clima, Hidrología y Geomorfología), Departamento de Geografía, Universidad de Murcia.

LÓPEZ BERMUDEZ, F. Y COLS. (1979): "Inundaciones catastróficas, precipitaciones torrenciales y erosión en la provincia de Murcia". Papeles del Departamento de Geografía, pp. 51-54, Universidad de Murcia.

LÓPEZ BERMUDEZ, F. y GUTIERREZ ESCUDERO, D. (1983): "Descripción y experiencias en la avenida e inundaciones de octubre de 1982 en la cuenca del Segura". Estudios Geográficos, nº 170-171, pp. 87- 120, Madrid.

LÓPEZ GÓMEZ, A. (1954): "Vientos de la alta troposfera". Estudios Geográficos, pp. 441-457, Madrid.

LÓPEZ GÓMEZ, A. (1955): "Las corrientes en chorro y las perturbaciones atmosféricas". Estudios Geográficos, nº 59, pp. 299-366, Madrid.

LÓPEZ GÓMEZ, A. (1968): "El supuesto monzón de la Península Ibérica". Aportación española al XXI Congreso Geográfico Internacional, pp. 71-78, Madrid, C.S.I.C.

LÓPEZ GÓMEZ, A. (1975): "Inversión de temperatura entre Madrid y la Sierra de Guadarrama con advección cálida superior". Estudios Geográficos, nº 138-139, pp. 567-604, Madrid.

LÓPEZ GÓMEZ, A. (1978): "El clima de la Península Ibérica" en Geografía General de España (dirigida por M. Terán), pp. 138-181, Barcelona, Ariel.

LÓPEZ GÓMEZ, A. (1983): "Las lluvias catastróficas mediterráneas". Estudios Geográficos, nº 170-171, pp. 11-30, Madrid.

LÓPEZ GÓMEZ, A.; FERNÁNDEZ GARCÍA, F. y otros (1984): "La distribución espacial de las precipitaciones en la Meseta Meridional". I Reunión de Estudios Regionales, Albacete (en prensa).

LÓPEZ GÓMEZ, A.; FERNÁNDEZ GARCÍA, F. y CAÑADA TORRECILLA, R. (1986): "Variabilité des températures au Meseta sud de l'Espagne (1900-1980)". Cambios recientes en climas mediterráneos, pp. 5-22, Madrid, Instituto Juan Sebastián Elcano, C.S.I.C.

LÓPEZ GÓMEZ, A.; FERNÁNDEZ GARCÍA, F. y CAÑADA TORRECILLA, R. (1986): "Variabilité interanuelle des températures dans la moitié Sud du Plateau Central". Cambios recientes en climas mediterráneos, pp. 23-44, Madrid, Instituto Juan Sebastián Elcano, C.S.I.C.

LORENTE, J.M. (1946): "Climas españoles". Revista de Geofísica, V, 18, pp. 204-223, Madrid.

LORENTE, J.M. (1955): "La variabilidad de las precipitaciones atmosféricas sobre la España peninsular". Revista de Geofísica, XIV, 55, pp. 229-242, Madrid.

LORENTE, J.M. (1966): Meteorología, Barcelona, Labor.

LORENTE, J.M. (1969): "Los problemas de la pluviometría en España". Revista de Geofísica, 19, pp. 171-181, Madrid.

LORENZ, E.N. (1967): The nature and theory of the general circulation of the atmosphere, Gèneve, World Meteorological Organisation, nº 218.

LORENZ, E.N. (1970): "La circulation générale de l'atmosphère. Nature et théorie". Bul. de l' O.M.M., 16, nº 2, pp. 87-91.

LUND, I.A. (1963): "Map pattern classification by statistical method". Journal of applied meteorology, vol. 2, pp. 56-65.

LYDOLPH, P.E. (1959): "Federov's complex method in climatology". Annals of the Association American Geographers, 49, pp. 120-144.

MALVITOSH, D.H. y THOM, A.S. (1983): Meteorología básica, Alhambra.

MANLEY, G. (1951): "Climatic fluctuations: a review". Geographical Review, 4, pp. 656-660, Kansas.

MANZAGOL, C. (1973): "Forces et faiblesses de l'analyse quantitative". Annales de Géographie, pp. 545-556, París.

MARCHAND, B. (1972): "L' usage des statisques en Géographie". L'Espace Géographique, pp. 79-100, París.

MARCHAND, B. y OZAN, A. (1981): "Méthodes mathématiques de classification en Géographie". L'Espace Géographique, 1, pp. 1-14, París.

MARCHAND, J.P. (1975): "Contribution a l'étude des fortes tempêtes d'ouest sur la façade Atlantique de l'Europe du Nord-Ouest". Norois, 86, pp. 260-274, Poitiers.

MARCHAND, J.P. (1980): "Les contraintes physiques et la Géographie contemporaine". L'Espace Géographique, IX, pp. 231-240, París.

MARCHAND, J.P. (1986): "Contraintes physiques et géographie régionale". L'Espace Géographique, n° 4, pp. 278-282, París.

MARTIN, J. y SAINTIGNON, M.F. (1974): "Application de l'analyse factorielle en composantes principales à l'étude de la variabilité régionale et interannuelle des précipitations ardéchoises". Revue de Géographie de Lyon, 49, pp. 77-92.

MARTIN VIDE, J. (1980): "Aplicación de la Cadena de Markov de dos estados al cálculo de la posibilidad de precipitación. Caso de Barcelona." Notes de Geografía Física, n° 3, pp. 31-34, Univ. Barcelona.

MARTIN VIDE, J. (1982): Características climatológicas de la precipitación en la franja costera mediterránea de la Península Ibérica, Departamento de Geografía. Universidad de Barcelona.

MARTIN VIDE, J. (1983): "La aceptación del modelo estocástico de la cadena de Markov homogénea de tiempo discreto y de dos estados en los cálculos de la probabilidad de la precipitación diaria". Métodos y Técnicas recientes en Geografía Física. VIII Coloquio de Geografía, pp. 24-31, Barcelona.

MARTIN VIDE, J. (1986): "Notas sobre la aplicación de algunas técnicas estadísticas y probabilidades en la climatología cuantitativa". Geografía Teórica y Cuantitativa, pp. 75-77, Oviedo.

MARTIN VIDE, J.; RASO, J.M. y CLAVERO, P. (1987): Estadística básica para ciencias sociales, Barcelona, Ariel.

MARTINEZ DE PISÓN, E. (1975): "Reflexión sobre el realismo geográfico". Estudios Geográficos, XXXVI, nº 140-141, pp. 697-742, Madrid.

MARTINEZ DE PISÓN, E. (1983): "Cultura y ciencia del paisaje". Agricultura y Sociedad, nº 27, pp. 9-31, Madrid.

MARTONNE, de E. (1948): Traité de Géographie Physique, París, A. Colin.

MATHER, J.R. (1974): Climatology. Fundamentals and applications, M. Graw Hell.

MATHER, P.M. (1976): Computational Methods of Multivariate Analysis in Physical Geography, London, John Wiley & Sons.

MCBOYLE, G.R. (1972): "Factor analytical approach to a climatic classification of Europe". Climatological Bulletin, nº 12, pp. 273-341, Mc Gill University, Montreal.

MCCNTOS, D.H. y THOM, A.S. (1983): Meteorología básica, Madrid (traducido por J.Catalá de Almany).

McCUTCHAN, M.H. (1980): "Use of cluster analysis and discriminant analysis to classify synoptic weather types in southern California". American Meteorological Society, pp. 310-315, Eighth Conference on Weather Forecasting and Analysis.

McCUTCHAN, M.H. y SCHRODER, M.J. (1973): "Classification of meteorological patterns in southern California by discriminant analysis". Journal of applied meteorology, 12, pp. 571-577.

MCDONALD, J.R. (1966): "The region: its conception, design and limitations". Annals of the Association American Geographers, 55, pp. 516-528, Washington.

MEDINA, M. (1976): Meteorología básica sinóptica, Madrid, Paraninfo.

MIELKE, P.W. (1973): "Another family of distributions for describing and analyzing precipitation data". Journal of applied meteorology, 12, pp. 275-280.

MILLER, R.G. (1962): Statistical prediction by discriminant analysis, Meteorological Monographs, American Meteorological Society.

MILLER, A. (1966): Climatología, Barcelona, Omega.

MORÁN, F. (1942): "El enfriamiento adiabático del aire saturado". Revista de Geofísica, pp. 133-155, Madrid.

MORAN, F. (1944): "Variación de la distribución vertical de la temperatura en ciertas evoluciones de las columnas de aire". Revista de Geofísica, pp. 616-626, Madrid.

MORRISON, D.F. (1976): Multivariate Statistical Methods, New York, McGraw Hill.

MOUNIER, J. (1977): "Le type de temps, un choix pour le géographie: climatologie synoptique ou climatologie comprehensive". Cahiers du Centre de Recherches de climatologie de Dijon, nº 7, pp. 99-115.

MOUNIER, J. (1979): Les climats océaniques des régions atlantiques de l' Espagne et du Portugal, París, Honoré Champion.

MOUNIER, J. (1979): "La diversité des climats océaniques de la Péninsula Ibérique". La Météorologie, VI, 16, pp. 205-227, París.

MUÑOZ JIMÉNEZ, J. (1976): Los Montes de Toledo, Universidad de Oviedo, Instituto Juan Sebastian Elcano, C.S.I.C.

MUÑOZ JIMÉNEZ, J. (1980): "Ensayo de clasificación sintética de los climas de la España peninsular y Baleares". Estudios Geográficos, nº 160, pp. 267-302, Madrid.

MUSK, L.F. (1984): "Applied climatology". Progress in Physical Geography, vol. 8, nº 3, pp. 450-458, London.

MUSK, L.F. (1985): "Applied climatology". Progress in Physical Geography, vol. 9, nº 3, pp. 442-453, London.

NIMER, E. (1979): "Un modelo metodológico de classificação de climas". Revista Brasileira de Geografia, nº 41, pp. 59-89.

NORCLIFFE, G.B. (1977): Inferential Statistics for geographers. An introduction, London, Hutchinson.

NOIN, D. (1963): "Types de temps d' été au Maroc". Annales de Géographie, nº 389, pp. 1-12, Paris.

OGALLO, L. (1980): "Regional classification of East African rainfall stations into homogeneous groups using the method of principal components analysis" en Statistical Climatology, pp. 255-266, S. Ikeda (ed.), Elsevier Scientific Publishing Company.

OLIVIER, J.E. (1970): "A genetic approach to climatic classification". Annals of the Association American Geographers, pp. 615-637, Washington.

OLIVIER, J.E. (1981): Climatology: Selected Applications, London, Arnold.

OPENSHAW, S. "Le problème de l' aggrégation spatiale en Géographie". L' Espace Géographie, nº 1, pp. 15-24.

ORGANIZACIÓN METEOROLÓGICA MUNDIAL (1972): Quelques méthodes de l' analyse climatologique, nº 199, nota técnica nº 81.

PAGNEY, P. (1955): "Traversé maritime et types des temps sur l' Atlantique centrale". L' Information Géographique, pp. 176-180, Paris.

PAGNEY, P. (1976): Les climats de la Terre, París,  
Masson.

PAGNEY, P. (Director) (1981): Eaux et climats. Mélanges géographiques offerts en hommage à Charles-Pierre Péguy, E. R.30, Univ. Sc. et Méd. de Grenoble.

PAGNEY, P. (1982): Introducción a la Climatología, Barcelona, Oikos-tau.

PAGNEY, P. y MOUNIER, J. (1982): "Climats et satellites". Annales de Géographie, pp. 273-299, París.

PALOMARES CASADO, M. (1950): "La convergencia por rozamiento y las corrientes verticales en España". Revista de Geofísica, pp. 147- 165, Madrid.

PALOMARES CASADO, M. (1956): "Efectos de la corriente aérea en chorro sobre las capas atmosféricas inferiores". Revista de Geofísica, XV, nº 58, pp. 167- 172, Madrid.

PALOMARES CASADO, M. (1963): "Grados de estabilidad dinámica horizontal de corrientes atmosféricas zonales". Revista de Geofísica, nº 86, pp. 135- 143, Madrid.

PÉDÉLABORDE, P. (1949): "Les types de temps du climat de la Région Parisienne". Bulletin de l'Association des Géographes Français, pp. 127-137, París.

PÉDÉLABORDE, P. (1953): "Un exemple de circulation atmosphérique régionale: la circulation sur l'Europe Occidentale". Annales de Géographie, nº 334, pp. 401-417, París.

PÉDÉLABORDE, P. (1956): "La circulation générale de l'atmosphère". L'Information Géographique, pp. 103-109, París.

PÉDÉLABORDE, P. (1957): Le climat du Bassin Parisien. Thèse París, Génin (2 vol.).

PÉDÉLABORDE, P. (1957): "Remarques sur l'emploi de deux notions classiques en climatologie: les moyennes et les corrélations". Revue Géographique des Pyrénées et du Sud-Ouest, pp. 79-86.

PÉDÉLABORDE, P. (1957): "Les oscillations climatiques". L'Information Géographique, n° 4, pp. 154-159, París.

PÉDÉLABORDE, P. (1958): "Le tourbillon, principe général à la base de la climatologie dynamique". Annales de Géographie, pp. 481-498, París.

PÉDÉLABORDE, P. (1958): "La thermoconvection". Revue Géographique des Pyrénées et du Sud-Ouest, 29, pp. 121-134, Bourdeaux.

PÉDÉLABORDE, P. (1959): Les traits généraux de la circulation atmosphérique sur les Pyrénées français, París, C.D.U.

PÉDÉLABORDE, P. (1963): "Bibliographie méthodique et critique des grands ouvrages récents de météorologie et climatologie". Annales de Géographie, LXXII, 389, pp. 84-93, París.

PÉDÉLABORDE, P. (1970): Introduction à l'étude scientifique du climat, París, S.E.D.E.S.

PÉDÉLABORDE, P. (1970): Les mathématiques élémentaires appliquées à la géographie physique, París, C.D.U.

PEGUY, CH. (1959): Éléments de statistique appliquée, París, C.D.U.

PEGUY, CH. P. y MOUNIER, J. (1968): "Une méthode de recherche climatique: l'analyse fréquentielle des précipitations tombées en 24 heures". Annales de Géographie, LXXVII, 424, pp. 711-723, París.

PEGUY, CH. P. (1976): "Une nouvelle expression graphique de la variabilité interanuelle des climats: les "calendriers de probabilités". Bulletin de l'Association des Géographes Français, nº 431, pp. 5-16, París.

PEGUY, CH. P. (1977): "La variabilité interanuelle du cycle hydrique exprimée par les calendriers de probabilités". La Météorologie, 71, pp. 95-99, París.

PEGUY, CH.P. (1979): "Ordre et désordre des climats". L'Espace Géographique, pp. 5-14, París.

PEGUY, CH. P. (1980): "Les temps de recurrence en hydrométéorologie: techniques et concepts". Bulletin de l'Association des Géographes Français, nº 468, pp. 151-155, París.

PEGUY, CH.P. (1982): "Climatologie et Culture". L'Espace Géographique, nº 3, pp. 185-195, París.

PEGUY, CH. P. (1983): "Informatique et climatologie". Annales de Géographie, 92, pp. 283-305, París.

PEGUY, CH. P. (1986): "Climat, société et politique". Bulletin de l'Association des Géographes Français, nº 5, pp. 363-367, París.

PÉREZ CUEVA, A.J. y ESCRIVA ORTEGA, J.L. (1982): "Aspectos climáticos de las sequías en el ámbito mediterráneo". Cuadernos de Geografía, nº 30, pp. 1-12, Univ. Valencia.

PÉREZ CUEVA, A.J. (1983): "La sequía de 1978-1982. ¿Excepcionalidad o inadaptación?". Agricultura y Sociedad, nº 27, pp. 225-245, Madrid.

PERRY, A. (1968): "The regional variation of climatological characteristics with synoptic indices". Weather, 23, pp. 325-330.

PERRY, A. (1970): "Filtering climatic anomaly fields using principal components analysis". Translations of the Institut of British Geographers, 50, pp. 55-72.

PERRY, A. (1981): "Mediterranean climate a synoptic reappraisal". Progress in Physical Geography, vol. 5, nº 1, pp. 107-113, London.

PERRY, A. (1983): "Growth points in synoptic climatology". Progress in Physical Geography, vol. 5, nº 1, pp. 107-113, London.

PETTERSEN, S. (1968): Introducción a la Meteorología, Madrid, Espasa- Calpe.

PETTERSEN, S. (1974): Weather Analysis and Forecasting, New York, Mc. Grawhill.

PITA LÓPEZ, M.F. (1982): "Evolución conceptual y metodológica de la ciencia climatológica durante el siglo XX". Métodos actuales en la investigación geográfica, pp. 41-51, II Jornadas de Metodología y Didáctica de la Geografía. Univ. Extremadura.

PITA LÓPEZ, M.F. (1984): "La preocupación medioambiental y su incidencia en el desarrollo de la climatología". Geografía y Medio Ambiente, pp. 45-70, Madrid, M.O.P.U.

PRESTON-WHYTE, R.A. (1974): "Climatic classification of the South Africa: a multivariate approach". South African Geographical Journal, 65, pp. 79-86.

POURSIN, G. (1973): "Notes a propos des régimes pluviométriques saisonsniers". Norois, pp. 129-136, Poitiers.

QUENEY, P. (1953): "L'évolution moderne des idées sur la circulation générale de l'atmosphère". Cahiers de l'Information Géographique, nº 3 et 5, pp. 2-12, París.

QUENEY, P. (1956): "Mise au point des théories récentes sur les grands phénomènes atmosphériques". Bulletin de l'Association des Géographes Français, nº 255-256, pp. 30-38, áris.

QUENEY, P. (1959): "Les mouvements de l'atmosphère". Encyclopédie de la pléiade, vol. "La Terre", pp. 243-314, París, N.R.F.

QUENEY, P. (1962): "Estat actuel de la dynamique des courants aériens près des montagnes". Geof. et Météo. vol. XI, pp. 1-11. Acte du septième congrès international de météorologie alpine, Genève.

QUENEY, P. (1974): Eléments de météorologie, París, Masson.

RACINE, J.B. y REYMOND, H. (1973): L'analyse quantitative en géographie, París, P.U.F.

RACINE, J.B. (1974): "Modeles de recherche et modeles théoriques en Géographie". Bulletin de l' Association des Géographes Français, nº 413-414, pp. 51-66, París.

RACINE, J.B. y BAILLY, A. (1979): "La géographie et l' espace géographique: a la recherche d' une epistemologie de la géographie". L' Espace Géographique, pp. 283-291, París.

RASO NADAL, J.M. (1980): "Los pantanos barométricos de la cuenca mediterránea y su incidencia en el clima de Palma de Mallorca". Geographica, XXI-XXII, pp. 185-194, Madrid.

RASO NADAL, J. M. (1982): "Probabilidades de transición y distribución estacionaria de los días con y sin precipitación en Palma de Mallorca según el modelo de la cadena de Markov para dos estados". Cuadernos de Geografía, v. 3, pp. 195-209, Univ. Barcelona.

RASO, J.M; CLAVERO, P. y MARTIN VIDE, J. (1982): "La Climatología Actual, entre la Geografía y las Ciencias de la Atmósfera". II Coloquio Ibérico de Geografía, 329-338, Lisboa.

RAYNER, J.N. (1967): "A statistical model for the explanatory description of large-scale time and spatial climate". Canadian Geographer, 11, pp. 67-86.

RAYNER, J.N. (1984): "Simulations models in climatology" en Gary L. Gaile and Cort J. Willmott (eds.), Spatial Statistics and Models, pp. 417-442, Reidel Publishing Company.

RICHARD, J.F. (1975): "Paisages, écosystèmes, environment. Un approche géographique". L'Espace Géographique, nº 2, pp. 81-92, París.

RICHMAN, M.B. (1981): "Obliquely rotated principal components: an improved meteorological map typing technique?". Journal of Applied Meteorology, 20, pp. 1145-1159.

RIMBERT, S. (1972): "Aperçu sur la géographie théorique une philosophie, des méthodes, des techniques". L'Espace Géographique, pp. 101-106, París.

ROBINSON, P.T. y CUTZ, J.T. (1978): "precipitation efficiency of cyclonic storms". Annals of the Association the American Geographers, pp. 81-88, Washington.

RODRIGUEZ FRANCO, P. (1955): "Notas sobre las corrientes de chorro". Revista de Geofísica, XIV, pp. 313-344, Madrid.

RODRIGUEZ FRANCO, P. (1961): "Nuevos estudios sobre las corrientes en chorro". Revista de Geofísica, XX, pp. 29-47, Madrid.

RODRIGUEZ FRANCO, P. (1955): "Notas sobre las corrientes en chorro". Revista de Geofísica, XIV, pp. 313-344, Madrid.

RODRIGUEZ FRANCO, P. (1958): "Máximos de viento y formación de depresiones sobre la Península Ibérica y mar Mediterráneo occidental". Revista de Geofísica, XVII, pp. 275-304, Madrid.

RODRIGUEZ FRANCO, P. (1962): "Influencia de la circulación atmosférica de la alta troposfera en el desencadenamiento de inestabilidad sobre la Península Ibérica". Revista de Geofísica, XXI, pp. 15-38, Madrid.

ROLDAN FERNANDEZ, A. (1983): El clima de Ciudad Real, Madrid, I.N.M. (Serie A-82).

ROLOAN FERNANDEZ, A. (1964): "Las precipitaciones atmosféricas en Madrid desde el año 1859 al 1963". Boletín Mensual Climatológico, pp. 3-9, Madrid, I.N.M.

ROSSBY, C.G. et alt. (1947): "On the general circulation of the atmosphere in middle latitudes". Bulletin of the American Meteorological Society, 28, nº 6, pp. 255-280.

ROULLEAU, J. (1961): "Les grands problèmes de la météorologie: difficultés physiques et difficultés théoriques". La Météorologie, nº 63, pp. 257-262, París.

RUIZ URRESTARAZU, E. (1982): La transición climática del Cantábrico Oriental al Valle Medio del Ebro, Alava, Diputación Foral.

RUMMEL, R.J. (1981): Applied Factor Analysis, Evans-ton, Northwestern University Press.

SAINTIGNON, M.F. y MARTIN, S. (1974): "Application de l' analyse factorielle en composantes à l' étude de la variabilité régionale et interanuelle des précipitations ardéchoises". Revue de Géographie de Lyon, nº 1, pp. 77-92.

SANBBAGH, M.E. y BRYSON, R. A. (1962): "Aspects of the precipitation climatology of Canada investigated by the method of Harmonic Analysis". Annals of the Association of American Geographers, pp. 426-440, Washington.

SÁNCHEZ CARRION, J.J. (eds.) (1984): Introducción a las técnicas de análisis multivariable aplicadas a las ciencias sociales, Madrid, C.I.S.

SÁNCHEZ EGEA, J. (1968): "Situaciones de tiempo en la Península Ibérica". Revista de Aeronáutica, 327, pp. 96-102, Madrid.

SANTOS DE CASCOS MARANA, C. (1982): Contribución al estudio de los tipos de tiempo en los veranos de Valladolid, Valladolid, Institución Cultural Simancas.

SCHERER, J.C. (1977): "Une méthode pour déceler les erreurs systématiques saisonnières dans les données pluviométriques". Recherches Géographiques à Strasbourg, pp. 99-103.

SCHUEPP, M. (1968): Kalendarien der Wetter und Witterungslagen von 1955 bis 1967, Zürich, Veröff. Schweiz. Met. Zentr. Anst.

SERMET, J. (1974): "Le comportement climatologique d'ensemble de la péninsule hispanique". Revue de Géographie des Pyrénées et du Sud-Ouest, 45, pp. 57-63, Toulouse.

SERRA, L. (1957): "La représentation des facteurs climatologiques par des courbes d'égales probabilités". La Météorologie, pp. 177-180, Paris.

SMITH, K. (1975): Principles of applied climatology, London, McGraw-hill.

SMITHSON, P.A. (1986): "Synoptic and dynamic climatology". Progress in physical geography, vol. 10, n° 1, pp. 100-110, London.

SMITHSON, P.A. (1987): "Developments in synoptic and dynamic climatology". Progress in Physical Geography, vol. 11, n° 1, pp. 121-132, London.

SNEATH, P. y SOKAL, R. (1973): Numerical Taxonomy, San Francisco, W.H. Freeman and Company.

SNEATH, P. (1969): "Evaluation of clustering methods" en A.J. Cole (eds. ), Numerical Taxonomy, pp. 257-267, London, Academic Press.

SOKAL, R.R. (1966): "Numerical Taxonomy". Scientific American, 215, pp. 106-116.

SOKAL, R.R. (1974): "Classification purposes, principles, progress, prospects". Science, 185, pp. 1115-1123.

SPENCE, N.A. y TAYLOR, P.T. (1970): "Quantitative methods in Regional Taxonomy". Progress in Geography, nº 2, pp. 1-65, London.

STEINER, D. (1965): "A multivariate statistical approach to climatic regionalization and classification". Tijdschrift van het Koninklijk Nederlandsch Aardrijkskundig Genootschap, 82, pp. 329-347.

STIDD, C.K. (1967): "The use of eigenvectors for climatic estimates". Journal of Applied Meteorology, 6, pp. 255-264.

STRINGER, E.T. (1972): Foundations of Climatology, San Francisco, Freeman.

STRINGER, E.T. (1972): Techniques of Climatology, San Francisco, Freeman.

SUCHEL, J.B. (1980): "Remarques concernant l' influence des circulations méridiennes boréales sur les types de temps de saison sèche au Cameroun". Recherches Géographiques à Strasbourg, pp. 143-151.

TABEAUD, M. (1982): "Contribution des images du satellite Météosat à la connaissance de l' influence des îles sur les formations nuageuses: exemple de l' archipel des Canaries". Nordis, vol. 29, nº 116- pp. 527-533, Pitiers.

TERJUNG, W.H. (1976): "Climatology for Geographers". Annals of the Association of American Geographers, vol. 66, nº 2, pp. 199-222.

THEPENIER, R.M. y CRUETE, D. (1977): "Role des cumulo-nimbus dans l'évolution des perturbations cycloniques des régions méditerranéennes". La Météorologie, VI, 9, pp. 165-171, París.

THOM, H.C.S. (1966): Some methods of climatological analysis, Geneva, W.M.O. (Technical Note, 81).

THOM, H.C.S. (1970): "The analytical foundations of climatology". Archiv für Meteorologiegeophysik und Bioklimatologie, v. 18, nº 3-4, pp. 205-220.

THORNES, J.E. (1980): "Applied climatology". Progress in Physical Geography, v. 4, nº 4, pp. 577-587, London.

TORRENS, I. (1972): Models et méthodes de l' analyse factorielle, París, Dunond.

TRICART, J. (1979): "Paysage, Ecologie et approche systemique". Bulletin de l'Association des Géographes français, nº 465, pp. 377-382, París.

TRICART, J. (1979): "L' analyse du système et l'étude intégrée du milieu naturel". Annales de Géographie, nº 490, pp. 705-714, París.

TRICART, J. y KILIAN, J. (1982): Eco-geografía, Barcelona, Anagrama.

TRICART, J. (1987): "Le milieu naturel terrestre, intégration systématique". Revue de géomorphologie dynamique, n° 1, pp. 3-16, Strasbourg.

TRZPIT, J.P. (1977): "Les tempêtes nord-atlantiques; Essai d' analyse géographique". Norois, n° 93, pp. 33-52, Poitiers.

TRZPIT, J.P. (1978): "Activité cyclonique et rythmes climatiques aux latitudes moyennes. L' exemple du domaine atlantique et des espaces bordiers". Norois, n° 97-98, pp. 69-85, Poitiers.

TRZPIT, J.P. (1980): "Le Méditerranée, un creuset d' humidité", pp. 13-28, Marseille.

UNWIN, R.G. (1977): "Statistical methods in physical geography". Progress in Physical Geography, v. 1, n° 2, pp. 185-221, London.

URIARTE CANTOLLA, A. (1983): "La persistencia de la lluvia según el coeficiente de Besson". I Coloquio Métodos Cuantitativos, pp. 91-96, Oviedo.

VALENCIA DE DIEGO, E. y GARMENDÍA IRAUNDEGUI, J. (1968): "Disipación de nieblas de irradiación". Revista de Geofísica, XXVII, n° 105-106, pp. 63-81, Madrid.

VILA VALENTÍ, J. (1961): "¿ Una nueva Geografía?" (II). Revista de Geografía, VII, 1 y 2, pp. 5-57, Dep. Geografía, Univ. Barcelona (Parte I en Rev. de Geogr. V, 1 y 2, pp. 5-38).

VILA VALENTÍ, J. (1983): Introducción al estudio teórico de la Geografía, Barcelona, Ariel.

VILLA SANCHEZ, D; GUERRA SIERRA, J. y CORRES ARGOTE, R. (1985): Análisis estadístico de la pluviometría en la Península Ibérica, Madrid, I.N.M.

WIEBER, J.C. (1987): "Le paysage. Questions par un bilan". Bull. Assoc. Géogr. Franç., nº 2, pp. 145-155, París.

VIGNEAU, J.P. (1971): "Précipitations d' automne et perturbations méditerranéennes dans les Pyrénées orientales". Revue de géographie des Pyrénées du Sud-Ouest, v. 42, nº 3, pp. 265-292, Toulouse.

WILLMOTT, C.J. (1978): "P-mode principal components analysis, grouping and precipitation regions in California". Archiv für Meteorologie, Geophysik und Bioklimatologie, 26, pp. 277-295.

WISER, E.M. (1965): "Modified Markov probability models of sequences of precipitation events". Monthly Weather Review, 93, pp. 511-516.

WOLFE, J.H. (1970): "Pattern clustering by multivariate analysis". Multivariate Behavioral Research, 5, pp. 329-350.

YELA, M. (1977): La Técnica del Análisis Factorial, Madrid, C.S.I.C.

YOSHINO, M. M. (1981): "Orographically-induced atmospheric circulations". Progress in Physical Geography, v. 5, nº 1, pp. 76-98, London.

ZOBLER, L. (1957): "Statistical testing of regional boundaries". Annals of the Association of American Geographers, 47, pp. 83-95, Washington.

ZOBLER, L. (1958): "Decision making in regional construction". Annals of the Association of American Geographers, 48, pp. 140-148, Washington.

ZIMMERSCHIED, W. (1949): Acerca de las situaciones típicas de tiempo en la Península Ibérica, Madrid, I.N.M. (Serie A, 20, pp. 5-13).

ZULUETA ARTALOYTIA, J. A. (1977): La tierra de Cáceres, Madrid, C.S.I.C.

**APÉNDICE**

**ESTACIONES METEOROLÓGICAS CONSIDERADAS**

**PROVINCIA DE CACERES**

CUADRO 1

ESTACION ABADIA (1951-70)

Lat. 40° 16' N. Long. 2° 17' W. Alt. 447 m.

Mes	Precipitación									
	Total mm.	Sn-1	c.v.	Máx. 24 h	Sn-1	c.v.	Nº de días	Sn-1	c.v.	
Enero	100.5	73.0	72.7	28.9	14.9	51.4	8.6	6.0	70.0	
Febr.	85.6	72.1	84.2	25.5	16.1	63.0	7.9	5.1	64.2	
Marzo	89.0	48.9	54.9	23.7	11.4	47.9	8.6	3.1	35.7	
Abril	61.0	40.2	65.9	22.1	12.5	56.3	6.3	4.4	69.4	
Mayo	66.4	46.4	69.8	22.4	9.5	42.5	5.9	4.1	69.0	
Junio	35.1	26.1	74.2	14.4	8.4	58.2	3.9	2.4	61.2	
Julio	6.6	10.2	155.9	5.5	7.9	144.0	0.6	0.9	140.0	
Agost.	9.2	10.0	108.8	6.7	7.8	115.9	1.6	1.5	90.4	
Sept.	49.1	39.2	79.7	21.5	15.8	73.6	4.3	3.1	73.2	
Oct.	74.2	61.4	82.7	24.7	17.9	72.7	6.8	5.4	78.2	
Nov.	100.0	80.5	80.5	28.5	21.6	75.5	8.3	5.0	60.4	
Dic.	77.2	56.2	72.9	19.6	10.4	53.3	7.1	4.0	56.7	
Año	753.9			243.6			70.1			

CUADRO 2

ESTACION ALCANTARA

Lat. 39° 43' N. Long. 3° 12' W. Alt. 232 m.

Mes	Precipitación (1955-70)			Temperatura ° C.(1951-66)		
	Total mm.	Máx. 24 h	Nº de días	Media		
				Mensual	Máx.	Mín.
Enero	70.7	21.4	9.8	5.6	10.3	1.0
Febr.	73.9	19.0	9.8	6.1	11.2	1.0
Marzo	76.7	18.1	9.5	8.8	14.2	3.5
Abril	40.2	15.1	6.8	11.6	17.7	5.7
Mayo	43.4	15.3	6.3	15.9	22.5	9.6
Junio	27.8	18.9	3.9	20.1	26.3	13.5
Julio	6.8	6.8	1.0	24.0	30.8	17.0
Agost.	9.4	7.4	1.4	23.4	30.5	16.6
Sept.	87.5	15.8	4.2	20.2	26.3	14.3
Oct.	54.0	18.6	7.8	15.1	20.4	9.9
Nov.	67.7	25.8	9.4	9.0	14.0	4.4
Dic.	71.2	18.6	8.9	5.5	10.2	0.9
Año	579.4	200.8	78.9	13.8	19.5	8.1

Estación de referencia: Cáceres

Precipitación media mensual:  $y = 1.06 x + 3$  r= 0.94

Precipitación máxima en 24 h.:  $y = 0.93 x + 3.68$  r= 0.76

Nº de días de precipitación:  $y = 0.87 x + 0.09$  r= 0.99

Temperatura media mensual:  $y = 1.04 x - 2.82$  r= 0.99

Temperatura media de las máximas:  $y = 0.98 x - 0.85$  r= 0.99

Temperatura media mínima:  $y = 1.14 x - 4.46$  r= 0.99

CUADRO 3

ESTACION ALCANTARA GRUPO ESCOLAR (1954-65)

Lat. 39° 43' N. Long. 3° 12' W. Alt. 232 m.

Mes	Precipitación		
	Total mm.	Máx. 24 h	Nº de días
Enero	71.7	25.0	9.3
Febr.	75.0	21.9	9.3
Marzo	77.9	20.9	9.0
Abril	40.0	17.2	6.4
Mayo	43.3	17.4	6.0
Junio	27.1	21.8	3.6
Julio	5.3	6.8	0.9
Agost.	8.0	7.5	1.2
Sept.	37.3	18.0	4.0
Oct.	54.4	21.5	7.4
Nov.	68.6	30.4	9.1
Dic.	72.3	21.5	8.5
Año	580.9	229.9	74.7

Estación de referencia: Cáceres

Precipitación media mensual:  $y = 1.10 x + 1.37$  r= 0.97

Precipitación máxima en 24 h.:  $y = 1.16 x + 2.83$  r= 0.66

Nº de días de precipitación:  $y = 0.84 x - 0.06$  r= 0.98

**CUADRO 4**  
**ESTACION ALCUESCAR (1951-70)**

Lat. 39° 11' N. Long. 2° 32' W. Alt. 488 m.

Mes	Precipitación								
	Total mm.	Sn-1	c.v.	Máx. 24 h	Sn-1	c.v.	Nº de días	Sn-1	c.v.
Enero	92.4	80.3	86.9	37.1	16.8	62.2	8.9	6.2	68.9
Febr.	88.8	63.4	71.4	24.0	14.6	60.9	9.2	5.8	63.2
Marzo	88.4	51.0	57.7	25.3	13.2	52.0	9.5	3.9	40.7
Abrial	59.2	46.3	78.2	19.6	13.5	69.1	7.5	3.8	50.2
Mayo	43.9	33.3	75.9	16.0	8.2	51.0	5.8	3.4	59.4
Junio	25.4	23.2	91.2	13.4	10.8	80.3	4.1	2.6	64.5
Julio	3.6	10.1	273.9	2.3	6.1	265.2	0.4	0.9	192.1
Agost.	7.3	10.7	145.4	6.6	9.5	142.6	0.8	1.0	128.7
Sept.	28.4	26.6	93.6	14.6	11.1	76.1	3.9	2.2	57.3
Oct.	66.7	53.5	80.2	21.3	15.3	72.0	7.1	4.5	63.1
Nov.	87.4	67.8	75.6	27.8	18.8	67.4	9.8	4.3	44.1
Dic.	76.9	71.9	93.6	23.0	15.9	69.4	8.6	4.1	47.7
Año	668.4			221.0			75.7		

Mes	Temperatura								
	Medias								
	Mensual	Sn-1	c.v.	Máx	Sn-1	c.v.	Mín.	Sn-1	c.v.
Enero	6.9	1.3	19.3	10.3	1.2	11.3	3.5	2.0	55.6
Febr.	7.6	1.5	20.0	11.5	1.6	13.7	3.7	1.8	47.0
Marzo	10.3	1.6	15.3	14.7	2.0	13.4	5.9	1.5	24.8
Abrial	13.0	1.2	9.4	18.2	1.4	7.6	7.8	1.6	20.6
Mayo	17.4	2.3	13.1	23.3	2.6	11.1	11.4	2.2	19.1
Junio	21.6	1.2	5.4	28.1	1.4	4.8	15.2	1.1	7.3
Julio	25.6	1.3	5.0	32.9	1.5	4.7	17.7	2.5	13.9
Agost.	25.1	1.4	5.4	31.7	2.7	8.5	17.9	1.3	7.5
Sept.	21.8	1.8	8.0	27.6	2.6	9.3	15.7	1.6	10.0
Oct.	16.5	2.0	11.9	21.2	2.6	12.1	11.7	1.6	13.4
Nov.	10.5	1.4	13.3	14.4	1.6	11.4	6.7	1.5	22.3
Dic.	7.0	1.5	21.2	10.6	1.3	12.5	3.4	1.8	54.2
Año	15.3			20.4			10.1		

CUADRO 5

ESTACION ALDEACENTENERA

Lat. 39° 22' N. Long. 1° 55' W. Alt. 620 m.

Mes	Precipitación (1964-70)			Temperatura ° C.(1966-70)		
	Total mm.	Máx. 24 h	Nº de - días	Media		
				Mensual	Máx.	Mín.
Enero	77.3	22.8	8.7	5.6	10.8	1.7
Febr.	80.9	23.7	7.8	7.4	12.5	2.1
Marzo	68.6	20.9	7.5	13.0	16.6	3.9
Abrial	54.5	20.6	6.2	13.0	20.4	5.5
Mayo	50.3	20.1	5.8	16.5	25.4	8.6
Junio	28.9	16.1	3.2	20.8	29.5	11.8
Julio	7.0	4.7	0.2	24.9	35.3	14.2
Agost.	9.1	6.7	0.6	24.2	33.6	13.9
Sept.	39.7	20.1	3.4	20.9	29.6	11.7
Oct.	61.8	20.5	6.5	15.2	21.8	8.2
Nov.	79.4	24.8	7.3	9.6	14.4	4.3
Dic.	68.8	20.8	7.1	6.5	11.1	1.4
Año	626.4	221.8	64.3	14.6	21.8	7.3

Estación de referencia: Trujillo

Precipitación media mensual:  $y = 0.82 x + 4.18$  r= 0.92

Precipitación máxima en 24 h.:  $y = 0.81 x + 2.39$  r= 0.83

Nº de días de precipitación:  $y = 0.84 x - 0.32$  r= 0.95

Temperatura media mensual:  $y = 0.93 x - 0.08$  r= 0.98

Temperatura media de las máximas:  $y = 0.01 x + 0.22$  r= 0.99

Temperatura media mínima:  $y = 0.81 x - 1.09$  r= 0.94

CUADRO 6

ESTACION ALDEA NUEVA DEL CAMINO (1952-70)

Lat. 40° 15' N. Long. 2° 14' W. Alt. 524 m.

Mes	Precipitación								
	Total mm.	Sn-1	c.v.	Máx. 24 h	Sn-1	c.v.	Nº de días	Sn-1	c.v.
Enero	121.5	84.9	69.9	32.5	17.4	53.5	9.8	5.8	59.4
Febr.	109.0	72.9	66.9	31.7	15.1	47.7	9.9	6.0	60.4
Marzo	104.8	73.4	70.0	30.6	16.9	55.2	9.2	4.7	50.7
Abril	73.5	49.0	66.6	22.6	10.9	48.0	7.2	3.7	51.7
Mayo	62.2	39.8	64.0	22.2	12.2	55.3	6.3	3.4	54.8
Junio	47.1	30.0	63.7	17.8	11.2	62.9	4.1	2.7	66.1
Julio	7.2	16.3	226.0	6.6	15.3	230.5	0.4	0.8	193.6
Agost.	9.9	12.8	129.1	6.9	9.4	136.2	1.2	1.5	132.2
Sept.	61.8	43.6	70.5	28.9	19.2	66.4	4.7	3.6	76.5
Oct.	95.0	75.9	79.9	33.1	23.2	70.1	6.8	4.7	68.4
Nov.	125.1	99.9	79.8	32.9	23.2	70.3	9.5	5.2	54.6
Dic.	102.9	71.2	69.1	30.8	17.8	57.8	9.1	4.6	50.4
Año	919.9			296.7			78.2		

CUADRO 7

ESTACION ALIA (1951-70)

Lat. 39° 17' N. Long. 1° 32' W. Alt. 583 m.

Mes	Precipitación								
	Total mm.	Sn-1	c.v.	Máx. 24 h	Sn-1	c.v.,	Nº de días	Sn-1	c.v.
Enero	114.2	90.4	79.2	31.2	15.7	50.3	10.4	6.1	58.9
Febr.	115.4	82.2	71.2	31.1	15.3	50.9	9.8	5.8	58.6
Marzo	89.4	69.5	70.6	29.2	14.9	51.1	9.8	4.1	42.0
Abrial	63.1	53.4	84.6	28.4	21.1	74.4	7.2	3.5	48.4
Mayo	60.8	73.3	120.5	17.7	9.9	56.2	7.8	5.0	64.6
Junio	26.5	19.3	72.8	14.6	11.8	80.6	4.5	3.8	61.0
Julio	4.9	10.6	216.3	3.5	6.6	192.0	0.8	1.1	124.9
Agost.	9.7	13.4	137.9	7.4	9.2	124.9	1.5	1.3	88.2
Sept.	39.5	36.1	91.5	18.2	16.4	90.5	4.3	3.2	74.2
Oct.	72.1	66.3	91.9	26.9	14.0	51.9	7.9	5.2	65.2
Nov.	114.6	82.8	72.2	30.9	15.3	49.6	10.8	5.0	46.6
Dic.	110.0	98.5	89.5	33.5	30.8	92.0	9.0	4.1	45.5
Año	829.3			271.5			83.9		

CUADRO 8

ESTACION ALISEDA (1962-66)

Lat. 39° 25' N. Long. 3° 00' W. Alt. 351 m.

Mes	Precipitación		
	Total mm.	Máx. 24 h	Nº de días
Enero	96.3	23.2	10.1
Febr.	93.9	24.3	10.8
Marzo	91.0	27.2	9.6
Abril	57.7	19.7	7.0
Mayo	56.7	14.9	7.2
Junio	33.2	17.5	3.8
Julio	0	0	0
Agost.	4.5	4.9	0.2
Sept.	35.9	18.8	3.7
Oct.	78.0	26.8	7.0
Nov.	106.8	34.8	10.1
Dic.	87.9	23.2	9.5
Año	743.9	235.3	79.0

Estación de referencia: Malpartida de Cáceres

Precipitación media mensual:  $y = 1.35 x - 2.63$   $r = 0.85$

Precipitación máxima en 24 h.:  $y = 1.36 x - 2.83$   $r = 0.88$

Nº de días de precipitación:  $y = 1.17 x - 1.31$   $r = 0.88$

**CUADRO 9**  
**ESTACION BARRADO (1951-70)**

Lat. 40° 05' N. Long. 2° 12' W. Alt. 790 m.

Mes	Precipitación								
	Total mm.	Sn-1	c.v.	Máx. 24 h	Sn-1	c.v.	Nº de días	Sn-1	c.v.
Enero	169.2	128.6	76.0	40.8	21.0	51.4	9.8	5.6	57.2
Febr.	155.2	107.7	69.4	37.7	16.0	42.3	10.8	6.6	61.3
Marzo	165.8	86.3	52.0	49.3	22.2	45.0	10.1	4.2	40.9
Abrial	103.1	59.4	57.6	35.0	18.1	51.6	7.3	3.6	48.8
Mayo	92.6	61.6	66.6	28.8	13.7	47.7	7.0	3.4	48.6
Junio	47.0	34.8	74.0	22.6	15.0	66.3	4.8	2.2	46.2
Julio	9.1	16.6	183.1	7.2	13.5	186.2	1.3	1.2	92.4
Agost.	13.2	12.8	96.4	8.8	8.5	96.5	1.5	1.4	88.6
Sept.	68.0	52.2	76.7	32.3	21.6	66.8	5.5	3.0	53.6
Oct.	126.6	111.6	88.2	33.9	20.2	59.6	7.4	4.8	64.7
Nov.	176.5	114.7	65.0	44.0	19.0	43.1	10.1	4.8	46.8
Dic.	146.3	102.5	70.0	36.9	18.1	49.1	9.0	5.0	55.0
Año	1272.6			377.4			84.9		

Mes	Temperatura								
	Medias								
	Día	Sn-1	c.v.	Máx	Sn-1	c.v.	Mín.	Sn-1	c.v.
Enero	5.9	1.0	17.1	10.5	1.1	10.5	1.4	1.4	94.9
Febr.	6.4	1.8	28.1	13.3	2.1	18.8	1.5	1.8	117.3
Marzo	9.0	1.7	19.3	14.1	2.3	16.0	3.9	1.5	39.6
Abrial	14.4	1.2	10.1	17.2	1.6	9.2	5.6	1.0	18.2
Mayo	15.4	2.2	14.1	21.6	2.7	12.5	9.3	1.8	19.1
Junio	19.1	1.4	7.3	25.7	1.8	6.9	12.6	1.1	8.6
Julio	23.3	1.0	4.4	30.6	1.4	4.5	15.9	0.9	5.9
Agost.	23.3	1.8	7.8	30.6	1.9	6.2	16.0	1.8	11.5
Sept.	19.5	1.8	9.5	26.2	2.2	8.6	12.9	1.6	12.3
Oct.	14.4	2.0	13.7	20.2	3.1	15.3	8.8	1.4	16.1
Nov.	9.0	1.5	16.5	13.7	1.5	10.6	4.4	1.8	42.4
Dic.	6.2	1.4	22.7	10.9	1.3	11.8	1.5	1.8	114.4
Año	13.6			19.4			7.8		

CUADRO 10

ESTACION BERZOCANA (1951-70)

Lat. 39° 26' N. Long. 1° 47' W. Alt. 728m.

Mes	Precipitación									
	Total mm.	Sn-1	c.v.	Máx. 24 h	Sn-1	c.v.	Nº de días	Sn-1	c.v.	
Enero	142.5	129.7	91.0	42.0	27.9	66.4	10.8	5.9	54.4	
Febr.	143.6	103.7	72.2	42.0	25.8	61.4	10.3	6.0	57.9	
Marzo	138.9	90.5	65.3	41.9	26.3	62.7	10.2	4.2	41.0	
Abril	82.1	72.4	88.2	30.8	23.3	75.6	8.0	3.3	41.2	
Mayo	73.2	50.8	69.4	24.4	11.9	48.8	7.4	3.8	51.7	
Junio	33.5	25.6	77.2	17.8	13.2	74.5	4.6	2.2	47.7	
Julio	6.6	12.9	196.1	5.6	10.2	184.1	0.9	1.0	116.0	
Agost.	6.3	7.4	117.2	4.9	6.0	120.7	1.3	1.2	85.4	
Sept.	52.3	45.3	86.6	25.1	20.7	82.3	4.1	2.3	55.3	
Oct.	107.5	82.9	77.1	30.3	16.5	54.4	8.4	4.1	48.5	
Nov.	157.6	124.7	79.1	42.9	23.2	54.2	9.5	4.1	43.2	
Dic.	134.8	124.7	92.5	42.0	41.5	98.8	9.3	5.0	54.3	
Año	1078.6			349.6			85.1			

CUADRO 11  
ESTACION BROZAS (1956-70)

Lat. 39° 37' N. Long. 3° 05' W. Alt. 411 m.

Mes	Precipitación		
	Total mm.	Máx. 24 h	Nº de días
Enero	65.1	20.3	8.3
Febr.	68.2	20.7	7.8
Marzo	58.0	19.5	7.6
Abril	37.0	13.2	5.4
Mayo	33.6	12.3	4.9
Junio	20.6	11.7	2.7
Julio	5.8	3.4	0.7
Agost.	6.9	3.8	1.0
Sept.	23.6	12.4	3.0
Oct.	49.0	18.8	6.5
Nov.	66.4	23.0	7.5
Dic.	58.9	18.8	6.3
Año	493	177.9	62.1

Estación de referencia: Casar de Cáceres

Precipitación media mensual:  $y = 0.68 x + 3.49$  r= 0.93

Precipitación máxima en 24 h.:  $y = 0.63 x + 1.45$  r= 0.85

Nº de días de precipitación:  $y = 1.29 x + 0.28$  r= 0.97

**CUADRO 12**  
**ESTACION CACERES (1951-70)**

Lat. 39° 29' N. Long. 2° 41' W. Alt. 459 m.

Mes	Precipitación								
	Total mm.	Sn-1	c.v.	Máx. 24 h	Sn-1	c.v.	Nº de días	Sn-1	c.v.
Enero	63.7	48.2	75.6	19.0	13.3	70.0	11.2	7.0	62.2
Febr.	66.7	43.0	64.6	16.4	7.3	44.4	11.2	6.2	55.8
Marzo	69.3	39.2	56.5	15.5	9.3	59.7	10.8	4.5	41.5
Abril	35.0	31.6	90.3	12.3	8.5	69.2	7.7	3.9	51.0
Mayo	38.0	24.4	64.2	12.5	6.8	53.8	7.2	4.1	56.8
Junio	23.3	17.1	73.4	16.3	12.7	78.0	4.4	2.2	48.8
Julio	3.6	5.1	141.2	3.4	6.7	156.1	1.1	0.9	89.7
Agost.	6.0	8.3	137.1	4.0	7.6	191.6	1.5	1.3	86.0
Sept.	32.5	27.5	84.7	13.0	10.3	79.4	4.8	2.8	57.7
Oct.	48.0	36.1	75.2	16.0	10.1	63.0	8.9	5.2	58.6
Nov.	60.9	50.8	83.4	23.7	22.8	96.4	10.9	5.3	48.3
Dic.	64.2	51.9	80.9	16.0	12.2	75.9	10.2	4.4	43.4
Año	511.3			169.1			89.8		

Mes	Temperatura								
	Medias								
	Mensual	Sn-1	c.v.	Máx	Sn-1	c.v.	Mín.	Sn-1	c.v.
Enero	8.1	1.1	14.1	11.4	1.0	8.5	4.8	1.6	34.4
Febr.	8.6	1.5	17.1	12.3	1.6	12.6	4.8	1.6	32.4
Marzo	11.2	1.1	10.2	15.4	1.5	9.5	7.0	1.1	15.7
Abril	13.9	1.1	7.7	18.9	1.4	7.6	8.9	0.8	8.9
Mayo	18.0	1.9	10.7	23.8	2.6	10.9	12.3	1.4	11.7
Junio	22.0	1.1	5.1	27.7	2.5	9.0	15.7	0.9	5.8
Julio	25.8	1.0	3.4	32.3	2.4	7.3	18.8	1.2	6.3
Agost.	25.2	1.2	4.8	32.0	1.3	4.2	18.4	1.1	6.0
Sept.	22.1	1.7	7.6	27.7	2.5	9.1	16.4	1.4	8.9
Oct.	17.2	1.7	10.0	21.7	2.3	10.4	12.6	1.3	10.4
Nov.	11.4	1.2	10.7	15.1	1.4	9.2	7.8	1.3	16.7
Dic.	8.0	1.3	15.9	11.3	1.2	10.4	4.7	1.6	33.4
Año	16.0			20.8			11.0		

CUADRO 13  
ESTACION CACHORILLA (1963-70)

Lat. 39° 55' N. Long. 2° 59' W. Alt. 329 m.

Mes	Precipitación		
	Total mm.	Máx. 24 h	Nº de días
Enero	107.6	26.1	12.7
Febr.	91.6	20.6	12.5
Marzo	88.1	22.1	11.8
Abril	60.8	19.8	9.0
Mayo	43.5	14.8	8.1
Junio	21.3	11.5	3.9
Julio	0	2.2	0
Agost.	2.4	4.8	0
Sept.	44.5	20.2	4.5
Oct.	91.3	26.5	10.5
Nov.	107.3	27.5	13
Dic.	88.2	21.5	11.4
Año	746.8	217.6	97.4

Estación de referencia: Casas de D. Gómez

Precipitación media mensual:  $y = 1.10 x - 3.86$  r= 0.91

Precipitación máxima en 24 h.:  $y = 0.80 x + 0.72$  r= 0.89

Nº de días de precipitación:  $y = 2.21 x - 1.21$  r= 0.77

CUADRO 14  
ESTACION CAMPO LUGAR (1951-70)

Lat. 39° 12' N. Long. 2° 05' W. Alt. 296 m.

Mes	Precipitación		
	Total mm.	Máx. 24 h	Nº de días
Enero	77.5	23.4	7.0
Febr.	76.0	19.2	6.8
Marzo	75.3	21.5	7.0
Abril	46.5	17.3	4.7
Mayo	37.4	15.0	4.0
Junio	26.4	15.5	2.5
Julio	3.6	3.9	0.3
Agost.	5.2	5.0	0.6
Sept.	32.5	21.6	2.7
Oct.	64.6	22.7	5.4
Nov.	79.0	25.3	6.2
Dic.	72.5	17.7	6.8
Año	599.6	208.6	58.0

Estación de referencia: Madrigalejo

Precipitación media mensual:  $y = 0.98 x - 0.57$  r= 0.96

Precipitación máxima en 24 h.:  $y = 0.97 x - 0.03$  r= 0.93

Nº de días de precipitación:  $y = 0.76 x - 0.03$  r= 0.98

CUADRO 15  
ESTACION CAÑAMERO (1961-70)

Lat. 39° 22' N. Long. 1° 42' W. Alt. 598 m.

Mes	Precipitación		
	Total mm.	Máx. 24 h	Nº de días
Enero	159.9	32.4	10.0
Febr.	150.0	30.9	9.6
Marzo	158.5	41.0	9.3
Abril	82.0	30.8	6.2
Mayo	77.8	27.2	6.3
Junio	34.6	20.1	3.6
Julio	3.1	7.8	1.1
Agost.	4.7	9.4	1.2
Sept.	56.9	27.7	4.0
Oct.	110.3	30.6	7.2
Nov.	162.5	38.0	8.9
Dic.	147.8	41.4	9.8
Año	1148.1	337.4	77.2

Estación de referencia: Logrosán

Precipitación media mensual:  $y = 1.30x - 2.84$  r= 0.89

Precipitación máxima en 24 h.:  $y = 0.92x + 4.37$  r= 0.80

Nº de días de precipitación:  $y = 1.16x + 0.60$  r= 0.91

CUADRO 16  
ESTACION CAÑAMERO "EL PINAR" (1964-70)

Lat. 39° 19' N. Long. 1° 41' W. Alt. 550 m.

Mes	Precipitación		
	Total mm.	Máx. 24 h	Nº de días
Enero	119.9	25.1	9.2
Febr.	112.7	23.9	8.8
Marzo	118.9	32.1	8.5
Abril	62.5	23.8	5.7
Mayo	59.4	20.9	5.8
Junio	27.6	15.1	3.3
Julio	4.4	5.0	0.9
Agost.	5.5	6.4	1.0
Sept.	44.0	21.3	3.6
Oct.	83.4	23.6	6.7
Nov.	111.0	29.7	8.2
Dic.	121.8	32.5	9.0
Año	871.2	259.4	70.7

Estación de referencia: Logrosan

Precipitación media mensual:  $y = 0.96 x - 0.01$   $r = 0.81$

Precipitación máxima en 24 h.:  $y = 0.75 x + 2.25$   $r = 0.79$

Nº de días de precipitación:  $y = 1.08 x + 0.47$   $r = 0.89$

CUADRO 17

ESTACION CAÑAVERAL (1962-70)

Lat. 39° 48' N. Long. 2° 42' W. Alt. 362 m.

Mes	Precipitación			Temperatura ° C.		
	Total mm.	Máx. 24 h	Nº de días	Media		
				Mensual	Máx.	Mín.
Enero	101.8	25.9	11.0	8.4	11.5	4.8
Febr.	106.9	22.4	11.0	8.9	12.5	4.8
Marzo	110.4	21.2	10.6	11.6	15.8	7.1
Abril	52.4	16.8	7.8	14.5	19.7	9.1
Mayo	57.5	17.1	7.3	18.8	25.0	12.6
Junio	32.2	22.3	4.8	22.9	29.2	16.2
Julio	0	4.8	1.8	26.9	34.2	19.4
Agost.	2.2	5.6	2.1	26.3	33.9	19.0
Sept.	66.5	17.8	5.1	23.0	29.2	17.0
Oct.	81.9	21.8	8.9	17.9	22.7	12.9
Nov.	106.8	32.3	9.4	11.8	15.5	8.0
Dic.	113.1	21.8	10.1	8.3	11.4	4.7
Año	877.6	229.8	89.9	16.6	21.7	11.3

Estación de referencia: Cáceres

Precipitación media mensual:  $y = 1.72x - 7.89$  r= 0.91

Precipitación máxima en 24 h.:  $y = 1.35x + 0.19$  r= 0.87

Nº de días de precipitación:  $y = 0.91x + 0.77$  r= 0.82

Temperatura media mensual:  $y = 1.05x - 0.07$  r= 0.99

Temperatura media de las máximas:  $y = 1.09x - 0.91$  r= 0.99

Temperatura media mínima:  $y = 1.04x - 0.14$  r= 0.99

CUADRO 18  
ESTACION CARRASCALEJO (1951-70)

Lat. 39° 39' N. Long. 1° 32' W. Alt. 607 m.

Mes	Precipitación		
	Total mm.	Máx. 24 h	Nº de días
Enero	88.8	27.8	7.0
Febr.	97.8	35.5	7.4
Marzo	69.2	24.1	6.6
Abril	63.7	25.6	5.4
Mayo	49.0	24.5	4.7
Junio	30.9	18.2	2.8
Julio	0	2.4	0.5
Agost.	8.8	10.0	0.9
Sept.	5.1	26.6	3.8
Oct.	72.9	27.0	5.1
Nov.	86.7	26.8	7.3
Dic.	77.6	25.6	5.7
Año	700.5	272.1	57.2

Estación de referencia: Villar del Pedroso

Precipitación media mensual:  $y = 1.51 x - 3.94$  r= 0.94

Precipitación máxima en 24 h.:  $y = 1.40 x + 0.49$  r= 0.85

Nº de días de precipitación:  $y = 0.86 x + 0.12$  r= 0.97

CUADRO 19

ESTACION CASAR DE CACERES (1951-70)

Lat. 39° 34' N. Long. 2° 44' W. Alt. 365 m.

Mes	Precipitación									
	Total mm.	Sn-1	c.v.	Máx. 24 h	Sn-1	c.v.	Nº de días	Sn-1	c.v.	
Enero	90.2	70.2	77.8	29.9	13.1	44.0	6.2	4.6	74.0	
Febr.	94.7	61.3	64.8	30.5	14.6	48.0	5.8	3.9	67.6	
Marzo	79.8	50.4	63.2	28.6	18.3	63.9	5.7	3.3	57.1	
Abril	49.1	50.6	103.0	18.7	12.4	66.5	4.0	3.2	79.1	
Mayo	44.1	39.9	90.5	17.2	11.3	65.5	3.6	2.6	71.6	
Junio	25.1	23.7	94.3	16.3	12.3	75.4	1.9	2.0	101.9	
Julio	3.4	8.7	253.8	3.1	8.4	269.7	0.3	0.6	213.4	
Agost.	5.0	11.0	219.0	3.8	6.8	179.0	0.6	1.1	185.6	
Sept.	29.4	25.2	85.8	17.3	15.2	87.8	2.1	1.6	76.8	
Oct.	66.6	51.2	76.9	27.4	21.3	77.6	4.8	3.0	63.0	
Nov.	92.1	69.6	75.6	34.1	22.3	65.4	5.6	2.8	50.8	
Dic.	81.1	71.2	87.8	27.5	15.7	57.3	5.0	3.8	76.0	
Año	660.6			254.5			45.8			

CUADRO 20

ESTACION CASAS DE D. GOMEZ (1951-70)

Lat. 40° 0' N. Long. 2° 55' W. Alt. 323 m.

Mes	Precipitación									
	Total mm.	Sn-1	c.v.	Máx. 24 h	Sn-1	c.v.	Nº de días	Sn-1	c.v.	
Enero	101.2	79.0	78.0	31.9	16.9	53.1	6.3	4.3	68.8	
Febr.	86.6	60.4	69.8	25.0	10.6	42.3	6.2	4.5	72.5	
Marzo	83.5	52.3	62.7	26.9	15.6	58.2	5.9	2.8	47.1	
Abril	58.7	42.9	73.1	24.0	15.0	62.3	4.6	2.9	62.8	
Mayo	43.0	21.7	50.5	17.7	7.4	41.7	4.2	2.2	52.6	
Junio	22.8	20.2	88.5	13.5	13.4	99.0	2.3	1.9	84.2	
Julio	1.8	5.6	309.6	1.8	5.6	309.6	0.1	0.4	238.0	
Agost.	5.7	7.2	126.4	5.1	6.5	127.3	0.5	0.7	121.6	
Sept.	43.9	26.0	59.2	24.5	13.7	55.9	2.6	1.4	51.0	
Oct.	86.4	63.4	73.4	32.4	23.6	72.7	5.3	3.3	63.4	
Nov.	101.0	66.9	66.3	33.6	20.0	59.4	6.4	3.2	49.1	
Dic.	83.6	63.5	76.0	25.1	17.9	71.2	5.7	3.4	60.4	
Año	718.0			261.6			50.3			

CUADRO 21

ESTACION CASAS DE MIRAVETE (1962-70)

Lat. 39° 43' N. Long. 2 ° 03' W. Alt. 451 m.

Mes	Precipitación			Temperatura ° C.		
	Total mm.	Máx. 24 h	Nº de días	Media		
				Mensual	Máx.	Mín.
Enero	103.2	25.4	10.0	8.5	11.8	5.3
Febr.	108.6	26.5	9.1	9.6	13.4	5.8
Marzo	89.9	23.0	8.8	12.6	17.4	7.8
Abril	58.8	22.6	7.4	15.4	21.1	9.6
Mayo	62.0	22.0	7.0	19.0	25.9	13.1
Junio	29.3	17.0	4.2	23.3	29.9	16.8
Julio	0	3.0	1.1	27.5	35.3	19.6
Agost.	0	5.4	1.5	26.8	33.9	19.2
Sept.	45.8	21.9	4.4	23.4	30.0	16.7
Oct.	79.5	22.6	7.8	17.5	22.4	12.8
Nov.	106.4	27.8	8.6	11.9	15.5	8.3
Dic.	90.1	22.8	8.4	8.7	12.0	5.0
Año	773.6	240.0	78.3	17.0	22.4	11.7

Estación de referencia: Trujillo

Precipitación media mensual:  $y = 1.25 x - 8.39$  r= 0.92

Precipitación máxima en 24 h.:  $y = 1.0 x + 0.06$  r= 0.93

Nº de días de precipitación:  $y = 0.88 x + 0.57$  r= 0.92

Temperatura media mensual:  $y = 0.95 x + 1.99$  r= 0.99

Temperatura media de las máximas:  $y = 0.97 x + 1.54$  r= 0.99

Temperatura media mínima:  $y = 0.92 x + 2.19$  r= 0.99

CUADRO 22

ESTACION CECLAVIN (1951-70)

Lat. 39° 49' N. Long. 3° 05' W. Alt. 322 m.

Mes	Precipitación									
	Total mm.	Sn-1	c.v.	Máx. 24 h	Sn-1	c.v.	Nº de días	Sn-1	c.v.	
Enero	106.6	98.8	92.6	26.6	17.8	67.0	9.3	5.5	59.1	
Febr.	91.2	63.0	69.0	23.8	11.5	48.4	9.5	5.8	60.6	
Marzo	86.0	52.7	61.2	26.5	15.4	58.3	8.8	3.7	42.7	
Abril	56.4	43.3	76.8	20.6	11.8	57.5	6.8	3.9	57.2	
Mayo	39.6	26.3	66.3	12.9	6.2	48.3	7.0	3.4	48.4	
Junio	28.0	24.6	87.8	14.8	10.6	71.7	3.7	2.8	75.0	
Julio	1.6	3.1	191.7	1.0	2.1	213.9	0.4	0.9	192.1	
Agost.	4.3	10.7	248.9	2.6	4.9	189.4	0.4	0.7	148.7	
Sept.	36.7	33.5	91.2	23.5	21.4	90.9	3.3	2.3	68.2	
Oct.	80.4	59.4	73.8	27.1	16.1	59.6	7.8	4.6	59.1	
Nov.	92.3	68.8	74.5	27.1	16.4	60.4	9.6	4.3	44.4	
Dic.	71.1	64.3	90.4	20.5	14.2	69.2	7.5	4.6	61.3	
Año	694.4			227.0			74.3			

CUADRO 23

ESTACION CONQUISTA DE LA SIERRA

Lat. 39° 43' N. Long. 2° 03' W. Alt. 451 m.

Mes	Precipitación (1954-70)			Temperatura ° C. (1957-70)		
	Total mm.	Máx. 24 h	Nº de días	Media		
				Mensual	Máx.	Mín.
Enero	92.4	24.9	9.5	8.9	12.0	6.1
Febr.	97.1	26.0	8.5	10.0	13.5	6.6
Marzo	81.0	22.5	8.3	13.0	17.1	8.8
Abril	62.5	22.1	6.8	15.7	20.5	10.9
Mayo	57.0	21.4	6.4	19.3	24.8	14.7
Junio	28.9	16.2	3.6	23.6	28.5	18.8
Julio	0.4	1.6	0.4	27.8	33.7	21.9
Agost.	3.0	4.1	0.8	27.0	32.2	21.4
Sept.	43.1	21.3	3.8	23.7	28.6	18.7
Oct.	72.0	22.0	7.2	17.9	21.7	14.3
Nov.	95.2	27.4	8.0	12.2	15.3	9.3
Dic.	81.2	22.3	7.8	1.7	12.2	5.8
Año	713.7	231.8	71.1	17.4	21.7	13.1

Estación de referencia: Trujillo

Precipitación media mensual:  $y = 1.07x - 3.41$  r= 0.98

Precipitación máxima en 24 h.:  $y = 1.05x - 1.46$  r= 0.93

Nº de días de precipitación:  $y = 0.90x - 0.18$  r= 0.99

Temperatura media mensual:  $y = 0.94x + 2.47$  r= 0.99

Temperatura media de las máximas:  $y = 0.89x + 2.61$  r= 0.99

Temperatura media mínima:  $y = 1.02x + 2.61$  r= 0.99

CUADRO 24  
ESTACION CORIA (1956-70)

Lat. 39° 59' N. Long. 2° 51' W. Alt. 263 m.

Mes	Precipitación		
	Total	Máx.	Nº de
	mm.	24 h	días
Enero	87.0	26.3	11.1
Febr.	75.0	20.7	11.0
Marzo	72.5	22.2	10.5
Abril	52.0	19.9	8.4
Mayo	39.0	14.8	7.8
Junio	22.4	11.4	4.8
Julio	5.1	1.8	1.3
Agost.	8.3	4.5	1.9
Sept.	39.8	20.3	5.3
Oct.	74.8	26.7	9.5
Nov.	86.8	27.7	11.3
Dic.	72.5	21.6	10.2
Año	635.2	217.9	93.1

Estación de referencia: Casas de D. Gómez

Precipitación media mensual:  $y = 0.82 x + 3.57$  r= 0.96

Precipitación máxima en 24 h.:  $y = 0.81 x + 0.38$  r= 0.91

Nº de días de precipitación:  $y = 1.59 x + 1.12$  r= 0.95

CUADRO 25

ESTACION CORIA "LA PULGOSA"

Lat. 39° 59' N. Long. 2° 54' W. Alt. 270 m.

Mes	Precipitación (1964-70)			Temperatura ° C. (1965-70)		
	Total mm.	Máx. 24 h	Nº de días	Media		
				Mensual	Máx.	Mín.
Enero	87.1	24.9	9.5	9.4	14.8	4.0
Febr.	75.2	19.8	9.4	9.9	15.9	4.0
Marzo	72.6	21.2	9.0	12.6	19.5	6.1
Abril	52.3	19.0	7.2	15.5	23.6	7.9
Mayo	39.4	14.4	6.7	19.8	29.2	11.2
Junio	22.9	11.3	4.1	24.0	33.8	14.5
Julio	5.7	2.7	1.1	28.0	39.1	17.4
Agost.	8.9	5.1	1.7	27.4	38.7	17.0
Sept.	40.2	19.4	4.5	24.1	33.6	15.1
Oct.	75.0	25.2	8.2	19.0	26.8	11.5
Nov.	86.9	26.1	9.6	12.9	19.1	6.9
Dic.	72.7	20.6	8.7	9.3	14.7	3.9
Año	638.8	209.7	79.7	17.7	25.7	10.0

Estación de referencia: Cáceres

Precipitación media mensual:  $y = 0.82x + 4.20$  r= 0.90

Precipitación máxima en 24 h.:  $y = 0.74x + 1.35$  r= 0.90

Nº de días de precipitación:  $y = 1.35x + 0.99$  r= 0.90

Temperatura media mensual:  $y = 1.05x + 0.84$  r= 0.99

Temperatura media de las máximas:  $y = 1.16x + 1.62$  r= 0.99

Temperatura media mínima:  $y = 0.89x - 0.24$  r= 0.98

CUADRO 26  
ESTACION DESCARGAMARIA(1962-70)

Lat. 40° 18' N. Long. 2° 48' W. Alt. 481 m.

Mes	Precipitación		
	Total mm.	Máx. 24 h	Nº de días
Enero	206.5	51.8	8.8
Febr.	174.1	43.8	9.8
Marzo	181.7	47.3	9.8
Abril	101.8	35.6	7.3
Mayo	85.7	27.6	7.0
Junio	41.8	21.4	4.2
Julio	2.6	3.6	0.4
Agost.	13.0	9.3	1.1
Sept.	63.7	34.8	3.8
Oct.	146.1	45.8	6.3
Nov.	233.7	66.0	9.6
Dic.	153.8	44.2	7.3
Año	1412.6	431.2	75.4

Estación de referencia: Valverde del Fresno

Precipitación media mensual:  $y = 1.23 x - 4.25$  r= 0.89

Precipitación máxima en 24 h.:  $y = 1.16 x - 1.79$  r= 0.94

Nº de días de precipitación:  $y = 1.03 x - 0.23$  r= 0.96

CUADRO 27  
ESTACION GALISTEO (1963-70)

Lat. 39° 59' N. Long. 2° 35' W. Alt. 304 m.

Mes	Precipitación		
	Total mm.	Máx. 24 h	Nº de días
Enero	80.3	21.1	9.5
Febr.	69.4	17.2	9.4
Marzo	67.1	18.3	9.0
Abril	48.5	16.6	7.1
Mayo	36.7	13.0	6.5
Junio	21.6	10.5	3.7
Julio	5.9	3.8	0.5
Agost.	8.8	5.7	1.1
Sept.	37.4	16.9	4.2
Oct.	69.2	21.4	8.1
Nov.	80.1	22.1	9.7
Dic.	67.1	17.8	8.7
Año	592.1	184.4	77.5

Estación de referencia: Casas de D. Gómez

Precipitación media mensual:  $y = 0.71 x + 4.50$  r= 0.95

Precipitación máxima en 24 h.:  $y = 0.57 x + 2.74$  r= 0.91

Nº de días de precipitación:  $y = 1.46 x + 0.38$  r= 0.94

CUADRO 28

ESTACION GARCIAZ

Lat. 39° 25' N. Long. 1° 56' W. Alt. 650 m.

Mes	Precipitación (1951-70)			Temperatura ° C. (1959-70)		
	Total mm.	Máx. 24 h	Nº de días	Media		
				Mensual	Máx.	Mín.
Enero	109.8	26.1	12.3	6.6	9.9	3.3
Febr.	115.7	27.4	11.1	7.6	11.5	3.8
Marzo	95.7	23.4	10.8	10.7	15.4	5.9
Abrial	72.7	22.9	9.0	13.5	19.0	7.9
Mayo	65.9	22.2	8.5	17.1	23.6	11.6
Junio	31.0	16.4	5.0	21.5	27.4	15.6
Julio	0	0.1	1.1	25.8	32.9	18.5
Agost.	0	2.8	1.6	25.0	31.3	18.1
Sept.	48.7	22.1	5.3	21.8	27.5	15.5
Oct.	84.6	22.8	9.5	15.7	20.2	11.2
Nov.	113.3	28.9	10.5	9.9	13.5	16.4
Dic.	96.0	23.2	10.2	6.8	10.2	3.0
Año	833.4	238.3	94.9	15.2	20.2	10.1

Estación de referencia: Trujillo

Precipitación media mensual:  $y = 1.34x - 9.19$  r= 0.97

Precipitación máxima en 24 h.:  $y = 1.17x - 3.34$  r= 0.92

Nº de días de precipitación:  $y = 1.10x + 0.42$  r= 0.98

Temperatura media mensual:  $y = 0.96x - 0.03$  r= 0.99

Temperatura media de las máximas:  $y = 0.94x + 0.06$  r= 0.99

Temperatura media mínima:  $y = 0.89x - 0.09$  r= 0.99

CUADRO 29  
ESTACION GARROVILLAS (1963-70)

Lat. 39° 43' N. Long. 2° 52' W. Alt. 327 m.

Mes	Precipitación		
	Total mm.	Máx. 24 h	Nº de días
Enero	81.8	24.4	6.8
Febr.	86.1	24.9	6.3
Marzo	72.0	23.3	6.2
Abril	43.0	15.4	4.2
Mayo	38.3	14.2	3.8
Junio	20.3	13.5	1.8
Julio	0	3.0	0
Agost.	1.3	3.5	0.2
Sept.	24.4	14.3	2.0
Oct.	59.5	22.4	5.2
Nov.	83.6	27.8	6.1
Dic.	73.2	22.5	5.4
Año	583.5	209.2	48.0

Estación de referencia: Casar de Cáceres

Precipitación media mensual:  $y = 0.94 x - 3.39$   $r = 0.91$

Precipitación máxima en 24 h.:  $y = 0.80 x + 0.47$   $r = 0.83$

Nº de días de precipitación:  $y = 1.17 x - 0.47$   $r = 0.90$

CUADRO 30

ESTACION GORDO (EL) "EL GUADALPERAL" (1952-70)

Lat. 39° 50' N. Long. 1° 44' W. Alt. 340 m.

Mes	Precipitación								
	Total mm.	Sn-1	c.v.	Máx. 24 h	Sn-1	c.v.	Nº de días	Sn-1	c.v.
Enero	86.4	75.7	87.6	26.5	12.8	42.4	6.5	4.8	74.2
Febr.	81.6	66.5	81.4	21.8	13.0	49.8	7.4	5.1	69.4
Marzo	67.6	48.6	72.0	21.7	11.2	51.5	6.6	3.3	49.7
Abril	52.9	47.2	89.3	19.5	13.9	71.1	4.8	2.4	51.0
Mayo	42.4	24.2	57.1	18.6	11.2	60.2	4.6	2.4	52.7
Junio	32.5	20.3	62.6	16.6	8.3	49.8	3.9	2.3	57.2
Julio	2.7	4.9	181.7	2.1	3.6	174.2	0.4	0.8	187.1
Agost.	10.8	22.7	209.3	8.3	17.0	203.3	1.1	1.2	108.9
Sept.	41.0	32.9	80.2	21.4	19.4	90.5	3.5	2.2	63.6
Oct.	78.8	77.0	97.6	24.2	15.4	63.5	5.8	4.7	80.9
Nov.	64.3	44.2	68.7	22.3	13.3	59.5	6.5	3.8	58.8
Dic.	72.6	60.2	82.9	25.4	16.7	65.7	5.7	2.8	49.6
Año	633.6			228.5			74.2		

**CUADRO 31**  
**ESTACION GUADALUPE (Monasterio) (1951-70)**

Lat. 39° 27' N. Long. 1° 38' W. Alt. 640 m.

Mes	Precipitación									
	Total mm.	Sn-1	c.v.	Máx. 24 h	Sn-1	c.v.	Nº de días	Sn-1	c.v.	
Enero	124.2	103.6	83.4	33.9	19.1	56.4	9.5	5.1	53.8	
Febr.	110.3	75.0	68.0	29.6	15.3	51.8	10.2	6.2	60.7	
Marzo	92.7	66.7	72.0	31.0	15.1	48.7	10.0	4.0	40.1	
Abrial	64.9	61.6	95.0	20.3	12.0	58.9	7.5	3.9	51.5	
Mayo	49.8	36.2	72.6	17.1	9.8	57.4	7.0	4.0	57.4	
Junio	29.2	21.7	74.4	13.6	10.7	78.3	4.1	2.7	64.9	
Julio	3.7	8.1	220.9	3.1	7.0	227.6	0.8	1.0	113.3	
Agost.	10.6	14.4	135.8	6.1	12.5	137.4	1.4	1.3	91.2	
Sept.	36.7	30.7	83.7	18.9	15.9	84.4	3.8	2.4	62.1	
Oct.	88.9	67.0	78.7	27.1	15.4	56.8	9.1	4.3	47.0	
Nov.	118.3	92.2	78.0	29.8	16.8	56.4	9.4	4.8	50.6	
Dic.	119.5	107.2	89.8	31.2	25.5	81.7	10.2	5.2	51.2	
Año	848.6			264.6			83.1			

Mes	Temperatura									
	Medias									
	Mensual	Sn-1	c.v.	Máx	Sn-1	c.v.	Mín.	Sn-1	c.v.	
Enero	6.4	1.4	21.3	8.8	1.5	17.3	4.0	1.7	41.7	
Febr.	7.2	1.8	24.6	10.0	2.0	19.5	4.3	1.7	40.1	
Marzo	9.9	1.6	16.6	13.2	2.1	16.0	6.7	1.5	22.0	
Abrial	12.7	1.2	9.2	16.5	1.6	9.6	8.9	1.3	14.2	
Mayo	17.1	2.0	11.8	21.4	2.4	11.5	12.9	1.8	13.5	
Junio	21.1	1.4	6.7	25.7	2.2	8.3	16.5	1.0	6.4	
Julio	25.3	1.7	6.6	30.7	2.4	7.9	19.9	1.2	5.5	
Agost.	24.5	1.3	5.4	30.0	2.2	7.2	19.3	1.3	6.5	
Sept.	21.4	2.4	11.0	25.3	2.8	10.9	16.8	1.8	10.7	
Oct.	16.0	2.2	13.8	18.8	2.7	14.5	12.5	1.6	12.8	
Nov.	10.0	1.8	17.6	11.9	1.2	10.3	7.1	1.7	23.9	
Dic.	7.0	1.5	21.0	9.0	2.0	22.4	4.4	1.7	39.4	
Año	14.9			18.4			11.1			

CUADRO 32  
ESTACION GUIJO DE GRANADILLA (1962-70)

Lat. 40° 12' N. Long. 2° 29' W. Alt. 390 m.

Mes	Precipitación		
	Total mm.	Máx. 24 h	Nº de días
Enero	94.7	26.3	8.3
Febr.	95.2	25.4	8.9
Marzo	115.1	35.1	9.5
Abril	69.2	19.5	7.8
Mayo	60.2	17.7	6.7
Junio	36.7	18.4	4.0
Julio	5.7	4.5	0.5
Agost.	8.0	6.0	0.9
Sept.	44.9	20.0	4.5
Oct.	75.4	25.1	7.2
Nov.	107.2	28.8	7.9
Dic.	90.8	23.0	8.2
Año	803.1	249.8	74.4

Estación de referencia: Hervás

Precipitación media mensual:  $y = 0.68 x - 1.58$  r= 0.86

Precipitación máxima en 24 h.:  $y = 0.63 x + 0.38$  r= 0.79

Nº de días de precipitación:  $y = 0.91 x - 1.13$  r= 0.89

CUADRO 33  
ESTACION HERNAN PEREZ (1961-70)

Lat. 40° 13' N. Long. 2° 47' W. Alt. 445 m.

Mes	Precipitación		
	Total mm.	Máx. 24 h	Nº de días
Enero	204.0	35.2	9.5
Febr.	178.2	30.0	10.0
Marzo	177.3	32.6	10.1
Abril	106.0	24.2	7.4
Mayo	92.8	20.8	7.0
Junio	60.1	16.6	4.6
Julio	29.1	7.1	1.5
Agost.	32.5	8.3	2.2
Sept.	71.7	23.1	5.0
Oct.	133.3	26.7	7.2
Nov.	209.1	41.5	9.9
Dic.	154.4	27.0	8.3
Año	1448.6	293.1	83.7

Estación de referencia: Hoyos

Precipitación media mensual:  $y = 0.81 x + 23.56$  r= 0.91

Precipitación máxima en 24 h.:  $y = 0.54 x + 4.50$  r= 0.88

Nº de días de precipitación:  $y = 0.81 x + 0.67$  r= 0.89

**CUADRO 34**  
**ESTACION HERVAS (1951-70)**

Lat. 40° 16' N. Long. 2° 10' W. Alt. 688 m.

Mes	Precipitación								
	Total mm.	Sn-1	c.v.	Máx. 24 h	Sn-1	c.v.	Nº de días	Sn-1	c.v.
Enero	140.9	102.5	72.7	41.2	28.1	68.1	10.4	5.7	55.0
Febr.	141.6	101.6	71.8	39.7	18.7	47.0	11.1	6.0	54.3
Marzo	170.7	122.0	71.5	55.2	43.0	77.9	11.7	4.8	41.3
Abrial	103.5	54.0	52.2	30.4	11.8	38.8	9.8	3.8	38.2
Mayo	90.4	51.2	56.6	27.5	15.0	54.6	8.6	3.9	45.5
Junio	56.0	23.3	41.6	28.7	13.2	45.9	5.7	2.7	47.2
Julio	10.7	17.3	61.4	6.5	8.7	134.6	1.8	1.8	103.5
Agost.	14.1	13.9	98.6	9.0	8.0	88.6	2.2	1.8	79.8
Sept.	68.0	51.3	75.4	31.2	23.2	74.3	6.2	3.3	53.8
Oct.	112.7	80.8	71.7	39.3	27.5	70.0	9.2	5.2	56.3
Nov.	159.1	112.9	71.0	45.1	26.0	57.6	9.9	4.4	43.8
Dic.	135.1	102.6	75.9	35.9	24.1	67.2	10.3	4.5	43.2
Año	1202.9			389.6			97.0		

Mes	Temperatura								
	Medias								
	Mensual	Sn-1	c.v.	Máx	Sn-1	c.v.	Mín.	Sn-1	c.v.
Enero	6.0	1.7	28.7	10.0	1.4	14.2	2.0	2.3	113.3
Febr.	7.3	2.8	38.7	11.8	3.5	30.0	3.1	2.8	89.9
Marzo	9.9	2.2	21.7	15.0	2.7	18.3	5.1	2.2	42.6
Abrial	12.4	1.7	13.6	18.2	1.8	10.2	6.5	2.7	41.9
Mayo	16.3	2.2	13.6	22.7	7.4	10.6	10.2	3.0	25.7
Junio	20.1	2.5	12.6	27.5	1.9	6.9	13.1	4.1	31.3
Julio	23.6	2.8	11.7	32.1	2.0	6.1	15.7	4.7	29.8
Agost.	23.5	2.8	11.8	31.3	1.9	6.1	16.0	4.9	30.5
Sept.	20.1	2.7	13.3	26.8	2.6	9.7	13.2	3.8	28.3
Oct.	14.6	2.0	13.9	19.8	2.4	12.3	9.0	3.4	37.2
Nov.	9.4	1.8	19.3	14.0	2.2	15.9	5.0	2.7	53.5
Dic.	6.6	1.6	24.8	10.9	1.6	14.9	2.5	2.4	95.3
Año	14.2			20.0			8.5		

CUADRO 35

ESTACION HOYOS (1951-70)

Lat. 40° 10' N. Long. 3° 02' W. Alt. 550 m.

Mes	Precipitación								
	Total mm.	Sn-1	c.v.	Máx. 24 h	Sn-1	c.v.	Nº de días	Sn-1	c.v.
Enero	222.9	170.0	79.3	57.2	35.8	62.5	10.9	6.5	59.9
Febr.	19.1	137.5	71.9	47.6	23.9	50.3	11.5	6.2	54.1
Marzo	190.0	110.8	57.4	52.5	27.3	52.0	11.6	5.0	42.6
Abril	101.9	66.9	65.7	36.8	18.1	49.2	8.3	3.8	45.3
Mayo	85.6	57.9	67.6	30.4	19.6	64.5	7.8	4.1	51.8
Junio	45.1	32.6	72.3	22.6	14.0	62.3	4.9	2.8	56.2
Julio	6.9	10.0	143.6	4.9	7.5	152.6	1.0	1.0	97.3
Agost.	11.0	11.5	104.3	7.0	7.3	104.4	1.9	1.4	71.6
Sept.	59.5	46.3	77.8	34.8	23.8	68.5	5.3	3.0	56.8
Oct.	135.6	146.6	108.1	41.4	36.2	87.4	8.0	5.2	65.1
Nov.	229.3	146.4	63.8	69.1	39.3	56.8	11.4	4.5	39.3
Dic.	161.7	118.8	73.5	41.9	28.4	67.7	10.6	5.3	49.5
Año	1440.6			446.2			93.5		

CUADRO 36  
ESTACION IBAHERNANDO (1951-62)

Lat. 39° 19' N. Long. 2° 14' W. Alt. 540 m.

Mes	Precipitación		
	Total mm.	Máx. 24 h	Nº de días
Enero	88.5	25.2	8.0
Febr.	93.1	26.5	7.2
Marzo	77.4	22.6	7.0
Abril	59.3	22.1	5.8
Mayo	54.0	21.4	5.4
Junio	26.6	15.6	3.2
Julio	0	0	0.6
Agost.	1.3	2.0	0.9
Sept.	40.5	21.3	3.3
Oct.	68.7	22.0	6.1
Nov.	91.2	28.0	6.7
Dic.	77.6	22.3	6.6
Año	678.2	229.0	60.8

Estación de referencia: Trujillo

Precipitación media mensual:  $y = 1.05 x - 4.96$   $r = 0.91$

Precipitación máxima en 24 h.:  $y = 1.17 x - 4.19$   $r = 0.86$

Nº de días de precipitación:  $y = 0.72 x + 0.14$   $r = 0.95$

CUADRO 37  
ESTACION JARAIZ DE LA VERA (1963-70)

Lat. 40° 04' N. Long. 2° 04' W. Alt. 561 m.

Mes	Precipitación		
	Total mm.	Máx. 24 h	Nº de días
Enero	221.0	51.2	10.2
Febr.	208.8	55.7	9.0
Marzo	186.4	61.6	8.8
Abrial	138.3	43.2	6.9
Mayo	106.4	31.9	6.8
Junio	43.2	21.9	4.4
Julio	0	8.2	1.2
Agost.	0	3.6	1.2
Sept.	89.0	43.0	5.2
Oct.	190.7	47.4	7.4
Nov.	198.8	46.0	8.7
Dic.	171.3	42.8	8.3
Año	1355.0	456.5	78.1

Estación de referencia: Tejeda de Tietar

Precipitación media mensual:  $y = 1.63 x - 17.63$  r= 0.92

Precipitación máxima en 24 h.:  $y = 1.35 x - 2.70$  r= 0.90

Nº de días de precipitación:  $y = 0.96 x + 0.30$  r= 0.94

CUADRO 38

ESTACION LOGROSAN (1951-70)

Lat. 39° 20' N. Long. 1° 48' W. Alt. 467 m.

Mes	Precipitación									
	Total mm.	Sn-1	c.v.	Máx. 24 h	Sn-1	c.v.	Nº de días	Sn-1	c.v.	
Enero	125.3	122.8	98.0	30.6	18.9	61.9	8.1	5.4	66.6	
Febr.	117.7	99.0	84.0	29.0	17.8	61.4	7.7	4.8	62.0	
Marzo	124.2	86.9	70.0	40.0	25.6	64.0	7.5	4.8	63.9	
Abril	65.3	61.3	93.8	28.9	21.7	74.8	4.8	3.7	76.7	
Mayo	62.1	44.0	70.9	25.0	14.3	57.3	4.9	3.0	60.5	
Junio	28.8	24.3	84.6	17.2	13.5	78.5	2.6	1.7	67.0	
Julio	4.6	8.6	186.8	3.7	6.0	163.0	0.4	0.6	151.9	
Agost.	5.8	13.8	239.2	5.5	13.7	250.0	0.5	0.8	172.8	
Sept.	46.0	29.3	85.3	25.5	14.6	57.3	2.9	1.5	52.2	
Oct.	87.1	64.6	74.1	28.7	16.0	55.6	5.7	3.2	56.3	
Nov.	116.0	79.2	68.3	36.8	19.7	53.4	7.1	3.5	49.8	
Dic.	127.3	98.2	77.1	40.6	28.2	69.5	7.8	5.6	72.7	
Año	910.3			311.5			60.1			

CUADRO 39

ESTACION MADRIGALEJO (1951-70)

Lat. 39° 08' N. Long. 1° 56' W. Alt. 295 m.

Mes	Precipitación								
	Total mm.	Sn-1	c.v.	Máx. 24 h	Sn-1	c.v.	Nº de días	Sn-1	c.v.
Enero	79.9	58.8	73.6	24.4	13.5	55.5	9.3	5.5	59.5
Febr.	81.4	58.8	72.2	20.4	9.7	47.4	9.0	5.3	58.4
Marzo	77.6	49.0	63.2	22.2	13.0	58.5	9.3	4.1	44.2
Abril	48.2	39.2	81.4	17.9	12.6	70.4	6.3	3.6	57.1
Mayo	38.9	34.7	89.2	15.5	11.0	71.2	5.4	3.1	58.1
Junio	27.6	18.9	68.4	16.0	14.1	88.2	3.4	1.9	56.3
Julio	4.3	13.3	311.5	4.1	13.2	321.1	4.0	0.7	165.8
Agost.	5.9	9.0	153.2	5.2	7.8	150.1	0.8	0.9	113.1
Sept.	33.8	33.0	97.6	22.4	20.6	92.0	3.6	2.5	68.8
Oct.	66.7	54.2	81.2	23.5	16.9	71.8	7.2	4.2	58.4
Nov.	81.4	61.6	75.7	26.2	19.0	72.3	8.3	4.2	51.3
Dic.	74.8	63.7	85.1	18.3	10.3	56.5	9.0	5.2	57.2
Año	620.4			216.1			71.9		

CUADRO 40  
ESTACION MADROÑERA (1962-70)

Lat. 39° 26' N. Long. 2° 04' W. Alt. 584 m.

Mes	Precipitación		
	Total mm.	Máx. 24 h	Nº de días
Enero	108.1	28.6	10.3
Febr.	113.6	29.9	9.2
Marzo	94.8	25.8	8.9
Abril	73.1	25.4	7.3
Mayo	66.7	24.6	6.8
Junio	33.9	18.7	3.8
Julio	0.5	2.0	0.3
Agost.	3.4	4.8	0.8
Sept.	50.5	24.5	4.0
Oct.	84.3	25.2	7.7
Nov.	111.3	31.5	8.6
Dic.	95.0	25.6	8.4
Año	835.6	266.6	76.1

Estación de referencia: Trujillo

Precipitación media mensual:  $y = 1.26 x - 3.88$  r= 0.95

Precipitación máxima en 24 h.:  $y = 1.20 x - 1.53$  r= 0.89

Nº de días de precipitación:  $y = 0.98 x - 0.30$  r= 0.96

CUADRO 41  
ESTACION MADROÑERA "FINCA TORREMURIEL" (1964-70)

Lat. 39° 27' N. Long. 2° 06' W. Alt. 550 m.

Mes	Precipitación		
	Total mm.	Máx. 24 h	Nº de días -
Enero	87.8	23.9	9.7
Febr.	92.3	24.9	8.8
Marzo	77.2	21.8	8.4
Abril	60.0	21.4	7.0
Mayo	54.8	20.8	6.6
Junio	28.6	16.1	3.8
Julio	2.0	3.0	0.6
Agost.	4.5	5.3	1.1
Sept.	41.9	20.7	4.0
Oct.	68.9	21.3	7.4
Nov.	90.5	26.2	8.2
Dic.	77.4	21.6	8.0
Año	685.8	227.0	73.7

Estación de referencia: Trujillo

Precipitación media mensual:  $y = 1.0 x - 1.56$  r= 0.87

Precipitación máxima en 24 h.:  $y = 0.94 x + 0.32$  r= 0.81

Nº de días de precipitación:  $y = 0.89 x + 0.10$  r= 0.92

CUADRO 42

ESTACION MALPARTIDA DE CACERES (1951-70)

Lat. 39° 27' N. Long. 2° 49' W. Alt. 371 m.

Mes	Precipitación								
	Total mm.	Sn-1	c.v.	Máx. 24 h	Sn-1	c.v.	Nº de días	Sn-1	c.v.
Enero	73.4	53.8	73.3	19.1	10.5	54.9	9.8	5.8	59.6
Febr.	71.6	46.8	65.4	19.9	11.0	55.4	10.4	6.7	64.2
Marzo	69.5	48.6	69.8	22.0	16.6	75.4	9.4	4.6	48.4
Abril	46.8	40.4	90.2	16.5	12.3	74.8	7.1	3.4	48.6
Mayo	45.5	37.1	81.5	13.0	7.8	59.6	7.3	3.5	47.7
Junio	26.6	21.7	81.7	14.9	14.3	76.1	4.4	2.9	65.6
Julio	1.0	1.8	185.3	0.9	1.8	191.4	0.5	0.9	184.4
Agost.	5.3	8.1	153.8	5.7	9.1	160.6	1.3	1.3	97.6
Sept.	28.6	22.9	80.0	15.9	14.0	88.4	4.3	3.1	79.4
Oct.	59.8	43.1	72.1	21.7	14.9	68.6	7.9	4.9	61.8
Nov.	81.2	65.4	80.6	27.6	26.6	96.5	9.9	4.7	47.8
Dic.	67.2	58.2	86.6	19.1	11.6	60.4	9.3	5.0	53.5
Año	574.4			196.3			81.6		

CUADRO 43  
ESTACION MALPARTIDA DE PLASENCIA (1953-70)

Lat. 39º 59' N. Long. 2º 21' W. Alt. 468 m.

Mes	Precipitación		
	Total mm.	Máx. 24 h	Nº de días
Enero	133.1	35.2	11.0
Febr.	126.0	38.1	9.5
Marzo	113.0	41.9	9.3
Abril	85.1	30.0	7.2
Mayo	66.6	22.6	7.1
Junio	29.9	16.2	4.3
Julio	2.9	7.3	0.5
Agost.	0.1	4.3	0.5
Sept.	56.4	29.8	5.2
Oct.	115.5	32.7	7.7
Nov.	120.2	31.8	9.2
Dic.	104.3	29.7	8.7
Año	953.1	319.6	80.2

Estación de referencia: Tejeda de Tietar

Precipitación media mensual:  $y = 0.94 x - 5.46$   $r = 0.98$

Precipitación máxima en 24 h.:  $y = 0.88 x + 0.19$   $r = 0.98$

Nº de días de precipitación:  $y = 1.11 x - 0.46$   $r = 0.98$

CUADRO 44

ESTACION MEMBRIOS (1951-70)

Lat. 39° 32' N. Long. 3° 22' W. Alt. 334 m.

Mes	Precipitación									
	Total mm.	Sn-1	c.v.	Máx. 24 h	Sn-1	c.v.	Nº de días	Sn-1	c.v.	
Enero	76.0	63.8	84.0	21.8	12.4	57.0	9.2	5.6	61.4	
Febr.	72.8	41.1	63.4	20.3	10.3	50.9	9.5	5.8	61.2	
Marzo	68.4	39.1	57.2	22.5	10.5	47.6	9.1	3.8	41.2	
Abril	49.4	47.8	96.9	20.2	23.4	116.1	7.2	3.3	45.8	
Mayo	38.1	30.6	80.5	14.2	7.4	52.1	6.4	3.5	54.7	
Junio	21.9	20.1	91.8	12.2	9.8	80.5	3.4	2.3	65.8	
Julio	5.3	11.2	211.1	5.2	11.1	213.2	0.4	0.6	145.8	
Agost.	4.3	8.8	203.6	3.2	6.2	192.4	0.7	0.8	120.4	
Sept.	33.6	38.0	113.1	19.8	19.2	98.2	3.8	2.5	65.3	
Oct.	67.9	50.8	74.8	27.8	22.6	81.5	6.8	4.1	61.1	
Nov.	78.6	47.9	61.0	25.5	15.2	59.7	9.4	4.5	48.1	
Dic.	66.4	53.0	79.8	19.2	11.6	60.2	8.6	5.0	58.4	
Año	582.6			211.8			74.6			

CUADRO 45  
ESTACION MONTANCHEZ (1964-70)

Lat. 39° 14' N. Long. 2° 28' W. Alt. 700 m.

Mes	Precipitación		
	Total mm.	Máx. 24 h	Nº de días
Enero	116.8	32.3	8.8
Febr.	104.2	28.5	9.5
Marzo	88.2	29.8	9.3
Abril	50.5	20.3	6.9
Mayo	49.2	17.5	6.4
Junio	30.5	14.4	3.7
Julio	7.3	5.1	0.6
Agost.	13.6	7.8	1.2
Sept.	37.3	19.1	3.4
Oct.	84.8	26.3	8.4
Nov.	111.5	28.7	8.7
Dic.	112.6	29.9	9.5
Año	806.4	259.7	76.4

Estación de referencia: Guadalupe

Precipitación media mensual:  $y = 0.91 x + 3.94$   $r = 0.92$

Precipitación máxima en 24 h.:  $y = 0.88 x + 2.39$   $r = 0.86$

Nº de días de precipitación:  $y = 0.95 x - 0.17$   $r = 0.90$

CUADRO 46

ESTACION NAVA CONCEJO "FINCA LA CASERIA"

Lat. 40° 09' N. Long. 2° 10' W. Alt. 496 m.

Mes	Precipitación (1960-70)			Temperatura ° C. (1962-69)		
	Total mm.	Máx. 24 h	Nº de días	Media		
				Mensual	Máx.	Mín.
Enero	184.1	49.0	9.2	8.8	12.8	4.8
Febr.	185.0	47.1	9.9	10.1	14.5	5.9
Marzo	223.3	66.4	10.4	12.7	17.7	7.8
Abril	134.9	35.6	8.7	15.1	20.8	9.2
Mayo	117.6	32.0	7.6	19.0	25.2	12.9
Junio	72.4	33.5	4.8	22.7	29.9	15.7
Julio	12.8	6.0	1.2	26.2	34.4	18.3
Agost.	17.2	9.1	1.6	26.1	33.6	18.6
Sept.	88.2	36.6	5.3	22.7	29.2	15.8
Oct.	147.0	46.6	8.1	17.3	22.4	11.7
Nov.	208.0	53.8	8.8	12.2	16.7	7.7
Dic.	176.4	42.4	9.1	9.4	13.7	5.3
Año	1566.7	558.1	84.7	16.9	22.6	11.1

Estación de referencia: Hervás

Precipitación media mensual:  $y = 1.31x - 1.31$  r= 0.92

Precipitación máxima en 24 h.:  $y = 1.24x - 2.11$  r= 0.95

Nº de días de precipitación:  $y = 0.94x - 0.50$  r= 0.93

Temperatura media mensual:  $y = 0.98x + 2.9$  r= 0.99

Temperatura media de las máximas:  $y = 0.99x + 3.01$  r= 0.99

Temperatura media mínima:  $y = 0.99x + 2.81$  r= 0.99

CUADRO 47  
ESTACION NAVALMORAL DE LA MATA (1956-70)

Lat. 39° 54' N. Long. 1° 51' W. Alt. 291 m.

Mes	Precipitación		
	Total mm.	Máx. 24 h	Nº de días
Enero	104.1	27.8	10.3
Febr.	98.6	30.2	8.9
Marzo	88.6	33.4	8.7
Abril	66.9	23.6	6.7
Mayo	52.5	17.5	6.6
Junio	24.1	12.2	3.9
Julio	3.1	4.9	0.3
Agost.	1.0	2.4	0.3
Sept.	44.7	23.4	4.8
Oct.	90.5	25.8	7.2
Nov.	94.1	25.0	8.6
Dic.	81.8	23.4	8.2
Año	749.8	249.6	74.5

Estación de referencia: Tejeda de Tietar

Precipitación media mensual:  $y = 0.73 x - 3.34$  r= 0.89

Precipitación máxima en 24 h.:  $y = 0.72 x - 0.98$  r= 0.89

Nº de días de precipitación:  $y = 1.06 x - 0.67$  r= 0.95

**CUADRO 48**  
**ESTACION NUÑOMORAL "VEGAS DE CORIA" (1951-70)**

Lat. 40° 23' N. Long. 2° 30' W. Alt. 465 m.

Mes	Precipitación								
	Total mm.	Sn-1	c.v.	Máx. 24 h	Sn-1	c.v.	Nº de días	Sn-1	c.v.
Enero	146.1	110.2	75.4	43.4	33.4	76.9	9.1	5.8	63.7
Febr.	149.0	125.9	84.5	34.9	22.3	63.9	9.3	5.5	49.4
Marzo	153.8	94.1	61.2	41.1	24.6	59.9	10.0	4.4	43.8
Abrial	101.4	73.8	72.8	31.7	20.6	65.0	7.5	4.0	53.8
Mayo	74.9	53.8	71.7	23.9	12.7	53.0	6.4	4.1	63.4
Junio	35.4	29.2	82.6	14.9	10.7	71.7	3.7	2.4	64.5
Julio	5.5	9.4	169.0	3.7	5.2	140.1	1.0	1.4	141.4
Agost.	9.7	15.3	157.9	8.4	15.0	177.9	1.5	1.2	83.4
Sept.	62.8	52.0	82.8	34.1	28.8	84.5	4.2	2.8	66.1
Oct.	129.5	137.5	106.2	41.4	32.8	79.3	6.6	4.5	67.8
Nov.	182.2	134.5	73.8	61.0	37.3	61.1	9.2	5.2	56.4
Dic.	113.8	94.2	82.8	37.5	22.8	60.8	7.0	4.2	60.1
Año	1164.1			376.0			75.6		

Mes	Temperatura ° C.		
	Mensual	Media Máx.	Mín.
Enero	7	11.0	3.1
Febr.	8.3	12.6	4.2
Marzo	10.8	15.4	6.4
Abrial	13.2	18.2	7.9
Mayo	17.0	22.2	11.8
Junio	20.7	26.5	14.9
Julio	24.1	30.5	17.6
Agost.	24.0	29.8	18.0
Sept.	20.7	25.8	15.0
Oct.	15.4	19.6	10.5
Nov.	10.3	14.5	6.3
Dic.	7.6	11.8	3.6
Año	14.9	19.8	9.9

Estación de referencia: Hervás  
 Temperatura media mensual:  $y = 0.97x + 1.19$  r= 0.99  
 Temperatura media de las máximas:  $y = 0.88x + 2.15$  r= 0.99  
 Temperatura media mínima:  $y = 1.06x + 0.96$  r= 0.99

CUADRO 49

ESTACION PANTANO DE CIJARA

Lat. 39° 24' N. Long. 1° 19' W. Alt. 506 m.

Mes	Precipitación (1961-70)			Temperatura ° C. (1965-69)		
	Total mm.	Max. 24 h	Nº de días	Media		
				Mensual	Máx.	Mín.
Enero	94.0	26.1	8.7	7.9	12.1	4.1
Febr.	84.3	23.2	9.3	8.7	13.4	4.4
Marzo	72.0	24.2	9.1	11.4	16.9	6.3
Abril	52.5	17.1	6.9	14.1	20.5	8.1
Mayo	41.9	15.0	6.5	18.4	25.9	11.3
Junio	27.5	12.6	3.9	22.3	30.6	14.2
Julio	9.7	5.7	1.0	26.4	36.1	16.9
Agost.	14.5	7.6	1.6	25.6	35.3	16.4
Sept.	32.8	16.1	3.7	22.6	30.2	14.4
Oct.	69.3	21.6	8.3	17.3	23.1	11.0
Nov.	89.9	23.4	8.6	11.4	15.5	6.6
Dic.	90.8	23.2	9.3	8.5	12.3	4.5
Año	679.2	254.2	76.9	16.2	22.7	9.8

Estación de referencia: Guadalupe

Precipitación media mensual:  $y = 0.70x + 7.07$  r= 0.88

Precipitación máxima en 24 h.:  $y = 0.66x + 3.60$  r= 0.82

Nº de días de precipitación:  $y = 0.88x + 0.34$  r= 0.94

Temperatura media mensual:  $y = 0.98x + 1.68$  r= 0.99

Temperatura media de las máximas:  $y = 1.1x + 2.48$  r= 0.99

Temperatura media mínima:  $y = 0.80x + 0.94$  r= 0.98

CUADRO 50

ESTACION PANTANO GABRIEL Y GALAN (1962-70)

Lat. 40° 13' N. Long. 2° 27' W. Alt. 400 m.

Mes	Precipitación			Temperatura ° C.		
	Total mm.	Máx. 24 h	Nº de días	Media		
				Mensual	Máx.	Mín.
Enero	96.4	26.3	8.7	6.9	11.0	2.8
Febr.	96.9	25.4	9.3	8.4	13.0	4.1
Marzo	117.3	34.4	9.9	11.3	16.4	6.4
Abrial	70.3	20.0	8.1	14.0	19.8	8.0
Mayo	61.1	18.3	6.9	18.4	24.6	12.3
Junio	37.1	19.0	4.1	22.6	29.8	15.6
Julio	5.4	6.0	0.3	26.5	34.7	18.7
Agost.	7.8	7.5	0.7	26.3	33.8	19.0
Sept.	45.4	20.4	4.6	22.6	29.0	15.8
Oct.	76.7	25.2	7.5	16.5	21.5	10.9
Nov.	109.2	28.5	8.2	10.7	15.3	6.3
Dic.	92.4	23.2	8.6	7.6	12.0	3.4
Año	816.0	254.2	76.9	16.0	21.8	10.3

Estación de referencia: Hervás

Precipitación media mensual:  $y = 0.70x - 2.11$  r= 0.90

Precipitación máxima en 24 h.:  $y = 0.58x + 2.24$  r= 0.77

Nº de días de precipitación:  $y = 0.97x - 1.46$  r= 0.91

Temperatura media mensual:  $y = 1.11x + 0.27$  r= 0.99

Temperatura media de las máximas:  $y = 1.07x + 0.35$  r= 0.99

Temperatura media mínima:  $y = 1.16x + 0.48$  r= 0.99

CUADRO 51

ESTACION PINOFRANQUEADO

Lat. 40° 18' N. Long. 2° 39' W. Alt. 449 m.

Mes	Precipitación (1962-70)			Temperatura ° C. (1962-69)		
	Total mm.	Máx. 24 h	Nº de días	Media		
				Mensual	Máx.	Mín.
Enero	150.2	36.7	10.3	4.2	9.4	0.4
Febr.	151.1	35.3	11.0	5.7	11.5	1.4
Marzo	184.8	49.7	11.6	8.6	15.2	3.2
Abrial	106.8	26.6	9.6	11.4	18.8	4.4
Mayo	91.6	23.9	8.4	15.7	24.0	7.7
Junio	51.7	25.0	5.4	19.9	29.5	10.3
Julio	0	4.4	1.4	23.8	34.8	12.7
Agost.	3.0	6.7	1.8	23.7	33.9	12.9
Sept.	65.6	27.4	6.0	19.9	28.7	10.4
Oct.	117.5	34.9	6.9	13.8	20.7	6.6
Nov.	171.4	40.3	9.8	8.0	14.0	3.1
Dic.	143.5	31.7	10.2	4.9	10.4	0.8
Año	1237.2	342.6	94.5	13.3	20.9	6.2

Estación de referencia: Hervás

Precipitación media mensual:  $y = 1.16 x - 13.37$  r= 0.88

Precipitación máxima en 24 h.:  $y = 0.93 x - 1.66$  r= 0.88

Nº de días de precipitación:  $= 1.03 x - 0.41$  r= 0.94

Temperatura media mensual:  $y = 1.11 x - 2.41$  r= 0.99

Temperatura media de las máximas:  $y = 1.15 x - 2.07$  r= 0.99

Temperatura media mínima:  $y = 0.90 x - 1.42$  r= 0.97

CUADRO 52

ESTACION PIORNAL (1951-70)

Lat. 40° 07' N. Long. 2° 10' W. Alt. 1179 m.

Mes	Precipitación									
	Total mm.	Sn-1	c.v.	Máx. 24 h	Sn-1	c.v.	Nº de días	Sn-1	c.v.	
Enero	258.4	231.4	89.5	62.8	39.5	62.9	12.2	6.0	49.2	
Febr.	240.8	176.4	73.3	55.1	29.4	53.4	11.5	5.9	50.7	
Marzo	211.5	156.5	74.0	55.9	32.3	57.8	11.2	4.7	41.6	
Abril	136.7	107.5	78.6	44.4	22.8	51.3	9.4	4.9	51.6	
Mayo	109.4	76.2	69.6	35.6	21.3	59.8	8.8	4.7	53.5	
Junio	53.1	46.9	88.4	24.7	22.0	89.1	5.8	3.3	57.0	
Julio	11.2	20.6	183.1	6.2	7.7	124.0	1.7	1.7	100.4	
Agost.	19.7	21.0	106.6	12.8	12.8	99.6	1.8	1.5	86.4	
Sept.	77.3	47.3	61.2	34.4	22.1	64.4	5.8	3.4	57.8	
Oct.	250.1	311.8	124.7	67.6	70.7	104.4	9.8	4.8	48.5	
Nov.	265.9	205.0	77.1	69.3	45.4	65.5	11.3	5.1	45.0	
Dic.	192.6	159.6	82.8	56.3	42.6	75.5	9.5	4.7	49.3	
Año	1826.8			525.2			99.0			

CUADRO 53  
ESTACION PLASENCIA (1960-70)

Lat. 40° 02' N. Long. 2° 24' W. Alt. 322 m.

Mes	Precipitación		
	Total mm.	Máx. 24 h	Nº de días
Enero	110.8	26.9	11.0
Febr.	96.2	22.1	10.8
Marzo	93.1	23.4	10.4
Abril	68.2	21.4	8.2
Mayo	52.5	17.1	7.6
Junio	32.3	14.2	4.5
Julio	11.2	6.2	1.0
Agost.	15.1	8.4	1.6
Sept.	53.4	21.8	5.0
Oct.	96.0	27.2	9.4
Nov.	110.5	28.0	11.2
Dic.	93.2	22.9	10.0
Año	832.4	239.6	90.7

Estación de referencia: Casas de D. Gómez

Precipitación media mensual:  $y = 1 x + 9.43$   $r = 0.95$

Precipitación máxima en 24 h.:  $y = 0.69 x + 4.91$   $r = 0.86$

Nº de días de precipitación:  $y = 1.62 x + 0.81$   $r = 0.93$

CUADRO 54  
ESTACION PORTAJE (1951-65)

Lat. 39° 55' N. Long. 2° 52' W. Alt. 376 m.

Mes	Precipitación		
	Total mm.	Máx. 24 h	Nº de días
Enero	101.5	28.3	8.2
Febr.	88.9	27.3	8.8
Marzo	101.8	29.7	9.1
Abril	61.4	22.6	6.5
Mayo	51.8	20.7	6.0
Junio	32.9	18.2	3.9
Julio	0.8	1.6	0.9
Agost.	4.2	5.0	1.0
Sept.	43.2	26.1	3.6
Oct.	78.2	26.4	7.1
Nov.	90.0	27.5	8.7
Dic.	79.6	22.8	7.7
Año	734.3	256.2	71.5

Estación de referencia: Portezuelo

Precipitación media mensual:  $y = 1.25 x - 2.54$  r= 0.96

Precipitación máxima en 24 h.:  $y = 1.33 x + 0.96$  r= 0.84

Nº de días de precipitación:  $y = 0.89 x + 0.42$  r= 0.96

CUADRO 55

ESTACION PORTEZUELO (1951-70)

Lat. 39° 49' N. Long. 2° 47' W. Alt. 358 m.

Mes	Precipitación								
	Total mm.	Sn-1	c.v.	Máx. 24 h	Sn-1	c.v.	Nº de días	Sn-1	c.v.
Enero	83.3	71.2	85.5	22.0	13.3	60.6	8.7	4.8	55.1
Febr.	73.2	49.6	67.8	21.3	10.0	47.0	9.4	6.2	66.7
Marzo	83.5	40.6	48.6	23.1	10.3	44.8	9.7	3.6	37.5
Abril	51.2	42.3	82.6	17.7	11.9	66.9	6.8	3.4	49.6
Mayo	43.5	31.8	73.0	16.3	12.1	74.0	6.3	3.4	53.5
Junio	28.4	20.8	73.2	14.4	10.9	75.7	3.9	2.6	66.8
Julio	2.7	6.8	254.1	1.9	5.0	256.3	0.5	1.0	186.1
Agost.	5.4	9.4	172.7	4.5	7.4	166.4	0.6	0.8	133.3
Sept.	36.6	30.2	82.4	20.4	16.5	81.0	3.5	2.1	59.2
Oct.	64.6	48.3	74.7	20.6	13.0	63.1	7.5	4.7	62.7
Nov.	74.1	55.9	75.5	21.4	14.8	69.3	9.3	4.4	47.6
Dic.	65.8	54.5	82.8	17.9	9.4	52.5	8.1	4.6	56.4
Año	612.5		201.4				74.5		

CUADRO 56

ESTACION PRESA DE VALDEOBISPO (1963-70)

Lat. 40° 06' N. Long. 2° 34' W. Alt. 350 m.

Mes	Precipitación			Temperatura ° C.		
	Total mm.	Max. 24 h	Nº de días	Media		
				Mensual	Máx.	Mín.
Enero	95.2	26.1	10.1	6.6	11.0	2.2
Febr.	95.7	25.2	10.9	8.2	13.2	3.5
Marzo	115.5	34.6	11.5	11.4	17.1	5.9
Abril	69.8	19.5	9.4	14.4	21.0	7.5
Mayo	60.9	17.7	8.0	19.1	26.4	11.9
Junio	37.5	18.5	4.8	23.7	32.2	15.3
Julio	6.7	5.0	0.4	27.9	37.8	18.4
Agost.	9.0	6.5	0.8	27.8	36.8	18.8
Sept.	45.7	20.0	5.4	23.7	31.4	15.5
Oct.	76.1	24.9	8.7	17.0	22.9	10.5
Nov.	107.6	28.4	9.5	10.8	15.9	5.8
Dic.	91.3	22.8	10.0	7.4	12.1	2.8
Año	811.0	249.2	89.4	16.5	23.2	9.8

Estación de referencia: Hervás

Precipitación media mensual:  $y = 0.68x - 0.57$  r= 0.83

Precipitación máxima en 24 h.:  $y = 0.61x + 1.03$  r= 0.70

Nº de días de precipitación:  $y = 1.13x - 1.65$  r= 0.87

Temperatura media mensual:  $y = 1.21x - 0.63$  r= 0.99

Temperatura media de las máximas:  $y = 1.21x - 1.04$  r= 0.99

Temperatura media mínima:  $y = 1.18x - 0.16$  r= 0.99

CUADRO 57  
ESTACION RIOLOBOS (1951-70)

Lat. 39° 55' N. Long. 2° 37' W. Alt. 268 m.

Mes	Precipitación		
	Total mm.	Máx. 24 h	Nº de días
Enero	78.6	26.8	6.7
Febr.	68.0	21.6	6.6
Marzo	65.8	23.0	6.3
Abril	47.8	20.8	4.9
Mayo	36.4	16.0	4.5
Junio	21.7	12.7	2.5
Julio	6.4	3.8	0.2
Agost.	9.3	21.2	0.6
Sept.	37.0	27.2	2.8
Oct.	67.9	22.4	5.7
Nov.	78.4	28.2	6.8
Dic.	65.9	22.4	6.1
Año	583.3	246.1	53.7

Estación de referencia: Casas de D. Gómez

Precipitación media mensual:  $y = 0.73 x + 4.14$  r= 0.95

Precipitación máxima en 24 h.:  $y = 0.77 x + 2.38$  r= 0.94

Nº de días de precipitación:  $y = 1.05 x + 0.09$  r= 0.95

CUADRO 58  
ESTACION ROBLEDILLO DE TRUJILLO

Lat. 39° 26' N. Long. 2° 18' W. Alt. 497 m.

Mes	Precipitación (1951-70)								
	Total mm.	Sn-1	c.v.	Máx. 24 h	Sn-1	c.v.	Nº de días	Sn-1	c.v.
Enero	131.9	153.7	116.6	35.9	20.1	55.9	6.2	4.3	70.5
Febr.	93.2	60.3	64.7	32.5	15.1	46.4	6.8	4.5	66.6
Marzo	103.5	52.7	51.0	32.1	15.0	46.7	7.7	3.4	44.1
Abril	57.7	45.8	79.4	22.2	14.6	65.6	5.3	2.2	41.7
Mayo	50.6	39.2	77.5	19.3	10.5	54.2	4.6	2.9	62.8
Junio	27.3	22.6	82.6	15.0	11.6	76.8	2.9	1.8	59.2
Julio	2.4	5.0	206.2	1.9	3.9	204.7	0.5	0.6	118.3
Agost.	6.4	12.5	195.6	5.9	12.5	210.8	0.9	1.3	139.2
Sept.	33.8	25.7	76.0	17.4	14.2	81.9	3.4	2.3	67.3
Oct.	79.1	61.0	77.1	25.5	15.3	60.0	5.4	2.9	54.0
Nov.	105.1	69.3	66.0	32.1	16.3	50.7	7.1	3.4	47.1
Dic.	85.7	90.8	105.9	25.5	21.5	84.5	6.6	3.4	50.8
Año	776.6			265.5			57.5		

Mes	Temperatura ° C. (1959-70)		
	Mensual	Media Máx.	Mín.
Enero	7.9	11.1	4.6
Febr.	9.1	12.8	5.1
Marzo	12.2	16.8	7.3
Abril	15.1	20.6	9.4
Mayo	18.9	25.4	13.2
Junio	23.5	29.5	17.2
Julio	27.9	35.2	20.3
Agost.	27.1	33.6	19.9
Sept.	23.6	26.8	17.1
Oct.	17.4	21.9	12.3
Nov.	11.4	14.9	7.8
Dic.	8.1	11.4	4.3
Año	16.8	21.9	11.5

Estación de referencia: Trujillo  
 Temperatura media mensual:  $y = 1.0 x + 0.95$  r= 0.99  
 Temperatura media de las máximas:  $y = 0.99 x + 0.73$  r= 0.99  
 Temperatura media mínima:  $y = 1.01 x + 1.19$  r= 0.99

CUADRO 59  
ESTACION ROBLEDILLO DE LA VERA (1962-70)

Lat. 40º 06' N. Long. 1º 54' W. Alt. 480 m.

Mes	Precipitación		
	Total mm.	Máx. 24 h	Nº de días
Enero	191.0	43.9	11.5
Febr.	180.5	47.8	10.1
Marzo	161.4	53.0	7.2
Abril	120.1	37.0	7.7
Mayo	92.7	27.1	7.6
Junio	38.5	18.4	4.8
Julio	0	6.5	1.1
Agost.	0	2.5	1.1
Sept.	77.8	36.7	5.7
Oct.	165.0	40.6	8.3
Nov.	172.0	39.6	9.7
Dic.	148.4	36.6	9.3
Año	1347.5	389.4	84.1

Estación de referencia: Tejeda de Tietar

Precipitación media mensual:  $y = 1.40 x - 13.71$  r= 0.88

Precipitación máxima en 24 h.:  $y = 1.18 x - 3.04$  r= 0.94

Nº de días de precipitación:  $y = 1.11 x + 0.08$  r= 0.92

CUADRO 60

ESTACION ROMANGORDO (1951-70)

Lat. 39° 44' N. Long. 2° 01' W. Alt. 417 m.

Mes	Precipitación								
	Total mm.	Sn-1	c.v.	Máx. 24 h	Sn-1	c.v.	Nº de días	Sn-1	c.v.
Enero	88.4	88.1	99.6	23.6	14.5	61.6	7.9	5.2	65.4
Febr.	88.5	66.3	74.9	20.8	11.2	53.7	7.4	4.6	61.8
Marzo	83.4	58.5	70.1	22.3	14.8	66.6	7.9	3.9	49.4
Abril	46.0	34.6	75.1	15.9	10.9	68.6	5.3	3.2	60.9
Mayo	55.4	39.9	72.1	15.0	7.8	52.1	6.6	4.2	64.0
Junio	24.0	20.6	85.9	9.2	6.8	73.4	4.0	3.1	76.4
Julio	3.6	8.0	218.1	3.3	7.0	211.4	0.4	0.7	154.1
Agost.	5.1	6.5	128.2	4.1	5.1	123.5	0.8	0.9	117.8
Sept.	24.7	20.2	81.7	12.7	8.8	69.6	3.4	2.8	81.2
Oct.	47.3	39.4	83.3	16.2	11.8	72.9	4.7	3.8	80.5
Nov.	83.6	69.2	82.8	21.3	19.2	90.5	7.9	4.5	56.5
Dic.	74.0	73.5	99.2	19.0	11.9	62.7	6.6	4.0	61.1
Año	624.1			183.3			62.8		

CUADRO 61  
ESTACION SAN MARTIN DE TREVEJO (1951-59)

Lat. 40° 13' N. Long. 3° 06' W. Alt. 610 m.

Mes	Precipitación		
	Total mm.	Máx. 24 h	Nº de días
Enero	142.1	39.7	9.1
Febr.	142.9	38.3	9.8
Marzo	174.9	52.8	10.4
Abril	101.0	29.6	8.5
Mayo	86.6	26.9	7.3
Junio	48.8	28.0	4.4
Julio	0	7.0	0.4
Agost.	2.8	9.6	0.9
Sept.	62.0	30.3	4.9
Oct.	111.1	37.9	7.9
Nov.	162.1	43.3	8.6
Dic.	135.8	34.7	9.0
Año	1170.2	378.3	81.2

Estación de referencia: Hervás

Precipitación media mensual:  $y = 1.1 x - 12.70$  r= 0.96

Precipitación máxima en 24 h.:  $y = 0.94 x + 1.16$  r= 0.90

Nº de días de precipitación:  $y = 1.01 x - 1.36$  r= 0.94

CUADRO 62

ESTACION SANTA CRUZ DE PANIAGUA "EL BRONCO"

Lat. 40° 13' N. Long. 2° 38' W. Alt. 428 m.

Mes	Precipitación (1962-68)			Temperatura ° C. (1962-66)		
	Total mm.	Máx. 24 h	Nº de días	Media		
				Mensual	Máx.	Mín.
Enero	130.3	40.6	6.3	4.4	7.8	1.0
Febr.	131.0	39.1	6.9	5.8	10.0	2.2
Marzo	158.8	55.2	7.3	8.9	13.9	4.4
Abril	94.5	29.4	5.9	11.8	17.9	5.9
Mayo	82.0	26.4	5.0	16.5	26.8	9.9
Junio	49.1	27.7	2.9	21.0	29.4	13.0
Julio	5.7	4.6	0	25.1	35.0	15.9
Agost.	9.0	7.2	0.3	25.0	34.0	16.2
Sept.	60.6	30.3	3.2	21.0	28.5	13.2
Oct.	94.8	38.7	5.5	14.5	19.9	8.6
Nov.	167.8	44.7	6.0	8.3	12.7	4.2
Dic.	130.0	35.2	6.3	5.0	8.9	1.5
Año	1113.6	379.1	55.6	13.9	20.4	8.0

Estación de referencia: Hervás

Precipitación media mensual:  $y = 0.96x - 4.5$  r= 0.84

Precipitación máxima en 24 h.:  $y = 1.04x - 2.11$  r= 0.85

Nº de días de precipitación:  $y = 0.74x - 1.33$  r= 0.87

Temperatura media mensual:  $y = 1.19x - 2.85$  r= 0.97

Temperatura media de las máximas:  $y = 1.23x - 4.57$  r= 0.97

Temperatura media mínima:  $y = 1.09x - 1.19$  r= 0.95

CUADRO 63  
ESTACION SANTA CRUZ DE LA SIERRA (1952-69)

Lat. 39° 20' N. Long. 2° 10' W. Alt. 457 m.

Mes	Precipitación		
	Total mm.	Máx. 24 h	Nº de días
Enero	100.6	28.0	10.6
Febr.	105.7	29.3	9.6
Marzo	88.2	25.4	9.3
Abril	68.0	24.9	7.7
Mayo	62.0	24.2	7.2
Junio	31.5	18.5	4.2
Julio	0.3	2.4	0.6
Agost.	3.3	5.2	1.1
Sept.	46.9	24.1	4.4
Oct.	78.4	24.8	8.1
Nov.	103.6	30.1	9.0
Dic.	88.4	25.2	8.8
Año	777.0	262.1	80.6

Estación de referencia: Trujillo

Precipitación media mensual:  $y = 1.17 x - 3.77$  r= 0.98

Precipitación máxima en 24 h.:  $y = 1.15 x - 0.91$  r= 0.94

Nº de días de precipitación:  $y = 0.98 x + 0.03$  r= 0.97

CUADRO 64

ESTACION SANTIAGO DE ALCANTARA

Lat. 39° 36' N. Long. 3° 33' W. Alt. 360 m.

Mes	Precipitación (1964-70)			Temperatura ° C. (1966-70)		
	Total mm.	Máx. 24 h	Nº de días	Media		
				Mensual	Máx.	Mín.
Enero	71.2	22.1	10.0	8.8	14.1	4.0
Febr.	74.4	19.3	10.0	9.3	15.1	4.0
Marzo	77.1	18.3	9.7	11.9	18.4	6.1
Abril	41.2	14.9	6.8	14.6	22.1	7.9
Mayo	44.3	15.1	6.4	18.6	27.3	11.2
Junio	29.0	19.2	3.8	22.6	31.4	14.5
Julio	8.4	5.3	0.8	26.4	36.3	17.4
Agost.	10.9	5.9	1.1	25.8	36.0	17.0
Sept.	38.6	15.6	4.2	22.7	31.4	15.1
Oct.	54.8	18.8	7.9	17.8	25.1	11.5
Nov.	68.3	27.2	9.8	12.1	18.0	6.9
Dic.	71.8	18.8	9.1	8.7	14.0	3.0
Año	589.9	200.5	79.6	16.6	24.1	10.0

Estación de referencia: Cáceres

Precipitación media mensual:  $y = 1.05x + 4.58$  r= 0.76

Precipitación máxima en 24 h.:  $y = 1.08x + 1.61$  r= 0.81

Nº de días de precipitación:  $y = 0.92x + 0.18$  r= 0.93

Temperatura media mensual:  $y = 0.99x + 0.76$  r= 0.96

Temperatura media de las máximas:  $y = 1.06x + 1.98$  r= 0.99

Temperatura media mínima:  $y = 0.96x - 0.61$  r= 0.99

CUADRO 65

ESTACION SERRADILLA (1965-70)

Lat. 39° 50' N. Long. 2° 27' W. Alt. 400 m.

Mes	Precipitación			Temperatura ° C.		
	Total mm.	Máx. 24 h	Nº de días	Media		
				Mensual	Máx.	Mín.
Enero	103.5	30.7	10.5	7.9	12.4	3.3
Febr.	108.4	26.5	10.5	8.4	13.5	3.3
Marzo	112.6	25.1	10.1	11.4	17.2	5.8
Abril	57.2	19.9	7.2	14.5	21.4	7.9
Mayo	62.1	20.3	6.8	19.2	27.2	11.7
Junio	38.4	26.3	4.2	23.8	31.8	15.4
Julio	6.6	5.7	1.2	28.2	37.2	18.9
Agost.	10.5	7.6	1.5	27.5	36.9	18.4
Sept.	53.2	21.1	4.6	24.0	31.8	16.2
Oct.	78.2	25.9	8.4	18.3	24.7	12.0
Nov.	99.0	38.2	10.2	11.6	16.8	6.6
Dic.	104.3	25.9	9.6	7.8	12.3	3.2
Año	834.1	272.3	84.8	16.9	23.6	10.2

Estación de referencia: Cáceres

Precipitación media mensual:  $y = 1.61x + 0.82$  r= 0.83

Precipitación máxima en 24 h.:  $y = 1.60x + 0.26$  r= 0.87

Nº de días de precipitación:  $y = 0.92x + 0.18$  r= 0.93

Temperatura media mensual:  $y = 1.15x - 1.45$  r= 0.99

Temperatura media de las máximas:  $y = 1.19x - 1.07$  r= 0.99

Temperatura media mínima:  $y = 1.11x - 2.05$  r= 0.99

CUADRO 66  
ESTACION SERRADILLA "VILLARREAL DE SAN CARLOS (1954 63)

Lat. 39° 51' N. Long. 2° 20' W. Alt. 365 m.

Mes	Precipitación		
	Total mm.	Máx. 24 h	Nº de días
Enero	112.2	31.8	8.8
Febr.	118.0	27.4	8.8
Marzo	123.0	25.9	8.5
Abril	56.9	20.4	5.9
Mayo	62.7	20.7	5.5
Junio	34.4	27.2	3.3
Julio	0	5.2	0.6
Agost.	2.2	6.2	0.9
Sept.	66.5	21.6	4.6
Oct.	81.9	26.7	6.9
Nov.	106.8	39.9	8.5
Dic.	113.1	26.7	8.0
Año	877.6	279.7	69.3

Estación de referencia: Cáceres

Precipitación media mensual:  $y = 1.93 x - 10.51$  r= 0.95

Precipitación máxima en 24 h.:  $y = 1.71 x - 0.63$  r= 0.84

Nº de días de precipitación:  $y = 0.81 x - 0.30$  r= 0.97

CUADRO 67  
ESTACION TALAVAN (1963 70)

Lat. 39° 43' N. Long. 2° 36' W. Alt. 367 m.

Mes	Precipitación		
	Total mm.	Máx. 24 h	Nº de días
Enero	89.6	24.1	7.9
Febr.	94.1	24.5	7.4
Marzo	79.3	29.1	7.2
Abril	48.8	16.2	5.0
Mayo	43.8	15.1	4.5
Junio	24.9	14.5	2.2
Julio	3.3	5.2	0.1
Agost.	5.0	5.7	0.5
Sept.	29.2	15.2	2.5
Oct.	66.2	22.3	6.0
Nov.	91.5	27.0	7.1
Dic.	80.6	22.4	6.3
Año	656.5	215.3	56.7

Estación de referencia: Casar de Cáceres

Precipitación media mensual:  $y = 0.99 x - 0.01$   $r = 0.94$

Precipitación máxima en 24 h.:  $y = 0.70 x + 3.0$   $r = 0.81$

Nº de días de precipitación:  $y = 1.32 x - 0.28$   $r = 0.93$

CUADRO 68

ESTACION TALAYUELA "LA BARQUILLA" (1964-70)

Lat. 40° 04' N. Long. 1° 45' W. Alt. 300 m.

Mes	Precipitación			Temperatura ° C.		
	Total mm.	Máx. 24 h	Nº de días	Media		
				Mensual	Máx.	Mín.
Enero	155.8	33.7	9.0	7.8	12.6	2.6
Febr.	134.8	35.4	8.5	8.2	13.6	2.9
Marzo	114.3	32.2	8.1	10.6	16.9	4.5
Abril	78.1	25.2	6.8	13.9	20.6	7.2
Mayo	59.0	24.6	5.2	18.0	25.6	10.6
Junio	38.8	17.1	4.2	21.0	28.8	13.4
Julio	6.7	6.8	0.8	24.8	33.8	15.8
Agost.	9.7	8.7	1.0	24.7	34.0	15.4
Sept.	54.2	22.0	4.3	21.5	30.0	13.2
Oct.	86.4	28.3	5.8	16.7	24.0	9.5
Nov.	136.5	33.9	8.6	10.4	16.4	4.6
Dic.	119.2	33.4	7.1	7.0	12.4	1.7
Año	993.6	301.3	69.4	15.4	22.4	8.4

Estación de referencia: Pantano de Rosarito

Precipitación media mensual:  $y = 0.96x + 0.02$  r= 0.88

Precipitación máxima en 24 h.:  $y = 0.84x + 3.44$  r= 0.90

Nº de días de precipitación:  $y = 0.87x + 0.06$  r= 0.92

Temperatura media mensual:  $y = 0.88x + 0.67$  r= 0.99

Temperatura media de las máximas:  $y = 0.90x + 1.43$  r= 0.99

Temperatura media mínima:  $y = 0.85x - 0.16$  r= 0.99

CUADRO 69

ESTACION TALAYUELA "PULIDO DE MIRAMONTES"

Lat. 40° 03' N. Long. 1° 45' W. Alt. 280 m.

Mes	Precipitación (1965-69)			Temperatura ° C. (1965-70)		
	Total mm.	Máx. 24 h	Nº de días	Media		
				Mensual	Máx.	Mín.
Enero	159.2	36.7	9.3	9.1	13.8	4.2
Febr.	139.0	38.6	8.9	9.6	14.9	4.4
Marzo	119.3	35.1	8.4	12.1	18.4	6.0
Abrial	84.4	27.4	7.1	15.5	22.5	8.7
Mayo	66.0	26.7	5.4	19.9	27.9	12.1
Junio	46.5	18.5	4.5	23.2	31.4	14.9
Julio	15.6	7.1	1.0	27.1	36.9	17.4
Agost.	18.4	9.2	1.3	27.0	37.1	17.0
Sept.	61.4	23.9	4.6	23.6	32.6	14.7
Oct.	92.4	30.8	6.1	18.5	26.2	11.0
Nov.	140.7	37.0	8.9	11.9	17.9	6.1
Dic.	124.0	36.4	7.4	8.3	13.5	3.2
Año	1066.8	327.4	72.9	17.2	24.4	10.0

Estación de referencia: Pantano de Rosarito

Precipitación media mensual:  $y = 0.92 x + 11.06$  r= 0.79

Precipitación máxima en 24 h.:  $y = 0.93 x + 3.39$  r= 0.87

Nº de días de precipitación:  $y = 0.88 x + 0.29$  r= 0.85

Temperatura media mensual:  $y = 0.93 x + 1.59$  r= 0.98

Temperatura media de las máximas:  $y = 0.98 x + 1.51$  r= 0.98

Temperatura media mínima:  $y = 0.85 x + 1.37$  r= 0.98

CUADRO 70

ESTACION TEJEDA DE TIETAR (1951-70)

Lat. 40° 01' N. Long. 2° 11' W. Alt. 446 m.

Mes	Precipitación									
	Total mm.	Sn-1	c.v.	Máx. 24 h	Sn-1	c.v.	Nº de días	Sn-1	c.v.	
Enero	146.6	108.9	74.3	39.9	22.1	55.3	10.3	5.6	54.1	
Febr.	139.1	98.0	70.5	43.2	22.5	52.2	9.0	6.2	69.2	
Marzo	125.4	71.4	57.0	47.6	24.2	50.9	8.8	4.2	47.4	
Abril	95.8	64.9	67.7	34.0	22.5	66.1	6.9	3.1	44.4	
Mayo	76.2	50.5	66.3	25.6	11.8	46.2	6.8	3.3	47.8	
Junio	37.4	32.8	87.7	18.2	11.8	64.7	4.3	2.8	64.6	
Julio	8.8	18.9	214.5	8.1	18.6	230.1	0.9	1.7	179.5	
Agost.	5.9	6.6	112.2	4.7	5.6	118.5	0.9	1.0	105.4	
Sept.	65.5	41.6	63.6	33.8	22.8	67.5	5.1	2.7	52.9	
Oct.	128.0	98.9	77.3	37.1	21.6	58.2	7.4	4.4	58.8	
Nov.	133.0	98.2	73.8	36.0	16.8	46.8	8.7	4.7	54.1	
Dic.	116.1	93.2	80.3	33.7	21.7	64.3	8.3	4.3	51.7	
Año	1077.9			361.8			77.6			

CUADRO 71  
ESTACION TORNO (EL) (1962 70)

Lat. 40° 08' N. Long. 2° 15' W. Alt. 772 m.

Mes	Precipitación		
	Total mm.	Máx. 24 h	Nº de días
Enero	199.8	48.5	10.7
Febr.	183.1	44.8	13.0
Marzo	195.7	58.7	12.1
Abril	120.9	41.6	8.7
Mayo	108.3	34.2	8.4
Junio	53.9	26.8	5.7
Julio	8.7	8.4	1.4
Agost.	13.6	10.3	1.6
Sept.	79.0	38.4	6.5
Oct.	148.9	40.3	8.8
Nov.	208.5	52.3	12.2
Dic.	172.4	43.8	10.8
Año	1492.8	448.1	99.9

Estación de referencia: Barrado

Precipitación media mensual:  $y = 1.19 x - 2.19$  r= 0.92

Precipitación máxima en 24 h.:  $y = 1.19 x - 0.23$  r= 0.90

Nº de días de precipitación:  $y = 1.22 x - 0.18$  r= 0.96

CUADRO 72  
ESTACION TORREJONCILLO (1951 70)

Lat. 39º 59' N. Long. 2º 47' W. Alt. 315 m.

Mes	Precipitación		
	Total mm.	Máx. 24 h	Nº de días
Enero	76.2	18.4	6.8
Febr.	66.9	17.8	6.1
Marzo	76.4	19.2	4.5
Abril	46.6	15.0	3.2
Mayo	39.6	13.9	3.2
Junio	25.7	12.4	2.2
Julio	2.0	2.7	0.3
Agost.	4.5	4.7	0.4
Sept.	33.2	17.1	2.7
Oct.	59.0	17.3	5.8
Nov.	67.7	17.9	7.2
Dic.	60.1	15.2	6.3
Año	557.7	171.6	49.6

Estación de referencia: Portezuelo

Precipitación media mensual:  $y = 0.92 x - 0.46$   $r = 0.98$

Precipitación máxima en 24 h.:  $y = 0.78 x + 1.21$   $r = 0.96$

Nº de días de precipitación:  $y = 0.78 x - 0.03$   $r = 0.96$

CUADRO 73  
ESTACION TORREMENGA (1962 70)

Lat. 40° 03' N. Long. 2° 05' W. Alt. 528 m.

Mes	Precipitación		
	Total mm.	Máx. 24 h	Nº de días
Enero	168.7	39.1	9.2
Febr.	159.4	42.4	7.9
Marzo	142.4	46.8	7.8
Abril	105.8	33.2	5.9
Mayo	81.6	28.4	5.8
Junio	33.6	17.4	3.4
Julio	0	7.4	0.1
Agost.	0	4.0	0.1
Sept.	68.3	33.0	4.2
Oct.	145.6	36.3	6.4
Nov.	151.8	35.2	7.6
Dic.	130.9	32.9	7.3
Año	1188.2	356.1	65.7

Estación de referencia: Tejeda de Tietar

Precipitación media mensual:  $y = 1.24 x - 12.69$  r= 0.89

Precipitación máxima en 24 h.:  $y = 1.0 x - 0.74$  r= 0.94

Nº de días de precipitación:  $y = 0.97 x - 0.80$  r= 0.90

CUADRO 74

ESTACION TORREORGAZ (1951-70)

Lat. 39° 23' N. Long. 2° 34' W. Alt. 425 m.

Mes	Precipitación									
	Total mm.	Sn-1	c.v.	Máx. 24 h	Sn-1	c.v.	Nº de días	Sn-1	c.v.	
Enero	80.9	68.8	85.0	27.0	17.5	64.9	7.3	5.0	67.4	
Febr.	77.3	50.9	65.8	21.4	9.6	44.8	7.9	5.0	63.4	
Marzo	70.9	42.7	60.3	21.1	12.0	56.9	7.4	3.5	46.4	
Abril	44.9	47.8	106.5	16.7	14.7	88.1	5.4	3.0	55.1	
Mayo	45.6	42.9	94.0	23.2	33.7	145.1	4.4	3.6	81.2	
Junio	26.3	25.3	96.0	13.4	10.9	81.3	2.3	1.9	81.6	
Julio	4.0	7.8	196.3	3.3	6.1	187.2	0.4	0.7	192.9	
Agost.	5.7	8.4	147.8	5.0	7.8	156.0	0.6	0.8	140.1	
Sept.	29.6	21.4	72.4	17.1	11.7	68.7	2.5	1.6	62.3	
Oct.	56.3	48.9	86.9	21.1	14.5	68.4	5.4	3.9	71.2	
Nov.	79.5	70.2	88.3	25.8	20.6	79.9	7.6	4.2	55.0	
Dic.	65.5	60.5	92.4	20.6	15.2	73.9	6.7	3.7	55.5	
Año	586.6			215.6			58.1			

CUADRO 75  
ESTACION TRUJILLO (1951-70)

Lat. 39° 28' N. Long. 2° 12' W. Alt. 564 m.

Mes	Precipitación									
	Total mm.	Sn-1	c.v.	Máx. 24 h	Sn-1	c.v.	Nº de días	Sn-1	c.v.	
Enero	89.1	75.1	84.3	25.2	14.8	58.8	10.8	6.1	56.9	
Febr.	93.5	60.2	64.4	26.3	14.1	53.6	9.7	6.0	61.6	
Marzo	75.5	44.5	56.7	22.9	10.9	47.8	9.4	3.8	40.8	
Abrial	61.3	46.2	75.4	22.5	13.3	58.8	7.8	3.3	42.2	
Mayo	56.2	39.8	70.7	21.9	12.0	54.8	7.3	4.6	62.8	
Junio	30.1	22.5	74.8	16.9	12.1	71.6	4.2	4.6	62.8	
Julio	3.5	6.7	191.6	2.9	5.0	171.6	0.7	0.8	121.9	
Agost.	6.0	7.1	119.4	5.3	6.6	125.0	1.1	0.9	80.8	
Sept.	43.3	37.3	86.1	21.8	15.1	69.6	4.4	2.8	63.2	
Oct.	70.2	56.9	81.0	22.4	14.1	62.9	8.2	4.9	60.1	
Nov.	91.7	67.7	73.8	27.6	18.7	67.6	9.1	4.9	53.4	
Dic.	78.7	68.8	87.4	22.7	17.0	74.6	8.9	4.2	46.9	
Año	702.1			238.5			81.5			

Mes	Temperatura									
	Medias									
	Mensual	Sn-1	c.v.	Máx	Sn-1	c.v.	Mín.	Sn-1	c.v.	
Enero	6.9	1.6	23.4	10.5	1.2	11.8	3.4	2.2	65.2	
Febr.	8.0	1.8	22.9	12.2	2.5	16.4	3.9	2.1	52.3	
Marzo	11.2	1.6	14.2	16.3	2.3	14.1	6.1	1.4	22.4	
Abrial	14.1	1.0	7.2	20.1	1.4	7.0	8.1	1.0	12.2	
Mayo	17.9	3.3	18.4	25.0	2.5	10.1	11.9	1.6	13.6	
Junio	22.5	1.3	5.8	29.1	1.7	5.7	15.9	1.7	10.9	
Julio	26.9	1.2	4.4	34.9	1.4	3.9	18.9	1.7	9.0	
Agost.	26.1	1.2	4.5	33.2	2.7	8.1	18.5	1.2	6.8	
Sept.	22.6	1.8	7.9	29.2	2.3	7.8	15.8	1.3	11.0	
Oct.	16.4	1.7	10.4	21.4	2.2	10.5	11.5	1.6	14.1	
Nov.	10.4	1.4	13.4	14.3	1.5	10.5	6.6	1.8	26.8	
Dic.	7.1	1.5	20.9	10.8	1.4	12.5	3.1	1.8	55.6	
Año	15.8			21.4			10.3			

CUADRO 76

ESTACION VALENCIA DE ALCANTARA (1951-70)

Lat. 39° 25' N. Long. 3° 33' W. Alt. 465 m.

Mes	Precipitación			Temperatura ° C.		
	Total mm.	Máx. 24 h	Nº de días	Media		
				Mensual	Máx.	Mín.
Enero	83.7	25.1	11.4	7.7	11.0	4.5
Febr.	87.8	21.9	11.4	8.2	11.9	4.5
Marzo	91.4	20.8	11.0	10.8	15.1	6.7
Abril	44.2	16.9	7.6	13.5	18.6	8.6
Mayo	48.4	17.2	7.1	17.6	23.6	12.0
Junio	28.2	21.8	4.0	21.6	27.6	15.4
Julio	1.1	6.1	0.5	25.4	32.2	18.5
Agost.	4.4	6.8	0.9	24.8	31.9	18.1
Sept.	40.8	17.8	4.5	21.7	27.6	16.1
Oct.	62.1	21.4	8.9	16.8	21.5	12.3
Nov.	79.8	30.8	11.1	11.0	14.8	7.5
Dic.	84.4	21.4	10.4	7.6	10.9	4.4
Año	656.2	228.0	88.8	15.6	20.6	10.7

Estación de referencia: Cáceres

Precipitación media mensual:  $y = 1.37 x - 3.86$  r= 0.96

Precipitación máxima en 24 h.:  $y = 1.22 x + 1.96$  r= 0.86

Nº de días de precipitación:  $y = 1.09 x - 0.73$  r= 0.99

Temperatura media mensual:  $y = 0.99 x - 0.33$  r= 0.99

Temperatura media de las máximas:  $y = 1.01 x - 0.54$  r= 0.99

Temperatura media mínima:  $y = 1.0 x - 0.34$  r= 0.99

CUADRO 77

ESTACION VALVERDE DEL FRESNO (1951-70)

Lat. 40° 14' N. Long. 3° 12' W. Alt. 498 m.

Mes	Precipitación								
	Total mm.	Sn-1	c.v.	Máx. 24 h	Sn-1	c.v.	Nº de días	Sn-1	c.v.
Enero	170.8	136.0	79.7	46.3	24.0	51.8	8.8	5.6	63.6
Febr.	144.6	107.6	74.4	39.4	36.7	93.1	9.8	6.0	61.9
Marzo	150.7	88.9	59.0	42.4	21.7	51.2	9.8	5.0	50.5
Abril	86.0	56.8	66.0	32.3	15.4	47.4	7.3	3.7	51.2
Mayo	72.9	48.5	66.5	25.4	13.7	53.9	7.0	4.4	62.3
Junio	43.8	32.7	74.6	20.0	12.5	62.4	4.3	2.7	62.4
Julio	5.6	10.1	180.2	4.7	8.2	173.4	0.6	1.0	156.0
Agost.	14.0	21.8	155.5	9.6	13.6	142.9	1.3	1.4	111.7
Sept.	55.1	39.2	71.1	31.6	22.4	71.0	3.9	2.4	60.6
Oct.	121.9	95.7	78.5	41.1	27.2	66.3	6.4	3.9	59.9
Nov.	192.9	117.6	61.0	58.5	36.6	62.6	9.6	4.3	44.7
Dic.	128.1	90.4	70.6	39.7	20.9	52.6	7.3	4.1	56.1
Año	1186.5			391.2			76.2		

CUADRO 78  
ESTACION VILLA DEL REY (1962 70)

Lat. 39° 40' N. Long. 3° 08' W. Alt. 336 m.

Mes	Precipitación		
	Total mm.	Máx. 24 h	Nº de días
Enero	79.3	23.1	9.2
Febr.	83.2	23.6	8.6
Marzo	70.3	22.1	8.4
Abril	43.7	14.7	5.7
Mayo	39.4	13.5	5.1
Junio	22.9	12.9	2.4
Julio	9.1	2.9	0
Agost.	5.5	3.4	0.4
Sept.	26.7	13.6	0.7
Oct.	58.9	21.2	7.0
Nov.	81.0	26.3	8.3
Dic.	71.4	21.3	7.3
Año	586.4	198.6	65.1

Estación de referencia: Casar de Cáceres

Precipitación media mensual:  $y = 0.86 x + 1.20$  r= 0.91

Precipitación máxima en 24 h.:  $y = 0.75 x + 0.57$  r= 0.81

Nº de días de precipitación:  $y = 1.59 x - 0.60$  r= 0.96

CUADRO 79

ESTACION VILLAMIEL

Lat. 40° 11' N. Long. 3° 06' W. Alt. 733 m.

Mes	Precipitación (1951-70)			Temperatura ° C. (1952-70)		
	Total mm.	Máx. 24 h	Nº de días	Media		
				Mensual	Máx.	Mín.
Enero	140.3	39.7	9.9	6.7	10.0	3.4
Febr.	141.0	38.3	10.6	7.9	11.6	4.4
Marzo	170.9	52.8	11.2	10.3	14.5	6.3
Abril	101.8	29.6	9.3	12.5	17.4	7.6
Mayo	88.3	27.0	8.0	16.1	21.4	11.0
Junio	52.9	28.1	5.1	19.6	25.8	13.7
Julio	6.3	7.4	1.2	22.8	30.0	16.1
Agost.	9.8	9.7	1.6	22.7	29.2	16.4
Sept.	65.3	30.4	5.6	19.6	25.2	13.8
Oct.	111.2	37.9	8.7	14.6	18.8	9.9
Nov.	159.0	43.3	9.4	9.8	13.4	6.0
Dic.	134.3	34.8	9.8	7.2	10.8	3.9
Año	1181.1	379.0	90.4	14.2	19.0	9.4

Estación de referencia: Hervás

Precipitación media mensual:  $y = 1.03 x - 4.71$  r= 0.95

Precipitación máxima en 24 h.:  $y = 0.93 x + 1.34$  r= 0.91

Nº de días de precipitación:  $y = 1.01 x - 0.63$  r= 0.91

Temperatura media mensual:  $y = 0.92 x + 1.19$  r= 0.99

Temperatura media de las máximas:  $y = 0.90 x + 0.92$  r= 0.99

Temperatura media mínima:  $y = 0.93 x + 1.53$  r= 0.99

CUADRO 80  
ESTACION VILLANUEVA DE LA SIERRA

Lat. 40° 12' N. Long. 2° 43' W. Alt. 534 m.

Mes	Precipitación (1951-70)								
	Total mm.	Sn-1	c.v.	Máx. 24 h	Sn-1	c.v.	Nº de días	Sn-1	c.v.
Enero	147.5	101.3	68.7	37.7	17.9	37.6	9.6	5.6	58.1
Febr.	137.6	101.9	74.0	34.0	16.5	48.5	9.1	5.7	61.7
Marzo	131.2	92.0	70.1	39.8	26.3	66.0	9.1	4.4	48.0
Abril	83.2	53.0	63.7	25.6	13.4	52.2	7.4	3.5	47.4
Mayo	58.7	42.6	72.6	23.7	11.9	50.3	6.1	3.7	60.8
Junio	32.2	32.2	100.0	15.1	15.7	104.2	3.4	2.8	82.8
Julio	5.2	10.4	200.7	3.6	6.0	166.4	0.8	1.5	173.4
Agost.	7.6	10.6	138.9	5.4	7.0	128.4	0.9	1.0	105.4
Sept.	62.7	37.7	60.2	32.1	21.2	66.0	3.9	2.7	68.0
Oct.	101.4	82.5	51.3	33.6	22.9	68.2	7.1	5.3	75.7
Nov.	147.2	104.9	71.3	45.9	31.4	68.4	9.0	4.1	45.7
Dic.	125.8	97.1	77.2	34.6	20.2	58.3	7.9	4.2	53.5
Año	1040.4			331.0			74.5		

Mes	Temperatura ° C. (1964-70)		
	Media Mensual	Máx.	Mín.
Enero	7.8	12.0	3.4
Febr.	9.2	13.9	4.7
Marzo	11.9	17.3	6.9
Abril	14.6	20.6	8.4
Mayo	18.8	25.3	12.5
Junio	22.9	30.3	15.7
Julio	26.6	35.1	18.5
Agost.	26.5	34.3	18.9
Sept.	22.9	29.6	15.8
Oct.	17.0	22.3	11.2
Nov.	11.4	16.2	6.8
Dic.	8.4	13.0	4.0
Año	16.5	22.5	10.6

Estación de referencia: Hervás  
 Temperatura media mensual:  $y = 1.07x + 1.32$  r= 0.99  
 Temperatura media de las máximas:  $y = 1.04x + 1.60$  r= 0.99  
 Temperatura media mínima:  $y = 1.10x + 1.27$  r= 0.99

CUADRO 81  
ESTACION VILLANUEVA DE LA VERA (1963-70)

Lat. 40° 08' N. Long. 1° 46' W. Alt. 498 m.

Mes	Precipitación		
	Total mm.	Máx. 24 h	Nº de días
Enero	198.8	44.9	8.8
Febr.	187.7	48.7	7.7
Marzo	167.5	53.9	7.5
Abril	123.8	38.0	5.9
Mayo	94.9	28.1	5.8
Junio	37.7	19.5	3.6
Julio	0	7.7	0.7
Agost.	0	3.7	0.7
Sept.	79.1	37.7	4.3
Oct.	171.3	41.6	6.3
Nov.	178.7	40.3	7.4
Dic.	153.8	37.6	7.1
Año	1393.3	401.7	65.8

Estación de referencia: Tejeda de Tietar

Precipitación media mensual:  $y = 1.48 x - 17.47$  r= 0.94

Precipitación máxima en 24 h.:  $y = 1.17 x - 1.81$  r= 0.82

Nº de días de precipitación:  $y = 0.86 x - 0.07$  r= 0.89

CUADRO 82

ESTACION VILLAR DEL PEDROSO (1951-70)

Lat. 39° 42' N. Long. 1° 31' W. Alt. 497 m.

Mes	Precipitación								
	Total mm.	Sn-1	c.v.	Máx. 24 h	Sn-1	c.v.	Nº de días	Sn-1	c.v.
Enero	61.3	61.3	100.0	19.5	12.2	62.2	7.9	6.0	75.9
Febr.	67.2	40.3	60.0	23.6	13.6	57.6	8.4	5.2	62.1
Marzo	48.3	34.2	70.8	16.9	8.5	50.4	7.5	3.0	40.6
Abril	44.7	36.3	81.3	18.0	12.6	70.2	6.1	3.0	48.4
Mayo	35.0	18.4	52.7	17.2	8.3	48.4	5.3	2.6	48.5
Junio	23.0	22.8	98.9	12.7	11.2	88.2	3.1	2.1	66.8
Julio	1.6	2.6	167.2	1.4	2.4	165.9	0.4	0.7	160.1
Agost.	8.4	13.8	163.6	6.8	9.7	143.6	0.9	1.1	116.0
Sept.	39.0	25.0	64.2	18.7	11.6	62.0	4.3	2.7	63.4
Oct.	50.8	41.9	82.4	19.0	14.5	76.6	5.8	3.5	59.7
Nov.	59.9	43.0	71.8	18.8	16.3	86.7	8.3	4.2	50.4
Dic.	53.9	49.5	91.8	18.0	11.7	65.3	6.4	3.7	58.1
Año	493.0			190.4			64.5		

CUADRO 83  
ESTACION ZARZA DE GRANADILLA (1955-69)

Lat. 40° 14' N. Long. 2° 22' W. Alt. 399 m.

Mes	Precipitación		
	Total mm.	Máx. 24 h	Nº de días
Enero	93.7	27.1	9.1
Febr.	94.1	26.2	9.7
Marzo	112.6	34.9	10.3
Abril	69.9	21.1	8.5
Mayo	61.6	19.5	7.4
Junio	39.7	20.1	4.5
Julio	10.9	7.8	1.0
Agost.	13.0	9.2	1.4
Sept.	47.3	21.5	5.1
Oct.	75.8	26.0	7.9
Nov.	105.3	29.2	8.6
Dic.	90.0	24.1	9.0
Año	813.9	266.7	82.5

Estación de referencia: Hervás

Precipitación media mensual:  $y = 0.64 x + 4.06$  r= 0.95

Precipitación máxima en 24 h.:  $y = 0.56 x + 4.15$  r= 0.92

Nº de días de precipitación:  $y = 0.94 x - 0.66$  r= 0.96

**CUADRO 84**  
**ESTACION PANTANO DE ROSARITO (1953-70)**

Lat. 40° 06' N. Long. 1° 38' W. Alt. 300 m.

Mes	Precipitación								
	Total mm.	Sn-1	c.v.	Máx. 24 h	Sn-1	c.v.	Nº de días	Sn-1	c.v.
Enero	160.5	126.4	78.7	36.0	19.6	54.4	10.3	6.3	61.6
Febr.	138.6	98.7	71.2	38.0	18.9	49.8	9.8	5.4	55.5
Marzo	117.2	74.2	63.3	34.2	17.7	51.8	9.3	4.9	52.5
Abrial	79.4	60.8	76.6	25.9	17.2	66.4	7.8	3.8	48.6
Mayo	59.5	39.8	66.8	25.2	15.6	62.1	5.9	3.7	63.1
Junio	38.4	29.4	76.7	16.3	7.7	47.4	4.8	2.5	53.6
Julio	4.9	8.0	162.4	4.0	7.2	178.1	0.8	0.8	110.6
Agost.	8.0	10.8	135.3	6.3	8.6	136.7	1.1	1.3	112.8
Sept.	54.5	48.5	88.9	22.1	18.6	84.0	4.9	2.9	60.2
Oct.	88.1	84.0	95.4	29.6	22.1	74.7	6.6	4.9	74.8
Nov.	140.4	110.6	79.8	36.3	21.5	59.0	9.8	5.1	52.5
Dic.	122.3	101.8	83.2	35.6	21.7	60.8	8.1	4.6	56.4
Año	1011.8			309.6			79.0		

Mes	Temperatura								
	Medias								
	Mensual	Sn-1	c.v.	Máx	Sn-1	c.v.	Mín.	Sn-1	c.v.
Enero	8.1	1.6	19.9	12.5	2.0	15.6	3.3	2.6	78.4
Febr.	8.6	2.3	23.0	13.6	2.9	21.4	3.6	2.4	65.1
Marzo	11.3	2.4	20.9	17.2	3.7	21.7	5.5	1.7	30.6
Abrial	15.0	1.3	8.9	21.4	2.4	11.0	8.6	1.1	13.0
Mayo	19.7	2.4	12.4	26.9	3.4	12.5	12.6	1.7	13.4
Junio	23.2	2.1	9.2	30.5	3.0	10.0	15.9	1.7	10.5
Julio	27.4	1.9	7.0	36.1	3.0	8.3	18.8	1.1	6.0
Agost.	27.3	1.7	6.4	36.3	2.8	7.7	18.3	1.2	6.6
Sept.	23.7	2.5	10.5	31.7	3.4	10.9	15.7	2.0	12.5
Oct.	18.2	1.5	8.3	25.2	2.6	10.2	11.3	1.9	16.6
Nov.	11.1	1.2	11.1	16.7	1.9	11.1	5.6	1.9	33.7
Dic.	7.2	2.0	28.6	12.2	3.1	25.4	2.2	1.9	84.8
Año	16.7			23.4			10.1		

CUADRO 85  
ESTACION ALDEA DEL CANO (1956-70)

Lat. 39° 17'N. Long. 2. 38'W. Alt. 392.

Mes	Precipitación		
	Total mm.	Máx. 24 h.	Nº de días
Enero	70.3	19.8	5.6
Febr.	67.4	17.2	5.8
Marzo	67.1	18.3	6.0
Abril	43.7	13.5	4.6
Mayo	31.5	10.4	3.4
Junio	16.8	8.2	2.3
Julio	0	0	0
Agost.	2.3	2.4	0
Sept.	19.2	9.2	2.1
Oct.	49.7	14.9	4.3
Nov.	66.3	20.4	6.2
Dic.	57.9	16.4	5.4
	492.2	150.7	45.7

Estación de referencia: Alcuescar.

Precipitación media mensual:  $y = 0.80 x - 3.52$  r= 0.96

Precipitación máxima en 24 h.:  $y = 0.85 x - 3.25$  r= 0.97

Nº de días de precipitación:  $y = 0.69 x - 0.57$  r= 0.96

**PROVINCIA DE BADAJOZ**

CUADRO 1

ESTACION ACEDERA (1951-70)

Lat. 39° 4' N. Long. 1° 53' W. Alt. 314 m.

Mes	Precipitación								
	Total mm.	Sn-1	c.v.	Máx. 24 h	Sn-1	c.v.	Nº de días	Sn-1	c.v.
Enero	71.5	49.8	69.7	23.4	15.3	65.4	8.0	5.1	63.6
Febr.	74.2	67.4	91.1	18.6	11.4	61.4	7.6	4.8	62.7
Marzo	78.4	47.8	60.9	22.1	11.8	53.6	8.1	3.9	47.6
Abril	44.1	47.3	107.1	17	15.4	90.3	5.6	3.2	55.3
Mayo	41.4	35.2	85.2	16.5	11.6	70.5	4.3	2.8	65.4
Junio	25.9	19.3	74.4	16.1	13.0	80.4	3.0	1.7	54.8
Julio	1.2	4.7	386.1	0.8	2.9	360	0.3	0.6	215.4
Agost.	4.3	6.7	155.0	3.5	5.0	144	0.8	0.8	95.3
Sept.	33.3	28.8	86.6	15.9	11.5	72.4	3.2	1.9	60.3
Oct.	59.0	48.4	82.0	22.3	16.4	73.4	5.8	3.6	62.8
Nov.	70.1	56.0	79.9	25.1	14.8	59.2	6.8	4.0	59.6
Dic.	75.0	68.2	91.0	21.3	14.9	69.9	7.7	4.2	54.7
Año	578.4			202.5			61.2		

CUADRO 2  
ESTACION ACEUCHAL (1965-70)

Lat. 38° 39' N. Long. 2° 48' W. Alt. 313 m.

Mes	Precipitación			Temperatura ° C.		
	Total mm.	Máx. 24 h	Nº de días	Media		
				Mensual	Máx.	Mín.
Enero	57.5	24.7	8.6	7.8	12.1	3.5
Febr.	69.4	22.0	8.8	9.9	13.5	4.2
Marzo	59.3	24.6	9.0	11.2	16.5	6.2
Abril	42.2	19.0	7.1	14.0	19.8	8.5
Mayo	31.1	18.3	4.9	18.4	25.0	12.1
Junio	24.1	15.4	3.2	22.9	29.6	15.9
Julio	1.9	5.1	0.6	27.1	34.7	19.4
Agost.	2.7	6.5	0.8	26.6	34.1	19.2
Sept.	23.3	14.9	2.9	23.2	29.5	16.9
Oct.	47.5	24.0	6.4	18.0	24.0	12.0
Nov.	65.7	25.8	8.5	11.2	15.6	7.1
Dic.	63.3	29.5	7.7	7.7	12.2	3.5
Año	488.0	229.8	68.5	16.5	22.2	10.7

Estación de referencia: Villalba de los Barros

Precipitación media mensual:  $y = 1.05x - 3.16$  r= 0.82

Precipitación máxima en 24 h.:  $y = 0.62x - 0.15$  r= 0.68

Nº de días de precipitación:  $y = 1.04x + 0.28$  r= 0.95

Estación de referencia: Zafra

Temperatura media mensual:  $y = 1.09x - 0.81$  r= 0.99

Temperatura media de las máximas:  $y = 1.04x - 0.08$  r= 0.99

Temperatura media mínima:  $y = 1.20x - 1.15$  r= 0.99

CUADRO 3

ESTACION ALANGE (1951-70)

Lat. 38° 47' N. Long. 2° 34' W. Alt. 322 m.

Mes	Precipitación								
	Total mm.	Sn-1	c.v.	Máx. 24 h	Sn-1	c.v.	Nº de días	Sn-1	c.v.
Enero	64.4	55.3	85.9	21.2	15.6	73.8	7.6	4.9	63.9
Febr.	64.6	50.8	78.7	18.3	11.3	61.8	7.8	4.8	61.2
Marzo	64.3	39.2	60.8	17.9	8.0	44.8	8.5	3.7	43.6
Abril	43.2	31.7	73.3	14.3	9.3	65.0	6.0	2.5	41.6
Mayo	32.6	26.0	79.6	13.3	9.1	68.5	4.6	2.9	62.6
Junio	22.0	21.6	98.2	13.0	13.1	101.2	3.0	2.2	73.2
Julio	2.7	5.7	210.4	2.7	5.4	197.1	0.4	0.7	191.4
Agost.	6.5	13.4	206.5	6.5	13.3	206.2	0.6	0.7	103.1
Sept.	31.9	31.4	98.5	18.6	17.5	94.3	2.6	2.2	81.5
Oct.	55.2	41.1	74.4	18	11.2	62	6.1	3.6	58.5
Nov.	74.2	49.9	67.2	25.3	14.5	57.3	7.4	3.7	50.3
Dic.	60	59.2	98.7	17.3	12.2	70.3	6.8	4.1	60.2
Año	521.6			187.0			61.5		

**CUADRO 4**  
**ESTACION ALBURQUERQUE (1951-70)**

Lat. 39° 12' N. Long. 3° 19' W. Alt. 335 m.

Mes	Precipitación									
	Total mm.	Sn-1	c.v.	Máx. 24 h	Sn-1	c.v.	Nº de días	Sn-1	c.v.	
Enero	99.7	82.2	82.4	26.0	15.1	58.0	10.2	6.1	59.5	
Febr.	83.6	59.6	71.3	21.6	11.2	52.1	13.4	15.9	118.2	
Marzo	79.1	44.7	56.6	25.4	12.6	49.8	10.0	3.9	39.2	
Abril	44.7	37.4	83.7	16.8	10.5	62.6	6.8	3.7	54.4	
Mayo	42.8	32.8	76.7	15.5	12.5	80.6	6.8	3.5	52.4	
Junio	23.1	24.2	104.8	12.3	14.8	120.1	3.6	2.1	58.0	
Julio	3.2	7.2	225.6	2.7	6.6	239.4	0.5	0.9	178.0	
Agost.	6.0	12.6	210.7	5.1	11.1	217.6	1.0	1.0	100	
Sept.	25.6	23.4	91.4	15.7	15.7	100.3	3.2	2.2	68.6	
Oct.	69.4	62.3	89.7	22.8	18.3	80.4	7.2	4.3	60.7	
Nov.	91.1	75.6	63.2	25.3	10.6	41.7	9.4	5.0	53.0	
Dic.	71.0	62.8	88.4	18.7	11.3	60.6	8.2	4.8	58.1	
Año	635.7			207.9			80.2			

Mes	Temperatura									
	Medias									
	Mensual	Sn-1	c.v.	Máx	Sn-1	c.v.	Mín.	Sn-1	c.v.	
Enero	7.2	1.2	16.1	10.2	1.2	11.7	4.3	1.4	33.8	
Febr.	7.8	1.4	18.2	11.3	1.5	13.4	4.4	1.5	34.7	
Marzo	10.5	1.5	13.9	14.4	1.8	12.3	6.6	1.4	20.8	
Abril	13.3	1.0	7.9	18.2	1.7	9.1	8.4	1.0	12.2	
Mayo	17.4	2.1	12.1	22.9	2.6	11.3	12.0	2.0	16.6	
Junio	21.6	1.2	5.4	27.6	1.7	6.1	15.6	1.2	7.5	
Julio	25.0	1.1	4.2	31.8	1.6	5.0	18.3	1.7	9.4	
Agost.	24.6	1.4	5.7	31.1	2.0	6.3	18.0	1.9	10.4	
Sept.	21.0	1.7	8.0	26.4	2.2	8.4	15.6	1.6	10.1	
Oct.	16.1	1.6	9.9	20.1	2.1	10.3	12.0	1.4	11.7	
Nov.	10.6	1.4	13.6	14.0	1.5	10.5	7.2	1.6	22.1	
Dic.	7.2	1.5	21.4	10.4	1.5	14.7	4.0	1.7	4.3	
Año	15.2			19.9			10.5			

CUADRO 5  
ESTACION ALCONCHEL (1963-70)

Lat. 38° 31' N. Long. 3° 23' W. Alt. 296 m.

Mes	Precipitación		
	Total mm.	Máx. 24 h	Nº de días
Enero	89.0	24.7	11.5
Febr.	89.4	22.0	11.2
Marzo	92.9	24.6	11.2
Abril	55.2	19.0	7.8
Mayo	44.2	18.3	5.5
Junio	30.3	15.4	3.8
Julio	3.6	5.1	0.1
Agost.	9.2	6.5	1.6
Sept.	25.3	14.9	3.6
Oct.	73.1	24.0	7.6
Nov.	86.8	25.8	11.2
Dic.	98.1	29.5	10.0
Año	697.0	229.8	85.1

Estación de referencia: Barcarrota

Precipitación media mensual:  $y = 0.97 x + 3.19$  r= 0.88

Precipitación máxima en 24 h.:  $y = 0.79 x + 3.48$  r= 0.85

Nº de días de precipitación:  $y = 1.69 x + 0.05$  r= 0.96

CUADRO 6

ESTACION ALMENDRALEJO

Lat. 38° 41' N. Long. 2° 43' W. Alt. 336 m.

Mes	Precipitación (1951-68)			Temperatura ° C. (1954-61)		
	Total mm.	Máx. 24 h	Nº de días -	Media		
				Mensual	Máx.	Mín.
Enero	52.9	17.6	9.3	9.0	13.5	4.4
Febr.	62.7	19.8	9.5	10.0	14.8	5.0
Marzo	54.4	17.4	9.8	12.2	17.7	6.9
Abril	40.1	14.5	7.8	14.9	20.9	9.0
Mayo	30.8	13.8	5.4	18.9	25.9	12.3
Junio	25.0	13.1	3.6	23.2	30.3	15.9
Julio	6.7	5.5	0.9	27.1	35.2	19.1
Agost.	7.3	5.8	1.1	26.7	34.6	18.9
Sept.	24.4	13.7	3.4	23.4	31.3	16.8
Oct.	44.5	15.6	7.0	18.6	25.0	12.2
Nov.	59.6	21.7	9.2	12.2	16.8	7.7
Dic.	57.7	17.3	8.4	9.0	13.6	4.4
Año	465.8	175.8	75.6	17.1	23.3	11.1

Estación de referencia: Villalba de los Barros

Precipitación media mensual:  $y = 0.87x + 2.37$   $r = 0.97$

Precipitación máxima en 24 h.:  $y = 0.86x + 1.39$   $r = 0.91$

Nº de días de precipitación:  $y = 1.10x + 0.55$   $r = 0.99$

Estación de referencia: Zafra

Temperatura media mensual:  $y = 1.08x + 0.92$   $r = 0.99$

Temperatura media de las máximas:  $y = 1.0x + 1.72$   $r = 0.99$

Temperatura media mínima:  $y = 1.10x + 0.12$   $r = 0.99$

CUADRO 7  
ESTACION ARROYO DE SAN SERVAN (1951-63)

Lat. 38° 51' N. Long. 2° 48' W. Alt. 224 m.

Mes	Precipitación		
	Total mm.	Máx. 24 h	Nº de días
Enero	67.7	18.7	11.0
Febr.	58.7	18.1	8.4
Marzo	53.8	20.0	5.6
Abril	37.2	13.9	6.7
Mayo	34.7	18.5	6.4
Junio	24.0	14.1	3.4
Julio	5.3	5.3	1.1
Agost.	6.6	5.6	1.3
Sept.	38.8	18.3	3.7
Oct.	50.4	18.5	7.1
Nov.	58.5	18.0	8.6
Dic.	52.8	16.9	6.5
Año	488.5	185.9	72.3

Estación de referencia: La Garrovilla

Precipitación media mensual:  $y = 1.05 x + 1.96$  r= 0.89

Precipitación máxima en 24 h.:  $y = 1.12 x + 1.08$  r= 0.81

Nº de días de precipitación:  $y = 1.25 x + 0.56$  r= 0.90

CUADRO 8  
ESTACION AZUAGA (1962-70)

Lat. 38° 15' N. Long. 1° 59' W. Alt. 593 m.

Mes	Precipitación		
	Total mm.	Máx. 24 h	Nº de días
Enero	70.2	23.5	8.7
Febr.	72.3	19.0	9.2
Marzo	75.2	21.9	8.8
Abril	52.4	19.0	6.9
Mayo	41.9	15.5	6.2
Junio	35.1	17.9	3.2
Julio	6.7	3.1	0.8
Agost.	7.9	4.8	1.1
Sept.	30.9	18.1	2.7
Oct.	68.2	25.0	6.2
Nov.	76.5	26.5	8.1
Dic.	74.3	22.5	7.1
Año	611.4	216.8	69.0

Estación de referencia: Granja de Torrehermosa

Precipitación media mensual:  $y = 0.94 x + 5.76$  r= 0.88

Precipitación máxima en 24 h.:  $y = 0.84 x + 2.79$  r= 0.88

Nº de días de precipitación:  $y = 0.91 x + 0.60$  r= 0.98

**CUADRO 9**  
ESTACION BADAJOZ (1951-70)

Lat. 38° 52' N. Long. 3° 17' W. Alt. 196 m.

Mes	Precipitación									
	Total mm.	Sn-1	c.v.	Máx. 24 h	Sn-1	c.v.	Nº de días	Sn-1	c.v.	
Enero	71.0	60.5	85.1	21.3	12.8	60.1	10.8	6.6	61.2	
Febr.	73.3	46.0	62.9	19.9	9.4	47.5	11.0	5.7	51.9	
Marzo	68.0	42.2	62.1	22.4	14.9	60.5	11	4.4	39.5	
Abrial	37.6	30.0	79.7	13.8	10.2	74.4	7.3	3.2	44.4	
Mayo	31.6	22.6	71.7	15.1	8.9	63.3	6.3	3.5	56.1	
Junio	22.3	25.1	112.5	13.6	16.4	121.0	3.6	2.0	53.7	
Julio	3.3	5.4	164.8	2.8	4.3	152.1	0.7	0.8	115.3	
Agost.	5.4	9.9	183.5	4.5	8.3	185.5	0.9	1.2	134.8	
Sept.	25.6	23.1	90.2	14.9	13.6	91.0	3.8	2.2	56.7	
Oct.	60.2	44.2	73.5	22.1	15.4	69.6	7.8	4.7	60.4	
Nov.	75.2	56.4	75.0	25.5	19.2	75.1	10.4	4.4	42.6	
Dic.	60.9	55.5	91.2	20.2	15.7	77.7	10.0	4.6	46.0	
Año	534.3			195.1			83.6			

Mes	Temperatura								
	Medias								
	Mensual	Sn-1	c.v.	Máx	Sn-1	c.v.	Mín.	Sn-1	c.v.
Enero	9.2	1.6	16.8	13.4	1.0	7.1	5.0	2.4	47.6
Febr.	10	1.4	14.2	14.6	1.4	9.9	5.4	1.7	31.4
Marzo	12.6	1.0	7.6	17.4	1.5	8.5	7.6	1.1	14.5
Abrial	15.1	0.9	6.0	20.8	1.4	6.5	9.3	0.7	7.5
Mayo	19.0	1.7	8.8	25.5	2.4	9.3	12.5	1.0	8.4
Junio	22.7	1.0	4.3	30.0	1.8	6.0	15.7	0.8	5.2
Julio	25.8	1.0	3.9	33.9	1.1	3.3	17.8	1.0	5.7
Agost.	25.3	1.1	4.2	33.0	1.3	4.0	17.6	1.0	5.4
Sept.	22.4	2.0	8.7	29.0	3.0	10.2	16.1	1.4	8.4
Oct.	18.1	1.3	7.1	23.6	2.1	8.7	12.7	1.1	8.8
Nov.	12.6	1.5	11.6	17.1	1.6	9.5	8.1	1.8	22.5
Dic.	9.1	1.4	15.2	13.2	1.0	7.4	5.1	2.2	43.4
Año	16.8			22.6			11.1		

CUADRO 10

ESTACION BADAJOZ "TALAVERA LA REAL" (1955-70)

Lat. 38° 53' N. Long. 3° 05' W. Alt. 190 m.

Mes	Temperatura								
	Medias								
	Mensual	Sn-1	c.v.	Máx.	Sn-1	c.v.	Mín.	Sn-1	c.v.
Enero	8.8	1.4	16.6	13.7	9.0	66.1	3.8	2.4	63.9
Febr.	9.6	1.6	16.4	14.6	1.6	10.8	4.6	2.0	42.6
Marzo	12.0	0.8	6.8	17.4	1.3	7.6	6.6	1.4	20.4
Abril	14.4	0.8	5.9	20.9	1.4	6.8	8.0	0.9	11.0
Mayo	18.5	1.4	7.7	25.5	2.4	9.3	11.2	1.0	8.7
Junio	22.2	1.0	4.4	30	1.5	5.0	14.5	0.7	4.9
Julio	25.3	1.0	4.0	34.1	1.1	3.2	16.4	1.1	6.7
Agost.	24.8	0.9	3.7	33.3	1.2	3.5	16.2	0.8	5.2
Sept.	21.5	2.1	9.6	29.4	2.1	7.1	14.6	1.2	8.5
Oct.	17.4	1.2	71.2	23.6	2.1	9.0	11.2	1.4	12.5
Nov.	11.8	1.5	12.8	17.0	1.6	9.2	6.6	2.0	30.4
Dic.	8.0	1.5	18.8	12.8	0.7	5.4	3.1	2.6	8.4
Año	16.2			22.7			9.7		

CUADRO 11

ESTACION BARCARROTA (1952-70)

Lat. 38° 31' N. Long. 3° 10' W. Alt. 467 m.

Mes	Precipitación								
	Total mm.	Sn-1	c.v.	Máx. 24 h	Sn-1	c.v.	Nº de días	Sn-1	c.v.
Enero	88.3	72.0	81.5	27.0	14.1	52.4	6.8	5.6	81.9
Febr.	88.7	70.8	79.8	23.5	11.3	47.9	6.6	5.0	75.7
Marzo	92.3	62.0	67.1	26.9	16.3	60.6	6.6	3.7	55.4
Abril	53.5	36.1	67.6	19.7	11.6	58.8	4.6	2.5	55.5
Mayo	42.2	37.8	98.8	18.8	13.9	74.0	3.2	2.7	84.1
Junio	27.9	28.5	102.2	15.2	13.3	87.7	2.2	1.7	77.8
Julio	0.4	1.8	431.0	2.0	4.1	200	0	0.2	460.0
Agost.	6.2	13.4	216.5	3.9	6.0	155.3	0.9	2.5	279.8
Sept.	22.7	22.2	97.5	14.5	12.1	82.9	2.1	1.9	89.5
Oct.	72.0	63.5	88.3	26.1	14.3	54.8	4.5	3.3	72.9
Nov.	86	51.9	60.4	28.4	13.0	45.9	6.6	4.3	65.0
Dic.	97.6	74.1	75.9	33.1	15.2	46.1	5.9	3.7	62.1
Año	677.7			239.0			50.1		

CUADRO 12  
ESTACION BATERNO (1951-70)

Lat. 38° 57' N. Long. 1° 13' W. Alt. 561 m.

Mes	Precipitación		
	Total mm.	Máx. 24 h	Nº de días
Enero	75.1	27.0	6.3
Febr.	90.8	26.3	6.9
Marzo	91.7	29.0	7.2
Abril	56.0	22.4	5.3
Mayo	44.0	16.8	5.0
Junio	27.0	14.4	2.7
Julio	7.8	6.3	0.1
Agost.	6.0	6.1	0
Sept.	30.5	16.5	2.5
Oct.	61.1	23.5	4.4
Nov.	87.9	29.0	6.5
Dic.	86.6	33.7	5.6
Año	663.5	251.0	52.6

Estación de referencia: Tamurejo

Precipitación media mensual:  $y = 0.97 x - 2.95$  r= 0.88

Precipitación máxima en 24 h.:  $y = 1.26 x - 4.47$  r= 0.78

Nº de días de precipitación:  $y = 0.90 x - 0.42$  r= 0.95

CUADRO 13

ESTACION BENQUERENCIA DE LA SERENA (1951-70)

Lat. 38° 42' N. Long. 1° 49' W. Alt. 714 m.

Mes	Precipitación								
	Total mm.	Sn-1	c.v.	Máx. 24 h	Sn-1	c.v.	Nº de días	Sn-1	c.v.
Enero	59.4	47.4	79.7	20.1	11.2	55.8	6.2	5.2	82.6
Febr.	59.8	41.8	69.8	21.7	14.1	64.9	6.3	4.9	77.6
Marzo	59.6	44.5	74.6	19.0	11.5	60.4	6.2	4.1	65.0
Abril	52.1	38.9	65.0	19.5	13.3	68.3	5.2	2.6	49.4
Mayo	46.2	37.2	80.3	22.6	13.9	61.5	4.6	3.6	78.3
Junio	32.8	29.6	90.4	24.3	24.9	102.7	2.2	1.8	78.7
Julio	10.0	21.9	219.7	7.2	11.9	166.2	0.5	0.8	152
Agost.	4.5	7.1	155.5	5.4	7.1	130.3	0.4	0.6	133.3
Sept.	32.1	23.1	71.9	16.3	13.1	80.5	2.5	2.0	78.3
Oct.	50.0	44.5	88.9	17.8	12.1	68.0	4.3	2.6	62.0
Nov.	66.1	39.5	59.8	26.2	18.1	69.0	5.6	3.0	53.6
Dic.	58.7	55.3	94.2	22.4	14.4	64.2	5.1	2.9	57.2
Año	531.4			222.5			49.4		

CUADRO 14

ESTACION BERLANGA (1957-70)

Lat. 38° 17' N. Long. 2° 09' W. Alt. 573 m.

Mes	Precipitación			Temperatura ° C.		
	Total mm.	Máx. 24 h	Nº de días	Media		
				Mensual	Máx.	Mín.
Enero	64.5	21.6	7.2	6.5	10.3	2.6
Febr.	65.4	18.5	7.6	6.9	11.3	2.5
Marzo	73.1	22.3	9.0	9.7	14.6	4.8
Abrial	45.3	21.2	6.6	12.4	18.2	6.5
Mayo	37.2	14.2	5.2	16.9	23.7	10.3
Junio	26.6	14.5	2.7	20.8	28.3	13.5
Julio	6.0	4.7	0.5	25.0	33.3	16.8
Agost.	3.7	3.6	0.6	24.5	32.5	16.7
Sept.	27.6	14.6	2.4	21.0	27.7	14.4
Oct.	55.4	19.8	6.5	15.2	20.2	10.2
Nov.	69.0	23.5	7.1	9.7	14.3	5.6
Dic.	68.8	21.2	7.2	6.7	10.6	2.7
Año	543.5	199.9	62.5	14.6	20.4	8.9

Estación de referencia: Valverde de Llerena

Precipitación media mensual:  $y = 0.86 x + 1.36$  r= 0.97

Precipitación máxima en 24 h.:  $y = 0.71 x + 1.76$  r= 0.90

Nº de días de precipitación:  $y = 1.08 x + 0.02$  r= 0.98

Estación de referencia: Cabeza la Vaca

Temperatura media mensual:  $y = 1.01 x + 0.02$  r= 0.99

Temperatura media de las máximas:  $y = 1.01 - 0.74$  r= 0.99

Temperatura media mínima:  $y = 1.03 x + 0.48$  r= 0.99

CUADRO 15  
ESTACION BIENVENIDA (1955-70)

Lat. 38° 18' N. Long. 2° 31' W. Alt. 606 m.

Mes	Precipitación		
	Total mm.	Máx. 24 h	Nº de días
Enero	73.2	20.3	7.6
Febr.	76.2	21.4	7.8
Marzo	75.2	23.4	8.3
Abril	43.2	16.8	5.4
Mayo	33.4	13.4	4.6
Junio	32.6	17.6	2.5
Julio	0.8	3.3	0.3
Agost.	3.6	3.3	0.5
Sept.	21.4	14.2	2.1
Oct.	58.4	22.2	5.2
Nov.	77.5	24.2	7.0
Dic.	69.3	19.6	7.0
Año	567.7	199.6	58.2

Estación de referencia: Usagre

Precipitación media mensual:  $y= 0.76 x - 2.20$  r= 0.95

Precipitación máxima en 24 h.:  $y= 0.88 x + 0.11$  r= 0.93

Nº de días de precipitación:  $y= 0.70 x - 0.16$  r= 0.97

CUADRO 16  
ESTACION BURGUILLOS DEL CERRO (1963-70)

Lat. 38° 22' N. Long. 2° 56' W. Alt. 423 m.

Mes	Precipitación		
	Total mm.	Máx. 24 h	Nº de días
Enero	79.2	20.2	7.6
Febr.	81.1	17.2	6.8
Marzo	82.8	20.6	7.6
Abril	51.5	14.9	5.8
Mayo	33.9	11.0	4.7
Junio	27.2	12.9	2.6
Julio	0.4	0.8	0.4
Agost.	4.8	3.5	0.6
Sept.	17.8	13.0	2.2
Oct.	64.7	17.9	5.2
Nov.	101.3	28.4	8.0
Dic.	88.1	21.8	7.2
Año	632.8	182.3	58.5

Estación de referencia: Zafra

Precipitación media mensual:  $y = 0.03 x - 3.16$  r= 0.88

Precipitación máxima en 24 h.:  $y = 0.96 x - 2.31$  r= 0.90

Nº de días de precipitación:  $y = 0.78 x - 0.17$  r= 0.91

CUADRO 17  
ESTACION CABEZA DE BUEY (1951-70)

Lat. 38° 43' N. Long. 1° 32' W. Alt. 550 m.

Mes	Precipitación		
	Total mm.	Máx. 24 h	Nº de días
Enero	61.4	20.4	8.1
Febr.	64.0	19.1	7.5
Marzo	61.4	19.7	8.4
Abrial	48.2	15.3	6.3
Mayo	34.8	16.6	4.8
Junio	31.2	17.3	3.5
Julio	7.4	7.1	1.1
Agost.	7.6	7.7	1.1
Sept.	29.4	16.6	3.5
Oct.	55.7	19.3	6.3
Nov.	62.6	22.1	7.7
Dic.	73.3	21.2	7.4
Año	536.9	202.5	65.6

Estación de referencia: Helechal

Precipitación media mensual:  $y = 0.90 x + 4.42$  r= 0.98

Precipitación máxima en 24 h.:  $y = 0.68 x + 5.28$  r= 0.95

Nº de días de precipitación:  $y = 0.98 x + 0.82$  r= 0.98

CUADRO 18  
ESTACION CABEZA LA VACA (1951-70)

Lat. 38° 05' N. Long. 2° 44' W. Alt. 759 m.

Mes	Precipitación								
	Total mm.	Sn-1	c.v.	Máx. 24 h	Sn-1	c.v.	Nº de días	Sn-1	c.v.
Enero	127.6	97.9	76.7	36.7	24.0	65.4	9.6	5.3	54.8
Febr.	121.9	85.1	69.8	32.7	16.8	51.4	10.6	6.3	59.6
Marzo	130.7	76.0	58.2	38.4	22.0	57.2	10.9	4.4	40.3
Abril	67.6	53.1	78.6	25.0	20.0	79.9	7.8	3.4	43.1
Mayo	51.4	38.0	73.9	18.8	12.1	64.6	5.9	3.5	59.0
Junio	33.6	33.4	99.3	17.3	14.4	83.5	3.5	2.2	63.1
Julio	5.5	11.8	213.6	3.8	7.9	206.8	0.6	1.0	152.3
Agost.	4.0	6.2	153.7	3.3	5.2	158.5	0.8	1.1	128.2
Sept.	39.6	37.1	93.6	18.4	18.9	102.5	3.8	2.3	60.5
Oct.	93.1	80.3	86.3	30.8	18.5	60.2	3.8	4.2	59.2
Nov.	125.9	70.4	55.9	33.9	15.6	46.0	9.8	3.9	39.7
Dic.	124.8	113.2	90.7	37.1	23.2	62.6	8.3	4.7	56.4
Año	925.8			296.0			79.4		

Mes	Temperatura								
	Medias								
	Mensual	Sn-1	c.v.	Máx	Sn-1	c.v.	Mín.	Sn-1	c.v.
Enero	6.4	1.5	23.3	9.6	1.3	13.3	3.3	1.8	54.7
Febr.	6.8	2.0	29.0	10.5	2.1	19.6	3.2	2.0	63.4
Marzo	9.6	1.5	15.9	13.7	1.8	13.4	5.4	1.3	23.5
Abril	12.2	1.2	9.7	17.2	1.4	8.3	7.2	1.1	15.4
Mayo	16.7	2.2	13.4	22.6	2.7	11.9	10.9	1.9	17.2
Junio	20.5	1.3	6.4	27.0	1.5	5.5	14.1	1.4	9.7
Julio	24.6	1.2	5.0	31.9	1.0	3.2	17.4	1.6	9.0
Agost.	24.2	1.4	6.0	31.1	1.4	4.4	17.3	1.6	9.4
Sept.	20.7	1.7	8.4	26.5	1.9	7.2	15.0	1.8	11.8
Oct.	15.0	2.0	13.2	19.2	2.4	12.3	10.9	1.8	17.0
Nov.	9.6	1.6	16.2	13.4	2.0	15.0	6.2	1.6	26.2
Dic.	6.6	1.4	20.7	9.8	1.4	13.9	3.4	1.5	43.4
Año	14.4			19.4			9.5		

CUADRO 19  
ESTACION CALAMONTE (1951-70)

Lat. 38° 53' N. Long. 2° 42' W. Alt. 277 m.

Mes	Precipitación		
	Total mm.	Máx. 24 h	Nº de días
Enero	65.2	18.5	7.6
Febr.	67.4	19.4	6.9
Marzo	67.2	18.4	6.8
Abril	40.0	15.4	5.0
Mayo	35.4	14.8	4.1
Junio	23.4	14.1	2.0
Julio	1.4	1.7	0.2
Agost.	5.3	5.8	0.4
Sept.	28.6	16.2	2.4
Oct.	55.7	18.3	5.4
Nov.	73.6	25.1	6.7
Dic.	65.6	17.4	6.6
Año	528.8	185.1	54.0

Estación de referencia: Mérida

Precipitación media mensual:  $y = 1.02 x - 1.38$  r= 0.99

Precipitación máxima en 24 h.:  $y = 1.05 x - 0.63$  r= 0.97

Nº de días de precipitación:  $y = 0.74 x - 0.26$  r= 0.99

CUADRO 20

ESTACION CAMPANARIO (1951-70)

Lat. 38° 52' N. Long. 1° 50' W. Alt. 398 m.

Mes	Precipitación								
	Total mm.	Sn-1	c.v.	Máx. 24 h	Sn-1	c.v.	Nº de días	Sn-1	c.v.
Enero	62.4	50.9	81.6	18.7	10.6	56.8	6.7	4.0	60.3
Febr.	59.2	46.4	78.4	15.8	9.4	59.6	7.4	4.7	63.4
Marzo	62.1	38.0	61.1	18.6	10.4	55.9	7.4	3.7	49.9
Abrial	41.6	28.6	68.8	15.3	9.6	62.8	5.2	2.5	47.7
Mayo	33.8	27.0	79.8	15.2	9.2	60.5	4.3	3.1	72.1
Junio	23	16.1	70.2	14.7	10.0	68.0	2.7	1.6	58.9
Julio	20.4	4.3	21.1	2.2	4.2	190.1	0.4	0.7	191.4
Agost.	4.9	9.1	186.1	5.6	9.2	166.1	0.5	0.5	102.2
Sept.	22.2	18.5	83.2	14.8	13.2	89.1	2.2	1.6	73.2
Oct.	48.1	38.5	80.0	16.4	10.4	63.1	5.4	3.6	66.4
Nov.	66.8	47.8	71.6	23.2	13.4	57.9	6.6	3.4	50.8
Dic.	60.1	50.3	83.6	19.8	12.7	64.1	6.2	3.9	63.4
Año	504.6			180.2			54.9		

CUADRO 21

ESTACION CAPILLA (1951-70)

Lat. 38° 49' N. Long. 1° 24' W. Alt. 558 m.

Mes	Precipitación								
	Total mm.	Sn-1	c.v.	Máx. 24 h	Sn-1	c.v.	Nº de días	Sn-1	c.v.
Enero	94.3	91.5	97.1	36.3	35.8	98.6	5.9	4.2	71.3
Febr.	79.9	81.5	102.0	28.2	24.8	88.1	5.6	4.6	81.6
Marzo	83	66.2	79.8	41.6	35.5	85.3	5	2.9	58.8
Abril	48.5	48.0	99.1	23.5	23.0	98.1	4.2	2.7	64.1
Mayo	53.8	61.1	113.6	25.3	28.8	113.8	3.8	2.9	76.6
Junio	36.1	37.4	103.5	18.7	18.8	100.5	2.5	1.9	76.9
Julio	7.1	20.5	290.0	6.8	20.6	301.0	0.5	0.7	138
Agost.	5.1	11.8	232.4	4.9	11.7	239.4	0.5	0.6	129.8
Sept.	29.9	32.5	108.9	14.9	14.6	97.5	2.5	2.3	94.7
Oct.	77.2	85.0	110.2	34.2	30.9	90.3	4.2	3.1	74.8
Nov.	73.0	66.4	91.8	29.7	26.4	88.7	5.4	2.9	53.7
Dic.	93.9	110.8	118.0	40.4	45.6	112.9	5.2	2.9	55.9
Año	681.6			304.6			45.2		

CUADRO 22

ESTACION CASAS DE DON PEDRO (1951-70)

Lat. 38° 06' N. Long. 1° 39' W. Alt. 385 m.

Mes	Precipitación								
	Total mm.	Sn-1	c.v.	Máx. 24 h	Sn-1	c.v.	Nº de días	Sn-1	c.v.
Enero	79.6	63.5	79.7	24.7	14.9	60.2	8.2	4.8	58.7
Febr.	84.4	65.2	77.2	20.4	8.7	42.6	8.4	5.1	60.2
Marzo	81.6	48.6	59.5	23.0	11.2	48.6	9.0	3.8	42.2
Abril	55.3	44.0	79.6	19.9	13.0	65.7	5.7	3.1	54.0
Mayo	40.2	31.2	77.7	15.2	9.1	59.8	5.0	2.8	56.2
Junio	28.0	19.1	68.3	18.2	12.2	67.2	3	1.6	52.0
Julio	2.7	10.2	380.6	2.5	9.3	375.8	0.2	0.5	260
Agost.	8.0	12.4	154.9	7.2	12.2	170.6	0.8	0.9	112.2
Sept.	34.0	26.9	79.2	19.5	17.3	88.7	3.2	2.2	67.8
Oct.	73.0	80.1	109.6	19.1	17.3	90.8	6.4	4.6	71.0
Nov.	76.8	49.0	63.8	25.5	13.1	51.4	7.4	3.7	50
Dic.	79.0	68.1	86.2	22.0	13.2	59.8	8.2	4.4	53.3
Año	642.7			217.1			65.6		

CUADRO 23

ESTACION CASAS DE REINA (1951-70)

Lat. 38° 12' N. Long. 2° 17' W. Alt. 635 m.

Mes	Precipitación								
	Total mm.	Sn-1	c.v.	Máx. 24 h	Sn-1	c.v.	Nº de días	Sn-1	c.v.
Enero	88.9	73.3	82.4	24.2	15.6	64.6	10.3	5.4	52.6
Febr.	82.2	54.8	66.6	23.0	10.1	43.9	10.3	5.8	56.3
Marzo	95.2	51.9	54.6	28.3	16.7	58.9	10.2	4.0	38.8
Abril	62.3	51.5	82.6	19.4	15.4	79.0	7.2	3.2	44.6
Mayo	40.8	31.2	76.4	14.6	8.6	58.9	6.3	3.9	62.1
Junio	38.9	32.7	84.0	20.6	18.3	88.8	4.3	2.0	46.5
Julio	5	11.4	228.6	4.0	8.2	208.1	0.6	0.9	135.4
Agost.	3.2	4.9	153.8	3.0	4.4	146.0	0.6	0.8	124.6
Sept.	31.4	25.2	80.4	19.0	16.1	84.8	3.5	2.3	65.1
Oct.	73.2	60.5	82.6	27.7	19.4	70.2	7.9	4.2	53.7
Nov.	86.4	56.0	64.8	26.9	16.5	61.4	9.9	4.1	41.7
Dic.	87.0	71.9	82.7	24.8	13.1	52.8	9.4	5.1	54.2
Año	694.4			235.5			80.7		

CUADRO 24  
ESTACION CASTUERA (1951-70)

Lat. 38° 43' N. Long. 1° 51' W. Alt. 512 m.

Mes	Precipitación		
	Total mm.	Máx. 24 h	Nº de días
Enero	57.3	17.2	6.5
Febr.	45.3	17.8	5.7
Marzo	57.4	20.4	6.9
Abril	41.8	16.0	5.3
Mayo	34.2	18.0	4.2
Junio	25.2	13.8	2.4
Julio	4.8	5.6	0
Agost.	3.5	3.8	0.1
Sept.	24.4	13.7	2.7
Oct.	42.5	15.6	4.4
Nov.	52.9	20.5	5.6
Dic.	53.1	18.7	5.7
Año	442.4	181.0	49.3

Estación de referencia: Quintana de la Serena

Precipitación media mensual:  $y = 0.97x - 0.09$  r= 0.91

Precipitación máxima en 24 h.:  $y = 1.05x - 0.32$  r= 0.87

Nº de días de precipitación:  $y = 1.03x - 0.54$  r= 0.97

CUADRO 25  
ESTACION CORDOBILLA DE LACARA (1963-70)

Lat. 39° 09' N. Long. 2° 45' W. Alt. 301 m.

Mes	Precipitación		
	Total mm.	Máx. 24 h	Nº de días
Enero	103.5	25.8	10.5
Febr.	97.1	21.9	9.6
Marzo	100.9	28.0	10.2
Abril	56.8	19.5	6.4
Mayo	51.8	18.3	6.3
Junio	20.6	12.9	2.8
Julio	4.2	5.6	0.6
Agost.	6.8	6.8	1.0
Sept.	27.4	15.3	3.2
Oct.	72.8	23.2	7.7
Nov.	90.8	25.8	8.9
Dic.	85.0	25.4	8.9
Año	717.6	228.6	76.2

Estación de referencia: La Roca de la Sierra

Precipitación media mensual:  $y = 1.09 x + 0.98$   $r = 0.86$

Precipitación máxima en 24 h.:  $y = 0.83 x + 3.60$   $r = 0.82$

Nº de días de precipitación:  $y = 1.22 x + 0.19$   $r = 0.92$

CUADRO 26

ESTACION CORTE DE PELEAS (1951-70)

Lat. 38° 43' N. Long. 2° 59' W. Alt. 250 m.

Mes	Precipitación								
	Total mm.	Sn-1	c.v.	Máx. 24 h	Sn-1	c.v.	Nº de días	Sn-1	c.v.
Enero	56.0	41.7	74.5	21.9	11.1	50.7	4.7	3.0	64.0
Febr.	72.4	50.8	70.2	24.4	11.0	45.2	5.6	3.8	68.7
Marzo	61.1	34.2	56.0	21.0	10.3	49.0	5.8	3.2	55.1
Abril	37.9	27.6	72.7	16.7	11.1	66.4	3.5	2.2	62.5
Mayo	27.6	21.8	79.1	13.4	9.2	68.6	2.6	2.1	82.7
Junio	23.6	22.5	95.0	16.5	14.1	85.4	1.9	1.4	72.1
Julio	2.7	5.5	206.0	1.6	4.4	268.5	0.2	0.4	176
Agost.	2.4	4.8	195.9	2.1	4.4	211.6	0.2	0.4	183.3
Sept.	30.6	28.5	93.2	18.3	17.5	96.0	2.2	1.6	73.4
Oct.	60.7	56.7	93.4	20.0	12.7	63.2	4	3.1	78.2
Nov.	61.7	35.0	56.8	24.3	11.6	47.6	5.2	2.7	51.8
Dic.	66.6	66.5	99.8	25.2	14.4	57.0	4.2	3.0	70.4
Año	503.4			205.5			40.1		

CUADRO 27  
ESTACION CHELES (1963-70)

Lat. 38° 31' N. Long. 3° 36' W. Alt. 197 m.

Mes	Precipitación		
	Total mm.	Máx. 24 h	Nº de días
Enero	81.5	23.6	10.4
Febr.	81.8	20.2	10.2
Marzo	84.9	22.6	10.2
Abril	51.1	17.5	7.1
Mayo	41.3	16.9	5.1
Junio	28.9	14.3	3.6
Julio	5.0	5.1	0.4
Agost.	10.0	6.4	1.6
Sept.	24.4	13.9	3.4
Oct.	67.2	22.0	7.0
Nov.	79.5	23.6	10.2
Dic.	89.6	26.9	9.1
Año	645.2	212.9	78.3

Estación de referencia: Barcarrota

Precipitación media mensual:  $y = 0.87 x + 4.63$  r= 0.84

Precipitación máxima en 24 h.:  $y = 0.70 x + 3.64$  r= 0.83

Nº de días de precipitación:  $y = 1.50 x + 0.28$  r= 0.95

CUADRO 28

ESTACION DON ALVARO

Lat. 38° 51' N. Long. 2° 35' W. Alt. 254 m.

Mes	Precipitación (1951-70)			Temperatura ° C.(1967-70)		
	Total mm.	Máx. 24 h	Nº de días	Media		
				Mensual	Máx.	Mín.
Enero	49.1	14.7	6.4	8.6	12.6	4.1
Febr.	46.6	14.8	6.4	9.4	13.8	4.6
Marzo	48.4	14.3	7.1	12.2	17.0	7.2
Abril	33.3	12.3	5.4	14.9	20.7	9.1
Mayo	27.3	11.8	4.0	19.1	25.8	12.8
Junio	18.9	11.5	2.6	23.1	30.7	16.4
Julio	6.6	7.3	0.1	26.4	35.0	18.8
Agost.	9.2	8.3	0.5	25.8	34.0	18.6
Sept.	22.9	11.9	2.7	22.8	29.6	16.9
Oct.	38.2	23.5	5.4	18.1	23.7	12.9
Nov.	56.2	17.9	6.4	12.2	16.6	7.7
Dic.	43.6	14.3	6.1	8.4	12.4	4.3
Año	399.9	152.6	53.0	16.8	22.6	11.1

Estación de referencia: Villagonzalo

Precipitación media mensual:  $y = 0.71 x + 4.08$  r= 0.94

Precipitación máxima en 24 h.:  $y = 0.51 x + 4.86$  r= 0.84

Nº de días de precipitación:  $y = 0.87 x - 0.24$  r= 0.96

Estación de referencia: Badajoz

Temperatura media mensual:  $y = 1.07 x - 1.29$  r= 0.99

Temperatura media de las máximas:  $y = 1.1 x - 2.17$  r= 0.99

Temperatura media mínima:  $y = 1.15 x - 1.65$  r= 0.98

CUADRO 29  
ESTACION DON BENITO

Lat. 38° 57' N. Long. 2° 10' W. Alt. 279 m.

Mes	Precipitación (1951-70)								
	Total mm.	Sn-1	c.v.	Máx. 24 h	Sn-1	c.v.	Nº de días	Sn-1	c.v.
Enero	64.9	48.5	74.8	19.6	12.6	64.4	9.3	5.8	62.3
Febr.	59.5	44.4	74.5	17.6	8.9	50.8	9.0	5.4	59.9
Marzo	69.4	43.8	63.1	19.7	11.6	59.0	9.7	4.2	43.5
Abril	44.0	33.7	74.4	16.2	12.4	76.7	7.2	3.4	46.9
Mayo	34.4	24.2	70.3	14.2	7.3	51.5	5.6	2.9	52.8
Junio	31.5	33.7	106.8	15.2	13.0	85.5	3.8	2.0	53.7
Julio	2.2	4.6	208.7	2.2	4.1	188.9	0.7	0.9	131.4
Agost.	6.1	8.9	146.3	5.2	8.3	159.3	1.2	1.0	90.4
Sept.	28.5	19.5	68.5	17.4	11.0	63.1	3.5	2.2	64.0
Oct.	55.3	44.2	79.9	19.2	12.8	66.9	7.3	4.2	57.1
Nov.	74.0	50.3	68.0	24.9	13.4	53.7	8.9	4.2	47.4
Dic.	58.7	51.2	87.2	16.0	9.3	58.3	8.4	4.1	48.5
Año	528.4			187.3			74.4		

Mes	Temperatura ° C. (1963-70)		
	Mensual	Media Máx.	Mín.
Enero	8.7	13.4	4.1
Febr.	9.0	14.1	3.9
Marzo	11.2	17.1	5.4
Abril	13.9	20.6	7.4
Mayo	18.2	25.8	10.6
Junio	21.6	29.8	13.4
Julio	25.4	34.4	16.4
Agost.	24.8	33.5	16.1
Sept.	21.8	29.4	14.1
Oct.	17.0	23.3	10.5
Nov.	11.6	16.6	6.6
Dic.	8.2	12.7	3.7
Año	16.0	22.6	9.4

Estación de referencia: Zarzacapilla.

Temperatura media mensual:  $y = 0.85x + 1.73$  r= 0.99

Temperatura media de las máximas:  $y = 0.98x + 2.99$  r= 0.99

Temperatura media mínima:  $y = 0.79x + 0.35$  r= 0.99

CUADRO 30

ESTACION ESPARRAGALEJO (1951-70)

Lat. 38° 56' N. Long. 2° 45' W. Alt. 231 m.

Mes	Precipitación								
	Total mm.	Sn-1	c.v.	Máx. 24 h	Sn-1	c.v.	Nº de días	Sn-1	c.v.
Enero	72.7	58.8	80.8	21.0	14.4	68.6	9.5	6.4	67.5
Febr.	67.3	44.2	65.7	19.6	11.8	60.0	7.9	5.3	67.1
Marzo	70.6	40.4	57.3	20.6	11.4	55.3	8.3	3.3	40.0
Abril	44.3	35.6	80.2	15.6	11.0	70.5	5.7	3.2	56.1
Mayo	37.8	33.4	88.4	13.5	7.3	54.1	5.8	3.9	67.0
Junio	26.2	23.8	90.7	15.6	12.8	81.8	2.8	2.1	72.8
Julio	1.6	3.4	211.7	0.7	1.5	226.5	0.5	1.2	250
Agost.	7.3	10.9	148.2	6.9	9.7	139.4	1	1.0	105
Sept.	29.7	27.2	91.4	18.3	15.2	83.3	2.7	2.0	75.4
Oct.	58.0	47.0	81.1	19.7	13.5	68.6	6.5	4.3	65.7
Nov.	77.8	55.2	70.9	25.8	15.1	58.6	8.2	4.1	49.6
Dic.	66.2	57.2	86.3	17.9	14.3	80.3	7.6	3.6	47.6
Año	559.7			195.1			66.5		

CUADRO 31

ESTACION ESPARRAGOSA DE LA SERENA (1951-70)

Lat. 38° 39' N. Long. 1° 55' W. Alt. 446 m.

Mes	Precipitación								
	Total mm.	Sn-1	c.v.	Máx. 24 h	Sn-1	c.v.	Nº de días	Sn-1	c.v.
Enero	56.8	47.6	83.8	18.6	11.2	60.0	7.7	5.7	73.8
Febr.	61.1	51.2	83.8	17.0	9.3	54.4	8.3	5.6	67.7
Marzo	55.1	35.6	64.6	17.9	10.0	55.9	8.2	4.1	50.6
Abril	44.6	30.4	68.0	16.8	12.1	71.9	6.2	2.9	47.0
Mayo	41.1	28.9	70.2	17.8	11.2	63.1	6.0	3.5	58.3
Junio	30.6	24.1	78.8	18.3	15.4	84.3	3	1.9	63
Julio	6.5	11.8	181.3	5.5	11.6	210.6	0.5	0.7	148 9
Agost.	5.9	9.4	158.3	5.8	9.4	161.4	0.6	0.7	119.0
Sept.	22.4	21.2	94.5	11.5	8.9	77.6	2.7	2.0	76.0
Oct.	47.9	42.4	88.6	20.1	14.9	74.2	5.8	3.6	61.8
Nov.	59.0	38.8	65.8	22.3	15.4	69.3	7.1	4.1	58.3
Dic.	67.2	55.7	82.8	20.6	11.5	56.0	7.0	4.5	63.2
Año	498.3		192.2			62.9			

CUADRO 32

ESTACION ESPARRAGOSA DEL CAUDILLO (1951-70)

Lat. 38° 58' N. Long. 1° 35' W. Alt. 473 m.

Mes	Precipitación									
	Total mm.	Sn-1	c.v.	Máx. 24 h	Sn-1	c.v.	Nº de días	Sn-1	c.v.	
Enero	78.1	62.7	80.3	25.3	15.7	62.3	8.1	4.6	56.9	
Febr.	79.3	59.6	75.2	21.9	12.4	56.9	7.6	5.1	67.2	
Marzo	70.7	44.8	63.4	25.2	14.2	56.3	7.4	3.4	46.4	
Abril	48.9	40.1	82.0	16.4	11.4	69.2	5.2	2.8	54.2	
Mayo	40.9	36.2	88.5	17.6	13.0	73.8	4.3	3.2	75.1	
Junio	27.3	22.7	83.3	17.2	15.1	87.7	2.4	1.5	61.2	
Julio	4.0	12.6	319.4	3.9	12.1	308.4	0.2	0.5	260	
Agost.	6.1	10.1	165.6	5.9	9.9	168.5	0.4	0.6	145.2	
Sept.	32.7	30.4	93.0	17.3	14.3	82.5	2.8	2.2	78.9	
Oct.	59.1	53.4	90.2	18.8	11.1	58.7	5.9	4.5	76.1	
Nov.	81.9	50.1	61.1	26.6	15.6	58.6	7.4	3.2	43.0	
Dic.	73.2	62.7	85.7	22.7	14.1	61.9	6.1	3.9	64.4	
Año	602.2			218.9			57.8			

CUADRO 33

ESTACION FREGENAL DE LA SIERRA (1951-70)

Lat. 38° 10' N. Long. 2° 58' W. Alt. 580 m.

Mes	Precipitación								
	Total mm.	Sn-1	c.v.	Máx. 24 h	Sn-1	c.v.	Nº de días	Sn-1	c.v.
Enero	107.0	94.2	88.0	28.6	16.0	55.9	9.1	5.2	56.9
Febr.	96.8	71.4	73.8	23.4	12.9	55.1	10	6.0	60.2
Marzo	92.6	66.4	71.7	26.0	13.1	50.4	9.8	4.8	48.6
Abril	53.1	39.5	74.4	16.9	10.8	63.8	6.4	3.2	50.6
Mayo	34.7	32.4	93.6	14.0	10.7	76.3	4.5	3.8	84.3
Junio	27.9	27.7	99.5	16.5	15.2	92.2	3.1	1.6	50.5
Julio	5.4	13.6	250.9	5.7	13.5	237.2	0.4	0.7	164.3
Agost.	3.3	6.7	202.4	4.4	6.3	143.5	0.5	0.7	148.9
Sept.	22.5	22.8	101.7	14.3	13.1	91.6	2.2	1.7	79.1
Oct.	66.3	61.4	92.7	21.5	16.7	77.9	6.4	4.0	62.7
Nov.	101.1	73.9	73.0	31.2	22.1	71.0	8.9	4.4	49.4
Dic.	61.5	91.1	88.9	32.3	19.7	59.7	8.3	5.1	61.5
Año	764.0		234.7			69.6			

CUADRO 34  
ESTACION FUENLABRADA DE LOS MONTES (1963-70)

Lat. 39° 08' N. Long. 1° 15' W. Alt. 539 m.

Mes	Precipitación		
	Total mm.	Máx. 24 h	Nº de días
Enero	103.5	29.2	10.9
Febr.	108.9	22.1	8.7
Marzo	105.2	27.9	7.8
Abril	54.9	19.9	6.4
Mayo	52.9	19.7	6.4
Junio	33.5	18.7	3.7
Julio	4.5	4.7	1.6
Agost.	7.5	8.1	1.7
Sept.	35.3	16.6	3.9
Oct.	78.8	24.5	6.7
Nov.	90.2	26.7	7.6
Dic.	88.8	22.8	6.4
Año	764.0	240.8	71.8

Estación de referencia: Herrera del Duque

Precipitación media mensual:  $y = 1.03 x - 1.89$   $r = 0.85$

Precipitación máxima en 24 h.:  $y = 1.05 x - 1.03$   $r = 0.81$

Nº de días de precipitación:  $y = 0.78 x + 0.86$   $r = 0.92$

CUADRO 35

ESTACION FUENTE DE CANTOS (1951-70)

Lat. 38° 15' N. Long. 2° 37' W. Alt. 582 m.

Mes	Precipitación									
	Total mm.	Sn-1	c.v.	Máx. 24 h	Sn-1	c.v.	Nº de días	Sn-1	c.v.	
Enero	83.5	57.2	68.4	25.2	13.3	52.8	8.4	4.7	55.8	
Febr.	59.6	39.9	67.0	19.1	12.2	63.6	7.2	4.2	58.8	
Marzo	81.9	45.1	55.1	25.3	14.6	57.6	8.0	4.0	50.3	
Abril	50.5	35.6	70.6	18.8	12.0	64.0	6.2	3.5	56.7	
Mayo	34.7	27.8	80.2	14.5	8.2	56.6	4.9	3.2	66.0	
Junio	27.7	32.3	116.4	15.1	16.9	111.6	2.6	2.0	75.5	
Julio	5.2	9.0	174.2	4.7	8.1	171.8	0.3	0.6	203.4	
Agost.	3.0	5.7	188.4	3.1	5.0	165.0	0.4	0.8	177.3	
Sept.	26.7	29.3	109.7	14.5	14.4	99.9	2.3	1.9	83.3	
Oct.	61.7	47.8	77.4	20.2	10.7	52.6	6.0	3.8	62.6	
Nov.	79.9	48.3	60.5	26.4	15.9	60.2	7.7	4.1	52.8	
Dic.	69.4	67.3	97.1	21.0	12.3	58.5	7	5.8	82.6	
Año	583.8			207.6			61.1			

CUADRO 36

ESTACION FUENTE DEL ARCO (1951-70)

Lat. 38° 09' N. Long. 2° 13' W. Alt. 703 m.

Mes	Precipitación								
	Total mm.	Sn-1	c.v.	Máx. 24 h	Sn-1	c.v.	Nº de días	Sn-1	c.v.
Enero	103.4	97.9	94.6	34.6	19.6	56.6	8.0	6.0	74.3
Febr.	98.2	73.6	74.9	31.6	21.4	67.6	8.6	4.6	53.6
Marzo	109.3	67.4	61.7	36.5	21.0	57.5	8.7	4.3	49.1
Abril	71.9	59.2	82.4	27.7	33.0	119.2	7.6	4.9	63.5
Mayo	52.5	37.6	71.6	22.7	15.3	67.3	5.3	4.0	75.3
Junio	28.7	30.1	104.8	13.8	11.7	84.9	4.2	2.7	65.1
Julio	1.3	3.0	231.0	2.3	4.4	193.8	0.4	0.9	195.4
Agost.	2.7	3.3	121.3	2.6	3.0	116.5	0.6	0.6	100
Sept.	33.4	30.0	89.8	22.0	20.1	91.2	2.4	2.0	81.2
Oct.	91.2	73.0	80.0	33.8	23.9	70.9	6.8	4.2	62.8
Nov.	112.0	81.5	72.8	34.0	24.5	71.9	9.5	4.8	50.1
Dic.	109.6	110.5	100.8	30.1	18.0	59.9	7.1	4.2	59.0
Año	814.3			291.6			69.3		

CUADRO 37  
ESTACION FUENTE DEL MAESTRE (1955-70)

Lat. 38° 31' N. Long. 2° 48' W. Alt. 442 m.

Mes	Precipitación		
	Total mm.	Máx. 24 h	Nº de días
Enero	65.3	21.2	5.9
Febr.	67.0	17.6	5.3
Marzo	69.8	19.7	6.0
Abril	41.9	15.8	4.6
Mayo	31.9	15.0	3.6
Junio	26.4	15.1	2.2
Julio	8.6	8.8	0.5
Agost.	8.4	8.2	0.6
Sept.	23.7	14.6	1.8
Oct.	49.8	17.2	4.2
Nov.	67.6	20.0	4.8
Dic.	65.7	19.7	5.0
Año	525.9	192.6	44.7

Estación de referencia: Los Santos de Maimona

Precipitación media mensual:  $y = 0.8 x + 4.06$   $r = 0.94$

Precipitación máxima en 24 h.:  $y = 0.58 x + 5.63$   $r = 0.71$

Nº de días de precipitación:  $y = 0.58 x + 0.31$   $r = 0.95$

-1296-

**CUADRO 38**

**ESTACION FUENTES DE LEON**

Lat. 38° 04' N. Long. 2° 51' W. Alt. 750 m.

Mes	Precipitación (1951-70)								
	Total mm.	Sn-1	c.v.	Máx. 24 h	Sn-1	c.v.	Nº de días	Sn-1	c.v.
Enero	119.1	74.1	62.2	39.4	21.9	55.6	10.9	5.7	52.0
Febr.	118.8	78.6	66.2	30.8	16.8	54.4	10.9	6.5	59.3
Marzo	132.7	74.7	56.3	37.8	20.2	54.2	11.4	4.7	41.0
Abril	69.2	49.4	71.3	22.5	18.0	79.9	8.0	3.1	38.4
Mayo	48.6	35.0	71.9	18.7	11.3	60.6	6.2	3.8	61.8
Junio	28.1	28.4	101.2	13.0	10.3	79.3	4.0	1.9	48.1
Julio	2.5	5.3	212.9	2.6	5.0	193.4	0.4	0.7	153.3
Agost.	2.7	4.0	147.8	2.4	3.5	147.5	0.6	0.8	136.7
Sept.	34.8	31.4	90.2	21.1	18.9	89.4	3.6	2.5	68.9
Oct.	91.3	75.6	82.8	28.4	15.8	55.8	7.6	4.4	57.9
Nov.	131.9	72.2	54.7	34.7	18.2	52.4	10.7	4.7	43.9
Dic.	117.3	99.0	84.4	32.7	18.1	55.2	9.8	6.0	61.2
Año	997.0			283.7			84.2		

Mes	Temperatura ° C. (1963-70)		
	Mensual	Media Máx.	Mín.
Enero	8.5	13.0	4.2
Febr.	8.9	13.9	4.2
Marzo	11.6	17.0	6.4
Abril	14.2	20.4	8.1
Mayo	18.6	25.5	11.8
Junio	22.3	29.7	14.9
Julio	26.3	34.4	18.2
Agost.	25.9	33.7	18.1
Sept.	22.5	29.2	15.8
Oct.	17.0	22.3	11.7
Nov.	11.7	16.7	7.2
Dic.	8.7	13.2	4.3
Año	16.4	22.4	10.4

Estación de referencia: Cabeza la Vaca  
 Temperatura media mensual:  $y = 0.97x + 2.30$  r= 0.99  
 Temperatura media de las máximas:  $y = 0.96x + 3.85$  r= 0.99  
 Temperatura media mínima:  $y = 0.99x + 0.98$  r= 0.99

CUADRO 39

ESTACION GARBAYUELA

Lat. 39° 03' N. Long. 1° 19' W. Alt. 487 m.

Mes	Precipitación (1964-70)			Temperatura ° C. (1965-70)		
	Total mm.	Máx. 24 h	Nº de días	Media		
				Mensual	Máx.	Mín.
Enero	78.3	22.9	8.7	7.0	10.5	3.3
Febr.	93.6	22.5	9.5	7.3	11.4	3.0
Marzo	94.4	24.1	9.2	10.0	14.8	4.9
Abrial	59.9	20.4	7.5	13.3	19.0	7.5
Mayo	48.2	17.2	7.1	18.4	25.2	11.5
Junio	31.8	15.9	4.2	22.5	29.9	15.2
Julio	12.2	11.4	0.8	27.0	35.3	18.8
Agost.	11.4	11.3	0.8	26.3	34.2	18.6
Sept.	35.2	17.1	3.7	22.7	29.4	16.0
Oct.	64.8	21.0	6.4	16.9	22.3	11.4
Nov.	90.7	24.0	9.0	10.5	14.3	6.4
Dic.	89.5	26.7	7.8	6.4	9.6	2.8
Año	710.3	234.4	75.6	15.7	21.3	9.9

Estación de referencia: Tamurejo

Precipitación media mensual:  $y = 0.94 x + 2.78$  r= 0.83

Precipitación máxima en 24 h.:  $y = 0.70 x + 4.84$  r= 0.66

Nº de días de precipitación:  $y = 1.14 x + 0.23$  r= 0.94

Estación de referencia: Zarza-capilla

Temperatura media mensual:  $y = 1.02 x - 1.38$  r= 0.99

Temperatura media de las máximas:  $y = 1.05 x - 1.80$  r= 0.99

Temperatura media mínima:  $y = 1.0 x - 1.55$  r= 0.99

CUADRO 40

ESTACION EMBALSE DE GARCIA DE SOLA O PUERTO PEÑA

Lat. 39° 10' N. Long. 1° 30' W. Alt. 424 m.

Mes	Precipitación (1971-70)			Temperatura ° C (1961-69)		
	Total mm.	Máx. 24 h.	Nº de días	Media		
				Mensual	Máx.	Mín.
Enero	87.0	25.4	13.1	8.2	12.9	3.6
Febr.	91.3	19.7	10.4	8.4	13.7	3.2
Marzo	88.4	24.4	9.2	11.0	16.9	5.1
Abril	47.6	17.9	7.5	14.1	20.8	7.5
Mayo	46.0	17.7	7.4	18.9	26.5	11.4
Junio	30.3	16.9	4.0	22.8	30.8	14.9
Julio	6.8	5.6	1.4	27.1	35.8	18.4
Agost.	9.2	8.3	1.5	26.4	34.8	18.1
Sept.	31.8	15.2	4.2	23.0	30.4	15.6
Oct.	67.0	21.6	7.9	17.5	23.8	11.3
Nov.	76.2	23.4	8.9	11.4	16.4	6.6
Dic.	75.1	20.2	7.4	7.6	12.2	3.1
Año	656.8	216.2	82.9	16.4	22.9	9.9

Estación de referencia: Herrera del Duque

Precipitación media mensual:  $y = 0.84 x + 1.65$  r= 0.93

Precipitación máxima en 24 h.:  $y = 0.85 x + 0.93$  r= 0.83

Nº de días de precipitación:  $y = 0.89 x + 0.45$  r= 0.95

Estación de referencia Zarzacapilla

Temperatura media mensual:  $y = 0.97 x + 0.21$  r= 0.99

Temperatura media de las máximas:  $y = 0.97 x + 1.60$  r= 0.99

Temperatura media mínima:  $y = 0.95 x - 1.04$  r= 0.99

CUADRO 41  
ESTACION GARGALIGAS (1958-70)

Lat. 39° 04' N. Long. 1° 57' W. Alt. 337 m.

Mes	Precipitación		
	Total mm.	Máx. 24 h	Nº de días
Enero	60.1	18.6	7.6
Febr.	62.4	14.8	7.2
Marzo	66.1	17.6	7.7
Abril	36.4	13.5	5.3
Mayo	34.0	13.1	3.9
Junio	20.6	12.8	2.7
Julio	0	0.5	0
Agost.	1.9	2.6	0.5
Sept.	27.0	12.6	2.8
Oct.	49.3	17.8	5.4
Nov.	58.9	20.0	6.4
Dic.	63.1	17.0	7.3
Año	479.8	161.1	56.7

Estación de referencia: Acedera

Precipitación media mensual:  $y = 0.87 x - 1.85$  r= 0.96

Precipitación máxima en 24 h.:  $y = 0.80 x - 0.17$  r= 0.96

Nº de días de precipitación:  $y = 0.99 x - 0.35$  r= 0.96

CUADRO 42

ESTACION GARLITOS (1951-70)

Lat. 38° 53' N. Long. 1° 22' W. Alt. 554 m.

Mes	Precipitación								
	Total mm.	Sn-1	c.v.	Máx. 24 h	Sn-1	c.v.	Nº de días	Sn-1	c.v.
Enero	81.9	60.2	73.5	20.6	13.0	63.4	8.3	5.2	63.2
Febr.	82.5	63.5	77.0	21.1	11.7	55.6	8.2	5.5	67.3
Marzo	72.2	51.3	71.0	20.8	14.9	71.5	7.9	4.0	51.3
Abril	53.3	41.0	76.9	20.5	16.1	78.6	6.0	3.2	52.9
Mayo	44.4	33.1	74.6	16.7	9.8	59.0	5.4	3.2	58.2
Junio	29.5	23.9	81.2	16.8	11.6	69.0	3	1.9	64
Julio	5.6	10.6	190.8	5.6	10.7	189.9	0.6	0.8	138.2
Agost.	5.6	13.4	239.2	3.4	7.2	211.8	0.5	0.5	102
Sept.	32.5	29.4	90.3	17.4	16.8	96.4	3.1	2.2	72.3
Oct.	69.3	59.1	85.2	25.6	18.7	72.8	6.6	4.4	65.6
Nov.	79.2	48.2	60.8	23.7	12.8	53.9	8	3.7	46.8
Dic.	77.8	65.7	84.5	21.2	11.4	53.7	7.7	4.6	60.4
Año	633.6			213.4			65.2		

CUADRO 43

ESTACION GRANJA DE TORREHERMOSA (1951-70)

Lat. 38° 18' N. Long. 1° 55' W. Alt. 593 m.

Mes	Precipitación								
	Total mm.	Sn-1	c.v.	Máx. 24 h	Sn-1	c.v.	Nº de días	Sn-1	c.v.
Enero	68.4	59.0	86.2	24.7	16.4	66.4	8.9	5.2	59.0
Febr.	70.5	54.0	76.6	19.4	9.3	48.0	9.5	5.1	53.4
Marzo	73.6	47.5	64.5	22.8	15.5	67.9	9	3.7	40.9
Abril	49.4	37.8	76.4	19.4	15.8	81.7	7.0	2.8	40.6
Mayo	38.3	31.5	82.2	15.2	8.7	57.1	6.2	4.2	67.7
Junio	31.1	28.8	92.5	18.0	15.3	84.7	2.9	1.8	63.1
Julio	1.0	3.0	307.3	0.3	0.8	253.1	0.2	0.4	205
Agost.	2.2	4.2	185.3	2.4	3.9	163.8	0.5	0.6	122
Sept.	26.7	25.2	94.5	18.3	17.8	97.3	2.3	2.1	91.3
Oct.	66.2	53.4	80.8	26.5	19.3	72.9	6.2	3.8	62.1
Nov.	75.0	52.9	70.6	28.3	19.7	69.7	8.2	3.4	41.8
Dic.	72.6	80.0	110.2	23.5	19.0	80.7	7.2	4.0	55.2
Año	574.9			218.8			68		

-1302-  
CUADRO 44  
ESTACION GUAREÑA

Lat. 38° 52' N. Long. 2° 25' W. Alt. 225 m.

Mes	Precipitación (1951-70)								
	Total mm.	Sn-1	c.v.	Máx. 24 h	Sn-1	c.v.	Nº de días	Sn-1	c.v.
Enero	65.6	51.1	77.8	21.8	13.8	63.3	6.4	4.0	63.1
Febr.	67.4	48.6	72.1	20.7	11.2	54.0	6.2	3.9	63.6
Marzo	64.7	45.2	69.9	18.8	8.8	46.6	6.5	3.3	51.1
Abril	44.2	35.9	72.2	15.2	9.9	64.9	5.2	2.4	45.2
Mayo	38.6	29.2	75.6	16.8	9.3	55.2	4.0	2.4	59.5
Junio	26.6	22.4	84.1	17.4	14.5	83.6	2.2	1.4	62.7
Julio	3.4	7.3	215	3	6.7	222.3	0.4	0.7	191.4
Agost.	9.0	13.0	144.0	8.0	11.9	148.2	0.7	0.7	104.3
Sept.	25.8	25.2	97.8	14.9	12.5	84.2	2.5	1.7	69.2
Oct.	55.6	42.8	76.9	21.3	11.1	52.0	5.0	3.4	67.7
Nov.	74.5	49.3	66.2	26.6	13.6	51.0	6.2	3.6	57.9
Dic.	61.8	57.4	93.0	17.8	12.3	69.4	5.6	3.9	69.0
Año	537.3			202.4			50.8		

Mes	Temperatura ° C. (1967-70)		
	Mensual	Media Máx.	Mín.
Enero	7.5	12.4	3.1
Febr.	7.7	13.2	2.9
Marzo	10.0	16.2	4.4
Abril	12.8	19.7	6.4
Mayo	17.1	25.0	9.6
Junio	20.6	28.9	12.4
Julio	24.5	33.6	15.2
Agost.	23.8	32.7	15.0
Sept.	20.8	28.5	13.0
Oct.	15.9	22.5	9.5
Nov.	10.4	15.7	5.6
Dic.	6.9	11.7	2.7
Año	14.8	21.7	8.3

Estación de referencia: Zarzacapilla:  
 Temperatura media mensual:  $y = 0.87x + 0.34$  r= 0.99  
 Temperatura media de las máximas:  $y = 0.90x + 1.99$  r= 0.99  
 Temperatura media mínima:  $y = 0.78x - 0.64$  r= 0.99

CUADRO 45

ESTACION HELECHAL (1951-70)

Lat. 38° 40' N. Long. 1° 41' W. Alt. 600 m.

Mes	Precipitación								
	Total mm.	Sn-1	c.v.	Máx. 24 h	Sn-1	c.v.	Nº de días	Sn-1	c.v.
Enero	63.6	51.6	81.1	22	12.3	56.1	7.4	5.9	79.2
Febr.	66.4	48.0	72.3	20.2	11.2	55.2	6.8	4.8	70.7
Marzo	63.6	42.3	66.5	21.0	10.3	49.1	7.7	4.1	53.5
Abril	48.9	40.3	82.5	14.6	9.8	67.4	5.6	2.3	41.1
Mayo	33.9	24.4	72.2	16.6	10.5	63.3	4.0	3.2	77.8
Junio	29.8	26.7	89.5	17.6	15.6	88.6	2.8	1.7	62.2
Julio	3.4	8.6	257.4	2.6	8.6	326.9	0.3	0.6	190
Agost.	3.6	8.4	234.6	3.6	8.4	234.6	0.2	0.4	176
Sept.	27.8	24.6	88.3	16.5	14.7	89.3	2.8	2.4	87.5
Oct.	57.2	53.2	92.8	20.5	14.2	69.4	5.6	4.2	74.8
Nov.	64.9	40.1	61.8	24.6	15.8	64.5	7	4.0	56.4
Dic.	75.8	67.3	88.8	23.3	14.9	64.1	6.7	3.8	56.5
Año	538.8			203.0			57.1		

CUADRO 46  
ESTACION HELECHOSA DE LOS MONTES (1964-70)

Lat. 39° 19' N. Long. 1° 13' W. Alt. 456 m.

Mes	Precipitación		
	Total mm.	Máx. 24 h	Nº de días
Enero	95.6	28.4	10.2
Febr.	100.6	21.8	2.0
Marzo	97.2	27.2	7.1
Abril	50.8	19.8	5.7
Mayo	48.9	19.6	5.7
Junio	31.0	18.7	3.0
Julio	4.2	5.7	0.9
Agost.	7.0	8.8	1.0
Sept.	32.6	16.7	3.2
Oct.	72.8	24.0	6.0
Nov.	83.3	26.1	6.9
Dic.	82.0	22.5	5.7
Año	706.0	239.4	63.4

Estación de referencia: Herrera del Duque

Precipitación media mensual:  $y = 0.95x - 1.69$  r= 0.78

Precipitación máxima en 24 h.:  $y = 0.97x + 0.40$  r= 0.61

Nº de días de precipitación:  $y = 0.78x + 0.16$  r= 0.95

CUADRO 47  
ESTACION HERRERA DEL DUQUE

Lat. 39° 10' N. Long. 1° 22' W. Alt. 468 m.

Mes	Precipitación (1951-70)									
	Total mm.	Sn-1	c.v.	Máx. 24 h	Sn-1	c.v.	Nº de días	Sn-1	c.v.	
Enero	102.1	81.4	79.8	28.8	19.2	66.7	12.9	18.8	145.6	
Febr.	107.3	89.3	83.2	22.0	14.5	65.7	10.1	6.1	60.1	
Marzo	103.8	67.6	65.2	27.6	16.1	58.3	9.0	3.7	41.0	
Abril	55.0	38.0	67.0	20.0	13.1	65.8	7.2	3.2	44.8	
Mayo	53.1	41.3	77.7	19.8	11.2	56.5	7.1	4.0	56.9	
Junio	34.3	29.1	84.9	18.8	21.8	116.2	3.7	2.0	54.2	
Julio	6.2	14.4	232.7	5.4	11.7	215.1	0.9	0.8	87.8	
Agost.	9.1	15.8	173.8	8.7	15.0	173.0	1.0	1.3	121.9	
Sept.	36.0	42.2	117.0	16.8	15.3	91.2	3.8	2.5	64.4	
Oct.	78.2	74.6	95.5	24.3	18.9	77.6	7.6	4.4	57.8	
Nov.	98.2	62.6	70.2	22.4	15.4	58.4	8.6	4.5	52.0	
Dic.	87.8	97.1	110.6	22.7	20.3	89.5	7.1	4.3	60.3	
Año	762.0			241.2			79.0			

Mes	Temperatura ° C. (1967-70)		
	Mensual	Media Máx.	Mín.
Enero	8.8	13.7	4.1
Febr.	9.1	14.5	3.8
Marzo	11.7	17.6	5.9
Abril	14.9	21.3	8.6
Mayo	19.9	26.8	13.0
Junio	23.9	30.9	16.8
Julio	28.3	35.7	20.8
Agost.	27.6	34.8	20.5
Sept.	24.1	30.5	17.7
Oct.	18.5	24.2	19.5
Nov.	12.2	17.1	7.5
Dic.	8.2	13.0	3.6
Año	17.3	23.3	11.3

Estación de referencia: Zarzacapillá
Temperatura media mensual: $y = 1.0 x + 0.66$ r= 0.99
Temperatura media de las máximas: $y = 0.93 x + 2.83$ r= 0.99
Temperatura media mínima: $y = 1.07 x - 1.03$ r= 0.99

CUADRO 48  
ESTACION HIGUERA DE LLERENA (1966-70)

Lat. 38° 22' N. Long. 2° 19' W. Alt. 518 m.

Mes	Precipitación		
	Total mm.	Máx. 24 h	Nº de días
Enero	56.8	18.4	6.8
Febr.	49.2	15.0	7.5
Marzo	50.9	18.0	6.9
Abril	35.6	17.3	5.2
Mayo	24.3	13.4	3.7
Junio	22.6	13.1	2.6
Julio	1.6	4.4	0.6
Agost.	1.8	3.8	0.7
Sept.	14.7	12.5	1.8
Oct.	44.0	20.6	5.0
Nov.	51.1	19.4	6.6
Dic.	53.6	20.1	6.3
Año	406	176.2	53.8

Estación de referencia: Villagarcía de la Torre  
Precipitación media mensual:  $y = 0.75 x - 0.08$  r= 0.80  
Precipitación máxima en 24 h.:  $y = 0.74 x + 2.24$  r= 0.60  
Nº de días de precipitación:  $y = 0.74 x + 0.29$  r= 0.81

CUADRO 49  
ESTACION HIGUERA DE VARGAS (1963-70)

Lat. 38° 26' N. Long. 3° 17' W. Alt. 342 m.

Mes	Precipitación		
	Total mm.	Máx. 24 h	Nº de días
Enero	97.7	25.6	12.6
Febr.	101.6	22.5	12.3
Marzo	105.9	28.3	12.2
Abril	60.4	18.3	8.4
Mayo	49.8	18.5	6.8
Junio	27.5	14.0	4.5
Julio	0	7.1	0.7
Agost.	0	2.7	0.9
Sept.	29.0	17.2	4.3
Oct.	91.3	26.0	8.9
Nov.	96.2	28.6	11.7
Dic.	96.7	27.4	11.0
Año	756.0	232.4	94

Estación de referencia: Villanueva del Fresno

Precipitación media mensual:  $y = 1.11 x - 3.38$  r= 0.88

Precipitación máxima en 24 h.:  $y = 0.96 x + 0.27$  r= 0.85

Nº de días de precipitación:  $y = 1.08 x + 0.20$  r= 0.96

CUADRO 50  
ESTACION HINOJOSA DEL VALLE (1954-70)

Lat. 38° 29' N. Long. 2° 30' W. Alt. 442 m.

Mes	Precipitación		
	Total mm.	Máx. 24 h	Nº de días
Enero	61.2	20.7	8.2
Febr.	63.4	15.1	8.6
Marzo	57.3	17.5	8.1
Abril	38.6	14.1	6.4
Mayo	35.9	15.9	5.2
Junio	24.7	13.7	2.9
Julio	0.3	2.4	0.4
Agost.	4.2	3.4	0.8
Sept.	26.0	15.9	2.5
Oct.	53.7	16.0	6.8
Nov.	71.9	24.3	8.4
Dic.	57.4	17.8	7.3
Año	492.6	176.8	65.5

Estación de referencia: Puebla del Prior

Precipitación media mensual:  $y = 1.12 x - 0.98$  r= 0.99

Precipitación máxima en 24 h.:  $y = 1.08 x - 1.08$  r= 0.96

Nº de días de precipitación:  $y = 0.95 x + 0.08$  r= 0.99

CUADRO 51  
ESTACION HORNACHOS (1953-70)

Lat. 38° 33' N. Long. 2° 23' W. Alt. 539 m.

Mes	Precipitación		
	Total mm.	Máx. 24 h	Nº de días
Enero	63.7	22.3	8.2
Febr.	65.8	16.8	8.5
Marzo	59.9	19.2	8.0
Abril	39.9	15.9	6.5
Mayo	39.3	17.7	5.4
Junio	28.4	15.4	3.2
Julio	4.8	4.4	0.9
Agost.	8.6	5.3	1.3
Sept.	29.7	17.6	2.9
Oct.	56.4	17.7	6.8
Nov.	74.0	25.8	8.3
Dic.	60.0	19.5	7.3
Año	530.5	197.7	67.2

Estación de referencia: Puebla del Prior

Precipitación media mensual:  $y = 1.08 x + 3.57$  r= 0.99

Precipitación máxima en 24 h.:  $y = 1.07 x + 0.92$  r= 0.93

Nº de días de precipitación:  $y = 0.88 x + 0.61$  r= 0.98

**CUADRO 52**  
**ESTACION JEREZ DE LOS CABALLEROS (1951-70)**

Lat. 38° 19' N. Long. 3° 05' W. Alt. 492 m.

Mes	Precipitación								
	Total mm.	Sn-1	c.v.	Máx. 24 h	Sn-1	c.v.	Nº de días	Sn-1	c.v.
Enero	83.4	57.5	69.0	24.7	11.7	47.3	10.7	5.8	54.4
Febr.	88.3	65.9	75.4	21.7	11.6	53.5	11	6.2	56.5
Marzo	88.4	57.4	64.9	24.8	11.5	46.3	11.3	4.9	43.6
Abrial	48.4	53.2	68.5	15.6	9.4	53.7	7.3	3.4	46.0
Mayo	40.8	37.6	92.0	11.0	11.3	102.5	6.1	3.5	57.7
Junio	23.1	20.1	86.8	12.7	9.8	76.9	3.8	2.3	60.4
Julio	3.7	6.9	188.6	10.0	6.9	173.0	0.5	0.7	142
Agost.	4.4	9.2	206.1	3.3	5.8	179.4	0.9	1.2	139.3
Sept.	26.7	23.4	87.8	15.2	13.4	88.6	3.6	2.5	71.0
Oct.	72.7	68.2	93.8	21.6	13.2	61.2	7.8	4.4	55.5
Nov.	93.6	63.1	67.4	26.8	12.9	48.3	9.8	5.2	52.6
Dic.	97.5	79.5	81.5	25.2	15.7	62.2	11.2	6.1	54.0
Año	671.0			206.7			84.1		

Mes	Temperatura								
	Medias								
	Mensual	Sn-1	c.v.	Máx	Sn-1	c.v.	Mín.	Sn-1	c.v.
Enero	8.4	1.3	15.5	12.8	1.3	9.8	3.8	2.1	56.0
Febr.	9.0	1.9	21.5	14.0	2.4	17.1	3.9	2.1	53.2
Marzo	11.1	1.6	14.1	16.2	2.4	15.1	6.1	1.4	22.7
Abrial	13.5	1.3	9.3	19.4	1.8	9.3	7.6	1.2	15.9
Mayo	17.5	2.4	13.8	24.3	3.1	12.6	10.8	2.4	22.1
Junio	21.1	1.4	6.7	28.4	2.0	7.0	13.9	1.6	11.7
Julio	24.4	2.4	10.0	32.7	2.7	8.3	16.3	1.7	10.2
Agost.	25.0	2.0	8.2	33.3	2.4	7.3	16.6	2.1	12.4
Sept.	22.2	1.9	8.6	29.4	2.5	8.5	15.1	1.8	12.1
Oct.	17.5	2.0	11.3	23.3	2.5	10.6	11.7	2.0	17.4
Nov.	11.7	1.5	12.8	16.4	2.1	13.0	7.0	1.8	26.4
Dic.	8.7	1.4	16.3	13.6	1.8	13.0	3.9	1.7	44.5
Año	15.8			22.0			9.7		

CUADRO 53  
ESTACION LA ALBUERA (1953-66)

Lat. 38º 43' N. Long. 3º 08' W. Alt. 253 m.

Mes	Precipitación		
	Total mm.	Máx. 24 h	Nº de días
Enero	57.9	19.6	6.0
Febr.	75.2	21.6	7.0
Marzo	63.3	18.8	7.3
Abril	39.0	15.4	4.5
Mayo	28.0	12.8	3.4
Junio	23.9	15.2	2.6
Julio	1.8	3.4	0.6
Agost.	1.6	3.7	0.6
Sept.	31.3	16.7	3.0
Oct.	63.0	18.0	5.1
Nov.	64.0	21.5	6.6
Dic.	69.1	22.2	5.4
Año	518.2	188.9	52.1

Estación de referencia: Corte de Peleas

Precipitación media mensual:  $y = 1.05 x - 0.97$   $r = 0.98$

Precipitación máxima en 24 h.:  $y = 0.80 x + 2.07$   $r = 0.90$

Nº de días de precipitación:  $y = 1.19 x + 0.35$   $r = 0.96$

CUADRO 54

ESTACION LA CARDENCHOSA (1951-70)

Lat. 38° 41' N. Long. 1° 52' W. Alt. 520 m.

Mes	Precipitación									
	Total mm.	Sn-1	c.v.	Máx. 24 h	Sn-1	c.v.	Nº de días	Sn-1	c.v.	
Enero	57.8	47.8	82.6	25.8	17.0	66.0	5	4.3	86	
Febr.	58.6	45.0	76.8	19.0	8.2	43.0	5.4	4.2	78.7	
Marzo	65.8	43.3	65.9	21.7	14.6	67.4	5.7	3.9	67.4	
Abril	46.6	43.6	93.6	22.4	19.8	88.5	4.4	2.8	63.4	
Mayo	36.1	38.3	106.2	15.5	13.5	87.2	3.6	3.0	84.2	
Junio	25.7	30.8	119.8	14.4	13.5	93.9	1.8	1.6	87.8	
Julio	1.8	5.0	273.4	3.2	6.1	192.2	0.2	0.4	246.7	
Agost.	2.1	4.0	192.2	4.2	5.8	138.0	0.2	0.4	170	
Sept.	16.0	15.3	95.6	11.5	11.5	99.3	1.5	2.1	142.2	
Oct.	46.8	42.1	89.8	18.9	13.9	73.5	4.2	3.2	76.6	
Nov.	62.6	48.7	77.8	20.9	15.6	74.4	5.6	3.2	57.7	
Dic.	55.3	52.7	95.2	21.8	12.7	58.3	5.4	3.9	73.1	
Año	475.3			199.2			43.0			

CUADRO 55

ESTACION LA CODOSERA (1951-70)

Lat. 39° 12' N. Long. 3° 29' W. Alt. 335 m.

Mes	Precipitación								
	Total mm.	Sn-1	c.v.	Máx. 24 h	Sn-1	c.v.	Nº de días	Sn-1	c.v.
Enero	120.8	93.2	77.2	27.3	15.9	58.2	9.9	5.6	56.9
Febr.	108.4	69.3	64.0	22.8	9.8	42.7	9.6	6.0	62.2
Marzo	127.1	79.8	62.8	27.9	18.1	65.0	10	5.3	53.1
Abril	63.4	37.1	58.4	17.7	8.4	47.4	6.4	3.6	55.8
Mayo	65.3	52.5	80.3	19.4	13.6	70.0	6.1	3.9	63.6
Junio	31.3	35.1	112.2	14.2	14.1	99.7	3.0	2.0	69.2
Julio	3.9	13.2	335.4	2.7	7.7	287.6	0.4	0.7	211.4
Agost.	8.3	11.2	135.2	6.7	9.9	148.4	1.0	1.3	125.7
Sept.	37.6	27.3	72.6	17.3	15.6	90.6	4.0	2.9	73.7
Oct.	75.3	46.8	62.1	19.5	9.2	47.0	6.8	4.7	69.0
Nov.	101.8	66.0	64.8	26.2	14.2	54.2	8.9	4.4	50
Dic.	93.7	78.3	83.6	24.2	14.5	59.8	8.6	6.0	70.5
Año	837.0			225.8			74.6		

CUADRO 56

ESTACION LA CORONADA (1951-70)

Lat. 38° 55' N. Long. 1° 29' W. Alt. 355 m.

Mes	Precipitación								
	Total mm.	Sn-1	c.v.	Máx. 24 h	Sn-1	c.v.	Nº de días	Sn-1	c.v.
Enero	60.1	43.0	71.4	19.5	13.5	69.4	5.9	4.0	68.6
Febr.	61.3	47.0	76.7	17.9	11.4	64.1	6.2	4.2	67.6
Marzo	56.4	37.2	66.1	19.6	11.0	56.2	5.9	2.9	49.5
Abril	41.5	31.3	75.4	16.4	11.4	69.5	4.1	2.3	57.1
Mayo	37.0	29.1	78.8	15.7	10.0	63.3	3.6	2.6	70.1
Junio	24.5	15.2	62.2	17.6	12.9	73.4	2.0	1.1	55.6
Julio	4.2	9.3	221.6	3.7	8.2	223.0	0.4	0.7	170
Agost.	7.4	11.0	149.7	6.2	8.2	132.2	0.8	0.7	96
Sept.	30.4	27.9	91.8	18.0	17.5	97.3	2.5	2.0	78.3
Oct.	46.6	43.9	94.2	16.6	11.3	68.0	4.4	3.6	81.8
Nov.	65.0	45.2	69.4	23.0	12.3	53.4	5.8	3.0	51.0
Dic.	60.0	52.8	88.1	17.9	12.2	68.2	5.3	3.1	59.1
Año	494.4			191.9			46.9		

CUADRO 57

ESTACION LA GARROVILLA (1951-70)

Lat. 38° 55' N. Long. 2° 47' W. Alt. 216 m.

Mes	Precipitación								
	Total mm.	Sn-1	c.v.	Máx. 24 h	Sn-1	c.v.	Nº de días	Sn-1	c.v.
Enero	62.4	46.6	74.6	15.8	9.4	59.3	8.4	7.2	85.9
Febr.	53.9	44.9	83.4	15.2	11.2	73.4	6.3	4.1	66.0
Marzo	49.3	36.0	73.1	16.9	11.4	67.3	6.4	4.2	65.9
Abril	33.5	30.0	89.7	11.5	7.5	56.3	4.9	3.1	63.8
Mayo	31.1	31.9	70.3	15.6	13.4	85.7	4.5	2.9	65.1
Junio	20.9	26.7	127.8	11.6	14.7	126.4	2.2	2.0	90.2
Julio	3.2	5.3	166.5	3.8	5.2	138.7	0.4	0.8	184.1
Agost.	4.4	7.7	175.3	4.1	7.1	173.1	0.6	0.9	158.9
Sept.	35.0	32.9	94.0	15.4	11.2	73.0	2.5	1.9	74.3
Oct.	46.0	38.0	82.6	15.6	9.6	61.6	5.2	4.6	89.1
Nov.	53.7	40.1	74.7	15.1	7.3	48.1	6.4	4.3	66.3
Dic.	48.2	58.9	122.0	14.2	9.8	69.3	4.7	3.0	61.5
Año	441.6			154.8			52.6		

CUADRO 58  
ESTACION LA NAVA DE SANTIAGO (1963-70)

Lat. 39° 04' N. Long. 2° 49' W. Alt. 269 m.

Mes	Precipitación		
	Total mm.	Máx. 24 h	Nº de días
Enero	93.1	25.4	8.4
Febr.	87.3	21.7	7.7
Marzo	90.8	27.5	8.2
Abril	50.6	19.3	5.0
Mayo	46.0	18.2	5.0
Junio	17.6	13.0	2.1
Julio	2.6	5.9	0.3
Agost.	5.0	7.1	0.6
Sept.	23.8	15.3	2.4
Oct.	65.1	22.9	6.2
Nov.	81.6	25.5	7.1
Dic.	76.2	25.1	7.1
Año	639.5	227.0	60.2

Estación de referencia: La Roca de la Sierra

Precipitación media mensual:  $y = 0.99 x - 0.33$   $r = 0.87$

Precipitación máxima en 24 h.:  $y = 0.80 x + 3.97$   $r = 0.76$

Nº de días de precipitación:  $y = 1.01 x - 0.10$   $r = 0.93$

CUADRO 59  
ESTACION LA PARRA (1952-56)

Lat. 38° 30' N. Long. 2° 54' W. Alt. 529 m.

Mes	Precipitación		
	Total mm.	Máx. 24 h	Nº de días
Enero	69.5	26.9	6.8
Febr.	85.4	27.6	8.1
Marzo	73.8	29.6	8.1
Abril	44.8	17.8	6.0
Mayo	33.3	14.2	4.0
Junio	23.6	11.0	2.6
Julio	5.5	4.0	0.5
Agost.	4.6	1.8	0.7
Sept.	23.3	13.5	2.5
Oct.	58.9	24.3	5.4
Nov.	82.3	34.6	7.5
Dic.	72.2	25.0	7.2
Año	577.1	230.2	59.4

Estación de referencia: Santa Marta de los Barros

Precipitación media mensual:  $y = 1.23 x - 1.68$  r= 0.83

Precipitación máxima en 24 h.:  $y = 1.64 x - 6.14$  r= 0.87

Nº de días de precipitación:  $y = 0.94 x + 0.10$  r= 0.93

CUADRO 60

ESTACION LA ROCA DE LA SIERRA (1951-70)

Lat. 39° 07' N. Long. 3° 00' W. Alt. 248 m.

Mes	Precipitación								
	Total mm.	Sn-1	c.v.	Máx. 24 h	Sn-1	c.v.	Nº de días	Sn-1	c.v.
Enero	94.2	83.8	89.0	26 7	14.1	52.8	8.5	5.6	65.6
Febr.	88.3	63.0	71.4	22.0	11.1	50.4	7.7	5.0	64.4
Marzo	91.9	57.2	62.3	29.3	18.2	52.2	8 2	4.4	52.7
Abril	51.3	46.4	90.5	19.1	13.6	71.1	5.1	2.7	53.1
Mayo	46.7	33.0	70.8	17.7	8.5	47.9	5	3.0	59.4
Junio	18.0	24.3	135.0	11.2	11.3	100.2	2.2	1.6	75.8
Julio	2.9	5.5	188.1	2.4	5.3	223.5	0.4	0.6	168.6
Agost.	5.4	7.5	139.2	3.9	5.8	148.2	0.7	0.8	114.3
Sept.	24.2	25.8	106.4	14.1	13.2	93.8	2.5	2.0	78.4
Oct.	66	54.6	82.7	23.6	16.6	70.5	6.2	3.9	63.6
Nov.	82.6	66.7	80.8	26.7	22.4	84.0	7.2	4.3	60.4
Dic.	77.2	56.7	73.4	26.2	19.0	72.3	7.2	4.1	57.1
Año	648.7			223.1			60.8		

CUADRO 61

ESTACION LLERENA (1951-70)

Lat. 38° 14' N. Long. 2° 19' W. Alt. 638 m.

Mes	Precipitación									
	Total mm.	Sn-1	c.v.	Máx. 24 h	Sn-1	c.v.	Nº de días	Sn-1	c.v.	
Enero	75.9	75.4	99.4	21 4	14.7	69.0	9.6	5.5	57.0	
Febr.	70.1	55.3	78.9	19.2	11.3	58.7	9.2	5.2	56.2	
Marzo	69.4	44.8	64.5	23.7	14.7	62.2	9 2	3.8	41.6	
Abril	47.1	38.2	81.0	17.5	14.8	84.2	6.8	3.0	43.8	
Mayo	39.2	28.6	72.8	15.8	9.2	58.4	6.0	3.8	64.4	
Junio	27.0	29.6	109.6	14.8	14.2	100.8	3.8	2.2	57.4	
Julio	1.3	2.2	167.7	1.2	2.1	171.0	0.5	0.7	138	
Agost.	2.7	4.5	169.4	3.0	4.7	154.6	0.8	1.0	125	
Sept.	25.3	21.3	84.2	16.7	14.2	84.4	3.2	1.8	57.5	
Oct.	61.7	54.9	89.0	24.8	19.5	78.7	6.8	4.1	59.6	
Nov.	74.7	46.3	61.9	26.7	16.4	61.5	9	4.2	46.7	
Dic.	73.2	61.3	83.7	21.5	12.2	57.0	9.2	4.4	47.8	
Año	567.5			206.3			74.2			

CUADRO 62

ESTACION LOS SANTOS DE MAIMONA (1951-70)

Lat. 38° 21' N. Long. 2° 41' W. Alt. 529 m.

Mes	Precipitación									
	Total mm.	Sn-1	c.v.	Máx. 24 h	Sn-1	c.v.	Nº de días	Sn-1	c.v.	
Enero	76.6	53.5	69.8	26 7	13.8	51.7	9.5	5.4	56.2	
Febr.	78.9	54.6	69.2	20.6	10.4	50.5	8.6	5.4	62.6	
Marzo	82.4	46.0	55.8	24.2	11.2	46.5	9 8	4.6	47.4	
Abril	47.4	38.0	80.2	17.4	15.0	86.2	7.5	3.3	43.2	
Mayo	34.9	33.9	97.1	16.0	12.6	78.4	5.9	4.2	72.3	
Junio	28.0	24.9	88.9	16.3	14.1	86.7	3.2	1.8	55.4	
Julio	5.7	16.0	280.3	5.5	15.9	288.6	0.4	0.7	191.4	
Agost.	5.4	13.7	251.3	4.3	11.8	270.7	0.5	0.9	172	
Sept.	24.7	24.4	99.1	15.4	16.1	104.6	2.6	1.8	67.2	
Oct.	57.3	47.4	83.6	20.0	11.8	64.0	6.6	3.6	54.4	
Nov.	78.6	54.5	68.5	24.7	15.3	61.9	7.7	3.5	46.1	
Dic.	77.2	69.7	90.2	24.2	15.7	64.9	8.1	5.0	62.3	
Año	598.3			215.4			70.4			

CUADRO 63

ESTACION LOBON

Lat. 38° 51' N. Long. 2° 56' W. Alt. 258 m.

Mes	Precipitación (1951-70)			Temperatura ° C.(1963-70)		
	Total mm.	Máx. 24 h	Nº de días	Media		
				Mensual	Máx.	Mín.
Enero	61.2	16.1	6.9	8.6	13.4	3.8
Febr.	52.4	16.8	7.3	9.4	14.6	4.2
Marzo	47.5	16.1	7.8	12.0	17.1	6.4
Abril	31.2	11.7	5.0	14.6	21.3	8.0
Mayo	28.7	13.7	4.1	18.6	26.2	11.0
Junio	18.1	9.5	2.3	22.5	31.0	14.1
Julio	0	3.0	0.1	25.7	35.2	16.0
Agost.	1.0	1.4	0.3	25.1	34.2	15.9
Sept.	32.8	12.0	2.3	22.2	30.0	14.5
Oct.	41.2	19.9	5.4	17.8	24.2	11.2
Nov.	52.1	19.2	7.6	12.1	17.3	6.8
Dic.	46.5	14.4	6.7	8.5	13.2	4.0
Año	415.6	153.8	55.9	16.4	23.2	9.7

Estación de referencia: Puebla de la Calzada

Precipitación media mensual:  $y = 1.04 x - 3.62$  r= 0.92

Precipitación máxima en 24 h.:  $y = 0.98 x - 1.73$  r= 0.94

Nº de días de precipitación:  $y = 0.99 x - 0.33$  r= 0.98

Estación de referencia: Badajoz

Temperatura media mensual:  $y = 1.03 x - 0.84$  r= 0.99

Temperatura media de las máximas:  $y = 1.06 x - 0.87$  r= 0.99

Temperatura media mínima:  $y = 0.96 x - 0.98$  r= 0.99

CUADRO 64

ESTACION MAGACELA (1951-70)

Lat. 38° 64' N. Long. 2° 03' W. Alt. 562 m.

Mes	Precipitación								
	Total mm.	Sn-1	c.v.	Máx. 24 h	Sn-1	c.v.	Nº de días	Sn-1	c.v.
Enero	62.9	37.8	60.2	20.3	12.7	62.7	7.4	4.3	57.9
Febr.	62.3	48.1	77.2	18.3	11.2	61.0	7.3	4.6	62.2
Marzo	60.6	38.4	63.3	20.5	12.2	59.5	6.9	4.0	58.5
Abril	38.5	29.3	76.2	14.0	9.6	68.4	5.6	3.5	62.5
Mayo	32.9	25.2	76.6	14.2	9.8	69.2	4.2	3.9	68.6
Junio	20.5	17.5	85.5	12.9	12.4	96.2	2.6	1.7	67.8
Julio	5.3	16.2	306.6	4.4	10.3	232.7	0.3	0.8	256.2
Agost.	4.6	6.8	147.8	3.8	6.4	169.7	0.4	0.6	150
Sept.	28.3	26.5	93.7	19.6	17.4	89.0	2.5	1.7	70.4
Oct.	47.7	39.7	83.1	15.9	11.0	69.1	5.4	3.8	70.3
Nov.	58.9	40.7	69.2	22.8	13.0	56.8	6.1	3.3	54.6
Dic.	60.7	53.1	87.6	17.8	12.5	70.2	6.5	4.4	67.4
Año	483.7			184.4			55.1		

CUADRO 65  
ESTACION MAGUILA (1966-70)

Lat. 38° 24' N. Long. 2° 09' W. Alt. 526 m.

Mes	Precipitación		
	Total mm.	Máx. 24 h	Nº de días
Enero	61.0	18.9	6.6
Febr.	53.3	16.3	7.2
Marzo	55.1	18.9	6.6
Abril	39.6	18.1	5.1
Mayo	28.2	15.1	3.6
Junio	26.5	14.9	2.6
Julio	5.4	8.2	0.6
Agost.	5.5	7.7	0.7
Sept.	18.5	14.4	1.8
Oct.	48.0	20.6	4.9
Nov.	55.2	19.8	6.4
Dic.	57.7	20.3	6.1
Año	454.1	193.2	52.2

Estación de referencia: Villagarcía de la Torre  
Precipitación media mensual:  $y = 0.75 x + 3.66$  r= 0.77  
Precipitación máxima en 24 h.:  $y = 0.57 x + 6.50$  r= 0.47  
Nº de días de precipitación:  $y = 0.71 x + 0.32$  r= 0.87

CUADRO 66  
ESTACION MALCOCINADO (1951 69)

Lat. 38° 07' N. Long. 2° 00' W. Alt. 601 m.

Mes	Precipitación		
	Total mm.	Máx. 24 h	Nº de días
Enero	76.8	23.7	7.2
Febr.	77.8	22.2	7.5
Marzo	87.7	24.5	8.9
Abril	52.4	23.3	6.6
Mayo	42.2	15.3	5.2
Junio	28.9	15.7	2.7
Julio	2.8	4.6	0.6
Agost.	0	3.3	0.6
Sept.	30.0	15.7	2.5
Oct.	65.2	21.7	6.5
Nov.	82.4	25.8	7.1
Dic.	82.2	23.2	7.2
Año	628.1	217.0	62.6

Estación de referencia: Valverde de Llerena

Precipitación media mensual:  $y = 1.08 x - 3.04$  r= 0.94

Precipitación máxima en 24 h.:  $y = 0.80 x + 1.20$  r= 0.85

Nº de días de precipitación:  $y = 1.06 x + 0.12$  r= 0.98

CUADRO 67

ESTACION MALPARTIDA DE LA SERENA (1951-70)

Lat. 38° 40' N. Long. 1° 57' W. Alt. 479 m.

Mes	Precipitación								
	Total mm.	Sn-1	c.v.	Máx. 24 h	Sn-1	c.v.	Nº de días	Sn-1	c.v.
Enero	62.5	45.2	72.3	20 0	11.7	58.8	7.7	4.6	59.9
Febr.	59.9	46.4	77.5	16.2	9.2	56.7	8.0	4.8	60.1
Marzo	63.2	35.4	56.1	19.5	9.8	50.0	8	4.1	51.1
Abril	44.0	30.3	69.0	16.1	10.8	67.1	6.0	3.0	48.8
Mayo	38.6	26.2	67.9	17.9	12.8	71.7	4.6	3.0	64.4
Junio	34.3	35.6	104.0	22.4	26.9	119.9	2.6	1.9	73.7
Julio	5.8	14.0	241.7	6.9	13.8	200.0	0.4	0.5	140
Agost.	6.6	10.4	157.9	6.4	10.4	163.9	0.4	0.6	133.3
Sept.	24.4	22.9	94.0	13.6	11.9	88.0	2.8	2.2	77.5
Oct.	50.0	41.7	83.3	19.7	10.5	53.4	5.2	3.6	69.5
Nov.	65.2	45.7	70.2	23.8	14.7	61.8	6.6	3.8	57.4
Dic.	63.9	54.1	84.6	19.0	11.1	58.4	7	4.5	64.6
Año	518.4			201.4			59.4		

CUADRO 68

ESTACION MANCHITA (1951-70)

Lat. 38° 49' N. Long. 2° 20' W. Alt. 336 m.

Mes	Precipitación								
	Total mm.	Sn-1	c.v.	Máx. 24 h	Sn-1	c.v.	Nº de días	Sn-1	c.v.
Enero	78.1	45.2	57.9	18.5	8.6	46.8	9.8	5.1	52.6
Febr.	84.0	73.6	87.6	21.2	16.3	76.8	8.8	4.6	52.9
Marzo	92.2	58.9	63.9	21.3	10.6	49.5	9.6	4.1	42.5
Abril	69	67.8	98.3	18.0	11.6	64.5	7.4	3.0	40.9
Mayo	58.0	48.3	83.2	18.1	9.4	52.0	6.0	3.8	62.6
Junio	32.7	21.9	66.8	17.0	11.8	69.4	3.5	2.1	60.6
Julio	7.2	19.4	267.3	5.8	9.5	162.2	0.6	1.2	205
Agost.	10.4	10.7	102.5	9.4	10.1	106.5	1.3	1.0	75.4
Sept.	37.3	27.4	73.3	17.9	9.4	52.5	4.3	2.8	65.9
Oct.	77.8	53.2	68.4	21.9	13.8	63.2	7.4	3.7	50.1
Nov.	93.2	61.8	66.3	23.9	13.4	55.9	9.5	4.3	44.7
Dic.	87.4	87.3	99.9	23.5	21.3	90.4	8.2	4.4	53.0
Año	727.4			216.6			76.4		

CUADRO 69

ESTACION MEDELLIN (1951-70)

Lat. 38° 58' N. Long. 2° 16' W. Alt. 264 m.

Mes	Precipitación								
	Total mm.	Sn-1	c.v.	Máx. 24 h	Sn-1	c.v.	Nº de días	Sn-1	c.v.
Enero	68.4	63.3	92.6	20.1	17.3	86.3	7.0	6.2	89.1
Febr.	68.6	56.8	82.8	18.0	9.5	52.6	7.9	5.9	74.7
Marzo	68.0	47.3	69.6	18.3	10.1	54.9	7.4	3.6	48.1
Abril	40.6	35.1	86.4	13.3	10.4	78.2	5.4	3.5	65.6
Mayo	32.4	22.6	69.7	13.5	10.4	77.6	4	3.4	85.0
Junio	22.9	24.4	106.2	14.3	13.0	90.8	1.9	2.2	114.3
Julio	3.0	7.9	267.6	2.4	6.0	254.2	0.4	0.8	200.1
Agost.	9.2	12.4	134.4	8.4	12.2	133.3	1.0	1.1	113.7
Sept.	32.8	43.8	133.5	15.9	16.8	105.7	2.6	2.4	92.4
Oct.	56.4	39.3	69.8	18.6	10.4	56.1	6.1	3.7	60.0
Nov.	76.0	53.8	70.8	22.9	12.5	54.7	7.4	4.1	54.9
Dic.	62.0	64.7	104.2	19.7	16.6	84.1	5.4	4.8	87.6
Año	540.4			185.4			56.4		

-1328-

**CUADRO '70**

**ESTACION MERIDA**

Lat. 38° 55' N. Long. 2° 39' W. Alt. 218 m.

Mes	Precipitación (1951-70)								
	Total mm.	Sn-1	c.v.	Máx. 24 h	Sn-1	c.v.	Nº de días	Sn-1	c.v.
Enero	65.4	48.7	74.5	18.3	10.8	58.9	10.6	5.5	51.8
Febr.	67.5	46.7	69.2	19.1	10.4	54.1	9.6	5.7	59.1
Marzo	67.3	46.4	69.0	18.2	10.1	55.3	9.5	3.8	40.3
Abril	40.6	30.5	75.2	15.3	9.7	63.6	7.0	3.3	46.5
Mayo	36.1	24.4	67.7	14.7	7.0	47.7	6.0	3.5	58.2
Junio	24.3	23.7	97.4	14.1	12.9	91.6	3.1	1.9	60.0
Julio	2.7	5.2	195.2	2.2	3.5	160.0	0.6	0.9	161.8
Agost.	6.6	11.5	175.5	6.1	10.8	176.2	1.0	0.8	80.0
Sept.	29.4	24.7	84.0	16.0	12.5	78.1	3.6	2.0	55.2
Oct.	56.0	44.1	78.7	18.0	11.3	62.5	7.6	4.7	60.9
Nov.	73.6	47.1	64.0	24.6	14.3	58.1	9.4	4.4	46.6
Dic.	65.7	61.3	93.3	17.2	13.2	76.9	9.3	4.1	43.7
Año	535.1			183.8			77.3		

Mes	Temperatura ° C. (1967-70)		
	Media		
	Mensual	Máx.	Mín.
Enero	8.4	13.1	3.6
Febr.	9.2	14.3	4.0
Marzo	11.8	17.4	6.2
Abril	14.4	21.0	7.8
Mayo	18.4	25.9	10.9
Junio	22.2	30.7	14.0
Julio	25.4	34.8	16.0
Agost.	24.8	33.8	15.8
Sept.	21.9	29.6	14.4
Oct.	17.5	23.9	11.0
Nov.	11.8	17.0	6.6
Dic.	8.2	12.9	3.7
Año	16.2	22.7	9.5

Estación de referencia: Badajoz

Temperatura media mensual:  $y = 1.03x - 1.13$  r= 0.99

Temperatura media de las máximas:  $y = 1.06x - 1.15$  r= 0.99

Temperatura media mínima:  $y = 0.97x - 1.26$  r= 0.99

CUADRO 71

ESTACION MIRANDILLA

Lat. 39° 00' N. Long. 2° 36' W. Alt. 298 m.

Mes	Precipitación (1964-70)			Temperatura ° C.(1965-70)		
	Total mm.	Máx. 24 h	Nº de días	Media		
				Mensual	Máx.	Mín.
Enero	77.6	22.9	9.1	7.9	12.2	3.6
Febr.	69.5	17.4	8.9	8.7	13.4	4.0
Marzo	73.2	20.3	8.5	11.4	16.5	6.4
Abril	42.4	16.8	5.7	14.1	20.1	8.2
Mayo	35.3	14.5	4.7	18.4	25.1	11.7
Junio	22.6	13.0	2.8	22.4	30.0	15.2
Julio	2.1	2.4	0.4	25.8	34.1	17.4
Agost.	7.9	8.0	0.8	25.2	33.1	17.2
Sept.	31.2	16.3	3.3	22.1	28.8	15.6
Oct.	58.4	18.1	6.4	17.4	23.0	11.9
Nov.	77.0	23.6	8.6	11.5	16.1	6.9
Dic.	66.1	17.5	8.0	7.7	12.0	3.7
Año	563.3	191.0	67.3	16.0	22.0	10.2

Estación de referencia: Pantano de Cornalvo

Precipitación media mensual:  $y = 1.04x - 0.48$   $r = 0.84$

Precipitación máxima en 24 h.:  $y = 0.93x + 0.79$   $r = 0.83$

Nº de días de precipitación:  $y = 1.17x - 0.02$   $r = 0.95$

Estación de referencia: Badajoz

Temperatura media mensual:  $y = 1.08x - 2.08$   $r = 0.99$

Temperatura media de las máximas:  $y = 1.07x - 2.25$   $r = 0.99$

Temperatura media mínima:  $y = 1.08x - 1.88$   $r = 0.99$

CUADRO 72  
ESTACION MONESTERIO (1952 70)

Lat. 38° 05' N. Long. 2° 35' W. Alt. 799 m.

Mes	Precipitación		
	Total mm.	Máx. 24 h	Nº de días
Enero	116.5	41.1	5.3
Febr.	111.2	36.4	5.8
Marzo	119.4	43.1	6.0
Abril	60.2	27.4	4.3
Mayo	45.0	20.2	3.2
Junio	28.4	18.5	1.8
Julio	2.0	2.8	0.2
Agost.	0.6	2.1	0.3
Sept.	34.0	19.8	2.0
Oct.	84.1	34.2	4.2
Nov.	114.9	37.8	5.4
Dic.	113.9	41.6	4.6
Año	830.4	324.9	43.3

Estación de referencia: Cabeza la Vaca

Precipitación media mensual:  $y = 0.94 x - 3.18$  r= 0.98

Precipitación máxima en 24 h.:  $y = 1.17 x - 1.72$  r= 0.96

Nº de días de precipitación:  $y = 0.57 x - 0.15$  r= 0.97

CUADRO 73

ESTACION MONTEMOLIN (1951-70)

Lat. 38° 09' N. Long. 2° 32' W. Alt. 615 m.

Mes	Precipitación								
	Total mm.	Sn-1	c.v.	Máx. 24 h	Sn-1	c.v.	Nº de días	Sn-1	c.v.
Enero	72.7	59.7	82.1	25.2	17.6	70.0	9.2	5.1	55.4
Febr.	64.9	45.2	69.7	19.5	10.5	54.0	9.4	5.7	61.4
Marzo	72.4	40.6	56.1	23.5	13.9	59.2	9.8	4.4	44.5
Abril	45.5	37.7	82.7	15.8	12.2	77.4	7	3.1	44.4
Mayo	39.8	27.2	68.2	17.7	11.6	65.9	5.9	4.1	70.0
Junio	28.2	33.0	116.9	15.1	14.3	95.0	3.8	1.6	43.2
Julio	3.1	5.7	182.6	3.4	5.6	165.4	0.5	0.7	138.0
Agost.	3.5	5.6	158.6	2.6	4.7	178.3	0.8	1.0	118.8
Sept.	34.6	33.7	97.4	20.8	17.3	83.4	3.8	3.1	82.4
Oct.	57.4	49.7	86.6	21.8	14.8	68.2	6.7	3.5	52.5
Nov.	72.9	51.3	70.4	24.9	13.0	52.0	9.2	3.6	39.4
Dic.	72.3	67.2	93.1	21.4	14.5	67.7	8.2	4.2	51.7
Año	567.2			211.6			74.2		

CUADRO 74

ESTACION MONTERRUBIO DE LA SERENA (1951-70)

Lat. 38° 55' N. Long. 1° 43' W. Alt. 557 m.

Mes	Precipitación								
	Total mm.	Sn-1	c.v.	Máx. 24 h	Sn-1	c.v.	Nº de días	Sn-1	c.v.
Enero	69.2	57.9	83.7	23.9	14.4	60.3	6.2	4.3	69.4
Febr.	71.4	57.9	81.1	21.3	10.3	48.4	6.9	5.7	82.8
Marzo	74.1	45.0	60.7	24.6	13.2	53.6	7.0	4.3	61.3
Abril	54.0	34.6	64.1	18.9	11.2	59.2	5.6	2.5	43.5
Mayo	48.9	36.9	75.5	21.3	13.1	61.4	5.0	3.1	62.6
Junio	35.7	32.0	89.5	20.8	21.3	102.6	3.2	2.4	75.9
Julio	4.9	10.8	221.2	4.6	10.8	234.6	0.6	0.7	125.4
Agost.	5.5	9.4	171.0	4.7	9.0	190.7	0.4	0.6	133.3
Sept.	30.6	28.8	94.1	18.0	16.8	93.5	2.6	2.1	78.5
Oct.	61.1	51.1	83.5	24.8	15.1	60.7	5.2	4.0	76.7
Nov.	79.0	46.0	58.2	31.5	16.3	51.8	6.7	4.0	59.2
Dic.	79.7	80.1	100.6	27.7	16.8	60.4	6.2	4.6	73.6
Año	614.3			242.1			55.7		

CUADRO 75

ESTACION MONTIJO (1951-70)

Lat. 38° 55' N. Long. 2° 56' W. Alt. 201 m.

Mes	Precipitación			Temperatura ° C.		
	Total mm.	Máx. 24 h	Nº de días	Media		
				Mensual	Máx.	Mín.
Enero	64.2	17.7	9.6	10.2	15.8	4.7
Febr.	67.9	18.3	10.1	11.0	17.0	5.2
Marzo	69.6	17.7	10.7	13.8	20.0	7.7
Abril	38.6	13.8	7.2	16.6	23.6	9.6
Mayo	46.7	15.6	6.0	20.8	28.5	13.2
Junio	21.0	11.8	3.7	24.9	33.2	16.9
Julio	6.6	5.9	1.0	28.3	37.4	19.2
Agost.	4.6	4.5	1.2	27.7	36.4	19.0
Sept.	27.2	14.0	3.8	24.6	32.2	17.3
Oct.	63.0	21.1	7.8	19.9	26.5	13.4
Nov.	69.6	20.4	10.4	13.9	19.6	8.2
Dic.	61.4	16.2	9.4	10.0	15.6	4.8
Año	539.2	177.0	80.9	18.5	25.5	11.6

Estación de referencia: Puebla de la Calzada

Precipitación media mensual:  $y = 1.10 x + 0.69$  r= 0.98

Precipitación máxima en 24 h.:  $y = 0.88 x + 1.67$  r= 0.91

Nº de días de precipitación:  $y = 1.26 x + 0.40$  r= 0.98

Estación de referencia: Badajoz

Temperatura media mensual:  $y = 1.09 x + 0.13$  r= 0.99

Temperatura media de las máximas:  $y = 1.05 + 1.63$  r= 0.99

Temperatura media mínima:  $y = 1.14 x - 1.05$  r= 0.99

CUADRO 76  
ESTACION NAVALVILLAR DE PELA (1951-70)

Lat. 39° 05' N. Long. 1° 47' W. Alt. 367 m.

Mes	Precipitación		
	Total mm.	Máx. 24 h	Nº de días
Enero	73.6	23.7	9.0
Febr.	76.5	19.4	8.6
Marzo	80.9	22.6	9.1
Abril	45.0	17.9	6.4
Mayo	42.2	17.4	4.9
Junio	26.0	17.1	3.5
Julio	0.2	3.0	0.4
Agost.	3.4	5.5	1.1
Sept.	33.8	16.9	3.6
Oct.	60.6	22.8	6.5
Nov.	72.2	25.3	7.6
Dic.	77.3	21.8	8.7
Año	591.6	213.3	69.6

Estación de referencia: Acedera

Precipitación media mensual:  $y = 1.04x - 1.08$  r= 0.91

Precipitación máxima en 24 h.:  $y = 0.92x + 2.26$  r= 0.89

Nº de días de precipitación:  $y = 1.11x + 0.12$  r= 0.95

CUADRO 77

ESTACION NOGALES (1951-70)

Lat. 38° 35' N. Long. 3° 04' W. Alt. 451 m.

Mes	Precipitación									
	Total mm.	Sn-1	c.v.	Máx. 24 h	Sn-1	c.v.	Nº de días	Sn-1	c.v.	
Enero	46.5	38.2	82.2	15.9	11.1	69.8	6.9	5.5	79.7	
Febr.	54.8	46.0	84.0	16.1	12.5	77.5	7.4	6.0	81.4	
Marzo	49.4	30.0	60.8	16.0	8.9	55.6	7.4	3.7	51.1	
Abrial	33.8	20.7	61.1	13.3	8.3	62.1	5.4	3.0	55.0	
Mayo	23.8	18.1	76.1	11.7	8.3	70.6	4.1	2.5	60.1	
Junio	16.4	22.1	135.0	9.7	13.6	140.2	1.7	0.7	120.6	
Julio	5.7	12.7	222.6	3.6	7.5	211.2	0.2	0.7	288.0	
Agost.	6.7	11.2	167.0	6.6	9.8	148.9	0.4	0.8	182.2	
Sept.	15.8	15.0	94.9	9.2	8.4	91.0	1.6	1.2	71.5	
Oct.	42.8	41.5	97.3	15.6	14.8	95.1	5.4	4.9	90.4	
Nov.	51.5	30.0	58.3	18.5	10.0	54.0	6.5	3.8	58.5	
Dic.	50.8	53.9	106.2	17.2	10.2	59.6	5.8	4.2	71.6	
Año	397.8			153.5			53.0			

CUADRO 78

ESTACION NOVELDA DE GUADIANA

Lat. 38° 57' N. Long. 3° 08' W. Alt. 203 m.

Mes	Precipitación (1964-70)			Temperatura ° C.(1965-70)		
	Total mm.	Máx. 24 h	Nº de días	Media		
				Mensual	Máx.	Mín.
Enero	74.4	21.2	8.1	8.0	12.7	3.2
Febr.	76.3	19.8	8.2	8.8	13.9	3.6
Marzo	70.8	22.2	8.2	11.5	16.8	6.0
Abril	38.8	13.9	5.5	14.1	20.2	7.9
Mayo	32.4	14.2	4.7	18.1	24.9	11.3
Junio	22.7	13.8	2.8	22.0	29.4	14.8
Julio	2.6	3.4	0.6	25.2	33.4	17.0
Agost.	4.8	5.0	0.7	24.6	32.4	16.8
Sept.	26.1	15.0	2.9	21.7	28.4	15.2
Oct.	62.5	21.9	5.9	17.2	22.9	11.5
Nov.	78.4	25.2	7.8	11.6	16.4	6.6
Dic.	63.3	20.1	7.4	7.9	12.5	3.3
Año	553.1	195.9	62.8	15.9	22.0	9.8

Estación de referencia: Badajoz

Precipitación media mensual:  $y = 1.05x - 0.86$   $r = 0.88$

Precipitación máxima en 24 h.:  $y = 0.96x + 0.70$   $r = 0.87$

Nº de días de precipitación:  $y = 0.74x + 0.08$   $r = 0.92$

Temperatura media mensual:  $y = 1.03x - 1.49$   $r = 0.99$

Temperatura media de las máximas:  $y = 1.01x - 0.84$   $r = 0.99$

Temperatura media mínima:  $y = 1.08x - 2.25$   $r = 0.99$

CUADRO 79

ESTACION OLIVA DE LA FRONTERA (1956-70)

Lat. 38° 17' N. Long. 3° 14' W. Alt. 379 m.

Mes	Precipitación			Temperatura ° C.		
	Total mm.	Máx. 24 h	Nº de días	Media		
				Mensual	Máx.	Mín.
Enero	95.4	29.5	7.9	8.9	14.2	3.6
Febr.	98.9	26.4	7.7	9.6	15.4	3.7
Marzo	103.0	32.1	7.7	11.8	17.7	6.0
Abril	60.6	22.2	5.2	14.3	21.0	7.6
Mayo	50.7	22.3	4.2	18.5	26.1	11.0
Junio	30.0	17.9	2.7	22.4	30.3	14.4
Julio	4.3	6.9	0.2	25.8	34.8	17.0
Agost.	4.2	6.6	0.3	26.4	35.5	17.3
Sept.	31.4	21.1	2.8	23.5	31.4	15.7
Oct.	89.4	29.8	5.5	18.5	25.0	12.1
Nov.	93.9	32.5	7.3	12.4	17.9	7.0
Dic.	94.4	31.3	6.9	9.3	14.9	3.7
Año	756.1	278.5	58.2	16.8	23.7	9.9

Estación de referencia: Villanueva del Fresno

Precipitación media mensual:  $y = 1.04 x + 1.25$  r= 0.97

Precipitación máxima en 24 h.:  $y = 0.96 x + 4.09$  r= 0.95

Nº de días de precipitación:  $y = 0.70 x - 0.10$  r= 0.99

Estación de referencia: Jerez de los Caballeros

Temperatura media mensual:  $y = 1.05 x + 0.10$  r= 0.99

Temperatura media de las máximas:  $y = 1.04 + 0.83$  r= 0.99

Temperatura media mínima:  $y = 1.07 x - 0.46$  r= 0.99

CUADRO 80

ESTACION OLIVENZA

Lat. 38° 41' N. Long. 3° 25' W. Alt. 260 m.

Mes	Precipitación (1963-70)			Temperatura ° C.(1966-70)		
	Total mm.	Máx. 24 h	Nº de días	Mensual	Máx.	Mín.
Enero	77.4	27.8	6.0	8.9	13.4	4.5
Febr.	81.2	20.9	6.8	9.7	14.5	5.0
Marzo	79.7	24.1	6.7	12.4	17.5	7.4
Abrial	40.6	12.8	4.7	15.1	21.1	9.2
Mayo	37.1	14.4	4.5	19.2	25.9	12.6
Junio	16.6	9.7	2.6	23.2	30.6	16.1
Julio	0.8	3.5	0	26.5	34.6	18.2
Agost.	0	1.7	0.2	25.9	33.6	18.1
Sept.	24.5	12.3	2.5	22.9	29.5	16.5
Oct.	69.7	18.9	6.0	18.3	23.9	12.8
Nov.	82.4	27.6	6.6	12.5	17.2	7.9
Dic.	74.2	19.1	6.7	8.9	13.2	4.7
Año	584.1	193.8	53.4	17.0	22.9	11.1

Estación de referencia: Valverde de Leganés

Precipitación media mensual:  $y = 1.12x - 5.93$  r= 0.85

Precipitación máxima en 24 h.:  $y = 1.09x - 2.88$  r= 0.90

Nº de días de precipitación:  $y = 1.22x - 0.63$  r= 0.85

Estación de referencia: Badajoz

Temperatura media mensual:  $y = 1.06x - 0.86$  r= 0.99

Temperatura media de las máximas:  $y = 1.04x - 0.61$  r= 0.99

Temperatura media mínima:  $y = 1.08x - 0.88$  r= 0.97

CUADRO 81  
ESTACION PALLARES (1951 70)

Lat. 38º 07' N. Long. 2º 28' W. Alt. 540 m.

Mes	Precipitación		
	Total mm.	Máx. 24 h	Nº de días
Enero	101.7	32.0	8.0
Febr.	92.6	26.4	8.8
Marzo	88.8	19.2	8.6
Abril	53.4	19.4	5.7
Mayo	36.8	16.3	4.2
Junio	30.7	18.9	3.0
Julio	10.6	7.3	0.7
Agost.	8.7	5.9	0.8
Sept.	25.8	16.6	2.2
Oct.	65.2	24.3	5.7
Nov.	96.6	34.7	7.8
Dic.	97.7	35.9	7.3
Año	708.6	267.0	62.8

Estación de referencia: Fregenal de la Sierra

Precipitación media mensual:  $y = 0.92 x + 5.67$   $r = 0.98$

Precipitación máxima en 24 h.:  $y = 1.08 x + 1.21$   $r = 0.92$

Nº de días de precipitación:  $y = 0.84 x + 0.37$   $r = 0.99$

CUADRO 82

ESTACION PANTANO DE CORNALVO (1951-70)

Lat. 39° 00' N. Long. 2° 30' W. Alt. 339 m.

Mes	Precipitación								
	Total mm.	Sn-1	c.v.	Máx. 24 h	Sn-1	c.v.	Nº de días	Sn-1	c.v.
Enero	74.8	55.3	73.9	23.7	11.8	49.8	7.7	5.5	71.4
Febr.	67.0	49.9	74.5	17.8	9.3	52.2	7.6	5.2	68.4
Marzo	70.6	47.3	66.9	20.9	10.3	49.1	7.2	3.7	50.8
Abril	41.1	34.0	82.8	17.2	11.1	64.5	4.9	2.9	59.2
Mayo	34.3	28.0	81.7	14.7	9.2	62.3	4 0	3.0	72.8
Junio	22.2	23.2	104.7	13.0	13.3	102.0	2.4	2.0	82.5
Julio	2.5	6.5	260.4	1.8	3.6	204.0	0.3	0.8	234.4
Agost.	8.0	15.3	190.6	7.7	14.6	190.4	0.7	0.7	94.3
Sept.	30.4	25.4	83.6	16.6	14.0	84.4	2.8	2.1	73.9
Oct.	56.4	44.8	79.4	18.6	12.6	67.6	5.5	3.6	65.8
Nov.	74.3	52.5	70.6	24.5	15.4	63.0	7.4	4.0	54.1
Dic.	63.8	53.8	84.4	18.0	11.0	61.2	6.8	4.8	69.3
Año	545.4			194.5			57.5		

CUADRO 83

ESTACION PANTANO DE ORELLANA

Lat. 38° 59' N. Long. 1° 50' W. Alt. 326 m.

Mes	Precipitación (1961-70)			Temperatura ° C.(1965-70)		
	Total mm.	Máx. 24 h	Nº de días	Media		
				Mensual	Máx.	Mín.
Enero	80.2	25.4	9.1	9.1	13.0	5.3
Febr.	81.5	21.8	8.5	9.4	13.8	5.0
Marzo	72.5	25.4	8.3	11.8	16.8	6.8
Abrial	49.6	16.1	6.0	14.8	20.4	9.1
Mayo	41.2	17.3	5.0	19.4	25.8	12.8
Junio	26.9	16.9	3.0	23.0	29.8	16.2
Julio	2.4	2.9	0.6	27.1	34.6	19.6
Agost.	4.7	4.9	0.8	26.5	33.6	19.3
Sept.	32.6	17.0	3.4	23.2	29.4	16.9
Oct.	60.4	18.6	6.7	18.0	23.2	12.8
Nov.	84.3	26.8	8.4	12.2	16.3	8.2
Dic.	75.1	12.7	7.0	8.6	12.3	4.8
Año	611.5	215.8	66.6	16.9	22.4	11.4

Estación de referencia: Esparragosa del Caudillo

Precipitación media mensual:  $y = 1.05x - 1.72$  r= 0.98

Precipitación máxima en 24 h.:  $y = 1.05x - 1.24$  r= 0.95

Nº de días de precipitación:  $y = 1.08x + 0.34$  r= 0.98

Estación de referencia: Zarza-capilla

Temperatura media mensual:  $y = 0.92x + 1.57$  r= 0.99

Temperatura media de las máximas:  $y = 0.91x + 2.38$  r= 0.99

Temperatura media mínima:  $y = 0.92x + 0.85$  r= 0.99

CUADRO 84  
ESTACION PANTANO DE PROSERPINA (1961-70)

Lat. 38° 51' N. Long. 2° 40' W. Alt. 224 m.

Mes	Precipitación		
	Total mm.	Máx. 24 h	Nº de días
Enero	74.7	19.3	9.4
Febr.	69.3	18.2	7.9
Marzo	72.6	19.0	8.3
Abril	46.6	14.9	5.8
Mayo	40.2	13.2	5.9
Junio	28.8	14.9	3.0
Julio	4.4	2.6	0.8
Agost.	10.1	7.7	1.3
Sept.	32.2	17.1	2.9
Oct.	60.2	18.3	6.6
Nov.	79.6	23.3	8.2
Dic.	68.3	16.8	7.6
Año	587.0	185.4	67.8

Estación de referencia: Esparragalejo

Precipitación media mensual:  $y = 0.99 x + 2.86$  r= 0.94

Precipitación máxima en 24 h.:  $y = 0.83 x + 1.99$  r= 0.89

Nº de días de precipitación:  $y = 0.96 x + 0.34$  r= 0.95

CUADRO 85  
ESTACION PANTANO DE ZUJAR (1961-70)

Lat. 38º 55' N. Long. 1º 47' W. Alt. 333 m.

Mes	Precipitación		
	Total mm.	Máx. 24 h	Nº de días
Enero	55.5	17.4	9.6
Febr.	55.0	15.9	9.6
Marzo	53.6	17.6	9.0
Abril	35.4	12.6	7.4
Mayo	30.8	12.7	5.6
Junio	20.5	11.7	3.6
Julio	8.0	5.2	0.7
Agost.	7.4	4.7	0.8
Sept.	26.9	16.9	3.4
Oct.	43.0	14.0	7.1
Nov.	52.2	19.4	8.0
Dic.	53.7	15.5	8.6
Año	441.8	163.5	73.6

Estación de referencia: Magacela

Precipitación media mensual:  $y = 0.82x + 3.61$  r= 0.86

Precipitación máxima en 24 h.:  $y = 0.77x + 1.72$  r= 0.77

Nº de días de precipitación:  $y = 1.26x + 0.32$  r= 0.95

CUADRO 86

ESTACION PEÑALSORDO (1951-70)

Lat. 38° 49' N. Long. 1° 26' W. Alt. 807 m.

Mes	Precipitación									
	Total mm.	Sn-1	c.v.	Máx. 24 h	Sn-1	c.v.	Nº de días	Sn-1	c.v.	
Enero	71.3	59.9	84.1	21.3	11.1	52.0	7.3	5.3	72.0	
Febr.	78.3	70.6	90.2	22.5	17.5	77.6	7.3	5.1	70.0	
Marzo	61.8	40.1	64.8	18.8	8.7	46.1	7.8	4.0	50.7	
Abrial	55.3	47.0	85.1	24.2	21.9	90.3	5.0	2.1	41.8	
Mayo	31.0	22.3	72.1	12.7	9.3	73.2	4.4	3.5	80.6	
Junio	28.6	27.7	94.1	15.3	14.1	92.2	2.8	2.1	74.2	
Julio	7.5	12.4	165.6	6.7	11.3	170.1	0.7	1.0	147.1	
Agost.	3.8	9.3	245.4	3.8	9.3	245.4	0.5	0.5	108.5	
Sept.	28.6	25.8	90.2	15.7	15.7	100.3	3.2	2.4	74.7	
Oct.	61.2	56.4	92.3	22.7	15.9	69.9	5.6	4.0	72.0	
Nov.	79.5	55.8	70.2	27.4	17.6	64.0	6.8	3.2	47.7	
Dic.	76.1	75.1	98.6	22.9	16.5	72.1	6.9	4.2	61.7	
Año	441.8			214.0			58.0			

CUADRO 87  
ESTACION PRESA DE MONTIJO (1951-70)

Lat. 38º 55' N. Long. 2º 44' W. Alt. 205 m.

Mes	Precipitación		
	Total mm.	Máx. 24 h	Nº de días
Enero	74.8	17.9	9.0
Febr.	69.1	16.9	9.6
Marzo	72.6	17.6	10.2
Abril	45.0	13.8	6.7
Mayo	38.2	12.1	5.6
Junio	26.0	13.8	3.3
Julio	0.1	2.1	0.6
Agost.	6.2	7.0	0.7
Sept.	29.7	15.8	3.3
Oct.	59.4	16.9	7.2
Nov.	80.1	21.7	9.9
Dic.	68.0	15.5	8.9
Año	569.4	171.2	75.1

Estación de referencia: Esparragalejo

Precipitación media mensual:  $y = 1.05 x - 1.56$  r= 0.91

Precipitación máxima en 24 h.:  $y = 0.78 x + 1.57$  r= 0.89

Nº de días de precipitación:  $y = 0.24 x - 0.01$  r= 0.95

CUADRO 88  
ESTACION PUEBLA DE ALCollarin (1965-70)

Lat. 39° 06' N. Long. 2° 07' W. Alt. 270 m.

Mes	Precipitación		
	Total mm.	Máx. 24 h	Nº de días
Enero	72.1	21.0	9.5
Febr.	72.3	19.1	10.8
Marzo	71.8	19.4	10.1
Abrial	43.5	14.7	7.4
Mayo	35.0	14.8	5.6
Junio	25.2	15.6	2.8
Julio	4.6	4.5	0.9
Agost.	11.1	10.1	1.6
Sept.	35.4	17.1	3.8
Oct.	59.7	19.6	8.4
Nov.	80.0	23.6	10.1
Dic.	65.6	20.7	7.5
Año	576.4	200.3	78.5

Estación de referencia: Medellín

Precipitación media mensual:  $y = 1.03 x + 1.53$   $r = 0.83$

Precipitación máxima en 24 h.:  $y = 0.93 x + 2.31$   $r = 0.75$

Nº de días de precipitación:  $y = 1.32 x + 0.36$   $r = 0.95$

CUADRO 89

ESTACION PUEBLA DE LA CALZADA (1951-70)

Lat. 38° 54' N. Long. 2° 58' W. Alt. 191 m.

Mes	Precipitación								
	Total mm.	Sn-1	c.v.	Máx. 24 h	Sn-1	c.v.	Nº de días	Sn-1	c.v.
Enero	57.0	42.9	75.3	18.1	10.3	56.9	7.3	4.9	57.5
Febr.	61.3	44.3	72.3	18.8	9.4	49.8	7.8	4.8	61.8
Marzo	62.9	38.0	60.5	18.1	9.5	52.6	8.2	3.2	39.2
Abril	34.6	27.5	79.4	13.6	9.8	72.0	5.4	2.8	52.2
Mayo	42.0	47.4	113.0	15.7	11.2	71.1	4.5	3.0	65.6
Junio	18.6	18.3	98.5	11.5	10.2	88.6	2.6	1.6	60.4
Julio	5.4	12.8	238.5	4.8	12.7	263.9	0.4	0.7	153.3
Agost.	3.5	8.0	226.1	3.2	7.8	245.6	0.6	0.9	146.7
Sept.	24.2	17.4	72.2	14.0	9.8	70.2	2.7	1.7	62.6
Oct.	56.8	38.6	67.9	22	12.9	58.7	5.8	4.3	73.0
Nov.	62.8	41.7	66.4	21.2	14.8	69.7	8	3.4	42.5
Dic.	55.0	48.3	87.9	16.4	9.9	60.4	7.2	3.6	50.1
Año	484.0			177.4			60.6		

CUADRO 90

ESTACION PUEBLA DE LA REINA (1951-70)

Lat. 38° 40' N. Long. 2° 23' W. Alt. 376 m.

Mes	Precipitación								
	Total mm.	Sn-1	c.v.	Máx. 24 h	Sn-1	c.v.	Nº de días	Sn-1	c.v.
Enero	66.8	47.2	70.6	21.0	13.5	64.1	7.7	5.0	64.6
Febr.	58.8	45.2	76.9	19.8	13.8	69.4	6.4	4.2	65.2
Marzo	67.3	37.3	55.4	19.6	9.0	45.7	7.7	3.4	44.4
Abril	41.1	30.6	74.4	14.9	11.7	78.5	6	2.9	49.0
Mayo	37.7	30.6	81.0	16.1	9.7	60.2	4.6	3.0	64.8
Junio	34.0	32.4	95.4	19.6	15.8	80.6	2.4	1.7	70.6
Julio	1.5	3.7	246.0	1.5	3.7	246.0	0.2	0.4	176.0
Agost.	7.9	15.3	192.8	7.4	14.8	198.8	0.6	0.8	125.0
Sept.	29.2	29.4	100.7	18.5	18.2	98.3	2.3	1.6	69.1
Oct.	53.7	39.4	73.4	18.5	12.0	65.1	6.1	3.9	63.6
Nov.	68.1	52.1	76.5	23.3	14.9	63.9	6.6	3.6	54.4
Dic.	68.2	62.4	91.5	21.0	12.6	60.0	6.4	4.0	62.8
Año	534.4			201.3			57.1		

CUADRO 91  
ESTACION PUEBLA DEL MAESTRE (1951-70)

Lat. 38° 05' N. Long. 2° 23' W. Alt. 553 m.

Mes	Precipitación		
	Total mm.	Máx. 24 h	Nº de días
Enero	87.3	28.2	6.1
Febr.	80.5	26.8	6.1
Marzo	93.6	32.9	6.1
Abril	60.5	22.6	4.2
Mayo	38.8	16.9	3.4
Junio	36.9	24.0	2.4
Julio	2.8	4.5	0.2
Agost.	1.0	3.4	0.2
Sept.	29.3	22.1	1.9
Oct.	71.4	32.3	4.6
Nov.	84.7	31.4	5.9
Dic.	85.3	28.9	5.7
Año	672.0	274.2	47.0

Estación de referencia: Casas de Reina

Precipitación media mensual:  $y = 1.01 x - 2.27$  r= 0.93

Precipitación máxima en 24 h.:  $y = 1.17 x - 0.15$  r= 0.90

Nº de días de precipitación:  $y = 0.61 x - 0.20$  r= 0.96

CUADRO 92

ESTACION PUEBLA DEL PRIOR (1951-70)

Lat. 38° 34' N. Long. 2° 30' W. Alt. 371 m.

Mes	Precipitación								
	Total mm.	Sn-1	c.v.	Máx. 24 h	Sn-1	c.v.	Nº de días	Sn-1	c.v.
Enero	55.6	58.2	104.7	20.0	18.7	93.3	8.6	5.2	60.4
Febr.	57.6	45.7	79.3	14.9	9.3	62.8	9.0	5.6	62.0
Marzo	52.1	26.2	50.2	17.2	7.7	45.0	8.5	3.8	45.1
Abrial	33.6	24.7	73.6	14.0	9.0	64.1	6.7	2.8	41.9
Mayo	33.0	29.0	87.9	15.7	13.0	82.9	5.4	3.9	73.0
Junio	23.0	22.3	96.7	13.6	13.1	96.8	3.0	1.8	61.7
Julio	1.1	2.3	201.8	3.2	5.3	162.3	0.4	0.7	191.4
Agost.	4.6	10.0	214.0	4.1	8.7	210.6	0.8	1.0	125.0
Sept.	24.2	22.8	94.2	15.6	13.2	84.4	2.6	2.0	79.1
Oct.	48.9	36.4	74.4	15.7	9.9	62.9	7.0	3.5	49.1
Nov.	65.2	41.4	63.6	23.4	15.9	68.0	8.7	4.3	49.5
Dic.	52.2	48.0	91.9	17.4	8.6	49.5	7.6	3.9	51.7
Año	451.1		174.8			68.2			

CUADRO 93

ESTACION PUERTO HURRACO (1951-70)

Lat. 38° 38' N. Long. 1° 51' W. Alt. 600 m.

Mes	Precipitación								
	Total mm.	Sn-1	c.v.	Máx. 24 h	Sn-1	c.v.	Nº de días	Sn-1	c.v.
Enero	68.4	59.2	86.6	22.5	14.0	62.3	8.4	5.7	67.9
Febr.	69.8	57.3	82.1	18.8	11.3	60.3	8.0	5.0	62.0
Marzo	68.8	45.2	65.7	22.1	13.7	62.2	9.0	4.3	47.8
Abril	51.9	38.0	73.2	17.8	12.3	69.1	6.6	3.3	50.8
Mayo	40.3	26.0	64.6	16.4	6.8	41.5	5.6	3.4	61.1
Junio	29.9	30.1	100.7	16.7	14.0	84.2	2.8	1.8	61.8
Julio	9.1	21.1	232.1	9.1	20.7	227.8	0.6	0.8	125.0
Agost.	4.9	7.0	144.9	5.2	7.0	134.7	0.7	0.7	104.3
Sept.	27.4	25.2	91.8	15.9	16.3	102.1	3.1	2.1	68.4
Oct.	58.2	48.7	83.7	21.9	13.1	59.7	6.2	4.2	68.6
Nov.	77.0	51.8	67.2	27.6	17.7	64.1	7.9	3.6	45.9
Dic.	86.2	71.8	83.4	28.2	20.5	72.9	8.2	4.6	56.3
Año	591.8			222.2			67.0		

CUADRO 94

ESTACION QUINTANA DE LA SERENA (1951-70)

Lat. 38° 45' N. Long. 1° 59' W. Alt. 409 m.

Mes	Precipitación								
	Total mm.	Sn-1	c.v.	Máx. 24 h	Sn-1	c.v.	Nº de días	Sn-1	c.v.
Enero	59.2	40.7	68.8	16.6	10.8	64.7	6.8	4.3	62.4
Febr.	46.8	35.5	75.9	17.2	10.0	58.2	6	3.7	62.0
Marzo	59.2	34.7	58.6	19.6	11.0	56.2	7.2	3.6	50.5
Abril	43.2	32.4	75.0	15.5	10.4	67.4	5.6	2.6	46.4
Mayo	35.4	22.2	62.7	17.4	8.5	49.1	4.6	2.9	63.1
Junio	26.0	24.1	92.6	13.4	12.6	93.8	2.8	2.0	72.1
Julio	5.0	9.7	193.6	5.6	9.2	163.6	0.5	0.7	132.1
Agost.	3.7	5.8	156.2	3.9	4.9	125.6	0.6	0.7	113.0
Sept.	25.2	23.7	94.1	13.3	12.3	92.3	3.1	3.1	98.7
Oct.	43.8	44.1	100.8	15.1	13.0	86.2	4.8	3.3	69.4
Nov.	54.6	36.4	66.8	19.8	12.0	60.7	5.9	3.5	59.6
Dic.	54.8	50.7	92.4	18.0	11.3	62.7	6	3.8	63.8
Año	456.9			175.5			54.0		

CUADRO 95

ESTACION REINA (1951-70)

Lat. 38° 11' N. Long. 2° 16' W. Alt. 705 m.

Mes	Precipitación								
	Total mm.	Sn-1	c.v.	Máx. 24 h	Sn-1	c.v.	Nº de días	Sn-1	c.v.
Enero	94.5	80.1	84.8	28.4	15.9	55.8	8.0	5.4	66.8
Febr.	86.7	57.0	65.7	27.7	13.9	50.1	8.4	5.3	63.6
Marzo	96.9	43.0	44.4	30.9	15.3	49.5	8.1	3.8	46.7
Abrial	67.0	61.8	92.2	23.0	19.7	85.9	6.5	3.4	51.9
Mayo	43.4	33.9	78.2	18.9	13.5	71.3	4.5	3.0	67.1
Junio	29.8	32.0	107.6	18.0	17.4	96.5	2.6	1.7	67.4
Julio	4.3	11.5	268.4	5.8	11.8	202.9	0.3	0.4	173.1
Agost.	1.4	2.3	163.6	1.7	2.6	153.8	0.4	0.8	183.3
Sept.	32.8	29.8	90.6	21.2	19.9	94.1	2.3	1.4	62.5
Oct.	72.4	58.4	80.7	29.9	22.7	75.7	6.1	4.4	72.8
Nov.	91.2	69.5	76.2	29.6	18.8	63.5	7.3	4.0	54.2
Dic.	101.6	91.8	90.4	29.5	18.7	63.4	7.2	4.5	62.5
Año	722.1			264.6			61.8		

CUADRO 96  
ESTACION RETAMAL DE LLERENA (1951-70)

Lat. 38° 35' N. Long. 2° 09' W. Alt. 467 m.

Mes	Precipitación		
	Total mm.	Máx. 24 h	Nº de días
Enero	64.9	16.0	6.1
Febr.	56.6	15.1	5.1
Marzo	65.4	14.9	6.1
Abril	38.4	11.3	4.8
Mayo	34.9	12.3	3.7
Junio	31.0	15.0	2.2
Julio	0	1.1	0.5
Agost.	4.2	5.6	0.8
Sept.	26.1	14.1	2.0
Oct.	51.4	14.1	4.9
Nov.	66.3	17.8	5.3
Dic.	66.3	16.0	5.1
Año	505.6	153.4	46.7

Estación de referencia: Puebla de la Reina

Precipitación media mensual:  $y = 1.03 x - 4.01$   $r = 0.94$

Precipitación máxima en 24 h.:  $y = 0.76 x - 0.01$   $r = 0.90$

Nº de días de precipitación:  $y = 0.75 x + 0.32$   $r = 0.95$

CUADRO 97

ESTACION RISCO (1951-70)

Lat. 38° 54' N. Long. 1° 26' W. Alt. 497 m.

Mes	Precipitación								
	Total mm.	Sn-1	c.v.	Máx. 24 h	Sn-1	c.v.	Nº de días	Sn-1	c.v.
Enero	68.7	62.2	90.6	16.4	16.6	64.8	8.8	6.9	78.1
Febr.	68.9	60.7	88.2	17.0	10.8	63.5	8.1	6.5	80.1
Marzo	74.8	55.5	74.2	22.5	16.7	74.4	8.6	4.8	55.4
Abril	53.0	40.8	77.0	17.5	14.2	81.1	6.9	4.2	61.6
Mayo	34.4	30.7	89.1	13.5	8.7	64.6	4.6	3.3	71.7
Junio	29.0	19.3	66.5	14.2	10.5	73.9	3.5	2.6	73.7
Julio	2.3	4.2	131.4	2.2	3.7	169.5	0.6	0.8	149.1
Agost.	5.1	10.4	204.5	5.4	10.3	189.5	0.4	0.6	162.2
Sept.	29.1	25.0	85.9	14.3	13.7	95.7	3.4	3.1	90.3
Oct.	62.9	49.8	79.3	18.5	11.1	59.9	6.5	4.0	61.8
Nov.	66.7	46.6	69.9	19.9	14.5	73.2	7.8	4.6	58.2
Dic.	65.5	64.3	98.1	20.2	13.9	68.8	6.7	3.6	54.2
Año	560.1			181.6			65.9		

-1356-

CUADRO 98

ESTACION SALVALEON

Lat. 38° 31' N. Long. 3° 06' W. Alt. 519 m.

Mes	Precipitación (1951-70)								
	Total mm.	Sn-1	c.v.	Máx. 24 h	Sn-1	c.v.	Nº de días	Sn-1	c.v.
Enero	104.2	80.1	76.9	25.8	13.7	53.3	9	5.2	57.4
Febr.	111	91.9	82.8	25.9	14.8	57.3	8.3	4.9	59.2
Marzo	103.9	62.4	60.0	26.0	11.8	45.4	8.7	3.9	44.5
Abrial	58.6	40.6	69.3	18.9	11.7	61.9	6.3	3.4	54.3
Mayo	43.8	32.4	73.8	17.7	10.6	59.6	4.8	3.6	76.0
Junio	29.3	28.9	98.7	15.1	13.4	89.2	3.0	2.0	66.4
Julio	2.8	7.4	263.8	3.9	7.7	197.2	0.2	0.4	223.5
Agost.	4.6	8.2	181.3	4.4	8.2	185.4	0.4	0.6	145.2
Sept.	26.0	22.1	84.8	14.1	9.9	70.0	2.6	1.9	74.2
Oct.	71.8	56.6	78.8	21.4	11.5	53.6	6.9	4.3	62.6
Nov.	92.7	55.2	59.6	28.1	16.0	57.0	7.9	4.5	56.8
Dic.	99.4	70.9	71.4	26.5	12.7	48.0	8.4	5.1	60.6
Año	748.0			227.8			66.4		

Mes	Temperatura ° C. (1967-70)		
	Mensual	Media Máx.	Mín.
Enero	6.8	10.2	3.4
Febr.	7.5	11.5	3.5
Marzo	10.0	14.0	5.9
Abrial	12.7	17.6	7.6
Mayo	17.3	23.0	11.1
Junio	21.4	27.6	14.6
Julio	25.1	32.4	17.3
Agost.	25.8	33.1	17.6
Sept.	22.7	28.7	16.0
Oct.	17.2	21.9	12.2
Nov.	10.6	14.2	7.0
Dic.	7.2	11.0	3.5
Año	15.4	20.4	10.0

Estación de referencia: Jerez de los Caballeros  
 Temperatura media mensual:  $y = 1.14x - 2.79$  r= 0.99  
 Temperatura media de las máximas:  $y = 1.12x - 4.18$  r= 0.99  
 Temperatura media mínima:  $y = 1.11x - 0.82$  r= 0.99

CUADRO 99

ESTACION SAN FRANCISCO DE OLIVENZA

Lat. 38° 45' N. Long. 3° 26' W. Alt. 185 m.

Mes	Precipitación (1963-70)			Temperatura ° C.(1964-70)		
	Total mm.	Máx. 24 h	Nº de días	Media		
				Mensual	Máx.	Mín.
Enero	84.1	30.3	8.6	7.8	11.9	3.7
Febr.	88.0	23.1	9.6	8.9	13.0	4.1
Marzo	86.5	26.4	9.6	11.2	16.1	6.4
Abril	45.8	14.8	6.9	13.9	19.6	8.2
Mayo	42.3	16.4	6.5	18.0	24.5	11.5
Junio	20.9	11.6	4.0	21.9	29.2	14.8
Julio	4.5	5.2	0.3	25.2	33.4	16.9
Agost.	3.0	3.4	0.7	24.6	32.4	16.7
Sept.	29.2	14.3	3.8	21.6	28.2	15.2
Oct.	76.1	22.2	8.7	17.1	22.5	11.6
Nov.	89.2	30.0	9.5	11.3	15.7	6.9
Dic.	80.8	21.3	9.6	7.6	11.6	3.8
Año	650.3	219.0	77.7	15.7	21.5	10.0

Estación de referencia: Valverde de Leganés

Precipitación media mensual:  $y = 1.16 x - 2.43$  r= 0.88

Precipitación máxima en 24 h.:  $y = 1.12 x - 1.3$  r= 0.89

Nº de días de precipitación:  $y = 1.66 x - 0.39$  r= 0.91

Estación de referencia: Badajoz

Temperatura media mensual:  $y = 1.05 x - 1.88$  r= 0.99

Temperatura media de las máximas:  $y = 1.05 x - 2.27$  r= 0.99

Temperatura media mínima:  $y = 1.04 x - 1.57$  r= 0.99

CUADRO 100

ESTACION SAN VICENTE DE ALCANTARA (1951-70)

Lat. 39° 22' N. Long. 3° 27' W. Alt. 504 m.

Mes	Precipitación								
	Total mm.	Sn-1	c.v.	Máx. 24 h	Sn-1	c.v.	Nº de días	Sn-1	c.v.
Enero	121.9	99.1	81.2	32.7	17.2	52.7	9.8	6.1	61.5
Febr.	98.4	71.5	72.6	25.6	13.5	52.8	9.6	6.8	71.7
Marzo	96.9	65.9	68.0	19.0	19.5	102.6	9.0	4.1	45.0
Abril	60.6	41.8	69.0	21.8	14.7	67.7	6.1	3.1	50.7
Mayo	43.2	35.5	82.1	18.5	13.3	71.7	5.2	3.5	68.3
Junio	23.4	28.2	120.4	13.0	14.4	111.3	2.9	2.2	73.1
Julio	4.7	6.9	145.3	4.5	6.1	135.3	0.7	0.9	131.4
Agost.	12.2	24.2	198.0	11.5	22.8	198.5	0.7	0.8	108.1
Sept.	39.0	27.5	70.5	21.2	13.6	64.3	4.6	3.3	71.5
Oct.	85.2	64.2	75.4	32.4	26.9	82.9	7.0	4.6	66.0
Nov.	109.3	73.4	67.1	34.4	20.6	59.8	9.4	4.5	48.2
Dic.	83.0	81.8	98.5	23.7	18.5	78.1	7.5	5.3	70.4
Año	777.8			258.3			72.7		

CUADRO 101  
ESTACION SANCTI SPIRITUS (1951-70)

Lat. 38° 35' N. Long. 1° 28' W. Alt. 485 m.

Mes	Precipitación		
	Total mm.	Máx. 24 h	Nº de días
Enero	61.7	19.2	6.7
Febr.	61.9	19.9	6.2
Marzo	66.8	26.6	6.6
Abril	48.8	20.6	5.3
Mayo	33.5	15.6	3.6
Junio	29.0	16.5	2.9
Julio	7.0	1.9	0.7
Agost.	9.3	5.8	0.6
Sept.	29.1	16.6	2.8
Oct.	56.9	21.7	5.0
Nov.	60.1	23.4	6.0
Dic.	59.1	23.7	5.2
Año	523.3	211.6	51.6

Estación de referencia: Risco

Precipitación media mensual:  $y = 0.82 x + 5.09$  r= 0.84

Precipitación máxima en 24 h.:  $y = 1.21 x - 0.73$  r= 0.82

Nº de días de precipitación:  $y = 0.72 x + 0.33$  r= 0.87

CUADRO 102

ESTACION SANTA AMALIA (1951-70)

Lat. 39° 01' N. Long. 2° 20' W. Alt. 233 m.

Mes	Precipitación								
	Total mm.	Sn-1	c.v.	Máx. 24 h	Sn-1	c.v.	Nº de días	Sn-1	c.v.
Enero	65.9	59.6	90.4	20	11.5	57.7	8.0	5.4	68.0
Febr.	64.2	48.2	75.1	18.6	9.1	48.9	7.6	5.0	65.2
Marzo	58.3	36.0	61.7	19.1	10.7	55.7	7.7	4.1	52.6
Abril	39.0	33.4	85.8	14.7	10.7	72.5	5.7	3.0	55.5
Mayo	32.7	25.4	77.9	13.3	7.7	57.8	4.7	3.8	81.7
Junio	17.9	17.9	99.9	12.5	13.2	106.0	2.2	1.6	70.2
Julio	2.4	4.3	180	2.7	3.9	143.1	0.5	0.8	152.0
Agost.	8.3	13.1	158.2	8.1	13.1	162.7	0.8	0.8	105.3
Sept.	21.0	20.7	98.4	11.4	9.9	86.3	2.9	2.0	69.0
Oct.	50.9	44.1	86.6	18.1	10.9	60.2	5.6	4.1	73.5
Nov.	70.1	53.3	76.0	23.5	15.6	66.4	6.9	3.4	49.1
Dic.	57.0	59.7	104.6	15.9	11.4	71.6	6.2	4.6	73.8
Año	487.8			178.0			58.9		

CUADRO 103  
ESTACION SANTA MARIA DE LA NAVA (1951-56)

Lat. 38° 01' N. Long. 2° 24' W. Alt. 447 m.

Mes	Precipitación		
	Total mm.	Máx. 24 h	Nº de días
Enero	109.3	33.7	8.8
Febr.	98.8	26.7	9.7
Marzo	94.5	30.2	9.5
Abril	53.7	18.0	6.2
Mayo	34.6	14.1	4.5
Junio	27.6	17.4	3.1
Julio	4.5	2.9	0.5
Agost.	2.3	1.2	0.6
Sept.	22.0	14.5	2.2
Oct.	67.3	24.1	6.2
Nov.	103.5	37.1	8.6
Dic.	104.7	38.6	8.0
Año	722.9	258.3	68.0

Estación de referencia: Fregenal de la Sierra

Precipitación media mensual:  $y = 1.03x - 1.16$  r= 0.94

Precipitación máxima en 24 h.:  $y = 1.34x - 4.69$  r= 0.90

Nº de días de precipitación:  $y = 0.96x + 0.12$  r= 0.97

CUADRO 104

ESTACION SANTA MARTA DE LOS BARROS (1951-70)

Lat. 38° 37' N. Long. 2° 56' W. Alt. 327 m.

Mes	Precipitación								
	Total mm.	Sn-1	c.v.	Máx. 24 h	Sn-1	c.v.	Nº de días	Sn-1	c.v.
Enero	57.8	46.4	80.2	20.1	12.4	61.4	7.2	4.6	63.5
Febr.	70.7	61.5	87.0	20.6	14.3	69.6	8.5	5.0	59.1
Marzo	61.2	35.1	57.3	21.8	10.0	46.0	8.5	4.0	47.4
Abril	37.8	22.4	59.3	14.6	6.3	43.4	6.3	3.3	52.1
Mayo	28.4	25.3	89.1	12.4	9.1	73.7	4.2	3.2	77.4
Junio	20.5	23.2	113.4	10.4	9.2	87.7	2.7	2.0	73.3
Julio	5.8	13.3	227.7	6.2	13.2	214.8	0.4	0.6	133.3
Agost.	5.1	10.1	200	4.8	9.9	206.2	0.6	0.7	113.8
Sept.	20.2	18.5	91.2	12.0	10.1	84.3	2.6	1.7	67.8
Oct.	48.1	42.2	85.9	18.6	11.4	61.7	5.6	3.3	59.1
Nov.	68.2	68.2	67.4	24.8	13.7	55.0	7.8	3.7	46.6
Dic.	60	61.7	102.8	19.0	11.8	62.0	7.6	4.3	56.2
Año	484.8			185.2			62.2		

CUADRO 105  
ESTACION SEGURA DE LEON (1959-70)

Lat. 38° 07' N. Long. 2° 50' W. Alt. 700 m.

Mes	Precipitación		
	Total mm.	Máx. 24 h	Nº de días
Enero	110.3	35.3	11.6
Febr.	109.9	27.6	11.6
Marzo	122.5	33.5	12.2
Abril	65.2	20.3	8.7
Mayo	46.6	16.9	6.7
Junio	28.0	11.9	4.4
Julio	4.9	2.7	0.7
Agost.	5.1	2.5	0.9
Sept.	34.1	19.1	4.0
Oct.	85.1	25.5	8.2
Nov.	121.8	31.1	11.4
Dic.	108.7	29.4	10.6
Año	842.2	255.8	91.1

Estación de referencia: Fuentes de León

Precipitación media mensual:  $y = 0.90 x + 2.64$  r= 0.96

Precipitación máxima en 24 h.:  $y = 0.88 x + 0.40$  r= 0.98

Nº de días de precipitación:  $y = 1.04 x + 0.28$  r= 0.99

CUADRO 106

ESTACION SIRUELA (1951-70)

Lat. 38° 47' N. Long. 1° 50' W. Alt. 405 m.

Mes	Precipitación								
	Total mm.	Sn-1	c.v.	Máx. 24 h	Sn-1	c.v.	Nº de días	Sn-1	c.v.
Enero	83.2	66.9	80.4	22.5	13.9	61.9	7.2	5.5	77.5
Febr.	83.0	71.5	86.2	24.9	17.7	71.0	7.2	5.2	71.6
Marzo	82.6	55.2	66.9	24.9	17.2	68.8	7.0	3.9	55.2
Abril	52.9	45.4	85.8	17.6	14.0	79.2	4.9	2.8	56.5
Mayo	45.8	39.5	86.3	22.7	27.5	121.2	4.4	3.5	80.0
Junio	31.1	29.3	94.2	17.5	14.8	84.5	2.6	1.9	71.9
Julio	4.7	11.2	236.4	4.3	10.4	243.2	0.4	0.7	211.4
Agost.	6.8	18.0	262.8	7.5	17.8	236.8	0.2	0.6	220.0
Sept.	33.2	32.7	98.7	19.0	17.2	90.6	2.4	2.1	90.6
Oct.	63.8	57.4	89.9	22.7	11.9	52.4	5.0	4.5	90.9
Nov.	87.6	57.7	65.7	27.1	16.0	59.0	7.0	3.7	52.7
Dic.	84.2	73.6	87.5	25.5	17.0	67.3	6.8	3.7	54.4
Año	658.8			236.2			54.9		

CUADRO 107

ESTACION SOLANA DE LOS BARROS (1951-69)

Lat. 38° 43' N. Long. 2° 51' W. Alt. 266 m.

Mes	Precipitación									
	Total mm.	Sn-1	c.v.	Máx. 24 h	Sn-1	c.v.	Nº de días	Sn-1	c.v.	
Enero	53.6	29.4	54.7	19.5	19.5	48.5	6.6	3.9	58.5	
Febr.	57.8	40.3	69.8	18.0	9.2	51.2	7.4	5.6	76.4	
Marzo	54.7	32.0	58.5	17.8	8.3	46.4	6.9	4.1	60.1	
Abril	35.6	22.9	64.2	16.8	10.9	65.2	4.3	3.1	70.8	
Mayo	31.1	30.6	98.3	11.2	10.4	88.8	4.2	3.6	86.2	
Junio	10.6	15.2	143.0	7.5	9.4	125.4	1.3	1.9	147.3	
Julio	1.4	4.4	312.7	2.4	4.4	128.8	0.2	0.5	294.4	
Agost.	5.2	9.8	187.9	5.0	9.3	187.5	0.4	0.6	163.2	
Sept.	19.1	20.7	108.2	11.7	11.3	96.3	1.9	1.6	86.7	
Oct.	47.2	37.5	79.5	17.2	12.9	75.0	4.7	3.1	65.1	
Nov.	57.4	44.5	77.4	21.5	15.5	138.8	6.9	5.0	72.2	
Dic.	67.4	68.2	101.2	19.1	14.2	74.3	6.7	5.5	82.3	
Año	441.2			168.2			51.5			

CUADRO 108

ESTACION TALARRUBIAS (1951-70)

Lat. 39° 02' N. Long. 1° 33' W. Alt. 435 m.

Mes	Precipitación								
	Total mm.	Sn-1	c.v.	Máx. 24 h	Sn-1	c.v.	Nº de días	Sn-1	c.v.
Enero	81.7	56.2	68.8	25.5	15.1	59.2	7.0	4.4	62.6
Febr.	83.0	61.0	73.5	23.6	12.6	53.1	7.2	4.2	58.9
Marzo	86.7	61.6	71.0	24.9	11.6	46.7	7.8	4.2	54.7
AbriL	57.3	48.8	85.2	19.8	14.7	74.0	5.5	3.3	60.4
Mayo	43.8	36.1	82.5	18.7	12.4	66.3	4.7	3.2	67.7
Junio	25.6	17.8	69.6	16.7	12.6	75.3	3.0	1.5	49.8
Julio	3.6	8.0	223.3	3.3	7.8	234.1	0.4	0.7	191.4
Agost.	7.4	9.9	134.0	7.1	9.4	132.0	0.5	0.7	138.0
Sept.	32.6	27.3	83.9	16.4	13.0	79.3	2.8	1.9	69.3
Oct.	75.3	79.4	105.4	25.3	19.1	75.3	5.8	3.9	66.2
Nov.	87.2	56.0	64.1	28.2	14.7	52.0	6.9	3.5	50.1
Dic.	89.1	80.3	90.1	27.8	20.2	72.6	7	3.9	55.4
Año	673.2			237.6			58.4		

CUADRO 109

ESTACION TAMUREJO (1951-70)

Lat. 38° 59' N. Long. 1° 16' W. Alt. 547 m.

Mes	Precipitación								
	Total mm.	Sn-1	c.v.	Máx. 24 h	Sn-1	c.v.	Nº de días	Sn-1	c.v.
Enero	80.1	66.3	82.8	25.8	15.4	59.6	7.4	5.4	72.9
Febr.	96.2	72.6	75.5	25.3	12.9	51.2	8.2	5.7	69.8
Marzo	97.2	68.5	70.5	27.5	14.9	54.4	8.4	4.2	49.6
Abril	60.5	42.7	70.5	22.2	14.0	63.1	6.4	3.1	48.8
Mayo	48.2	40.2	83.5	17.7	12.2	69.1	6.0	4.4	73.2
Junio	30.9	24.0	78.0	15.8	12.6	80.0	3.5	2.3	65.7
Julio	10.0	15.1	150.7	9.3	12.2	130.7	0.6	0.6	109.1
Agost.	9.2	17.5	191.1	9.2	17.5	191.1	0.5	0.5	102.0
Sept.	34.4	28.8	83.7	17.5	13.1	74.7	3.2	2.1	66.9
Oct.	65.8	61.8	94.0	23.1	15.8	68.4	5.4	3.5	65.6
Nov.	93.2	63.0	67.5	27.4	16.6	60.5	7.7	4.4	56.9
Dic.	91.9	76.8	83.6	31.2	21.3	68.3	6.6	4.3	64.4
Año	717.4			251.9			64.0		

CUADRO 110  
ESTACION TORVISCAL (EL) (1967-70)

Lat. 39° 05' N. Long. 2° 05' W. Alt. 271 m.

Mes	Temperatura ° C.		
	Media		
	Mensual	Máx.	Mín.
Enero	8.7	14.8	2.6
Febr.	8.9	15.7	2.3
Marzo	11.5	19.0	4.1
Abril	14.6	23.0	6.3
Mayo	19.4	29.0	10.0
Junio	23.3	33.5	13.2
Julio	27.6	38.8	16.4
Agost.	26.9	37.7	16.2
Sept.	23.5	33.0	13.9
Oct.	18.0	26.2	9.8
Nov.	12.0	18.5	5.4
Dic.	8.1	14.0	2.2
Año	16.9	25.3	8.5

Estación de referencia: Zarzacapillán

Temperatura media mensual:  $y = 0.97 x + 0.72$   $r = 0.99$

Temperatura media de las máximas:  $y = 1.02 x + 2.96$   $r = 0.99$

Temperatura media mínima:  $y = 0.89 x - 1.65$   $r = 0.98$

CUADRO 111

ESTACION TRASSIERRA (1951-70)

Lat. 38° 11' N. Long. 2° 18' W. Alt. 696 m.

Mes	Precipitación								
	Total mm.	Sn-1	c.v.	Máx. 24 h	Sn-1	c.v.	Nº de días	Sn-1	c.v.
Enero	92.6	83.2	89.8	26.7	16.3	61.1	7.5	4.9	65.1
Febr.	80.0	52.9	66.1	24.9	13.2	53.2	7.8	4.7	59.5
Marzo	83.8	41.7	49.8	29.1	15.1	51.9	6.8	2.6	37.6
Abril	58.1	45.6	78.5	24.0	20.1	83.9	5.5	2.2	40.1
Mayo	38.4	28.0	72.9	16.1	11.7	72.7	4.3	3.1	71.1
Junio	34.7	33.3	96.0	20.3	16.6	81.3	3.5	1.5	59.3
Julio	6.9	15.4	222.1	7.2	14.2	197.2	0.3	0.6	178.8
Agost.	2.0	3.3	168.4	2.5	4.0	159.5	0.5	0.7	153.2
Sept.	32	25.4	79.2	22.0	19.0	86.4	2.4	1.7	70.5
Oct.	72.0	56.6	78.6	28.2	20.1	71.5	4.9	3.1	64.2
Nov.	82.4	45.8	55.6	29.6	13.3	44.9	6.8	3.8	55.3
Dic.	79.6	72.8	91.5	26.6	14.6	55.0	5.5	3.2	57.6
Año	662.4			257.2			54.9		

CUADRO 112  
ESTACION TRUJILLANOS (1955-70)

Lat. 38° 57' N. Long. 2° 34' W. Alt. 262 m.

Mes	Precipitación		
	Total mm.	Máx. 24 h	Nº de días
Enero	77.4	22.2	8.6
Febr.	71.7	21.0	7.1
Marzo	75.2	21.9	7.4
Abril	47.7	17.2	5.0
Mayo	40.9	15.1	5.1
Junio	28.8	17.2	2.4
Julio	3.1	2.9	0.3
Agost.	9.1	8.9	0.7
Sept.	32.4	19.7	2.3
Oct.	62.0	21.0	5.8
Nov.	82.6	26.8	7.4
Dic.	70.6	19.3	6.8
Año	601.5	213.2	59.1

Estación de referencia: Esparragalejo

Precipitación media mensual:  $y = 1.04 x + 1.39$  r= 0.99

Precipitación máxima en 24 h.:  $y = 0.95 x + 2.28$  r= 0.96

Nº de días de precipitación:  $y = 0.92 x - 0.20$  r= 0.98

CUADRO 113

ESTACION USAGRE (1951-70)

Lat. 38° 21' N. Long. 2° 29' W. Alt. 566 m.

Mes	Precipitación								
	Total mm.	Sn-1	c.v.	Máx. 24 h	Sn-1	c.v.	Nº de días	Sn-1	c.v.
Enero	99.8	75.8	76.0	22.8	15.1	66.4	11.0	5.8	52.8
Febr.	103.8	78.4	75.6	24.0	14.4	59.9	11.3	6.2	55.0
Marzo	102.5	62.8	61.3	26.3	13.7	52.1	12.0	5.0	41.1
Abril	60.0	43.4	72.3	18.8	11.1	58.9	7.9	3.6	45.7
Mayo	51.1	62.2	121.6	15.1	10.1	67.1	6.8	4.8	70.5
Junio	46.1	45.8	99.4	19.8	19.6	99.4	3.8	2.6	68.5
Julio	4.0	6.9	173.1	3.6	5.4	148.8	0.6	0.8	124.6
Agost.	7.6	11.7	154.1	3.6	5.5	151.7	1.0	1.2	129.5
Sept.	31.3	30.7	98.0	16.0	13.1	82.3	3.2	2.2	67.7
Oct.	80.3	61.1	78.1	24.9	11.9	47.6	7.7	5.1	65.7
Nov.	105.5	69.2	65.6	27.2	17.2	63.4	10.2	4.8	47.2
Dic.	94.7	85.2	90	22.0	12.9	58.7	10.3	5.4	52.2
Año	786.7			224			85.8		

CUADRO 114  
ESTACION VALDEBOTOA (1965-70)

Lat. 39° 00' N. Long. 3° 14' W. Alt. 201 m.

Mes	Precipitación		
	Total mm.	Máx. 24 h	Nº de días
Enero	62.7	18.7	8.2
Febr.	64.6	17.5	8.4
Marzo	60.0	19.5	8.3
Abril	33.4	12.5	5.5
Mayo	28.0	12.8	4.6
Junio	19.9	12.4	2.6
Julio	3.2	3.6	0.3
Agost.	5.1	4.9	0.4
Sept.	22.8	13.4	2.7
Oct.	53.1	19.3	5.8
Nov.	66.4	22.1	7.9
Dic.	53.8	17.8	7.5
Año	473.0	174.6	62.2

Estación de referencia: Badajoz

Precipitación media mensual:  $y = 0.88 x + 0.36$  r= 0.84

Precipitación máxima en 24 h.:  $y = 0.82 x + 1.25$  r= 0.85

Nº de días de precipitación:  $y = 0.78 x - 0.25$  r= 0.86

CUADRO 115

ESTACION VALDECABALLEROS

Lat. 39° 14' N. Long. 1° 30' W. Alt. 401 m.

Mes	Precipitación (1965-70)			Temperatura ° C.(1966-70)		
	Total mm.	Máx. 24 h	Nº de días	Media		
				Mensual	Máx.	Mín.
Enero	107.4	29.4	10.9	7.1	12.2	2.1
Febr.	113.0	23.3	8.5	7.4	16.4	1.8
Marzo	109.2	28.3	7.4	10.1	16.6	3.7
Abril	57.1	21.5	5.8	13.3	20.6	6.1
Mayo	55.0	21.3	5.8	18.3	26.8	10.0
Junio	34.9	20.4	2.7	22.3	31.3	13.4
Julio	4.9	8.4	0.3	26.8	36.7	16.9
Agost.	7.9	11.3	0.4	26.1	35.7	16.6
Sept.	36.8	18.6	2.9	22.6	30.9	14.1
Oct.	81.8	25.4	6.2	16.9	23.7	9.8
Nov.	93.6	27.3	7.2	10.5	16.0	5.1
Dic.	92.2	23.9	5.8	6.5	11.4	1.6
Año	793.8	259.2	64.0	15.7	23.2	8.4

Estación de referencia: Herrera del Duque

Precipitación media mensual:  $y = 1.07 x - 1.77$  r= 0.75

Precipitación máxima en 24 h.:  $y = 0.90 x + 3.52$  r= 0.57

Nº de días de precipitación:  $y = 0.89 x - 0.50$  r= 0.92

Estación de referencia: Zarza-capilla

Temperatura media mensual:  $y = 1.01 x + 1.14$  r= 0.99

Temperatura media de las máximas:  $y = 1.04 x + 0.18$  r= 0.99

Temperatura media mínima:  $y = 0.95 x - 2.47$  r= 0.98

CUADRO 116

ESTACION VALDETORRES (1951-70)

Lat. 38° 55' N. Long. 2° 23' W. Alt. 239 m.

Mes	Precipitación								
	Total mm.	Sn-1	c.v.	Máx. 24 h	Sn-1	c.v.	Nº de días	Sn-1	c.v.
Enero	64.1	52.1	81.3	18.8	9.7	51.5	6.4	5.2	80.4
Febr.	58.8	46.8	79.7	16.8	8.4	50.4	6.8	5.3	76.9
Marzo	65.3	43.7	66.9	18.8	9.6	51.4	7.0	3.9	55.2
Abrial	38.2	30.1	78.8	16.2	10.5	64.8	5.5	3.9	71.7
Mayo	27.3	18.0	65.7	13.0	6.8	52.3	3.7	2.4	65.0
Junio	20.3	19.4	95.3	12.2	12.1	98.9	2.2	1.5	68.6
Julio	3.6	6.5	182.3	4.4	6.5	148.4	0.4	0.7	164.3
Agost.	9.5	16.4	173.3	9.2	15.5	169.2	0.7	1.0	140.5
Sept.	22.2	18.7	84.4	12.8	9.6	74.8	3.0	3.0	98.4
Oct.	46.2	37.8	81.7	17.3	10.6	61.3	4.7	3.2	68.8
Nov.	71.8	50.9	70.9	25.3	14.6	57.9	6.8	3.5	52.2
Dic.	57.0	56.2	98.6	17.1	13.1	76.6	5.6	3.8	67.8
Año	484.2			181.8			53.0		

CUADRO 117

ESTACION VALDIVIA

Lat. 39° 03' N. Long. 2° 00' W. Alt. 302 m.

Mes	Precipitación (1959-70)			Temperatura ° C.(1963-70)		
	Total mm.	Máx. 24 h	Nº de días	Media		
				Mensual	Máx.	Mín.
Enero	64.7	16.1	7.6	8.2	12.4	4.0
Febr.	64.4	15.1	6.9	8.4	13.2	3.8
Marzo	68.8	16.6	7.1	10.9	16.3	5.5
Abril	39.8	13.6	5.4	13.8	20.0	7.6
Mayo	30.8	10.7	3.7	18.4	25.6	11.2
Junio	20.8	11.9	2.1	22.0	29.7	14.3
Julio	0	0	0	26.1	34.6	17.5
Agost.	0	1.4	0	25.4	33.6	17.2
Sept.	26.0	15.3	2.3	22.2	25.3	15.0
Oct.	64.3	21.6	5.5	17.0	22.9	11.1
Nov.	73.6	22.1	7.5	11.3	15.8	6.8
Dic.	61.4	14.5	7.0	7.6	11.7	3.6
Año	514.6	158.9	55.1	15.9	22.1	9.8

Estación de referencia: Villanueva de la Serena
Precipitación media mensual: $y = 1.19 x - 7.44$ r= 0.91
Precipitación máxima en 24 h.: $y = 1.05 x - 2.28$ r= 0.89
Nº de días de precipitación: $y = 0.85 x - 1.04$ r= 0.96
Estación de referencia: Zarza-capilla
Temperatura media mensual: $y = 0.91 x + 0.69$ r= 0.99
Temperatura media de las máximas: $y = 0.94 x + 1.51$ r= 0.99
Temperatura media mínima: $y = 0.86 x - 0.11$ r= 0.98

CUADRO 118  
ESTACION VALENCIA DE MOMBUEY (1963-70)

Lat. 38° 14' N. Long. 3° 26' W. Alt. 297 m.

Mes	Precipitación		
	Total mm.	Máx. 24 h	Nº de días
Enero	75.3	21.9	7.7
Febr.	79.6	19.5	7.9
Marzo	79.6	22.0	8.2
Abril	45.2	14.6	5.1
Mayo	38.6	11.0	4.2
Junio	23.4	12.4	2.4
Julio	6.7	5.4	0
Agost.	7.3	4.8	0.2
Sept.	26.5	14.3	2.2
Oct.	66.1	19.4	5.5
Nov.	84.1	23.5	7.0
Dic.	87.5	22.3	8.1
Año	619.9	191.1	58.5

Estación de referencia: Jerez de los Caballeros  
Precipitación media mensual:  $y = 0.86 x + 3.51$  r= 0.81  
Precipitación máxima en 24 h.:  $y = 0.79 x + 2.26$  r= 0.80  
Nº de días de precipitación:  $y = 0.77 x - 0.53$  r= 0.91

CUADRO 119

ESTACION VALENCIA DEL VENTOSO (1951-70)

Lat. 38° 16' N. Long. 2° 47' W. Alt. 500 m.

Mes	Precipitación									
	Total mm.	Sn-1	c.v.	Máx. 24 h	Sn-1	c.v.	Nº de días	Sn-1	c.v.	
Enero	70.1	50.6	72.2	21.8	12.6	57.8	10.8	6.0	55.7	
Febr.	67.1	45.7	68.1	18.1	8.5	46.7	10	5.2	51.5	
Marzo	71.9	38.4	53.4	21.5	10.0	46.4	10.2	4.4	43.4	
Abril	43.6	28.5	65.3	13.9	8.3	60.1	7.8	2.5	31.8	
Mayo	30.0	23.1	77.2	12.1	8.5	70.4	5.8	3.6	62.8	
Junio	26.4	25.0	94.9	16.6	16.8	100.6	3.2	2.1	67.0	
Julio	4.5	11.9	267.5	3.2	7.8	239.8	0.6	0.8	136.7	
Agost.	5.2	9.7	186.9	4.1	7.6	185.8	0.7	0.9	122.9	
Sept.	24.5	23.0	94	13.2	11.5	87.7	3.4	2.5	74.0	
Oct.	60.0	47.6	79.4	20.0	11.7	58.5	8.2	4.7	57.8	
Nov.	78.3	48.8	62.4	24.5	14.4	58.8	10.3	4.8	46.6	
Dic.	65.4	53.8	82.3	18.4	11.0	59.6	9.8	5.6	57.5	
Año	546.9			187.4			80.3			

CUADRO 120

ESTACION VALLE DE LA SERENA (1951-70)

Lat. 38° 42' N. Long. 2° 06' W. Alt. 423 m.

Mes	Precipitación									
	Total mm.	Sn-1	c.v.	Máx. 24 h	Sn-1	c.v.	Nº de días	Sn-1	c.v.	
Enero	54.0	42.6	78.9	17.4	10.9	62.5	6.0	4.2	70.9	
Febr.	50.8	42.6	83.8	14.8	8.3	56.5	6.2	3.8	61.4	
Marzo	60.1	40.9	68.1	21.2	14.0	66.0	5.8	2.8	48.3	
Abril	35.6	24.6	66.0	18.1	14.4	79.6	4.0	2.5	61.7	
Mayo	33.1	29.5	89.1	15.3	10.5	68.5	3.8	2.5	66.0	
Junio	21.9	17.4	79.5	14.1	10.9	76.9	2.3	1.4	61.2	
Julio	5.6	14.1	250.5	4.7	13.2	282.3	0.4	0.8	182.2	
Agost.	3.4	4.9	143.2	3.0	4.7	157.4	0.4	0.7	170.0	
Sept.	19.2	18.0	93.6	13.4	12.9	96.2	1.9	1.4	72.1	
Oct.	45.5	37.3	82.0	18.2	13.3	72.7	4.4	3.1	70.5	
Nov.	58.3	44.2	75.7	18.8	9.2	49.1	5.3	3.1	58.8	
Dic.	64.6	61.4	95.2	21.3	13.4	63.1	5.3	3.8	70.7	
Año	452.2			180.3			46.0			

CUADRO 121

ESTACION VALUENGO (19563-70)

Lat. 38° 18' N. Long. 3° 00' W. Alt. 376 m.

Mes	Precipitación			Temperatura ° C.		
	Total mm.	Máx. 24 h	Nº de días	Media		
				Mensual	Máx.	Mín.
Enero	82.4	25.6	9.3	8.6	13.7	3.6
Febr.	87.4	22.6	9.6	9.3	14.9	3.7
Marzo	87.5	25.8	9.9	11.5	17.1	5.9
Abril	47.6	16.4	6.2	13.9	20.4	7.4
Mayo	40.0	11.8	5.1	18.0	25.3	10.7
Junio	22.4	13.5	3.1	21.8	29.5	13.9
Julio	2.9	4.6	0	25.1	33.9	16.4
Agost.	3.7	3.9	0.4	25.7	34.5	16.6
Sept.	25.9	16.0	2.8	23.0	30.5	15.1
Oct.	71.8	22.5	6.7	18.0	24.3	11.7
Nov.	92.6	27.7	8.5	12.0	17.4	6.8
Dic.	96.5	26.1	9.2	9.0	14.5	3.6
Año	660.6	216.5	71.5	16.3	23.0	9.6

Estación de referencia: Jerez de los Caballeros  
Precipitación media mensual:  $y = 1 x - 0.72$  r= 0.88  
Precipitación máxima en 24 h.:  $y = 1.01 x + 0.62$  r= 0.93  
Nº de días de precipitación:  $y = 0.91 x - 0.44$  r= 0.93  
Temperatura media mensual:  $y = 1.03 x - 0.01$  r= 0.99  
Temperatura media de las máximas:  $y = 1.02 + 0.65$  r= 0.99  
Temperatura media mínima:  $y = 1.03 x - 0.37$  r= 0.99

CUADRO 122

ESTACION VALVERDE DE LEGANES (1951-70)

Lat. 38° 40' N. Long. 3° 18' W. Alt. 295 m.

Mes	Precipitación								
	Total mm.	Sn-1	c.v.	Máx. 24 h	Sn-1	c.v.	Nº de días	Sn-1	c.v.
Enero	74.4	53.7	72.1	28.3	12.2	43.0	5.4	4.0	74.4
Febr.	78.8	61.7	79.3	21.9	13.2	60.5	6.0	4.4	72.7
Marzo	76.5	52.7	68.9	24.8	13.1	52.9	6	3.4	57.2
Abril	41.5	31.4	75.6	14.4	8.5	58.9	4.4	2.5	58.1
Mayo	38.5	31.6	82.0	15.9	12.3	77.4	4.2	3.0	71.5
Junio	20.1	17.6	87.5	11.6	11.8	102.5	2.7	2.0	73.5
Julio	6	12.8	214.2	5.8	12.4	212.3	0.4	0.6	145.2
Agost.	4.7	8.2	177.0	4.3	7.9	185.2	0.7	0.9	129.4
Sept.	27.2	24.4	89.6	13.9	13.0	92.9	2.6	1.8	71.1
Oct.	67.6	57.5	85.1	21	13.9	66.1	5.5	4.2	77.0
Nov.	78.9	53.7	68.1	28	16.3	58.2	6.0	3.2	53.8
Dic.	71.6	65.7	91.8	20.3	12.7	63.6	6	4.1	68.3
Año	584.6			210.1			49.8		

CUADRO 123

ESTACION VALVERDE DE LLERENA (1951-70)

Lat. 38° 13' N. Long. 2° 08' W. Alt. 571 m.

Mes	Precipitación								
	Total mm.	Sn-1	c.v.	Máx. 24 h	Sn-1	c.v.	Nº de días	Sn-1	c.v.
Enero	73.8	66.2	89.7	28.1	19.5	69.2	6.7	4.1	61.2
Febr.	74.8	58.4	78.0	23.8	13.2	55.9	7	4.4	62.1
Marzo	83.8	51.7	61.7	29.1	19.2	66.0	8.3	2.8	33.9
Abril	51.3	39.2	76.5	27.6	32.8	118.9	6.1	2.4	39.7
Mayo	41.9	33.1	79.0	17.6	10.5	59.7	4.8	3.3	68.5
Junio	29.5	32.0	108.3	18.1	17.8	98.3	2.4	1.7	69.4
Julio	5.4	18.6	308.4	4.2	9.3	223.2	0.4	0.8	168.9
Agost.	2.7	4.2	154.3	2.6	3.8	147.9	0.5	0.6	122.0
Sept.	30.6	29.6	96.8	18.1	18.8	103.8	2.2	1.6	70.2
Oct.	63.2	41.9	66.3	25.6	13.6	53.3	6.0	3.6	58.7
Nov.	79.1	54.9	69.5	30.8	21.0	68.1	6.6	3.5	53.4
Dic.	78.9	76.8	97.3	27.5	19.3	70.3	6.6	4.0	59.4
Año	615.0			253.0			57.8		

CUADRO 124  
ESTACION VALVERDE DE MERIDA (1966-70)

Lat. 38° 55' N. Long. 2° 32' W. Alt. 267 m.

Mes	Precipitación		
	Total mm.	Máx. 24 h	Nº de días
Enero	59.5	18.6	6.1
Febr.	61.2	19.3	5.6
Marzo	61.0	18.5	5.5
Abril	40.0	16.1	4.2
Mayo	36.5	15.6	3.6
Junio	27.2	15.1	2.1
Julio	10.2	5.4	0.8
Agost.	13.2	8.6	1.0
Sept.	31.2	16.8	2.4
Oct.	52.1	18.4	4.5
Nov.	66.0	23.8	5.6
Dic.	59.8	17.7	5.4
Año	517.9	193.9	46.7

Estación de referencia: Mérida

Precipitación media mensual:  $y = 0.79 x + 8.07$  r= 0.74

Precipitación máxima en 24 h.:  $y = 0.82 x + 3.57$  r= 0.72

Nº de días de precipitación:  $y = 0.53 x + 0.48$  r= 0.86

CUADRO 125

ESTACION VEGAS ALTAS

Lat. 39° 07' N. Long. 1° 52' W. Alt. 295 m.

Mes	Precipitación (1963-70)			Temperatura ° C.(1964-70)		
	Total mm.	Máx. 24 h	Nº de días	Media		
				Mensual	Máx.	Mín.
Enero	57.8	22.7	7.7	8.8	13.5	4.0
Febr.	78.8	18.2	7.4	9.0	14.3	3.7
Marzo	83.4	21.5	7.8	11.4	17.4	5.5
Abril	46.0	16.6	5.4	14.4	21.1	7.8
Mayo	43.1	16.1	4.0	19.1	26.6	11.5
Junio	26.2	15.8	2.8	22.7	30.8	14.8
Julio	0	1.1	0	26.9	35.6	18.1
Agost.	2.6	3.7	0.6	26.2	34.7	17.9
Sept.	34.3	15.6	2.9	22.9	30.3	15.5
Oct.	62.3	21.7	5.5	17.7	24.0	11.4
Nov.	74.4	24.3	6.5	11.9	16.9	6.9
Dic.	79.7	20.7	7.4	8.2	12.7	3.6
Año	606.5	198.0	58.1	16.6	23.1	10.1

Estación de referencia: Acedera

Precipitación media mensual:  $y = 1.09 x - 2.06$  r= 0.83

Precipitación máxima en 24 h.:  $y = 0.96 x + 0.33$  r= 0.84

Nº de días de precipitación:  $y = 1.0 x - 0.26$  r= 0.90

Estación de referencia: Zarza-capilla

Temperatura media mensual:  $y = 0.93 x + 1.14$  r= 0.99

Temperatura media de las máximas:  $y = 0.94 x + 2.53$  r= 0.99

Temperatura media mínima:  $y = 0.91 x - 0.33$  r= 0.99

CUADRO 126

ESTACION VILLAFRANCA DE LOS BARROS (1951-70)

Lat. 38° 34' N. Long. 2° 39' W. Alt. 410 m.

Mes	Precipitación								
	Total mm.	Sn-1	c.v.	Máx. 24 h	Sn-1	c.v.	Nº de días	Sn-1	c.v.
Enero	63.0	44.8	71.1	23.2	13.5	58.2	8.2	5.6	68.8
Febr.	76.8	51.2	66.7	21.8	10.3	47.1	8.7	4.6	54.2
Marzo	57.2	31.8	55.5	18.0	7.6	42.2	7.6	4.6	60.6
Abril	45.9	35.1	76.4	17.3	14.8	85.1	5.7	2.8	49.6
Mayo	46.5	52.7	113.3	24.1	32.6	135.7	4.6	2.9	64.0
Junio	23.4	25.7	109.7	16.0	16.6	103.6	1.9	1.9	97.4
Julio	3.4	6.4	186.0	3.4	6.1	183.0	0.4	0.6	163.2
Agost.	5.4	10.6	194.3	5.0	10.4	210.9	0.4	0.7	173.2
Sept.	24.6	28.1	114.4	16.3	19.2	117.8	1.6	1.6	100.6
Oct.	49.4	40.3	81.7	17.1	11.1	65.1	5.3	3.6	67.9
Nov.	76.4	47.9	62.7	26.3	15.4	58.5	8.3	3.6	43.5
Dic.	60.3	64.2	106.4	18.6	14.6	78.6	6.6	4.4	66.3
Año	532.5			207.0			59.2		

**CUADRO 127**  
**ESTACION VILLAGARCIA DE LA TORRE**

Lat. 38° 18' N. Long. 2° 23' W. Alt. 587 m.

Mes	Precipitación (1951-70)								
	Total mm.	Sn-1	c.v.	Máx. 24 h	Sn-1	c.v.	Nº de días	Sn-1	c.v.
Enero	76.0	64.9	85.4	21.9	11.2	51.1	8.8	5.2	58.4
Febr.	65.8	48.3	73.4	17.3	8.4	48.7	9.7	6.1	62.8
Marzo	68.2	33.4	49.1	21.8	13.5	61.7	8.8	4.4	49.7
Abrial	47.6	33.4	79.2	20.4	17.1	83.9	6.6	3.4	51.4
Mayo	32.6	22.6	69.5	15.1	10.3	67.8	4.6	3.3	73.4
Junio	30.3	34.1	112.4	14.7	14.4	97.8	3.2	2.3	73.4
Julio	2.2	4.5	199.6	3.0	5.3	176.7	0.4	0.6	145.2
Agost.	2.5	5.1	205.7	2.1	4.5	216.3	0.6	0.9	164.3
Sept.	19.7	22.6	114.6	13.9	14.6	105.0	2.1	1.8	84.3
Oct.	58.8	51.0	86.7	24.9	22.9	92.0	6.4	4.5	70.6
Nov.	68.3	47.0	68.8	23.3	14.3	61.2	8.7	3.7	43.7
Dic.	71.6	62.8	87.6	24.2	16.7	69.0	8.2	4.5	55.0
Año	543.6			202.6			67.8		

Mes	Temperatura ° C. (1967-70)		
	Mensual	Media Máx.	Mín.
Enero	6.5	11.3	1.7
Febr.	7.5	12.7	2.4
Marzo	9.9	15.6	4.4
Abrial	12.7	18.9	6.6
Mayo	17.0	24.1	10.1
Junio	21.5	28.6	13.8
Julio	25.6	33.6	17.2
Agost.	25.2	33.0	17.1
Sept.	25.8	28.5	14.8
Oct.	16.6	23.1	10.0
Nov.	10.0	14.7	5.2
Dic.	6.5	11.4	1.7
Año	15.1	21.3	8.8

Estación de referencia: Zafra  
 Temperatura media mensual:  $y = 1.08x - 1.99$  r= 0.99  
 Temperatura media de las máximas:  $y = 1.02x - 0.73$  r= 0.99  
 Temperatura media mínima:  $y = 1.17x - 2.82$  r= 0.99

CUADRO 128

ESTACION VILLAGONZALO (1951-70)

Lat. 38° 52' N. Long. 2° 30' W. Alt. 237 m.

Mes	Precipitación								
	Total mm.	Sn-1	c.v.	Máx. 24 h	Sn-1	c.v.	Nº de días	Sn-1	c.v.
Enero	63.6	50.6	79.6	19.4	10.7	55.2	7.6	5.0	66.3
Febr.	59.6	41.1	69.0	19.6	9.8	50.0	7.7	4.7	60.9
Marzo	62.7	41.8	66.7	18.5	9.0	49.0	8.4	3.8	44.4
Abril	41.3	34.1	82.6	14.6	9.8	67.4	6.5	3.3	51.1
Mayo	32.7	23.7	72.4	13.7	6.0	44.1	4.8	2.9	60.6
Junio	21.0	20.4	97.4	13.0	11.3	86.4	3.3	2.2	66.7
Julio	3.5	10.1	290.3	4.7	9.9	210.2	0.4	0.6	168.6
Agost.	7.2	16.0	222.2	6.7	15.7	233.7	0.8	0.8	103.8
Sept.	26.6	23.8	89.6	13.7	10.7	78.2	3.4	2.2	64.9
Oct.	48.2	38.5	79.9	16.9	10.2	60.2	6.4	4.1	62.9
Nov.	73.6	51.4	69.8	25.6	14.5	56.6	7.6	4.0	52.9
Dic.	55.8	57.6	103.3	18.6	19.5	104.8	7.2	4.4	60.8
Año	495.7			185.1			64.3		

CUADRO 129

ESTACION VILLALBA DE LOS BARROS (1951-70)

Lat. 38° 36' N. Long. 2° 49' W. Alt. 313 m.

Mes	Precipitación								
	Total mm.	Sn-1	c.v.	Máx. 24 h	Sn-1	c.v.	Nº de días	Sn-1	c.v.
Enero	57.8	43.3	74.8	19.0	11.8	62.1	8.0	5.2	65.5
Febr.	69.1	59.2	85.6	21.5	15.2	70.8	8.2	5.5	67.7
Marzo	59.6	32.9	55.2	18.7	7.2	38.5	8.4	3.7	44.4
Abril	43.2	24.3	56.2	15.3	7.6	49.9	6.6	3.0	45.0
Mayo	32.6	25.3	77.5	14.5	11.4	78.9	4.4	2.7	62.3
Junio	26.0	28.2	108.6	13.7	11.2	81.5	2.8	1.8	63.9
Julio	4.8	13.7	285.0	4.9	12.4	254.5	0.4	0.6	168.6
Agost.	5.6	9.7	173.0	5.2	9.1	175.7	0.5	0.9	178.0
Sept.	25.2	26.2	104.0	14.4	12.9	89.8	2.6	2.3	88.6
Oct.	48.3	44.4	92.0	16.7	11.3	68.0	5.9	4.1	70.2
Nov.	65.6	44.4	67.7	23.7	15.4	65.2	7.9	4.1	52.3
Dic.	63.4	69.2	109.3	18.6	15.7	84.3	7.2	4.3	60.1
Año	501.1		186.1			62.6			

CUADRO 130  
ESTACION VILLANUEVA DE LA SERENA

Lat. 38° 59' N. Long. 2° 07' W. Alt. 294 m.

Mes	Precipitación (1951-70)								
	Total mm.	Sn-1	c.v.	Máx. 24 h	Sn-1	c.v.	Nº de días	Sn-1	c.v.
Enero	60.7	51.3	84.4	17.5	11.6	65.9	10.2	6.3	61.9
Febr.	60.4	47.0	77.8	16.5	9.8	59.1	9.4	5.2	55.6
Marzo	64.2	45.5	70.9	18	11.0	61.2	9.6	4.2	43.8
Abril	39.7	31.5	79.4	15.1	10.5	69.4	7.6	3.2	42.2
Mayo	32.1	23.7	73.6	12.3	6.4	52.0	5.6	3.0	53.9
Junio	23.8	19.8	83.3	13.5	12.1	89.8	3.7	2.2	60.3
Julio	2.2	4.4	198.7	2.1	3.4	166.0	0.6	0.8	138.2
Agost.	4.3	5.6	129.9	3.5	4.7	133.0	1.2	1.2	100.0
Sept.	28.2	23.7	84.0	16.8	16.0	95.6	3.9	2.3	58.2
Oct.	60.3	46.9	77.8	22.8	15.8	69.4	7.7	4.6	60.0
Nov.	68.2	50.7	74.3	23.2	12.6	54.4	10.1	4.7	46.7
Dic.	57.9	47.1	81.3	16.0	9.7	61.0	9.5	4.4	46.6
Año	502.1			177.3			79.1		

Mes	Temperatura ° C. (1954-70)		
	Media		
	Mensual	Máx.	Mín.
Enero	9.5	14.3	4.9
Febr.	9.8	15.1	4.6
Marzo	12.3	18.1	6.4
Abril	15.3	21.8	8.8
Mayo	20.0	27.3	12.7
Junio	23.7	31.4	16.1
Julio	27.9	36.2	19.6
Agost.	27.2	35.3	19.3
Sept.	23.9	31.0	16.8
Oct.	18.6	24.7	12.6
Nov.	12.7	17.6	7.8
Dic.	8.9	13.6	4.4
Año	17.5	23.9	11.2

Estación de referencia: Zarzacapilla  
 Temperatura media mensual:  $y = 0.94 x + 1.81$  r= 0.99  
 Temperatura media de las máximas:  $y = 0.93 x + 3.46$  r= 0.99  
 Temperatura media mínima:  $y = 0.94 x + 0.32$  r= 0.99

CUADRO 131

ESTACION VILLANUEVA DEL FRESNO (1951-70)

Lat. 38° 23' N. Long. 3° 29' W. Alt. 256 m.

Mes	Precipitación								
	Total mm.	Sn-1	c.v.	Máx. 24 h	Sn-1	c.v.	Nº de días	Sn-1	c.v.
Enero	90.8	65.3	71.9	26.5	14.7	55.6	11.4	6.1	53.2
Febr.	94.3	67.7	71.8	23.3	12.5	53.6	11.2	6.2	55.6
Marzo	98.2	54.6	55.6	29.3	15.0	51.1	11.0	5.0	44.9
Abrial	57.3	42.4	74.0	18.8	15.3	81.1	7.6	3.0	39.5
Mayo	47.7	50.6	106.1	19.0	16.0	84.0	6.1	3.3	54.4
Junio	27.8	24.9	89.8	14.4	12.6	87.7	4.0	2.1	52.9
Julio	3.0	6.5	220	2.9	6.4	219.8	0.4	0.7	164.3
Agost.	2.9	5.4	187.8	2.6	4.4	171.3	0.6	0.8	136.7
Sept.	29.1	21.7	74.6	17.7	14.4	81.0	3.8	2.0	53.7
Oct.	85.0	80.1	94.2	26.8	20.4	76.0	8	4.8	60.0
Nov.	89.5	51.3	57.3	29.6	14.2	47.8	10.6	4.9	46.4
Dic.	89.9	76.8	85.5	28.4	17.2	60.5	10.0	5.5	55.3
Año	715.4			239.4			84.6		

CUADRO 132

ESTACION VILLAR DEL REY (1951-70)

Lat. 39° 08' N. Long. 3° 10' W. Alt. 241 m.

Mes	Precipitación								
	Total mm.	Sn-1	c.v.	Máx. 24 h	Sn-1	c.v.	Nº de días	Sn-1	c.v.
Enero	98.5	82.8	84.1	25.1	10.8	42.9	10.3	5.7	55.1
Febr.	70.8	44.8	63.3	19.4	9.3	48.0	9.7	5.4	55.0
Marzo	88.8	57.1	64.4	26.1	16.9	64.6	10.2	4.4	43.2
Abril	47.1	45.3	96.3	15.4	9.9	64.0	6.0	3.0	49.8
Mayo	38.1	27.2	71.4	15.6	10.3	65.9	5.8	3.5	59.9
Junio	18.7	22.2	119.0	9.4	9.6	102.0	2.8	1.9	66.6
Julio	1.8	3.9	215.5	1.6	3.3	203.7	0.3	0.6	178.8
Agost.	5.7	9.6	169.3	5.2	9.2	177.2	1	1.0	103.0
Sept.	35.8	32.7	91.2	24.0	25.2	104.8	3.0	1.8	60.3
Oct.	64.7	51.2	79.3	21.7	16.5	76.1	6.4	4.2	66.1
Nov.	79.1	56.4	71.4	22.8	14.6	63.9	8.7	4.7	54.0
Dic.	71.7	66.0	92.1	22.0	18.0	81.6	8.0	4.9	61.4
Año	620.5			208.4			72.4		

CUADRO 133  
ESTACION VILLARTA DE LOS MONTES (1963-70)

Lat. 39° 13' N. Long. 1° 06' W. Alt. 551 m.

Mes	Precipitación		
	Total mm.	Máx. 24 h	Nº de días
Enero	79.5	22.1	8.5
Febr.	80.8	20.6	8.8
Marzo	84.2	21.6	9.4
Abril	57.2	17.7	6.8
Mayo	44.8	16.8	5.9
Junio	28.2	15.1	3.9
Julio	8.0	4.6	0.9
Agost.	11.5	7.6	1.1
Sept.	34.6	15.0	3.7
Oct.	73.7	22.0	7.2
Nov.	84.6	24.3	8.4
Dic.	86.3	23.9	8.5
Año	673.4	211.4	73.0

Estación de referencia: Talarrubias

Precipitación media mensual:  $y = 0.92 x + 4.75$  r= 0.76

Precipitación máxima en 24 h.:  $y = 0.79 x + 2$  r= 0.78

Nº de días de precipitación:  $y = 1.14 x + 0.51$  r= 0.92

**CUADRO 134**  
**ESTACION ZAFRA (1951-70)**

Lat. 38° 26' N. Long. 2° 44' W. Alt. 508 m.

Mes	Precipitación								
	Total mm.	Sn-1	c.v.	Máx. 24 h	Sn-1	c.v.	Nº de días	Sn-1	c.v.
Enero	79.7	63.2	79.2	23.3	14.4	62.0	10.0	5.6	56.0
Febr.	81.6	70.9	86.9	20.3	13.3	65.6	9.0	5.2	57.8
Marzo	83.2	44.2	50.8	23.8	9.0	37.9	10	4.6	45.9
Abril	52.9	38.8	73.4	17.8	13.1	73.7	7.7	3.6	46.1
Mayo	35.8	29.9	83.4	13.8	8.2	59.4	6.3	3.9	62.9
Junio	29.4	29.5	100.5	15.8	14.9	94.2	3.5	2.2	61.8
Julio	3.4	6.6	191.0	3.2	6.4	201.2	0.7	1.0	131.5
Agost.	7.7	19.3	251.3	6.0	15.5	256.9	1	1.2	115.0
Sept.	20.3	22.3	109.7	15.8	14.0	88.8	3	2.1	69.3
Oct.	65.7	65.3	99.3	20.9	15.7	75.2	6.9	4.0	59.3
Nov.	101.1	59.9	59.2	31.8	18.7	58.9	10.6	4.3	41.0
Dic.	88.4	80.2	90.7	24.9	15.1	60.6	9.4	5.2	55.1
Año	649.2			217.5			78.0		

Mes	Temperatura								
	Medias								
	Mensual	Sn-1	c.v.	Máx	Sn-1	c.v.	Mín.	Sn-1	c.v.
Enero	7.9	1.6	20.4	11.8	1.2	9.8	3.9	2.5	64.4
Febr.	8.8	1.9	21.1	13.1	2.4	18.6	4.5	2.1	46.1
Marzo	11.1	1.6	14.6	16.0	2.7	16.7	6.2	1.2	19.4
Abril	13.7	1.8	13.1	19.2	2.5	13.0	8.1	1.6	19.3
Mayo	17.6	2.5	14.2	24.2	3.2	13.1	11.1	2.0	18.1
Junio	21.8	1.3	6.1	28.6	4.0	14.1	14.3	2.0	14.3
Julio	25.7	1.6	6.1	33.6	3.2	9.5	17.2	1.5	8.7
Agost.	25.2	1.7	6.9	32.9	3.1	9.4	17.0	1.6	9.5
Sept.	22.1	1.7	7.8	28.5	2.8	10.0	15.1	1.5	9.8
Oct.	17.3	2.1	12.1	23.3	2.9	12.5	11	2.5	22.8
Nov.	11.1	1.5	13.9	15.1	1.7	11.3	6.9	2.2	32.6
Dic.	7.9	1.6	20.1	11.9	1.6	13.6	3.9	2.1	54.7
Año	15.8			21.5			9.9		.

**CUADRO 135**  
**ESTACION ZARZACAPILLA (1951-70)**

Lat. 38° 48' N. Long. 1° 28' W. Alt. 601 m.

Mes	Precipitación								
	Total mm.	Sn-1	c.v.	Máx. 24 h	Sn-1	c.v.	Nº de días	Sn-1	c.v.
Enero	77.4	57.9	74.8	23.9	15.0	63.0	9.4	5.4	57.7
Febr.	68.8	56.8	82.5	20.4	15.0	73.3	7.6	5.1	67.3
Marzo	74.4	46.4	62.3	25.6	13.3	52.1	8.2	4.2	51.4
Abril	62.7	45.5	72.6	22.4	17.7	79.2	6.9	3.3	48.1
Mayo	52.8	52.5	99.4	21.3	17.2	80.8	6.3	4.4	69.7
Junio	34.6	30.6	88.4	16.5	12.6	76.6	3.9	2.8	72.2
Julio	5.5	11.1	199.8	5.3	10.7	201.1	0.6	0.9	153.6
Agost.	3.8	9.3	245.4	3.4	9.3	275.2	0.5	0.7	132.1
Sept.	33.4	28.2	84.6	18.3	19.8	108.2	3.7	2.5	66.4
Oct.	63.6	47.7	75.0	23.0	15.6	68.0	6.6	4.0	60.6
Nov.	74.8	48.5	64.9	26.5	15.7	59.4	7.1	3.7	52.7
Dic.	85.8	85.4	99.6	21.7	9.3	43.0	7.7	5.1	66.2
Año	637.5			228.3			68.4		

Mes	Temperatura								
	Medias								
	Mensual	Sn-1	c.v.	Máx	Sn-1	c.v.	Mín.	Sn-1	c.v.
Enero	8.2	1.4	17.4	11.6	1.5	13.2	4.8	1.9	40.0
Febr.	8.5	1.9	22.9	12.5	2.0	15.8	4.5	2.2	48.1
Marzo	11.1	1.9	16.8	15.8	2.3	14.5	6.5	1.7	25.8
Abril	14.3	1.6	11.5	19.7	1.6	8.0	9.0	1.9	21.1
Mayo	19.3	2.9	14.9	25.6	3.2	12.4	13.1	2.7	20.5
Junio	23.3	1.7	7.2	30.0	2.2	7.3	16.7	1.8	10.8
Julio	27.8	1.7	6.0	35.2	1.3	3.8	20.4	2.1	10.5
Agost.	27.0	1.8	6.7	34.2	1.5	4.4	20.1	2.3	11.5
Sept.	23.5	2.6	11.3	29.6	2.8	9.5	17.5	2.8	16.1
Oct.	17.9	2.6	14.6	22.8	3.0	13.2	13.0	2.4	18.5
Nov.	11.6	1.7	14.9	15.2	2.0	13.1	8.0	1.8	22.9
Dic.	7.6	2.0	26.1	10.9	2.3	21.4	4.3	2.1	48.7
Año	16.7			21.9			11.5		

CUADRO 136  
ESTACION ZARZA DE ALANGE (1965-70)

Lat. 38° 49' N. Long. 2° 32' W. Alt. 335 m.

Mes	Precipitación		
	Total mm.	Máx. 24 h	Nº de días
Enero	65.5	21.6	8.7
Febr.	65.7	20.0	8.9
Marzo	65.5	19.8	9.6
Abril	46.9	17.8	7.0
Mayo	37.6	17.2	5.4
Junio	28.2	17.1	3.6
Julio	11.3	11.4	0.8
Agost.	14.6	13.4	1.1
Sept.	37.0	20.2	3.3
Oct.	57.5	19.9	7.0
Nov.	74.2	24.0	8.4
Dic.	61.7	19.5	7.8
Año	565.7	221.8	71.4

Estación de referencia: Alange

Precipitación media mensual:  $y = 0.88 x + 8.89$  r= 0.75

Precipitación máxima en 24 h.:  $y = 0.56 x + 9.82$  r= 0.53

Nº de días de precipitación:  $y = 1.08 x + 0.40$  r= 0.88

**CLASIFICACION DE LOS DÍAS SEGÚN  
SEAN CICLÓNICOS O ANTICICLÓNICOS**

**LEYENDA**

- \* Las letras mayúsculas indican días clasificados con Análisis Discriminante.
- \* Las letras entre paréntesis días clasificados con la función de clasificación.
- \* Las letras minúsculas días clasificados subjetivamente.

TABLA I

Fecha	Tipo	CLASIFICACION		Marzo 1965	
		Distancia de Mahalanobis		Probabilidad de Pertenencia	
		A	C	A	C
1	(C)	-	-	0	1
2	C	35.4	9.6	0	1
3	C	18.0	6.1	0.003	0.997
4	C	5.8	1.7	0.112	0.888
5	C	17.2	4.5	0.002	0.998
6	A	11.3	9.2	0.262	0.738
7	A	10.5	13.2	0.792	0.208
8	A	11.3	15.0	0.860	0.140
9	(A)	-	-	0.90	0.10
10	C	6.6	1	0.055	0.945
11	C	10	1.2	0.012	0.988
12	C	8.4	0.3	0.017	0.983
13	C	11.3	0.6	0.005	0.995
14	A	1.9	7.2	0.935	0.065
15	A	3.2	15.2	0.998	0.002
16	A	4.8	20.8	1	0
17	A	1.5	12.4	0.996	0.004
18	A	1.3	11.3	0.993	0.007
19	A	1.4	5.5	0.882	0.118
20	a	-	-	-	-
21	A	1.2	4.5	0.842	0.158
22	A	1.4	4.9	0.852	0.148
23	C	5.4	0.7	0.086	0.914
24	A	1.6	14.7	0.999	0.001
25	A	0.7	10.8	0.993	0.007
26	A	2.1	17.4	1	0
27	A	3.3	21.7	1	0
28	A	1.5	16.9	1	0
29	A	1.9	9.3	0.975	0.025
30	A	2.3	10.5	0.984	0.016
31	A	0.6	9.2	0.987	0.013

TABLA II

Fecha	Tipo	CLASIFICACION		Abril 1965	
		Distancia de Mahalanobis		Probabilidad de Pertenencia	
		A	C	A	C
1	A	0.7	11.2	0.995	0.005
2	A	0.6	10.2	0.992	0.008
3	A	3.1	18.0	0.999	0.001
4	A	0.6	11.7	0.996	0.004
5	C	4.7	3.3	0.328	0.672
6	C	18.7	4.1	0.001	0.999
7	C	3.8	1.2	0.215	0.785
8	(C)	-	-	0.13	0.87
9	A	0.8	5	0.890	0.110
10	A	1.4	10.2	0.988	0.012
11	A	0.7	5.4	0.916	0.084
12	A	6.5	18.1	0.997	0.003
13	A	6.8	14.3	0.977	0.023
14	A	0.5	7.9	0.976	0.024
15	A	0.3	10	0.992	0.008
16	A	0.4	10.2	0.993	0.008
17	A	1	12.4	0.997	0.003
18	A	1.4	7.3	0.949	0.051
19	(C)	-	-	0.05	0.95
20	C	9.6	1.2	0.015	0.985
21	C	13.1	5.6	0.023	0.977
22	C	13	4.4	0.013	0.987
23	C	8	3.6	0.102	0.898
24	C	11.3	1.1	0.06	0.994
25	A	4.1	4.1	0.498	0.502
26	A	3.2	11.7	0.986	0.014
27	A	2.7	8.4	0.945	0.055
28	C	6.1	1.1	0.076	0.924
29	C	3.4	2.8	0.420	0.580
30	C	5.0	1.7	0.166	0.834

**TABLA III**

Fecha	Tipo	CLASIFICACION		Mayo	1965
		Distancia de Mahalanobis		Probabilidad de Pertenencia	A
		A	C		
1	C	4.4	2.4	0.268	0.732
2	C	4.4	0.8	0.145	0.855
3	A	2	4.2	0.749	0.251
4	A	1.2	13.7	0.998	0.002
5	A	4.1	21.9	1	0
6	(A)	-	-	1	0
7	A	7.9	18.7	0.996	0.004
8	A	4.2	12.7	0.986	0.014
9	A	9.4	26.9	1	0
10	A	6.1	20.4	0.999	0.001
11	A	23	30	0.971	0.029
12	A	15.9	20.6	0.911	0.089
13	a	-	-	-	-
14	A	38.4	50.6	0.998	0.002
15	a	-	-	-	-
16	A	8.2	15.1	0.969	0.031
17	C	6.3	6.3	0.491	0.509
18	C	6.4	0.3	0.044	0.956
19	a	-	-	-	-
20	A	6	3.7	0.239	0.761
21	A	3.5	10.3	0.967	0.033
22	A	3	9.3	0.960	0.040
23	A	1.1	6	0.922	0.078
24	A	2.5	5.1	0.786	0.214
25	A	1.6	7.3	0.944	0.056
26	A	2	10.6	0.987	0.013
27	a	-	-	-	-
28	A	4.4	12	0.977	0.023
29	C	10.8	4.3	0.037	0.963
30	C	20.7	6.2	0.001	0.999
31	C	19	12.7	0.041	0.959

TABLA IV

Fecha	Tipo	CLASIFICACION		Junio 1965	
		Distancia de Mahalanobis		Probabilidad de Pertenencia	
		A	C	A	C
1	C	36.9	12.3	0	1
2	C	142.4	110.5	0	1
3	c	-	-	-	-
4	c	-	-	-	-
5	C	10	3.8	0.043	0.957
6	C	16.3	7.4	0.011	0.989
7	C	33	12.7	0	1
8	C	23.3	10.7	0.003	0.997
9	C	8.8	7.4	0.327	0.673
10	A	6.3	7.6	0.657	0.343
11	A	2.9	4.1	0.636	0.364
12	A	1.9	5.3	0.845	0.155
13	A	3.5	4.5	0.627	0.373
14	A	3.9	9.3	0.936	0.064
15	A	1.3	8.6	0.974	0.026
16	a	-	-	-	-
17	A	5.5	20.6	0.999	0.001
18	A	2.7	16.5	0.999	0.001
19	A	2.3	13.9	0.997	0.003
20	A	1.6	14.6	0.999	0.001
21	A	5	19.7	0.999	0.001
22	A	4.4	20.4	1	0
23	a	-	-	-	-
24	a	-	-	-	-
25	a	-	-	-	-
26	A	1.5	11.5	0.993	0.007
27	A	6.3	18.5	0.998	0.002
28	A	9.5	21.2	0.997	0.003
29	A	2.2	15.5	0.999	0.001
30	A	5.9	13.7	0.980	0.020

TABLA V

CLASIFICACION      Julio 1965

Fecha	Tipo	Distancia de Mahalanobis		Probabilidad de Pertenencia	
		A	C	A	C
1	a	-	-	-	-
2	C	6.3	7.6	0.657	0.343
3	C	4.1	6.7	0.789	0.211
4	C	4	4	0.496	0.504
5	A	8.4	5.8	0.210	0.790
6	A	1.5	7.4	0.950	0.050
7	A	1.3	6.6	0.935	0.065
8	A	5.9	12.6	0.966	0.034
9	A	1.8	4.4	0.784	0.216
10	A	2.2	7.2	0.924	0.076
11	a	-	-	-	-
12	A	1.2	13.4	0.998	0.002
13	A	1.2	8	0.969	0.031
14	A	3	8	0.923	0.077
15	A	2.7	5.2	0.775	0.225
16	a	-	-	-	-
17	a	-	-	-	-
18	A	9.3	8.7	0.428	0.572
19	A	3	3.8	0.605	0.395
20	A	3.6	3.8	0.531	0.469
21	A	2.5	8.5	0.952	0.048
22	A	2.3	3.7	0.660	0.340
23	A	6.6	17.6	0.996	0.004
24	A	2.2	9	0.968	0.032
25	A	10.8	22.2	0.997	0.003
26	A	4.9	14.2	0.990	0.010
27	a	-	-	-	-
28	A	3.3	5.9	0.787	0.213
29	A	1.9	12.7	0.995	0.005
30	A	0.6	8.2	0.977	0.023
31	A	7.8	14.3	0.963	0.037

**TABLA VI**

**CLASIFICACION Agosto 1965**

Fecha	Tipo	Distancia de Mahalanobis		Probabilidad de Pertenencia	
		A	C	A	C
1	A	11.6	10.8	0.411	0.589
2	A	5.5	19.6	0.999	0.001
3	a	-	-	-	-
4	A	1.9	13.7	0.997	0.003
5	a	-	-	-	-
6	A	11.3	20.2	0.988	0.012
7	A	18.3	23.1	0.987	0.013
8	a	-	-	-	-
9	a	-	-	-	-
10	A	1.2	9.1	0.981	0.019
11	A	4.4	7.7	0.841	0.159
12	A	1.3	13.4	0.998	0.002
13	A	2.6	12.9	0.994	0.006
14	A	4.2	19.3	0.999	0.001
15	a	-	-	-	-
16	A	0.7	9.5	0.988	0.012
17	A	4.1	4.7	0.565	0.435
18	C	8.7	3.4	0.065	0.935
19	A	2.5	4.7	0.750	0.250
20	A	3.2	18.1	0.999	0.001
21	A	3.7	11.8	0.983	0.017
22	C	10.3	9.8	0.437	0.563
23	C	19.3	11.2	0.017	0.983
24	A	14.4	14	0.455	0.545
25	a	-	-	-	-
26	A	3.1	16.5	0.999	0.001
27	A	2.3	16.9	0.999	0.001
28	A	4	20.3	1	0
29	A	2.7	13.9	0.996	0.004
30	A	1.3	10.8	0.991	0.009
31	C	4.5	3.3	0.348	0.652

TABLA VII

CLASIFICACION Septiembre 1965

Fecha	Tipo	Distancia de Mahalanobis		Probabilidad de Pertenencia	
		A	C	A	C
1	A	3.6	3.7	0.509	0.491
2	A	15.9	18	0.742	0.258
3	A	8	10.5	0.771	0.229
4	A	1.6	4.8	0.830	0.170
5	a	-	-	-	-
6	A	2.4	11.6	0.990	0.010
7	A	1.5	13.5	0.998	0.002
8	A	16.2	31.2	0.999	0.001
9	A	2.5	8.3	0.949	0.051
10	A	0.9	4.5	0.858	0.142
11	A	2.1	3.9	0.702	0.298
12	a	-	-	-	-
13	a	-	-	-	-
14	A	10.2	20.9	0.995	0.005
15	A	1.7	11.5	0.993	0.008
16	A	1.2	11.9	0.995	0.005
17	A	0.5	10	0.991	0.009
18	A	0.5	8.6	0.982	0.018
19	A	1.1	8	0.969	0.031
20	A	1.2	13.7	0.998	0.002
21	A	7.5	26.1	1	0
22	A	5.4	18.1	0.998	0.002
23	A	1.9	7.7	0.946	0.054
24	C	8.6	5.8	0.200	0.800
25	c	-	-	-	-
26	C	33.2	14.1	0	1
27	C	22.5	5.3	0	1
28	C	9.9	2.7	0.027	0.973
29	C	29.1	14.8	0.001	0.999
30	C	12.8	2.1	0.005	0.995

TABLA VIII

Fecha	Tipo	CLASIFICACION		Octubre 1965	
		Distancia de Mahalanobis		Probabilidad de Pertenencia	
		A	C	A	C
1	C	3.7	1.6	0.257	0.743
2	C	3.5	2.3	0.362	0.638
3	A	3.3	3.6	0.532	0.468
4	C	9	3	0.047	0.953
5	C	-	-	-	-
6	C	28.9	13.2	0	1
7	C	13.8	2.5	0.003	0.997
8	C	18.1	3.9	0.001	0.999
9	C	25.1	9.5	0	1
10	C	15	2.9	0.002	0.998
11	C	10.1	1.5	0.013	0.987
12	C	6.8	5	0.288	0.712
13	C	2.4	4.7	0.760	0.240
14	C	5	1.4	0.142	0.858
15	C	4.7	3.2	0.319	0.681
16	(C)	-	-	0.36	0.64
17	C	106.3	87.1	0	1
18	C	26.9	12	0.001	0.999
19	C	6.7	2.5	0.110	0.890
20	A	3.5	3.7	0.515	0.485
21	A	1.2	4.7	0.851	0.149
22	A	3.5	15.3	0.997	0.003
23	A	1.6	8.5	0.969	0.031
24	C	4.9	2.5	0.230	0.770
25	C	8.6	1.1	0.023	0.977
26	C	6	1.1	0.080	0.920
27	A	3.4	4.4	0.627	0.373
28	C	5.7	4	0.298	0.702
29	C	2.5	2.7	0.521	0.479
30	C	3.2	3.4	0.526	0.474
31	A	2	7.5	0.940	0.060

TABLA IX

CLASIFICACION Noviembre 1965

Fecha	Tipo	Distancia de Mahalanobis		Probabilidad de Pertenencia	
		A	C	A	C
1	A	3.3	14.7	0.997	0.003
2	A	1.7	11	0.991	0.009
3	A	1.2	5.2	0.883	0.117
4	C	6.7	2.7	0.118	0.882
5	C	12	2	0.007	0.993
6	(C)	-	-	0.02	0.98
7	C	6.6	2.1	0.094	0.906
8	A	3.1	5	0.725	0.275
9	A	5.7	14.9	0.990	0.010
10	A	9.8	23.2	0.999	0.001
11	C	3	1.1	0.281	0.719
12	C	11.1	3.3	0.020	0.980
13	C	9	2.5	0.037	0.963
14	C	5.6	3.7	0.274	0.726
15	A	2.2	5.6	0.848	0.152
16	C	4.9	0.4	0.095	0.905
17	(C)	-	-	0.13	0.87
18	C	5.6	3.5	0.264	0.736
19	C	13.3	3.4	0.007	0.993
20	C	10.8	1.9	0.012	0.988
21	c	-	-	-	-
22	C	7.3	5.7	0.318	0.682
23	A	10.2	11.4	0.651	0.349
24	A	11.3	20.2	0.988	0.012
25	a	-	-	-	-
26	a	-	-	-	-
27	A	2.4	8.9	0.963	0.037
28	(A)	-	-	1	0
29	C	1.6	5.9	0.899	0.101
30	c	-	-	-	-

TABLA X

CLASIFICACION Diciembre 1965

Fecha	Tipo	Distancia de Mahalanobis		Probabilidad de Pertenencia	
		A	C	A	C
1	A	4.3	15.1	0.995	0.005
2	A	2.1	13.9	0.997	0.003
3	A	18.5	20.3	0.708	0.292
4	A	5.5	9.5	0.879	0.121
5	A	7.7	15.9	0.983	0.017
6	A	6.4	10.9	0.908	0.092
7	C	11.7	2.3	0.009	0.991
8	C	8.3	3.6	0.085	0.915
9	A	4.3	15.1	0.996	0.004
10	A	1.4	16.6	0.999	0.001
11	a	-	-	-	-
12	A	2.6	13.4	0.996	0.004
13	A	2.9	11	0.983	0.017
14	(A)	-	-	0.99	0.01
15	A	3.3	9	0.947	0.053
16	a	-	-	-	-
17	a	-	-	-	-
18	A	3.8	22.5	1	0
19	A	7	28.8	1	0
20	a	-	-	-	-
21	A	2.8	6.9	0.890	0.110
22	A	2.2	10.4	0.984	0.016
23	A	2.6	12	0.991	0.009
24	C	7.4	6.6	0.399	0.601
25	C	12	4.6	0.025	0.975
26	C	8.9	2.3	0.037	0.963
27	c	-	-	-	-
28	C	16.8	5.9	0.004	0.996
29	A	11.7	8.8	0.197	0.803
30	A	1.4	14.2	0.998	0.002
31	A	8.8	27.5	1	0

TABLA XI

Fecha	Tipo	CLASIFICACION		Enero	1966
		Distancia de Mahalanobis		Probabilidad de Pertenencia	
		A	C	A	C
1	A	1.9	19.1	1	0
2	a	-	-	-	-
3	a	-	-	-	-
4	A	2.2	17.5	1	0
5	A	2.5	13.8	0.997	0.003
6	A	3.3	12	0.987	0.013
7	a	-	-	-	-
8	A	1.9	8.2	0.958	0.042
9	A	6.6	7	0.542	0.458
10	A	2.6	6.2	0.861	0.139
11	A	3.1	6.4	0.841	0.159
12	(C)	-	-	0.02	0.98
13	C	8	3.2	0.081	0.919
14	(C)	-	-	0.03	0.97
15	c	-	-	-	-
16	C	15.8	4.8	0.004	0.996
17	C	13.1	3.5	0.008	0.992
18	C	10.3	3.1	0.026	0.974
19	C	24.1	4.3	0	1
20	(C)	-	-	0	1
21	C	15.1	3.8	0.003	0.997
22	(C)	-	-	0	1
23	(C)	-	-	0.01	0.99
24	C	12.8	8.4	0.099	0.901
25	C	15.1	4.6	0.005	0.995
26	C	7.6	3.6	0.117	0.883
27	A	1.1	8.6	0.977	0.023
28	A	3.2	11.3	0.983	0.017
29	C	33	21.1	0.003	0.997
30	c	-	-	-	-
31	C	7.7	6.1	0.303	0.697

**TABLA XII**

**CLASIFICACION Febrero 1966**

Fecha	Tipo	Distancia de Mahalanobis		Probabilidad de Pertenencia	
		A	C	A	C
1	c	-	-	-	-
2	C	10.8	7.3	0.151	0.849
3	a	-	-	-	-
4	a	-	-	-	-
5	A	1.9	16	0.999	0.001
6	a	-	-	-	-
7	(A)	-	-	0.96	0.04
8	A	5.5	8.6	0.819	0.181
9	a	-	-	-	-
10	C	18.5	7.3	0.004	0.996
11	C	14.4	4.1	0.006	0.994
12	C	31.2	19.2	0.002	0.998
13	(C)	-	-	0	1
14	(C)	-	-	0.02	0.98
15	C	10.6	1.7	0.011	0.989
16	C	47.3	16.3	0	1
17	C	21.3	4.9	0	1
18	C	13.4	5.4	0.018	0.982
19	(C)	-	-	0.06	0.94
20	(C)	-	-	0	1
21	C	51.5	19.6	0	1
22	C	37.6	9.6	0	1
23	C	11	7.2	0.135	0.865
24	A	3.7	11.5	0.980	0.020
25	A	2.2	10.7	0.986	0.014
26	C	7.1	7.2	0.512	0.488
27	c	-	-	-	-
28	C	6.5	3.2	0.161	0.839

TABLA XIII

		CLASIFICACION	Marzo	1966		
Fecha	Tipo	Distancia de Mahalanobis		Probabilidad de Pertenencia		
		A	C	A	C	
1	A	10.3	29.9	1	0	
2	A	5.2	24.6	1	0	
3	A	1.2	10.4	0.990	0.010	
4	A	7.4	12.2	0.919	0.081	
5	(A)	-	-	0.97	0.03	
6	A	2.1	10.4	0.985	0.015	
7	(A)	-	-	0.76	0.24	
8	A	3.9	2.8	0.360	0.640	
9	a	-	-	-	-	
10	A	0.6	8.9	0.985	0.015	
11	(A)	-	-	0.96	0.04	
12	A	3.8	3	0.409	0.591	
13	a	-	-	-	-	
14	A	1.8	3.2	0.663	0.337	
15	A	1	10.8	0.993	0.007	
16	a	-	-	-	-	
17	A	0.8	6.4	0.944	0.056	
18	a	-	-	-	-	
19	A	1.6	14.2	0.998	0.002	
20	a	-	-	-	-	
21	A	3.8	11.1	0.975	0.025	
22	A	3.8	12.8	0.989	0.011	
23	a	-	-	-	-	
24	A	2.8	6.9	0.824	0.176	
25	A	2.4	5.6	0.825	0.175	
26	(A)	-	-	0.99	0.01	
27	A	0.8	11.3	0.995	0.005	
28	A	0.2	9.8	0.992	0.008	
29	(A)	-	-	0.86	0.14	
30	A	0.7	6.4	0.945	0.055	
31	C	2.2	2.8	0.566	0.434	

TABLA XIV

Fecha	Tipo	CLASIFICACION		Abril 1966	
		Distancia de Mahalanobis		Probabilidad de Pertenencia	
		A	C	A	C
1	C	3.4	1.7	0.307	0.693
2	C	5.4	1.1	0.104	0.896
3	C	7.5	0.2	0.025	0.975
4	C	3.3	1.5	0.290	0.710
5	C	9.2	0.1	0.011	0.989
6	C	6.1	1	0.073	0.927
7	C	9.9	1.5	0.015	0.985
8	C	9.8	0.4	0.009	0.991
9	C	36.4	11.6	0	1
10	C	15.6	1.4	0.001	0.999
11	C	13.3	1	0.002	0.998
12	c	-	-	-	-
13	C	25	4.5	0	1
14	C	6.2	1.2	0.078	0.922
15	C	12.7	2.1	0.005	0.995
16	C	14.5	1.2	0.001	0.999
17	C	9.6	0.8	0.012	0.988
18	C	4.3	4.1	0.480	0.520
19	c	-	-	-	-
20	C	4.5	2.6	0.280	0.720
21	A	2.5	16.6	0.999	0.001
22	A	5.4	24	1	0
23	A	5.2	18.9	0.999	0.001
24	C	3.7	4.1	0.549	0.451
25	A	2.4	3.3	0.620	0.380
26	A	0.5	8.4	0.981	0.019
27	A	1	10.5	0.991	0.009
28	A	1.7	17.6	1	0
29	A	1	15.3	0.999	0.001
30	a	-	-	-	-

TABLA XV

CLASIFICACION		Mayo 1966		Probabilidad de Pertenencia	
Fecha	Tipo	Distancia de Mahalanobis		A	C
		A	C	A	C
1	A	1.6	9	0.976	0.024
2	A	1.8	11.3	0.992	0.008
3	A	0.7	10	0.990	0.010
4	a	-	-	-	-
5	A	2.9	16.3	0.999	0.001
6	A	0.5	6.1	0.943	0.057
7	(A)	-	-	1	0
8	A	0.8	13.3	0.998	0.002
9	A	1.6	5.1	0.857	0.143
10	A	0.5	8.9	0.985	0.015
11	A	1.8	3.7	0.721	0.279
12	C	21.7	3.6	0	1
13	C	18.6	5.2	0.001	0.999
14	A	1.4	13.2	0.997	0.003
15	A	5	17.8	0.998	0.002
16	A	1.8	9.9	0.983	0.017
17	A	1.4	7.5	0.956	0.044
18	A	2	7.3	0.933	0.067
19	a	-	-	-	-
20	A	3.2	10.4	0.974	0.026
21	(A)	-	-	0.97	0.03
22	a	-	-	-	-
23	(A)	-	-	0.77	0.23
24	a	-	-	-	-
25	A	3	5.4	0.769	0.231
26	A	4.8	9.5	0.914	0.086
27	A	9.2	11.1	0.720	0.280
28	C	12.5	11.6	0.385	0.615
29	C	12.6	6.4	0.043	0.957
30	C	5.2	2.6	0.213	0.787
31	C	9.9	6.9	0.179	0.821

TABLA XVI

Fecha	Tipo	CLASIFICACION		Junio 1966	
		Distancia de Mahalanobis		Probabilidad de Pertenencia	
		A	C	A	C
1	C	20.2	6.2	0.001	0.999
2	C	11.9	2.4	0.008	0.992
3	C	5.1	4.3	0.405	0.595
4	A	4.8	7.6	0.802	0.198
5	C	7.4	5.1	0.237	0.763
6	A	5.4	12.6	0.973	0.027
7	C	31.5	24.6	0.032	0.968
8	C	59.8	61.1	0.013	0.987
9	C	16.1	4.2	0.003	0.997
10	C	50.8	23.3	0	1
11	C	23.4	9.9	0.001	0.999
12	A	4.8	6.5	0.702	0.298
13	c	-	-	-	-
14	c	-	-	-	-
15	c	-	-	-	-
16	C	10.6	9.4	0.357	0.643
17	A	5	13.4	0.985	0.015
18	A	23.1	35.6	0.998	0.002
19	A	7.7	15.9	0.984	0.016
20	A	6.2	10	0.865	0.135
21	A	1.9	10	0.983	0.017
22	C	7.1	5.4	0.293	0.707
23	A	4.3	5.3	0.620	0.380
24	A	9.3	10.6	0.654	0.346
25	A	12	24.7	0.998	0.002
26	A	7.2	25.4	1	0
27	A	7.2	25.4	1	0
28	A	2.9	14.8	0.997	0.003
29	A	7.2	10.4	0.836	0.164
30	A	3.9	9.1	0.932	0.068

TABLA XVII

CLASIFICACION		Julio 1966		Probabilidad de Pertenencia	
Fecha	Tipo	Distancia de Mahalanobis		A	C
		A	C	A	C
1	a	-	-	-	-
2	a	-	-	-	-
3	(A)	-	-	0.82	0.82
4	a	-	-	-	-
5	A	6.4	12.3	0.950	0.050
6	A	5.2	6.3	0.639	0.361
7	A	3.5	10.9	0.976	0.024
8	A	4.6	8.8	0.892	0.108
9	A	5.5	5.9	0.550	0.450
10	A	11.2	16.3	0.928	0.072
11	A	10.5	15	0.906	0.094
12	a	-	-	-	-
13	A	5.6	15.6	0.993	0.007
14	A	1.7	14.4	0.998	0.002
15	A	0.9	7	0.955	0.045
16	a	-	-	-	-
17	A	2.3	2.2	0.495	0.505
18	A	7.6	9.1	0.674	0.326
19	A	17.3	13.8	0.144	0.856
20	A	5.3	10.1	0.917	0.083
21	A	2.3	9.4	0.972	0.028
22	A	1.7	10.6	0.989	0.011
23	A	4	9.7	0.946	0.054
24	A	6.2	8.6	0.773	0.227
25	A	2.1	8.1	0.951	0.049
26	A	5.1	10.3	0.930	0.070
27	A	4.8	2.1	0.209	0.791
28	A	2.5	12.6	0.993	0.007
29	a	-	-	-	-
30	A	1.3	6	0.914	0.086
31	A	0.8	7.5	0.966	0.034

TABLA XVIII

CLASIFICACION Agosto 1966

Fecha	Tipo	Distancia de Mahalanobis		Probabilidad de Pertenencia	
		A	C	A	C
1	A	1.8	11.9	0.994	0.006
2	A	2.9	10.1	0.974	0.026
3	a	-	-	-	-
4	A	6.4	22.4	1	0
5	A	4.7	22	1	0
6	A	1.2	14.6	0.999	0.001
7	A	3.3	15	0.997	0.003
8	A	4.1	10.1	0.954	0.046
9	A	6.8	17.1	0.994	0.006
10	A	5.7	16.9	0.996	0.004
11	A	12.3	32.6	1	0
12	A	9	27.2	1	0
13	A	1.5	16.2	0.999	0.001
14	A	5.9	15.4	0.992	0.008
15	A	4.6	14.7	0.994	0.006
16	A	2.5	16.1	0.999	0.001
17	A	3.3	19.4	1	0
18	A	3.3	17.5	0.999	0.001
19	A	0.6	8	0.976	0.024
20	a	-	-	-	-
21	A	3.6	1.9	0.306	0.694
22	A	3.3	9.6	0.959	0.041
23	A	3.5	4.1	0.573	0.427
24	(A)	-	-	0.54	0.46
25	A	3	8.4	0.937	0.063
26	A	1.5	3.8	0.759	0.241
27	C	10.4	2.7	0.021	0.979
28	A	3.8	12.2	0.986	0.014
29	A	6.8	21.6	0.999	0.001
30	a	-	-	-	-
31	A	4.1	18.3	0.999	0.001

TABLA XIX

CLASIFICACION Septiembre 1966

Fecha	Tipo	Distancia de Mahalanobis		Probabilidad de Pertenencia	
		A	C	A	C
1	(A)	-	-	1	0
2	a	-	-	-	-
3	A	8.1	21.6	0.999	0.001
4	A	4.4	16.1	0.997	0.003
5	A	1.7	13.4	0.997	0.003
6	a	-	-	-	-
7	A	6.2	18.4	0.998	0.002
8	A	10.3	25.4	0.999	0.001
9	A	9.8	24.8	0.999	0.001
10	A	14	29.9	1	0
11	A	5.2	13.6	0.985	0.015
12	A	4.2	12.1	0.981	0.019
13	A	2.9	8.8	0.952	0.048
14	a	-	-	-	-
15	a	-	-	-	-
16	a	-	-	-	-
17	A	0.7	8.9	0.984	0.016
18	A	5.7	7.4	0.701	0.299
19	A	5.4	5.5	0.509	0.491
20	A	2.1	8	0.951	0.049
21	A	8.2	21.6	0.999	0.001
22	A	2.3	15.6	0.999	0.001
23	A	0.5	6.5	0.952	0.048
24	A	0.5	7.6	0.972	0.028
25	a	-	-	-	-
26	A	2.8	8.5	0.944	0.056
27	C	4.9	2.4	0.227	0.773
28	c	-	-	-	-
29	C	5.8	1.2	0.092	0.908
30	C	2.5	2.8	0.532	0.468

TABLA XX

CLASIFICACION Octubre 1966

Fecha	Tipo	Distancia de Mahalanobis		Probabilidad de Pertenencia	
		A	C	A	C
1	C	6.8	1.1	0.023	0.977
2	c	-	-	-	-
3	C	38.1	20.3	-	0
4	(C)	-	-	0	1
5	C	8.1	1.3	0.032	0.968
6	A	1.1	5.4	0.897	0.103
7	a	-	-	-	-
8	C	4.2	4.3	0.519	0.481
9	C	9.2	1.6	0.021	0.979
10	C	5	2.7	0.239	0.761
11	c	-	-	-	-
12	C	3.1	2	0.362	0.638
13	C	4.1	2.3	0.288	0.712
14	(C)	-	-	0.21	0.79
15	C	19.8	4.2	0	1
16	C	11.2	2	0.010	0.990
17	A	1.8	2.7	0.614	0.386
18	C	4.2	0.7	0.144	0.856
19	C	25.4	11.2	0.001	0.999
20	C	3.9	1.7	0.247	0.753
21	C	4.8	3.7	0.365	0.635
22	a	-	-	-	-
23	a	-	-	-	-
24	C	3.5	5	0.673	0.327
25	C	6.5	0.7	0.053	0.947
26	A	5.9	3.3	0.215	0.785
27	a	-	-	-	-
28	C	5.9	3	0.196	0.804
29	A	9.6	7.9	0.302	0.698
30	A	4.5	6.5	0.766	0.234
31	A	8.3	10.6	0.760	0.240

TABLA XXI

CLASIFICACION Noviembre 1966

Fecha	Tipo	Distancia de Mahalanobis		Probabilidad de Pertenencia	
		A	C	A	C
1	A	3.3	4.4	0.635	0.365
2	C	12.6	4.1	0.014	0.986
3	C	16.7	6.7	0.007	0.993
4	C	11.4	7.4	0.123	0.877
5	(C)	-	-	0.21	0.79
6	c	-	-	-	-
7	(C)	-	-	0	1
8	c	-	-	-	-
9	C	13.7	2.5	0.004	0.996
10	(A)	-	-	0.96	0.04
11	A	3.3	8.3	0.925	0.075
12	A	1.9	7	0.929	0.071
13	A	2.3	7	0.915	0.085
14	A	2.1	5.7	0.860	0.140
15	A	2.7	10.9	0.984	0.016
16	A	5.5	18.7	0.999	0.001
17	A	1.8	8.3	0.962	0.038
18	C	8.6	5.9	0.211	0.789
19	C	10.6	5.6	0.077	0.923
20	C	10.2	5.6	0.092	0.908
21	A	6.1	6.9	0.598	0.402
22	C	7.3	4.8	0.223	0.777
23	A	11.1	8.2	0.191	0.809
24	a	-	-	-	-
25	A	8	14.3	0.958	0.042
26	A	7.7	17.4	0.992	0.008
27	A	15.3	31	1	0
28	A	8.2	21.4	0.999	0.001
29	a	-	-	-	-
30	A	4.1	11.8	0.979	0.021

TABLA XXII

CLASIFICACION Diciembre 1966

Fecha	Tipo	Distancia de Mahalanobis		Probabilidad de Pertenencia	
		A	C	A	C
1	(C)	-	-	0.19	0.81
2	C	11.6	1.7	0.007	0.993
3	A	7.7	16.7	0.989	0.011
4	A	1.7	7.3	0.943	0.057
5	A	1.7	6.4	0.915	0.085
6	A	1.6	15.4	0.999	0.001
7	A	0.6	10.7	0.994	0.006
8	A	2.2	10.6	0.985	0.015
9	A	2.5	14.2	0.997	0.003
10	A	3.9	17.9	0.999	0.001
11	A	3.1	17.6	0.999	0.001
12	A	5	16.4	0.997	0.003
13	C	5.5	3.9	0.309	0.691
14	A	1.6	7.9	0.957	0.043
15	A	2.1	10	0.980	0.020
16	A	1	9.9	0.989	0.011
17	A	1.2	5.9	0.912	0.088
18	A	0.4	14.7	0.999	0.001
19	A	1.9	19.5	1	0
20	A	1.1	13.9	0.998	0.002
21	A	1.9	11.2	0.990	0.010
22	A	3.6	10.3	0.966	0.034
23	A	5	24.5	1	0
24	A	2.7	14.7	0.998	0.002
25	A	1.3	15.8	0.999	0.001
26	a	-	-	-	-
27	A	1.7	5.9	0.892	0.108
28	A	1.9	8.3	0.961	0.039
29	a	-	-	-	-
30	a	-	-	-	-
31	a	-	-	-	-

**TABLA XXIII**

Fecha	Tipo	CLASIFICACION		Enero 1967	
		Distancia de Mahalanobis		Probabilidad de Pertenencia	
		A	C	A	C
1	a	-	-	-	-
2	A	7.2	18.8	0.997	0.003
3	A	6.6	22.9	1	0
4	A	6.6	22.9	1	0
5	A	9.9	32.9	1	0
6	A	2.6	5.6	0.820	0.180
7	A	8.1	22.1	0.999	0.001
8	C	4.6	7	0.769	0.231
9	C	15	3.5	0.003	0.997
10	C	27.6	8.8	0	1
11	c	-	-	-	-
12	A	2.1	10.5	0.985	0.015
13	A	3.3	21.8	1	0
14	A	8.2	33.7	1	0
15	A	2.8	23.3	1	0
16	A	3.5	22	1	0
17	A	0.5	15	0.999	0.001
18	A	5.3	18.1	0.998	0.002
19	C	3.1	7.3	0.889	0.111
20	c	-	-	-	-
21	A	1.6	13.5	0.997	0.003
22	A	3.9	6.8	0.812	0.188
23	A	1.6	14.1	0.998	0.002
24	A	3.2	12.6	0.991	0.009
25	A	2.7	11.9	0.990	0.010
26	A	5.5	15.1	0.992	0.008
27	A	11.4	32.9	1	0
28	A	1.8	14.3	0.998	0.002
29	A	0.4	9.8	0.991	0.009
30	C	4.8	5.4	0.577	0.423
31	C	4.6	3.2	0.328	0.672

TABLA XXIV

CLASIFICACION Febrero 1967

Fecha	Tipo	Distancia de Mahalanobis		Probabilidad de Pertenencia	
		A	C	A	C
1	A	1.8	11.1	0.991	0.009
2	A	0.8	13.3	0.998	0.002
3	a	-	-	-	-
4	A	3.6	17.3	0.999	0.001
5	A	1.1	9.3	0.984	0.016
6	A	1.7	9	0.975	0.025
7	a	-	-	-	-
8	A	4.2	4.1	0.494	0.506
9	A	5.5	4	0.319	0.681
10	C	4.6	5	0.548	0.452
11	C	8.6	4.2	0.099	0.901
12	C	12.9	4.8	0.015	0.985
13	C	12.5	2.3	0.006	0.994
14	C	11.1	3	0.017	0.983
15	C	10.7	8	0.205	0.795
16	C	23.8	13	0.004	0.996
17	C	19.3	5.5	0.001	0.999
18	C	9.4	3.9	0.062	0.938
19	A	2.8	12.4	0.992	0.008
20	A	3.7	13	0.990	0.010
21	A	6.9	25.8	1	0
22	A	3.8	17.3	0.999	0.001
23	A	7.5	16.5	0.989	0.011
24	a	-	-	-	-
25	C	12.9	5.6	0.025	0.975
26	C	17.6	3.9	0.001	0.999
27	A	4.5	5.3	0.592	0.408
28	A	2.8	18.3	1	0

TABLA XXV

Fecha	Tipo	CLASIFICACION		Marzo 1967	
		Distancia de Mahalanobis		Probabilidad de Pertenencia	
		A	C	A	C
1	A	9.6	34.5	1	0
2	A	5.4	22.6	1	0
3	A	1.6	13.5	0.997	0.003
4	A	2.9	10.7	0.981	0.019
5	A	3.1	7.2	0.882	0.118
6	A	0.2	7.0	0.968	0.032
7	A	1.2	7.4	0.956	0.044
8	(C)	-	-	0.62	0.38
9	(C)	-	-	0	1
10	C	5.2	1.8	0.154	0.846
11	A	2.6	12	0.991	0.009
12	A	3.8	23.6	1	0
13	A	3.5	22.3	1	0
14	A	9	34.2	1	0
15	A	3.3	22	1	0
16	A	2.6	17.1	0.999	0.001
17	A	2.4	19.8	1	0
18	A	6.5	28.5	1	0
19	A	2.4	18.1	1	0
20	a	-	-	-	-
21	A	3.6	23.5	1	0
22	A	3.5	17.9	0.999	0.001
23	A	0.6	13.9	0.999	0.001
24	a	-	-	-	-
25	A	0.2	8.8	0.986	0.014
26	A	5.1	17.2	0.745	0.255
27	A	1.2	4.2	0.815	0.185
28	A	1.3	5.8	0.903	0.097
29	a	-	-	-	-
30	A	7.7	8.4	0.593	0.407
31	A	5.4	14.5	0.990	0.010

TABLA XXVI

Fecha	Tipo	CLASIFICACION		Abril 1967	
		Distancia de Mahalanobis		Probabilidad de Pertenencia	
		A	C	A	C
1	A	6.6	18.8	0.998	0.002
2	A	1.2	10	0.988	0.012
3	A	0.1	7.4	0.974	0.026
4	A	0.1	8.6	0.986	0.014
5	A	1.7	12.5	0.996	0.004
6	A	2.5	5.2	0.790	0.210
7	C	22.7	4.8	0	1
8	c	-	-	-	-
9	C	38.7	10.9	0	1
10	C	17.8	4.1	0.001	0.999
11	C	12.9	2.4	0.005	0.995
12	C	10	1.3	0.013	0.987
13	C	10.5	3.2	0.025	0.975
14	C	6.5	2	0.098	0.902
15	C	6.8	1.9	0.080	0.920
16	C	19.1	2.7	0	1
17	C	13.8	1	0.002	0.998
18	C	7.4	0	0.024	0.976
19	C	10	0.1	0.007	0.993
20	C	16.9	3.6	0.001	0.999
21	c	-	-	-	-
22	C	8.9	0.6	0.016	0.984
23	a	-	-	-	-
24	a	-	-	-	-
25	A	3.5	4.1	0.569	0.431
26	C	9.4	0.8	0.013	0.987
27	C	5	1.7	0.166	0.834
28	C	13.3	8.5	0.083	0.917
29	C	18	8.3	0.008	0.992
30	C	9.3	2.1	0.027	0.973

TABLA XXVII

Fecha	Tipo	CLASIFICACION		Mayo 1967	
		Distancia de Mahalanobis		Probabilidad de Pertenencia	
		A	C	A	C
1	C	5	1.2	0.132	0.868
2	C	16.8	11.9	0.80	0.920
3	C	13.9	0.8	0.001	0.999
4	C	14.1	2	0.002	0.998
5	c	-	-	-	-
6	c	-	-	-	-
7	C	5.4	0.7	0.086	0.014
8	A	0.5	5.5	0.926	0.074
9	C	4.3	3.2	0.362	0.638
10	C	8.8	3.5	0.065	0.935
11	C	10.9	1.4	0.009	0.991
12	C	17	1.5	0	1
13	C	9.4	1.4	0.018	0.982
14	C	16.8	3.9	0.002	0.998
15	C	16.2	4	0.002	0.998
16	C	17.1	1.6	0	1
17	C	14.9	1.2	0.001	0.999
18	C	4.4	1.2	0.170	0.830
19	a	-	-	-	-
20	(A)	-	-	1	0
21	A	2.5	16.8	0.999	0.001
22	A	0.6	6.6	0.953	0.047
23	a	-	-	-	-
24	A	0.7	14.1	0.999	0.001
25	(A)	-	-	1	0
26	(A)	-	-	0.99	0.01
27	(C)	-	-	0.27	0.73
28	A	3.3	3.5	0.513	0.487
29	A	0.5	7.7	0.974	0.026
30	A	0.3	11.4	0.996	0.004
31	A	4	17.7	0.999	0.001

TABLA XXVIII

Fecha	Tipo	CLASIFICACION		Junio 1967	
		Distancia de Mahalanobis		Probabilidad de Pertenencia	
		A	C	A	C
1	A	3.6	9.7	0.955	0.045
2	C	7.5	4.6	0.188	0.812
3	C	15	4.7	0.006	0.994
4	C	9.9	8.3	0.307	0.693
5	C	19.2	8.6	0.005	0.995
6	C	366.4	338.2	0	1
7	C	17.7	5.9	0.003	0.997
8	A	8.6	5.3	0.160	0.840
9	A	3.1	6	0.806	0.194
10	A	4.2	3.6	0.431	0.569
11	A	4.6	5.6	0.616	0.384
12	A	6.4	3.5	0.189	0.811
13	(C)	-	-	0.02	0.98
14	C	8.7	3.3	0.063	0.937
15	C	9.8	2.7	0.027	0.973
16	C	15.9	3.6	0.002	0.998
17	C	16.9	5.3	0.003	0.997
18	C	20.5	5.5	0.001	0.999
19	C	19.8	7.9	0.003	0.997
20	a	-	-	-	-
21	A	2.8	13.8	0.996	0.004
22	a	-	-	-	-
23	A	23	25.8	0.805	0.195
24	A	5.1	5.7	0.585	0.415
25	A	6.7	18.9	0.998	0.002
26	A	8.8	12.8	0.881	0.119
27	A	7.8	9.3	0.676	0.324
28	a	-	-	-	-
29	A	1.8	14.6	0.998	0.002
30	A	5.2	13.8	0.986	0.014

TABLA XXIX

CLASIFICACION      Julio 1967

Fecha	Tipo	Distancia de Mahalanobis		Probabilidad de Pertenencia	
		A	C	A	C
1	a	-	-	-	-
2	a	-	-	-	-
3	A	0.7	6.6	0.951	0.049
4	a	-	-	-	-
5	A	3.5	14.3	0.995	0.005
6	a	-	-	-	-
7	a	-	-	-	-
8	A	5.7	20.5	0.999	0.001
9	A	12	37.6	1	0
10	A	3.7	16.9	0.999	0.001
11	a	-	-	-	-
12	A	2.7	11.7	0.989	0.011
13	A	2.3	8.1	0.947	0.053
14	a	-	-	-	-
15	A	3.3	16.8	0.999	0.001
16	a	-	-	-	-
17	A	1.5	14.6	0.999	0.001
18	A	2.8	14.5	0.997	0.003
19	A	12	23.6	0.997	0.003
20	a	-	-	-	-
21	a	-	-	-	-
22	A	4.7	15.8	0.996	0.004
23	A	0.6	7.9	0.974	0.026
24	a	-	-	-	-
25	A	2.9	12	0.990	0.010
26	A	2.3	13	0.995	0.005
27	A	5.5	5.4	0.482	0.518
28	A	1.9	7.4	0.941	0.059
29	A	2.9	4.3	0.660	0.340
30	A	4.7	18.6	0.999	0.001
31	A	2.6	12.1	0.991	0.009

TABLA XXX

Fecha	Tipo	CLASIFICACION		Agosto 1967	
		Distancia de Mahalanobis		Probabilidad de Pertenencia	
		A	C	A	C
1	A	0.8	11	0.994	0.006
2	A	4.4	13	0.987	0.013
3	A	1.4	8.7	0.975	0.025
4	A	2.6	5.9	0.834	0.166
5	C	7.1	3.2	0.124	0.876
6	A	1.5	13.4	0.997	0.003
7	A	3	12.9	0.993	0.007
8	c	-	-	-	-
9	c	-	-	-	-
10	a	-	-	-	-
11	a	-	-	-	-
12	A	5	17.2	0.998	0.002
13	A	2.2	6.6	0.899	0.101
14	A	4.3	11.7	0.976	0.024
15	A	3.8	19.5	1	0
16	A	10.1	23.8	0.999	0.001
17	A	5.5	23.4	1	0
18	A	2.4	8.7	0.958	0.042
19	a	-	-	-	-
20	A	1.2	6.3	0.930	0.070
21	A	1.8	9.5	0.979	0.021
22	A	0.8	11.9	0.996	0.004
23	A	2.6	17.2	0.999	0.001
24	A	0.8	10.1	0.991	0.009
25	C	6.1	1.4	0.087	0.913
26	C	13	2.6	0.005	0.995
27	A	3.6	5.5	0.714	0.286
28	A	2.7	9.5	0.968	0.032
29	a	-	-	-	-
30	A	1.7	9.1	0.976	0.024
31	A	2.7	8.9	0.956	0.044

TABLA XXXI

CLASIFICACION Septiembre 1967

Fecha	Tipo	Distancia de Mahalanobis		Probabilidad de Pertenencia	
		A	C	A	C
1	A	7.1	16.5	0.991	0.009
2	A	2.8	16.1	0.975	0.025
3	a	-	-	-	-
4	a	-	-	-	-
5	a	-	-	-	-
6	a	-	-	-	-
7	a	-	-	-	-
8	a	-	-	-	-
9	a	-	-	-	-
10	a	-	-	-	-
11	a	-	-	-	-
12	a	-	-	-	-
13	a	-	-	-	-
14	A	2.2	3.7	0.680	0.320
15	A	0.7	5.4	0.911	0.089
16	a	-	-	-	-
17	A	0.9	5.8	0.921	0.079
18	A	0.1	6.1	0.953	0.047
19	A	1.1	10.3	0.990	0.010
20	A	0.5	9.6	0.990	0.010
21	c	-	-	-	-
22	A	2.1	4.7	0.791	0.209
23	A	2	5.7	0.865	0.135
24	A	3	6.5	0.851	0.149
25	A	1.1	8.4	0.975	0.024
26	A	4.1	7.1	0.817	0.183
27	A	0.8	9.9	0.989	0.011
28	A	1.4	13.1	0.997	0.003
29	A	1	12.8	0.997	0.003
30	A	2	14.4	0.998	0.002

TABLA XXXII

Fecha	Tipo	CLASIFICACION		Octubre	1967
		Distancia de Mahalanobis		Probabilidad de Pertenencia	
		A	C	A	C
1	a	-	-	-	-
2	A	0.6	6.9	0.959	0.041
3	A	1	5	0.081	0.119
4	a	-	-	-	-
5	A	1.5	3.6	0.747	0.253
6	A	1	9.1	0.983	0.017
7	A	1.1	13.4	0.998	0.002
8	A	1.4	14.5	0.999	0.001
9	A	9.7	16.9	0.974	0.026
10	A	3.3	16.4	0.999	0.001
11	A	1	12.9	0.997	0.003
12	c	-	-	-	-
13	C	72.5	56.3	0	1
14	C	4.3	5	0.596	0.404
15	A	0.1	8.4	0.985	0.015
16	A	3.2	10.9	0.979	0.021
17	A	0.6	11	0.995	0.005
18	A	3.9	16	0.998	0.002
19	A	4.1	14.3	0.994	0.006
20	A	1	8.3	0.975	0.025
21	c	-	-	-	-
22	(C)	-	-	0.13	0.87
23	C	15.6	3.4	0.002	0.998
24	C	10.6	3.1	0.023	0.997
25	A	2	4.1	0.738	0.262
26	A	1.1	6.4	0.935	0.065
27	A	2.6	5.2	0.779	0.221
28	A	1.9	5.7	0.868	0.132
29	A	1.3	3.7	0.762	0.238
30	a	-	-	-	-
31	A	3.5	12.4	0.989	0.011

TABLA XXXIII

CLASIFICACION Noviembre 1967

Fecha	Tipo	Distancia de Mahalanobis		Probabilidad de Pertenencia	
		A	C	A	C
1	a	-	-	-	-
2	C	2.3	3.2	0.619	0.381
3	C	4.6	1.6	0.185	0.815
4	C	59.4	41.5	0	1
5	C	25.7	7.5	0	1
6	C	8.2	3.6	0.092	0.908
7	C	16.9	3.6	0.001	0.999
8	C	34.8	12.9	0	1
9	C	37.6	12.8	0	1
10	A	2.8	2.7	0.480	0.520
11	A	0.9	11.6	0.995	0.005
12	a	-	-	-	-
13	A	4.1	9.5	0.938	0.062
14	A	2.7	5.5	0.800	0.200
15	C	7.6	1	0.035	0.965
16	C	13.9	2.6	0.004	0.996
17	C	18.9	3.6	0	1
18	C	3.8	1	0.026	0.974
19	C	3.7	2.1	0.312	0.688
20	(C)	-	-	0.37	0.67
21	A	4	1.8	0.246	0.754
22	(A)	-	-	1	0
23	A	3	14.4	0.997	0.003
24	A	2.7	8	0.933	0.067
25	C	10.1	4.2	0.049	0.951
26	C	13.5	2.7	0.005	0.995
27	A	8.7	4.2	0.094	0.906
28	A	5.6	11	0.936	0.064
29	a	-	-	-	-
30	A	3.6	13.7	0.994	0.006

TABLA XXXIV

CLASIFICACION Diciembre 1967

Fecha	Tipo	Distancia de Mahalanobis		Probabilidad de Pertenencia	
		A	C	A	C
1	A	3.9	8.2	0.898	0.102
2	A	1.1	10.8	0.992	0.008
3	A	2.4	15.6	0.999	0.001
4	A	2	20.6	1	0
5	A	3	19.9	1	0
6	A	3.4	17.7	0.999	0.001
7	(A)	-	-	0.99	0.01
8	A	4.8	5.5	0.579	0.421
9	A	5.6	8.8	0.831	0.169
10	C	8.4	6.3	0.254	0.746
11	C	22.5	18.6	0.126	0.874
12	A	10.9	27	1	0
13	A	4.7	17.5	0.998	0.002
14	A	2	11.6	0.992	0.008
15	a	-	-	-	-
16	A	3.6	21.5	1	0
17	A	7.9	28.4	1	0
18	a	-	-	-	-
19	A	7.9	32.9	1	0
20	A	2.9	18.6	1	0
21	A	3.6	13.2	0.992	0.008
22	A	6.7	25	1	0
23	A	7.3	28	1	0
24	A	8.5	25.5	1	0
25	C	5.9	4.9	0.375	0.625
26	c	-	-	-	-
27	(C)	-	-	0.14	0.86
28	A	6.4	19.8	0.999	0.001
29	A	3.9	3.9	0.495	0.505
30	a	-	-	-	-
31	A	14.4	21.6	0.974	0.026

TABLA XXXV

Fecha	Tipo	CLASIFICACION		Enero 1968	
		Distancia de Mahalanobis		Probabilidad de Pertenencia	
		A	C	A	C
1	A	12.9	23.1	0.994	0.009
2	a	-	-	-	-
3	A	5.2	14.9	0.992	0.008
4	a	-	-	-	-
5	a	-	-	-	-
6	A	2	16.6	0.999	0.001
7	A	1.1	15	0.999	0.001
8	(A)	-	-	1	0
9	A	3.5	18.9	1	0
10	A	2.7	9.2	0.961	0.039
11	A	0.7	7.5	0.968	0.032
12	A	1.3	14.8	0.999	0.001
13	A	4.1	21.7	1	0
14	A	7.5	29.9	1	0
15	(A)	-	-	1	0
16	A	5.5	26	1	0
17	A	1.8	17.2	1	0
18	A	4.1	25.5	1	0
19	A	8.9	32.2	1	0
20	A	7.1	23.1	1	0
21	A	2.6	13.9	0.996	0.004
22	A	6.2	24.1	1	0
23	A	2.4	13.7	0.997	0.003
24	A	5.8	25.3	1	0
25	A	18.3	35.3	1	0
26	A	5.9	24.3	1	0
27	A	5.9	25.4	1	0
28	A	0.7	10.8	0.994	0.006
29	A	1.6	7	0.938	0.062
30	A	1.1	12.4	0.997	0.003
31	a	-	-	-	-

TABLA XXXVI

Fecha	Tipo	CLASIFICACION		Febrero 1968	
		Distancia de Mahalanobis		Probabilidad de Pertenencia	
		A	C	A	C
1	A	2.3	10.7	0.985	0.015
2	A	2.5	15.6	0.999	0.001
3	a	-	-	-	-
4	A	17.1	29	0.997	0.003
5	a	-	-	-	-
6	C	12.2	7.1	0.071	0.929
7	C	7.8	2.2	0.056	0.944
8	(C)	-	-	0	1
9	c	-	-	-	-
10	c	-	-	-	-
11	c	-	-	-	-
12	C	9.4	1.1	0.016	0.984
13	C	16.8	3.8	0.001	0.999
14	C	27.2	8.9	0	1
15	C	18.4	1.4	0	1
16	C	20.2	2.4	0	1
17	C	9.7	0.2	0.009	0.991
18	C	29.9	8.3	0	1
19	c	-	-	-	-
20	C	23.9	13.6	0.006	0.994
21	C	11.5	2.7	0.012	0.988
22	c	-	-	-	-
23	C	17.1	3.3	0.001	0.999
24	C	18.9	3.1	0	1
25	C	22.7	2.9	0	1
26	c	-	-	-	-
27	a	-	-	-	-
28	A	4.4	9.5	0.927	0.073
29	C	7.3	5	0.244	0.756

TABLA XXXVII

Fecha	Tipo	CLASIFICACION		Marzo 1968	
		Distancia de Mahalanobis		Probabilidad de Pertenencia	
		A	C	A	C
1	C	22.1	4.1	0	1
2	C	18.5	2.2	0	1
3	C	4.3	2.4	0.273	0.727
4	c	-	-	-	-
5	C	4.8	1	0.130	0.870
6	(A)	-	-	0.94	0.06
7	C	18.1	2	0	1
8	C	56.1	20.9	0	1
9	C	26.8	6.2	0	1
10	C	14.9	0.9	0.001	0.999
11	C	13	0.5	0.002	0.998
12	a	-	-	-	-
13	A	1	7.7	0.965	0.035
14	A	2	12.9	0.996	0.004
15	(A)	-	-	0.86	0.14
16	A	3.6	2.3	0.346	0.654
17	A	0.5	9.7	0.990	0.010
18	A	5.8	27	1	0
19	A	0.7	5.8	0.927	0.073
20	C	12	6.8	0.069	0.931
21	c	-	-	-	-
22	A	1.9	14.8	0.998	0.002
23	A	3.9	17.2	0.999	0.001
24	A	1	5.3	0.899	0.101
25	c	-	-	-	-
26	A	1.6	4.7	0.825	0.175
27	A	1.2	10.7	0.992	0.008
28	C	5	6.6	0.683	0.317
29	(C)	-	-	0.06	0.94
30	C	9.2	0.1	0.011	0.989
31	C	5	1.2	0.132	0.868

TABLA XXXVIII

Fecha	Tipo	CLASIFICACION		Abril 1968	
		Distancia de Mahalanobis		Probabilidad de Pertenencia	
		A	C	A	C
1	a	-	-	-	-
2	C	4.4	1	0.154	0.846
3	C	3.4	1.3	0.253	0.747
4	C	9.8	0.4	0.009	0.991
5	c	-	-	-	-
6	C	14.7	3.9	0.005	0.995
7	C	14.7	3.1	0.003	0.997
8	C	5.3	1.1	0.110	0.890
9	C	5	0.6	0.099	0.901
10	C	3.5	1.2	0.245	0.755
11	A	1.6	3.2	0.695	0.305
12	C	3.3	2.6	0.417	0.582
13	c	-	-	-	-
14	c	-	-	-	-
15	c	-	-	-	-
16	c	-	-	-	-
17	c	-	-	-	-
18	c	-	-	-	-
19	A	2.4	7.2	0.918	0.082
20	C	3.7	2.3	0.334	0.666
21	(C)	-	-	0.75	0.25
22	c	-	-	-	-
23	A	0.3	6.8	0.962	0.038
24	A	0.1	9.5	0.991	0.009
25	A	0.6	11.8	0.996	0.004
26	A	0.6	8.1	0.977	0.023
27	A	1.6	5.4	0.872	0.128
28	C	2.5	2.6	0.515	0.485
29	(C)	-	-	0.06	0.94
30	c	-	-	-	-

TABLA XXXIX

Fecha	Tipo	CLASIFICACION		Mayo 1968	
		Distancia de Mahalanobis		Probabilidad de Pertenencia	
		A	C	A	C
1	A	3	4	0.625	0.375
2	C	-	-	-	-
3	C	7.5	3.1	0.099	0.901
4	C	18.4	4.3	0.001	0.999
5	(C)	-	-	0	1
6	C	10.3	1.4	0.011	0.989
7	A	4.8	13.7	0.988	0.012
8	A	2.7	7.1	0.899	0.101
9	C	15.2	0.9	0.001	0.999
10	C	7	0.1	0.030	0.970
11	C	6.5	2.2	0.102	0.898
12	A	3.7	2.4	0.340	0.660
13	A	1.8	8.5	0.966	0.034
14	A	3.1	18.5	1	0
15	A	2.2	11.5	0.991	0.009
16	a	-	-	-	-
17	A	4.3	11.2	0.969	0.031
18	C	3.4	3.2	0.483	0.517
19	C	8.5	4.3	0.113	0.887
20	C	8.4	0.1	0.015	0.985
21	C	7.6	0.2	0.024	0.976
22	C	5.7	0.7	0.078	0.922
23	C	6.4	1	0.062	0.938
24	A	0.9	7.3	0.960	0.040
25	A	2.2	6.3	0.886	0.114
26	A	2.9	12.5	0.992	0.008
27	C	4.4	3.5	0.385	0.615
28	A	1.2	6.1	0.918	0.082
29	A	1.1	10.2	0.990	0.010
30	A	1.4	9.7	0.984	0.016
31	a	-	-	-	-

TABLA XL

Fecha	Tipo	CLASIFICACION		Junio 1968	
		Distancia de Mahalanobis		Probabilidad de Pertenencia	
		A	C	A	C
1	C	10.3	6.8	0.146	0.854
2	C	21.5	8	0.001	0.999
3	C	14.3	5.6	0.013	0.987
4	a	-	-	-	-
5	A	3.3	8.5	0.930	0.070
6	C	3.7	3	0.412	0.588
7	a	-	-	-	-
8	C	7.9	4	0.125	0.875
9	C	9	5.1	0.123	0.877
10	C	11.6	4.5	0.028	0.972
11	C	28.4	14.8	0.001	0.999
12	c	-	-	-	-
13	C	9.7	3.1	0.035	0.965
14	C	23.8	9.2	0.001	0.999
15	C	14.1	3.5	0.005	0.995
16	C	5.8	1.9	0.123	0.877
17	c	-	-	-	-
18	C	10.4	4.1	0.042	0.958
19	C	15	3.2	0.003	0.997
20	A	4.7	9	0.898	0.102
21	A	8.5	14.9	0.960	0.040
22	a	-	-	-	-
23	C	22.7	15.2	0.022	0.978
24	A	4.9	14.5	0.992	0.008
25	a	-	-	-	-
26	a	-	-	-	-
27	A	8.3	24.8	1	0
28	A	2.7	14.3	0.997	0.003
29	A	5.9	19.4	0.999	0.001
30	A	10.7	29.5	1	0

TABLA XLI

Fecha	Tipo	CLASIFICACION		Julio 1968	
		Distancia de Mahalanobis		Probabilidad de Pertenencia	
		A	C	A	C
1	A	5.2	12.5	0.975	0.025
2	a	-	-	-	-
3	A	5.9	9.3	0.843	0.157
4	a	-	-	-	-
5	A	1.6	9.3	0.979	0.021
6	a	-	-	-	-
7	A	5.7	13.7	0.982	0.018
8	A	4.6	12.7	0.983	0.017
9	a	-	-	-	-
10	A	8.9	27.2	1	0
11	a	-	-	-	-
12	A	3.8	15.1	0.997	0.003
13	A	7.2	13.6	0.960	0.040
14	A	6.3	10.2	0.873	0.127
15	A	3.6	9.5	0.949	0.051
16	a	-	-	-	-
17	A	4	9.8	0.949	0.051
18	A	1.1	12.9	0.997	0.003
19	A	2.4	12	0.992	0.008
20	A	3.3	16.3	0.999	0.001
21	A	16.2	27.6	0.997	0.003
22	A	4	12.2	0.984	0.016
23	A	3.8	11.1	0.975	0.025
24	A	4.9	11.5	0.965	0.035
25	A	4.1	11	0.971	0.027
26	A	3.2	11.4	0.984	0.016
27	a	-	-	-	-
28	a	-	-	-	-
29	A	7.1	9.9	0.796	0.204
30	A	2.9	2.8	0.495	0.505
31	A	2.4	5.5	0.822	0.178

TABLA XLII

CLASIFICACION Agosto 1968

Fecha	Tipo	Distancia de Mahalanobis		Probabilidad de Pertenencia	
		A	C	A	C
1	A	2	8.1	0.954	0.046
2	A	9.3	9.4	0.514	0.486
3	a	-	-	-	-
4	c	-	-	-	-
5	C	8.8	3.7	0.070	0.930
6	A	4.2	8.6	0.902	0.098
7	C	4.1	3.7	0.450	0.550
8	c	-	-	-	-
9	c	-	-	-	-
10	c	-	-	-	-
11	C	9.8	4.5	0.067	0.933
12	a	-	-	-	-
13	A	1.3	9.1	0.981	0.019
14	A	12.8	34.1	1	0
15	A	7.5	20.5	0.999	0.001
16	A	8.4	10	0.690	0.310
17	a	-	-	-	-
18	A	2.2	12.8	0.995	0.005
19	A	9.5	28.6	1	0
20	A	7.4	14.8	0.976	0.024
21	A	4	9	0.926	0.074
22	A	4.1	15.9	0.997	0.002
23	A	6	17.6	0.997	0.003
24	a	-	-	-	-
25	A	5	10.6	0.944	0.056
26	a	-	-	-	-
27	c	-	-	-	-
28	C	21.3	10.3	0.004	0.996
29	c	-	-	-	-
30	A	3.4	3.7	0.534	0.466
31	C	9.5	3.2	0.040	0.960

TABLA XLIII

CLASIFICACION Septiembre 1968

Fecha	Tipo	Distancia de Mahalanobis		Probabilidad de Pertenencia	
		A	C	A	C
1	A	0.6	6.9	0.960	0.040
2	A	0.9	6.4	0.939	0.061
3	A	0	7.5	0.977	0.023
4	A	0.4	11.1	0.995	0.005
5	A	2.5	13.9	0.997	0.003
6	A	3	16.1	0.999	0.001
7	a	-	-	-	-
8	A	1.8	11.6	0.992	0.008
9	A	9.9	23.1	0.999	0.001
10	(A)	-	-	0.98	0.04
11	A	0.3	8.6	0.984	0.016
12	A	7.2	7.8	0.574	0.426
13	A	2.7	4.5	0.709	0.291
14	C	3.3	4.4	0.642	0.358
15	C	4.4	1.8	0.213	0.787
16	C	-	-	-	-
17	C	2.8	2.2	0.421	0.579
18	A	3.8	6.1	0.755	0.245
19	A	2.2	13.6	0.997	0.003
20	A	2.8	12.6	0.992	0.008
21	A	1.2	10.7	0.991	0.009
22	a	-	-	-	-
23	A	4.7	17	0.998	0.002
24	A	5	17	0.997	0.003
25	A	1.6	12.3	0.995	0.005
26	A	2.8	11.6	0.988	0.012
27	A	3.1	13.4	0.994	0.006
28	A	4.3	5.1	0.591	0.409
29	A	8.6	24.9	1	0
30	a	-	-	-	-

TABLA XLIV

Fecha	Tipo	CLASIFICACION		Octubre 1968	
		Distancia de Mahalanobis		Probabilidad de Pertenencia	
		A	C	A	C
1	A	2.4	17	0.999	0.001
2	A	1.5	14	0.998	0.002
3	A	0.3	9.4	0.990	0.010
4	A	3.4	13.9	0.995	0.005
5	A	1.6	14	0.998	0.002
6	A	12.3	35.8	1	0
7	A	3.3	13.7	0.994	0.006
8	A	1.5	3.6	0.747	0.253
9	A	0.2	7.6	0.975	0.025
10	A	2.4	16.1	0.999	0.001
11	A	2.2	16.9	0.999	0.001
12	A	7.9	28.5	1	0
13	A	6.9	25.5	1	0
14	A	2.6	16.8	0.999	0.001
15	A	1.1	12.8	0.997	0.003
16	A	0.4	5.7	0.934	0.066
17	A	1.9	12.5	0.995	0.005
18	A	1.4	9.8	0.985	0.015
19	A	1.4	14.7	0.999	0.001
20	A	0.7	12.4	0.997	0.003
21	(A)	-	-	1	0
22	A	1	13.5	0.998	0.002
23	A	2.9	16.1	0.999	0.001
24	C	-	-	-	-
25	A	1.8	3.1	0.654	0.346
26	A	1.3	3.7	0.769	0.231
27	A	1.6	3.1	0.680	0.320
28	C	-	-	-	-
29	A	1.5	5	0.853	0.147
30	C	4.3	2.4	0.286	0.714
31	C	10	1.3	0.013	0.987

TABLA XLV

CLASIFICACION Noviembre 1968

Fecha	Tipo	Distancia de Mahalanobis		Probabilidad de Pertenencia	
		A	C	A	C
1	C	41.6	15.8	0	1
2	c	-	-	-	-
3	c	-	-	-	-
4	C	6.3	1.7	0.093	0.907
5	C	20.6	12.3	0.016	0.984
6	C	5	1.8	0.169	0.831
7	C	5.5	2	0.151	0.849
8	C	10.7	1.9	0.012	0.988
9	A	3	3	0.506	0.494
10	A	2.9	4.1	0.654	0.346
11	(A)	-	-	1	0
12	A	2.7	5.5	0.806	0.194
13	C	16.1	3.4	0.002	0.998
14	C	23.6	6.4	0	1
15	C	37.6	16	0	1
16	C	43.6	19.3	0	1
17	C	14.3	2.9	0.003	0.997
18	C	4.6	1.3	0.162	0.838
19	C	3.3	2.9	0.460	0.540
20	A	1.6	5.2	0.855	0.145
21	A	2.5	5.9	0.848	0.152
22	A	1.7	8.7	0.970	0.030
23	A	2	1.4	0.991	0.009
24	A	4.1	15	0.996	0.004
25	A	2.8	13.6	0.996	0.004
26	A	0.6	6.9	0.960	0.040
27	C	4.2	1.7	0.230	0.770
28	C	16.6	2.1	0.001	0.999
29	C	28.7	8.9	0	1
30	c	-	-	-	-

TABLA XLVI

CLASIFICACION Diciembre 1968

Fecha	Tipo	Distancia de Mahalanobis		Probabilidad de Pertenencia	
		A	C	A	C
1	A	2	4.4	0.767	0.233
2	C	6.2	2.9	0.155	0.845
3	A	5.7	3.7	0.271	0.729
4	A	2.8	7.2	0.898	0.102
5	A	1.8	5.4	0.858	0.142
6	C	16	4.8	0.004	0.996
7	C	36.6	18.4	0	1
8	C	30.1	9	0	1
9	C	13.7	2.3	0.003	0.997
10	C	14	6.6	0.025	0.975
11	C	10.8	5.9	0.080	0.920
12	A	2.2	10	0.979	0.021
13	A	3.8	8.3	0.903	0.097
14	C	10.4	3.2	0.027	0.973
15	a	-	-	-	-
16	(C)	-	-	0.10	0.90
17	c	-	-	-	-
18	(C)	-	-	0	1
19	C	11	2.6	0.015	0.985
20	A	1.7	5.4	0.861	0.139
21	A	4.6	9.6	0.927	0.073
22	a	-	-	-	-
23	A	5.1	20.8	1	0
24	A	7.9	30.3	1	0
25	A	5	21.9	1	0
26	A	3.9	16.2	0.998	0.002
27	A	4.7	9	0.894	0.106
28	A	5.5	8.4	0.813	0.187
29	A	5.7	6.6	0.602	0.398
30	A	17.2	19.5	0.755	0.245
31	a	-	-	-	-

TABLA XLVII

Fecha	Tipo	CLASIFICACION		Enero	1969
		Distancia de Mahalanobis		Probabilidad de Pertenencia	
		A	C	A	C
1	A	7.4	17	0.992	0.008
2	A	3.3	15.8	0.998	0.002
3	A	4.1	19.8	1	0
4	A	4.5	14.8	0.995	0.005
5	A	6.9	12.1	0.773	0.227
6	C	12.5	7.6	0.080	0.920
7	C	12.6	2.5	0.006	0.994
8	(C)	-	-	0.31	0.69
9	C	47.6	38.3	0.009	0.991
10	C	37.2	14.1	0	1
11	c	-	-	-	-
12	c	-	-	-	-
13	c	-	-	-	-
14	c	-	-	-	-
15	c	-	-	-	-
16	c	-	-	-	-
17	c	-	-	-	-
18	a	-	-	-	-
19	A	5.7	7.4	0.699	0.301
20	A	4.9	9.4	0.905	0.095
21	A	8.8	15.8	0.972	0.028
22	A	6.3	14.2	0.981	0.019
23	(A)	-	-	0	1
24	A	2.5	15.6	0.999	0.001
25	A	2.6	14.1	0.997	0.003
26	a	-	-	-	-
27	A	2.6	11.9	0.990	0.010
28	A	3.8	10.7	0.970	0.030
29	A	1.8	7.7	0.950	0.050
30	A	4	6.2	0.749	0.251
31	A	2.1	8.8	0.965	0.035

TABLA XLVIII

Fecha	Tipo	CLASIFICACION		Febrero 1969	
		Distancia de Mahalanobis		Probabilidad de Pertenencia	
		A	C	A	C
1	A	0.6	8.8	0.984	0.016
2	C	-	-	-	-
3	C	58.6	39.5	0	1
4	C	8.7	3.5	0.068	0.932
5	(A)	-	-	1	0
6	A	2.6	16.5	0.999	0.001
7	A	2.2	5.7	0.844	0.156
8	C	6.8	4.9	0.279	0.721
9	C	3.4	4.1	0.588	0.412
10	C	8.9	3.1	0.051	0.949
11	A	4.1	7.9	0.866	0.134
12	a	-	-	-	-
13	C	10.7	1.9	0.012	0.988
14	C	27.6	8.5	0	1
15	C	28.5	12.4	0	1
16	C	-	-	-	-
17	C	12.3	4.7	0.022	0.978
18	C	25.8	11.9	0.001	0.999
19	C	44.1	13.8	0	1
20	C	19.4	4.3	0.001	0.999
21	C	38.7	17.1	0	1
22	c	6.3	14.2	0.981	0.019
23	(C)	-	-	0	1
24	C	18.4	4.3	0.001	0.999
25	C	9.2	4.1	0.072	0.928
26	C	6.1	3.4	0.205	0.795
27	C	10.3	2.5	0.020	0.980
28	C	15.9	1.8	0.001	0.999

TABLA XLIX

Fecha	Tipo	CLASIFICACION		Marzo 1969	
		Distancia de Mahalanobis		Probabilidad de Pertenencia	
		A	C	A	C
1	C	21.7	3.2	0	1
2	C	20.7	3.1	0	1
3	C	19.5	2.6	0	1
4	(C)	-	-	0	1
5	C	23.6	5.3	0	1
6	C	6.9	2.9	0.117	0.883
7	C	14.9	1.2	0.001	0.999
8	C	10.7	1	0.008	0.992
9	C	3.7	1.1	0.213	0.787
10	C	3.9	2.4	0.318	0.682
11	A	1.6	5.2	0.858	0.142
12	A	1.2	4.3	0.824	0.176
13	(C)	-	-	0.03	0.97
14	c	-	-	-	-
15	(C)	-	-	0	1
16	c	-	-	-	-
17	C	21.8	4	0	1
18	C	7.5	0.2	0.025	0.975
19	(C)	-	-	0	1
20	A	1.8	5.9	0.883	0.117
21	C	4.7	2.6	0.260	0.740
22	C	13	1	0.003	0.997
23	C	12.1	0.5	0.003	0.997
24	C	11.6	1.4	0.006	0.994
25	c	-	-	-	-
26	C	24.2	4.2	0	1
27	C	24.4	4	0	1
28	C	14.3	5.7	0.014	0.986
29	a	-	-	-	-
30	A	8.2	13.1	0.918	0.082
31	A	1.2	8	0.969	0.031

TABLA L

Fecha	Tipo	CLASIFICACION		Abril 1969	
		Distancia de Mahalanobis		Probabilidad de Pertenencia	
		A	C	A	C
1	C	5.2	1	0.109	0.891
2	C	13.7	1.4	0.002	0.998
3	C	21.3	3	0	1
4	C	17.5	2	0	1
5	c	-	-	-	-
6	C	19.1	2.8	0	1
7	c	-	-	-	-
8	C	14.8	2.4	0.002	0.998
9	A	4.1	3.4	0.412	0.588
10	A	4.2	20	1	0
11	(A)	-	-	1	0
12	A	10.1	37	1	0
13	A	3.1	16.8	0.999	0.001
14	A	2.3	14.6	0.998	0.002
15	A	7.2	28.3	1	0
16	A	4	21	1	0
17	A	0.1	9.9	0.993	0.007
18	A	0.8	4.2	0.844	0.156
19	A	3.6	5.4	0.715	0.285
20	C	4.6	1.3	0.161	0.839
21	C	4	2.7	0.343	0.657
22	C	2.3	2.7	0.555	0.445
23	a	-	-	-	-
24	a	-	-	-	-
25	c	-	-	-	-
26	c	-	-	-	-
27	c	-	-	-	-
28	c	-	-	-	-
29	c	-	-	-	-
30	c	-	-	-	-

TABLA LI

Fecha	Tipo	CLASIFICACION		Mayo 1969	
		Distancia de Mahalanobis		Probabilidad de Pertenencia	
		A	C	A	C
1	C	15.4	1.4	0.001	0.999
2	C	22.6	4.8	0	1
3	(C)	-	-	0	1
4	C	15.2	1.1	0.001	0.999
5	C	12.7	0.7	0.002	0.998
6	(A)	-	-	0.71	0.29
7	A	0.9	7.8	0.970	0.030
8	A	0.5	11.3	0.996	0.004
9	a	-	-	-	-
10	A	3.6	12.3	0.987	0.013
11	a	-	-	-	-
12	a	-	-	-	-
13	A	8.8	12.8	0.879	0.121
14	A	6.8	11.2	0.897	0.103
15	A	1.3	11.2	0.993	0.007
16	A	1.8	9.9	0.983	0.017
17	a	-	-	-	-
18	A	2.7	7	0.893	0.107
19	C	5.8	2.9	0.189	0.811
20	C	3.7	2.2	0.319	0.681
21	A	4	7.2	0.826	0.174
22	A	3.7	7.6	0.872	0.128
23	C	1.9	3.6	0.697	0.303
24	C	20	2.9	0	1
25	C	11	0.3	0.005	0.995
26	C	3.9	2.4	0.324	0.676
27	C	4.5	2.1	0.227	0.773
28	(C)	-	-	0.11	0.89
29	C	5	1.2	0.132	0.868
30	A	2.5	4.3	0.711	0.289
31	A	1.3	14.6	0.999	0.001

TABLA LII

Fecha	Tipo	CLASIFICACION		Junio 1969	
		Distancia de Mahalanobis		Probabilidad de Pertenencia	
		A	C	A	C
1	A	10.8	6	0.082	0.918
2	a	-	-	-	-
3	A	7.3	15.6	0.984	0.016
4	A	4	8.2	0.889	0.111
5	C	11.6	5.8	0.053	0.947
6	c	-	-	-	-
7	c	-	-	-	-
8	C	17	8.8	0.016	0.984
9	(C)	-	-	0	1
10	c	-	-	-	-
11	C	23.8	8.6	0	1
12	C	21.4	6.1	0	1
13	c	-	-	-	-
14	c	-	-	-	-
15	C	21.3	6.1	0	1
16	c	-	-	-	-
17	A	5.8	8.2	0.769	0.231
18	C	6.9	9.7	0.808	0.192
19	a	-	-	-	-
20	a	-	-	-	-
21	C	8.8	8.1	0.415	0.585
22	C	10.7	2.4	0.016	0.984
23	C	17	3.7	0.001	0.999
24	a	-	-	-	-
25	a	-	-	-	-
26	a	-	-	-	-
27	a	-	-	-	-
28	a	-	-	-	-
29	A	5.3	9.1	0.870	0.130
30	a	-	-	-	-

TABLA LIII

Fecha	Tipo	CLASIFICACION		Julio 1969	
		Distancia de Mahalanobis		Probabilidad de Pertenencia	
		A	C	A	C
1	a	-	-	-	-
2	C	22.7	11.6	0.004	0.996
3	a	-	-	-	-
4	a	-	-	-	-
5	A	8.2	13.1	0.924	0.076
6	a	-	-	-	-
7	A	3.6	9.6	0.951	0.049
8	A	4.7	13.4	0.987	0.013
9	A	8	12.4	0.902	0.098
10	a	-	-	-	-
11	A	7.9	26.9	1	0
12	A	22.5	54.6	1	0
13	A	13.5	39.8	1	0
14	A	6.7	23.2	1	0
15	a	-	-	-	-
16	A	5.3	21.9	1	0
17	A	7.5	18.7	0.996	0.004
18	A	12.8	31	1	0
19	a	-	-	-	-
20	A	7.9	23.5	1	0
21	a	-	-	-	-
22	A	3.6	12.2	0.987	0.013
23	A	4.1	4	0.485	0.515
24	a	-	-	-	-
25	A	2.5	13.1	0.995	0.005
26	A	0.5	10.9	0.995	0.005
27	A	1.9	15.3	0.999	0.001
28	A	3.1	16.7	0.999	0.001
29	A	4.5	18.4	0.999	0.001
30	A	5.7	16.3	0.995	0.005
31	A	12.5	26.8	0.999	0.001

TABLA LIV

Fecha	Tipo	CLASIFICACION		Agosto 1969	
		Distancia de Mahalanobis		Probabilidad de Pertenencia	
		A	C	A	C
1	C	6.5	5.4	0.364	0.636
2	C	12.6	9.6	0.183	0.817
3	a	-	-	-	-
4	A	0.6	10.1	0.991	0.009
5	A	0.4	10.8	0.995	0.005
6	a	-	-	-	-
7	A	3	15.7	0.998	0.002
8	A	4.3	14.2	0.993	0.007
9	A	4.7	8.9	0.893	0.107
10	A	6.3	11.5	0.931	0.069
11	A	4.8	10.5	0.946	0.054
12	a	-	-	-	-
13	A	7.1	6.2	0.396	0.604
14	a	-	-	-	-
15	A	4.7	18.6	0.999	0.001
16	a	-	-	-	-
17	A	2.7	11.5	0.987	0.013
18	a	-	-	-	-
19	A	4.6	15.3	0.995	0.005
20	A	14.3	37.5	1	0
21	a	-	-	-	-
22	A	5.7	4.3	0.324	0.676
23	a	-	-	-	-
24	a	-	-	-	-
25	A	4.2	11.8	0.976	0.002
26	A	7.5	26.6	1	0
27	a	-	-	-	-
28	a	-	-	-	-
29	A	5.2	9.1	0.878	0.122
30	c	-	-	-	-
31	c	-	-	-	-

TABLA LV

CLASIFICACION Septiembre 1969

Fecha	Tipo	Distancia de Mahalanobis		Probabilidad de Pertenencia	
		A	C	A	C
1	(C)	-	-	0.07	0.93
2	c	-	-	-	-
3	c	-	-	-	-
4	A	1.2	5.1	0.877	0.123
5	A	0.7	4.2	0.852	0.148
6	A	0.6	5.7	0.929	0.071
7	A	0.3	5.6	0.934	0.066
8	A	1.6	5.2	0.855	0.145
9	A	1.1	3.5	0.767	0.233
10	a	-	-	-	-
11	(A)	-	-	1	0
12	(C)	-	-	0.51	0.49
13	(C)	-	-	0.13	0.87
14	c	-	-	-	-
15	c	-	-	-	-
16	c	-	-	-	-
17	c	-	-	-	-
18	c	-	-	-	-
19	A	2.4	3.5	0.631	0.369
20	(A)	-	-	0.91	0.09
21	a	-	-	-	-
22	A	0.6	11.9	0.996	0.004
23	A	0.7	12.4	0.997	0.003
24	a	-	-	-	-
25	(A)	-	-	1	0
26	A	1	12.9	0.997	0.003
27	A	0.3	9.5	0.990	0.010
28	A	0.3	6.5	0.958	0.042
29	c	-	-	-	-
30	c	-	-	-	-

TABLA LVI

Fecha	Tipo	CLASIFICACION		Octubre 1969	
		Distancia de Mahalanobis		Probabilidad de Pertenencia	
		A	C	A	C
1	C	5	2.6	0.233	0.767
2	c	-	-	-	-
3	c	-	-	-	-
4	C	9.3	2.9	0.040	0.960
5	c	-	-	-	-
6	A	4	3.9	0.479	0.521
7	A	2.6	7.9	0.933	0.067
8	A	0.8	9.9	0.989	0.011
9	A	1.5	8.4	0.969	0.031
10	(A)	-	-	1	0
11	c	-	-	-	-
12	c	-	-	-	-
13	c	-	-	-	-
14	c	-	-	-	-
15	A	2.4	7.6	0.932	0.068
16	A	1.7	7.3	0.943	0.057
17	C	1.7	4.8	0.824	0.176
18	C	14.8	3	0.003	0.997
19	C	29.5	8.5	0	1
20	C	16.3	4	0.002	0.998
21	c	-	-	-	-
22	A	3.1	5.1	0.728	0.272
23	a	-	-	-	-
24	A	2.9	10.3	0.976	0.024
25	a	-	-	-	-
26	A	2.5	15.8	0.999	0.001
27	A	5.1	20.7	1	0
28	A	5.3	21.1	1	0
29	A	1.7	11.2	0.992	0.008
30	A	0.8	6.1	0.933	0.067
31	A	1.3	9.3	0.982	0.018

TABLA LVII

CLASIFICACION Noviembre 1969

Fecha	Tipo	Distancia de Mahalanobis		Probabilidad de Pertenencia	
		A	C	A	C
1	a	-	-	-	-
2	A	1.9	12.3	0.995	0.005
3	A	2.2	13.5	0.996	0.004
4	A	1.8	10.1	0.984	0.016
5	A	3.1	12.2	0.996	0.004
6	A	2.1	14	0.997	0.003
7	(A)	-	-	1	0
8	C	4.7	0.8	0.126	0.874
9	C	3.8	1.6	0.244	0.756
10	A	2.3	5.1	0.801	0.199
11	c	-	-	-	-
12	c	-	-	-	-
13	C	9.5	0.2	0.010	0.990
14	C	18.2	6.4	0.003	0.997
15	(A)	-	-	0.84	0.16
16	a	-	-	-	-
17	a	-	-	-	-
18	A	4.5	5.5	0.617	0.383
19	A	4.8	5.9	0.633	0.367
20	C	1	4.2	0.827	0.173
21	C	8.6	1.1	0.023	0.977
22	C	16	1.8	0.001	0.999
23	(C)	-	-	0	1
24	c	-	-	-	-
25	c	-	-	-	-
26	(C)	-	-	0.07	0.93
27	a	-	-	-	-
28	A	3.5	6.4	0.804	0.196
29	c	-	-	-	-
30	C	16.8	8.6	0.016	0.984

TABLA LVIII

CLASIFICACION Diciembre 1969

Fecha	Tipo	Distancia de Mahalanobis		Probabilidad de Pertenencia	
		A	C	A	C
1	a	-	-	-	-
2	A	5.9	22.8	1	0
3	A	3.5	18.5	0.999	0.001
4	A	1	14.6	0.999	0.001
5	a	-	-	-	-
6	a	-	-	-	-
7	(C)	-	-	0.14	0.86
8	A	2.9	12.2	0.990	0.010
9	A	3.4	8.6	0.930	0.070
10	A	5.4	11.7	0.958	0.042
11	A	1.7	8.5	0.968	0.032
12	A	2.8	9	0.958	0.042
13	A	5.2	9.1	0.872	0.128
14	A	6.5	20.6	0.999	0.001
15	a	-	-	-	-
16	a	-	-	-	-
17	A	2.1	7.8	0.947	0.053
18	(C)	-	-	0.02	0.98
19	A	0.5	10.6	0.994	0.006
20	(A)	-	-	1	0
21	A	3.2	17.9	0.999	0.001
22	a	-	-	-	-
23	A	2.5	16.2	0.999	0.001
24	A	3.1	19.8	1	0
25	c	-	-	-	-
26	c	-	-	-	-
27	c	-	-	-	-
28	C	6.3	6.3	0.502	0.498
29	c	-	-	-	-
30	c	-	-	-	-
31	(C)	-	-	0	1

TABLA LIX

Fecha	Tipo	CLASIFICACION		Enero 1970	
		Distancia de Mahalanobis		Probabilidad de Pertenencia	
		A	C	A	C
1	C	25.3	6.5	0	1
2	C	58.7	30.3	0	1
3	C	41	20.5	0	1
4	c	-	-	-	-
5	(C)	-	-	0	1
6	c	-	-	-	-
7	C	17.6	1.9	0	1
8	(C)	-	-	0	1
9	(C)	-	-	0	1
10	c	-	-	-	-
11	C	31.2	5.8	0	1
12	C	41.6	12.6	0	1
13	c	-	-	-	-
14	C	29.5	9.5	0	1
15	C	26.4	4.9	0	1
16	A	4.9	5.1	0.521	0.479
17	A	20	22.2	0.750	0.250
18	C	12.1	7.3	0.083	0.917
19	A	5.2	10.7	0.940	0.060
20	a	-	-	-	-
21	a	-	-	-	-
22	A	1.1	8.9	0.980	0.020
23	C	6	4.3	0.301	0.699
24	a	-	-	-	-
25	c	-	-	-	-
26	C	10.4	2.3	0.017	0.983
27	A	2.4	7.2	0.916	0.084
28	A	1.9	6.4	0.903	0.097
29	A	4.5	8.6	0.885	0.115
30	a	-	-	-	-
31	A	3.2	10.6	0.976	0.024

**TABLA LX**

		<b>CLASIFICACION</b>	<b>Febrero</b>	<b>1970</b>		
<b>Fecha</b>	<b>Tipo</b>	<b>Distancia de Mahalanobis</b>		<b>Probabilidad de Pertenencia</b>		
		<b>A</b>	<b>C</b>	<b>A</b>	<b>C</b>	
1	a	-	-	-	-	-
2	A	1.6	10.8	0.990	0.010	
3	a	-	-	-	-	-
4	A	2.6	14.1	0.997	0.003	
5	c	-	-	0	1	
6	C	10.3	2.6	0.021	0.979	
7	a	-	-	-	-	-
8	A	0.1	10	0.993	0.007	
9	A	4.7	16-	0.997	0.003	
10	A	1.6	5.4	0.869	0.131	
11	A	0.5	9.2	0.987	0.013	
12	a	-	-	-	-	-
13	C	6.5	4.7	0.287	0.713	
14	(C)	-	-	0.05	0.95	
15	A	20.6	30.6	0.993	0.007	
16	A	10.3	15.7	0.936	0.064	
17	A	4.5	24.8	1	0	
18	A	2.3	12.5	0.994	0.006	
19	A	1.7	18.1	1	0	
20	a	-	-	-	-	-
21	A	1.6	18.5	1	0	
22	A	2.8	15.6	0.998	0.002	
23	a	-	-	-	-	-
24	A	2	13.3	0.996	0.004	
25	A	2.5	8.1	0.945	0.055	
26	(A)	-	-	0.99	0.01	
27	a	-	-	-	-	-
28	c	-	-	-	-	-

-1456-

CALENDARIO DE LOS TIPOS DE TIEMPO

TABLA LXI

Fecha	CLASIFICACION	Marzo 1965	Probabilidad de Pertenencia
	Tipo	Distancia de Mahalanobis	
1	CSW	39.5	1.000
2	cn	-	-
3	cnw	-	-
4	cnw	-	-
5	CNW	14.4	0.788
6	ANANE	10.4	1.000
7	ANANE	11.5	1.000
8	anane	-	-
9	anane	-	-
10	CW	20.9	0.871
11	CW	7.4	0.756
12	cw	-	-
13	CW	6.1	0.968
14	aw	-	-
15	AW	6.4	0.949
16	AW	5.7	1.000
17	AW	4.2	0.997
18	ANW	2.2	0.995
19	ANW	5.5	0.535
20	ac	-	-
21	Ac	2.9	0.676
22	AW	3.1	0.993
23	CW	6.2	0.737
24	ANW	3.6	0.719
25	am	-	-
26	am	-	-
27	Am	3.1	0.972
28	am	-	-
29	Ac	11.6	0.994
30	AW	7.1	1.000
31	AW	5.2	1.000

TABLA LXII

Fecha	CLASIFICACION Tipo	Abril	1965
		Distancia de Mahalanobis	Probabilidad de Pertenencia
1	Am	4.3	0.590
2	ANW	10.4	0.545
3	Am	4.8	0.941
4	am	-	-
5	CNW	16.8	0.967
6	CNW	19.5	0.890
7	ce	-	-
8	ce	-	-
9	aw	-	-
10	ANW	6.4	0.358
11	am	-	-
12	am	-	-
13	ANW	5.9	0.991
14	Am	6.2	0.487
15	am	-	-
16	Am	2.5	0.871
17	Am	4.2	0.736
18	amW	-	-
19	(CE)	-	1.00
20	ce	-	-
21	CNNE	13.9	0.883
22	CNNE	13.2	1.000
23	CE	21.4	0.903
24	CNNE	12.3	0.998
25	Am	8.8	0.520
26	Am	11.6	0.247
27	Am	6.0	0.996
28	CE	5.6	0.999
29	cnw	-	-
30	cnw	-	-

TABLA LXIII

		CLASIFICACION	Mayo	1965
Fecha		Tipo	Distancia de Mahalanobis	Probabilidad de Pertenencia
1		CW	5.5	0.885
2		CW	24.7	1.000
3		aw	-	-
4		aw	-	-
5		ASE	4.4	0.717
6		ac	-	-
7		ASE	5.1	1.000
8		ASE	1.5	0.993
9		ASE	5.4	1.000
10		ASE	6.1	1.000
11		ASE	24.3	1.000
12		ase	-	-
13		ase	-	-
14		ASE	48.3	1.000
15		ase	-	-
16		ASE	3.3	0.999
17		CSW	27.4	0.873
18		CW	7.5	0.684
19		anw	-	-
20		anw	-	-
21		Ac	8.0	0.093
22		Ac	9.0	0.380
23		ac	-	-
24		Am	5.6	0.673
25		am	-	-
26		ASE	2.3	0.997
27		ase	-	-
28		ASE	3.9	0.990
29		CE	21.3	0.993
30		CE	13.6	0.999
31		CNNE	24.7	0.353

TABLA LXIV

Fecha	Tipo	CLASIFICACION	Junio	1965
			Distancia de Mahalanobis	Probabilidad de Pertenencia
1	GOTA		24.4	0.996
2	GOTA		33.9	1.000
3	gota		-	-
4	gota		-	-
5	cnw		-	-
6	cnw		-	-
7	GOTA		14.0	1.000
8	CNW		17.6	0.999
9	CNW		4.3	0.991
10	AW		3.0	0.970
11	AW		3.9	0.513
12	Ac		5.8	0.743
13	ac		-	-
14	Ac		15.7	0.287
15	Ac		14.9	0.402
16	(ANW)		-	1.00
17	am		-	-
18	ASE		15.5	0.001
19	ase		-	-
20	ase		-	-
21	Am		4.3	0.890
22	Ac		21.1	0.007
23	aw		-	-
24	ab		-	-
25	ac		-	-
26	Ac		2.9	0.655
27	Ac		18.0	0.967
28	ase		-	-
29	ASE		6.9	0.339
30	ANW		5.1	1.000

TABLA LXV

Fecha	Tipo	CLASIFICACION	Julio	1965	Probabilidad de Pertenencia
			Distancia de Mahalanobis		
1		(ANW)	-		0.97
2	t		-		-
3	T		6.1		1.000
4	T		10.5		0.998
5	AW		6.4		0.999
6	Ac		15.8		0.252
7	AW		3.7		0.959
8	AW		2.1		0.987
9	AW		1.5		0.813
10	ac		-		-
11	ac		-		-
12	Ac		2.9		0.655
13	AB		4.0		0.958
14	ANW		2.8		1.000
15	anw		-		-
16	ab		-		-
17	(AB)		-		0.95
18	AB		1.6		0.646
19	AW		1.7		0.636
20	AW		1.0		0.981
21	AB		2.5		0.890
22	AB		2.9		0.789
23	ab		-		-
24	AB		5.9		0.603
25	AW		1.9		0.946
26	AW		2.4		0.884
27	(AW)		-		0.62
28	am		-		-
29	Ac		2.8		0.652
30	AB		7.5		0.654
31	AB		7.2		1.000

TABLA LXVI

Fecha	CLASIFICACION Tipo	Agosto Distancia de Mahalanobis	1965 Probabilidad de Pertenencia
1	AB	2.4	0.735
2	ab	-	-
3	(Ac)	-	0.58
4	ASE	8.4	0.477
5	(ASE)	-	0.99
6	ASE	5.5	1.000
7	AW	4.7	0.926
8	(AW)	-	0.80
9	am	-	-
10	Am	8.7	0.620
11	ab	-	-
12	ab	-	-
13	AW	4.0	0.788
14	ac	-	
15	(ASE)	-	0.98
16	AB	2.7	0.725
17	ase	-	-
18	T	7.6	1.000
19	ASE	9.1	0.868
20	ASE	7.3	0.999
21	ASE	18.5	0.935
22	CNW	60.5	1.000
23	CNW	34.9	0.945
24	AW	4.7	0.996
25	(AW)	-	0.68
26	Ac	2.3	0.675
27	Ac	1.8	0.968
28	ASE	3.7	0.532
29	ASE	0.8	0.975
30	ASE	0.3	0.994
31	cnne	-	-

TABLA LXVII

Fecha	Tipo	CLASIFICACION	Septiembre 1965	Probabilidad de Pertenencia
		Distancia de Mahalanobis		
1	(AW)	-	0.90	
2	am	-	-	
3	Ac	20.0	0.667	
4	ac	-	-	
5	anw	-	-	
6	Ac	6.5	0.929	
7	Ac	2.6	0.950	
8	ac	-	-	
9	Ac	6.3	0.984	
10	ANW	5.3	0.564	
11	anw	-	-	
12	ac	-	-	
13	ac	-	-	
14	ASE	6.9	0.996	
15	(Ac)	-	0.91	
16	ase	-	-	
17	Am	3.5	0.860	
18	am	-	-	
19	Am	13.2	0.787	
20	ASE	8.5	0.579	
21	ase	-	-	
22	ASE	4.0	0.997	
23	ASE	11.8	0.095	
24	CW	28.9	0.978	
25	csw	-	-	
26	cnw	-	-	
27	cnw	-	-	
28	CW	9.8	0.867	
29	cw	-	-	
30	CSW	11.9	0.900	

TABLA LXVIII

Fecha	CLASIFICACION Tipo	Octubre Distancia de Mahalanobis	1965 Probabilidad de Pertenencia
1	CNW	23.7	0.500
2	cnw	-	-
3	(AW)	-	1.00
4	CSW	6.2	0.964
5	csw	-	-
6	CSW	10.5	0.924
7	csw	-	-
8	CSW	5.0	0.853
9	CSW	7.4	0.874
10	CNW	16.5	0.971
11	CSW	9.5	0.978
12	CSW	21.1	0.995
13	CSW	10.1	0.990
14	csw	-	-
15	csw	-	-
16	csw	-	-
17	CSW	67.7	1.000
18	CSW	13.4	0.979
19	CSW	8.9	0.992
20	AW	4.7	0.817
21	AW	2.9	0.662
22	Am	2.5	0.979
23	am	-	-
24	CSW	11.2	0.988
25	CSW	5.8	0.669
26	CSW	9.2	0.684
27	AW	5.0	0.846
28	csw	-	-
29	CSW	16.6	0.076
30	CSW	7.4	0.947
31	Am	4.6	0.993

TABLA LXIX

Fecha	Tipo	CLASIFICACION	Noviembre	1965
		Distancia de Mahalanobis	Probabilidad de Pertenencia	
1	Am	13.3		1.000
2	AW	1.9		0.919
3	ANW	3.0		0.936
4	CNNE	11.9		0.015
5	CNNE	24.4		0.008
6	(GOTA)	-		0.99
7	CNW	5.7		0.848
8	ANW	4.5		0.924
9	anw	-		-
10	ANW	2.3		0.993
11	CW	15.6		0.219
12	CNW	7.5		0.946
13	CNW	4.4		0.889
14	CNW	5.4		0.936
15	ANW	2.9		0.974
16	CW	3.8		0.795
17	(CW)	-		0.69
18	CW	13.4		0.555
19	CW	13.3		0.619
20	cw	-		-
21	cnne	-		-
22	CNNE	9.4		0.990
23	anane	-		-
24	ANANE	2.0		1.000
25	anane	-		-
26	anw	-		-
27	ANW	3.2		0.998
28	aw	-		-
29	cw	-		-
30	cnw	-		-

TABLA LXX

CLASIFICACION Diciembre 1965

Fecha	Tipo	Distancia de Mahalanobis	Probabilidad de Pertenencia
1	anw	-	-
2	ANW	20.7	0.000
3	AW	38.7	0.000
4	AW	9.4	0.039
5	aw	-	-
6	aw	-	-
7	CSW	5.8	0.997
8	CNW	7.5	0.917
9	Am	1.1	0.913
10	anw	-	-
11	(Am)	-	0.90
12	Am	9.9	0.743
13	ANW	2.4	0.996
14	am	-	-
15	aw	-	-
16	aw	-	-
17	aw	-	-
18	ANW	1.8	0.976
19	Ac	5.2	0.586
20	ac	-	-
21	ANW	2.6	0.843
22	ANW	8.7	0.866
23	aw	-	-
24	CSW	11.8	0.999
25	CSW	10.0	0.994
26	cw	-	-
27	cw	-	-
28	CNW	5.5	0.850
29	ANW	5.8	0.672
30	ANW	1.3	0.933
31	AW	8.5	0.989

TABLA LXXI

Fecha	Tipo	CLASIFICACION	Enero	1966
			Distancia de Mahalanobis	Probabilidad de Pertenencia
1	ANW		3.1	0.815
2	aw		-	-
3	aw		-	-
4	AW		2.7	0.936
5	ANW		2.5	0.998
6	AW		3.8	0.953
7	aw		-	-
8	AW		2.6	0.972
9	ANW		5.2	0.522
10	AW		0.8	0.894
11	AW		1.4	0.905
12	csw		-	-
13	CW		31.1	0.984
14	(CW)		-	0.82
15	CW		-	-
16	CW		0.7	0.468
17	cw		-	-
18	CW		6.3	0.919
19	CSW		9.4	1.000
20	(CSW)		-	0.00
21	CSW		2.8	0.998
22	(CSW)		-	1.00
23	(CSW)		-	1.00
24	CSW		12.6	1.000
25	CSW		4.7	0.978
26	CSW		11.5	0.905
27	AW		3.4	0.995
28	AW		1.7	0.997
29	CSW		24.6	0.335
30	csw		-	-
31	csw		-	-

TABLA LXXII

Fecha	Tipo	CLASIFICACION	Febrero	1966
			Distancia de Mahalanobis	Probabilidad de Pertenencia
1	csw		-	-
2	csw		-	-
3	aw		-	-
4	aw		-	-
5	ac		-	-
6	(AW)		-	0.99
7	(ANW)		-	0.36
8	AW		1.4	0.999
9	(AW)		-	1.00
10	cw		-	-
11	CSW		12.0	0.809
12	CSW		5.0	0.999
13	(CW)		-	0.46
14	cw		-	-
15	CSW		8.9	0.998
16	CW		7.7	0.991
17	CW		8.3	0.892
18	csw		-	-
19	(CSW)		-	0.73
20	(CSW)		-	0.93
21	CW		11.2	0.997
22	cw		-	-
23	CNW		5.5	0.971
24	AW		3.2	0.812
25	AW		2.6	0.989
26	CSW		18.4	0.997
27	csw		-	-
28	CNW		11.0	0.830

TABLA LXXIII

	CLASIFICACION	Marzo 1966	
Fecha	Tipo	Distancia de Mahalanobis	Probabilidad de Pertenencia
1	ANANE	14.4	0.306
2	ANW	6.3	0.999
3	ANW	4.3	0.942
4	anw	-	-
5	anane	-	-
6	ANANE	2.3	1.000
7	anane	-	-
8	ANANE	6.4	1.000
9	am	-	-
10	ANW	5.0	1.000
11	anw	-	-
12	ANW	7.9	0.514
13	am	-	-
14	ANANE	2.2	0.998
15	ANANE	3.0	0.997
16	anane	-	-
17	ANANE	4.3	0.999
18	anane	-	-
19	anane	-	-
20	anane	-	-
21	ANANE	3.2	1.000
22	ANANE	3.2	1.000
23	anw	-	-
24	ANANE	4.2	0.993
25	anw	-	-
26	anw	-	-
27	ANW	1.9	0.992
28	ANW	4.0	0.999
29	anw	-	-
30	anw	-	-
31	CW	3.3	0.972

TABLA LXXIV

Fecha	CLASIFICACION Tipo	Abril	1966	Probabilidad de Pertenencia
		Distancia de Mahalanobis		
1	CW	4.1		0.607
2	CW	6.6		0.834
3	cnw	-		-
4	CW	9.7		0.858
5	CW	9.9		0.879
6	CW	3.2		0.991
7	CW	3.6		0.615
8	CNW	24.0		0.008
9	CSW	13.7		0.994
10	cw	-		-
11	CW	9.4		0.431
12	cw	-		-
13	CW	7.5		0.794
14	csw	-		-
15	CSW	15.6		0.970
16	CW	16.7		0.122
17	CW	6.4		0.996
18	CW	3.7		0.963
19	cw	-		-
20	CW	9.5		0.985
21	ANW	1.9		0.900
22	Ac	5.0		0.780
23	AW	9.1		0.713
24	CW	4.3		0.938
25	Am	4.5		0.914
26	ANW	2.3		0.927
27	anw	-		-
28	Am	7.9		0.870
29	Am	2.4		0.959
30	am	-		-

TABLA LXXV

Fecha	CLASIFICACION	Mayo	1966
	Tipo	Distancia de Mahalanobis	Probabilidad de Pertenencia
1	Am	4.6	0.995
2	Am	7.2	0.974
3	ASE	6.7 -	0.543
4	ac	-	-
5	Ac	11.2	0.904
6	Ac	6.4	0.670
7	anw	-	-
8	ANW	4.7	0.393
9	Am	4.5	0.688
10	Am	2.5	0.673
11	Am	2.1	0.954
12	CNW	12.1	0.757
13	CNNE	16.4	0.720
14	Am	2.6	0.997
15	ASE	10.7	0.595
16	ASE	7.7	0.515
17	Am	10.4	0.787
18	am	-	-
19	am	-	-
20	ASE	3.4	0.870
21	ase	-	-
22	ase	-	-
23	ase	-	-
24	ase	-	-
25	ASE	10.6	0.943
26	ASE	17.9	0.999
27	ase	-	-
28	CSW	29.9	0.995
29	CSW	11.0	0.998
30	CSW	8.8	0.904
31	CSW	12.4	0.874

TABLA LXXVI

Fecha	CLASIFICACION Tipo	Junio Distancia de Mahalanobis	1966	Probabilidad de Pertenencia
1	GOTA	7.2		0.999
2	T	17.7		0.882
3	GOTA	18.8		0.916
4	ANW	2.0		1.000
5	GOTA	4.4		1.000
6	AB	3.2		0.650
7	CW	55.7		1.000
8	GOTA	12.3		1.000
9	CNW	11.5		0.999
10	GOTA	37.6		0.996
11	GOTA	9.1		0.996
12	AW	7.0		0.998
13	cnw	-		-
14	cw	-		-
15	cnw	-		-
16	CNW	18.6		1.000
17	AW	3.7		0.998
18	anw	-		-
19	AW	3.5		0.991
20	ANW	6.0		1.000
21	AB	4.8		0.981
22	cw	-		-
23	ANW	2.9		1.000
24	anane	-		-
25	Am	11.8		0.987
26	Ac	4.6		0.729
27	Ac	4.6		0.729
28	ase	-		-
29	ASE	3.6		1.000
30	ASE	2.7		0.990

TABLA LXXVII

Fecha	CLASIFICACION Tipo	Julio Distancia de Mahalanobis	1966	Probabilidad de Pertenencia
1	(ASE)	-		0.72
2	ase	-		-
3	(ANW)	-		1.00
4	(ANW)	-		1.00
5	ANW	2.7		1.000
6	AW	2.2		0.905
7	ASE	7.6		0.925
8	ase	-		-
9	ASE	21.6		0.426
10	ASE	22.9		0.863
11	ASE	3.8		0.999
12	ase	-		-
13	ase	-		-
14	ase	-		-
15	AB	0.8		0.917
16	ab	-		-
17	AB	3.7		0.991
18	AB	13.4		0.995
19	AB	9.6		0.820
20	ab	-		-
21	Ac	9.6		0.996
22	ASE	3.9		0.811
23	AB	3.9		0.802
24	AB	1.9		0.991
25	ab	-		-
26	anw	-		-
27	AW	1.9		0.895
28	AB	3.1		0.754
29	(AW)	-		0.47
30	AW	3.5		0.767
31	AB	4.1		0.479

TABLA LXXVIII

Fecha	CLASIFICACION Tipo	Agosto Distancia de Mahalanobis	1966	Probabilidad de Pertenencia
1	AB	3.3		0.606
2	AB	1.9		0.829
3	aw	-		-
4	ac	-		-
5	Ac	2.1		0.899
6	ab	-		-
7	AB	6.1		0.996
8	AB	1.2		0.993
9	Ac	5.2		0.745
10	Ac	2.5		0.905
11	ASE	1.8		0.979
12	ASE	2.9		0.889
13	ase	-		-
14	ac	-		-
15	Ac	1.4		0.995
16	ASE	2.1		0.998
17	ASE	3.5		0.999
18	ASE	1.4		0.968
19	Ac	0.9		0.935
20	ab	-		-
21	ab	-		-
22	ab	-		-
23	AB	2.1		0.937
24	(AB)	-		0.49
25	AB	7.5		0.935
26	ANW	8.8		1.000
27	CNW	9.0		0.611
28	ANW	3.8		1.000
29	aw	-		-
30	anw	-		-
31	anw	-		-

TABLA LXXIX

Fecha	CLASIFICACION Tipo	Septiembre 1966	
		Distancia de Mahalanobis	Probabilidad de Pertenencia
1	ase	-	-
2	ase	-	-
3	ase	-	-
4	ase	-	-
5	ASE	7.1	0.809
6	ase	-	-
7	ASE	7.0	0.998
8	ase	-	-
9	ASE	17.6	1.000
10	ASE	14.8	1.000
11	ase	-	-
12	ASE	4.8	0.888
13	ASE	2.7	0.888
14	am	-	-
15	am	-	-
16	am	-	-
17	am	-	-
18	Ac	14.7	0.429
19	AW	4.7	0.769
20	AW	8.9	0.990
21	ASE	7.5	0.976
22	(ASE)	-	0.74
23	(AW)	-	0.98
24	ac	-	-
25	ac	-	-
26	(AW)	-	0.90
27	CSW	4.9	0.962
28	cw	-	-
29	cw	-	-
30	CW	7.1	0.944

TABLA LXXX

Fecha	CLASIFICACION Tipo	Octubre Distancia de Mahalanobis	1966	Probabilidad de Pertenencia
1	CW	12.3		0.027
2	CW	-		-
3	CSW	-		-
4	(CSW)	-		0.79
5	CE	15.0		0.454
6	Am	2.5		0.883
7	aw	-		-
8	gota	-		-
9	gota	-		-
10	CE	11.8		1.000
11	ce	-		-
12	CE	6.9		0.990
13	CW	10.5		0.655
14	CW	-		-
15	CNW	8.8		0.643
16	CW	-		-
17	AW	5.2		0.974
18	CW	2.6		0.907
19	CW	5.3		0.530
20	CW	2.3		0.967
21	CSW	6.9		0.968
22	ac	-		-
23	ac	-		-
24	CSW	12.3		0.567
25	CSW	10.1		0.839
26	ANW	13.4		0.026
27	anw	-		-
28	cnne	-		-
29	ANANE	8.0		1.000
30	ANANE	1.8		1.000
31	ANANE	9.2		1.000

TABLA LXXXI

Fecha	CLASIFICACION Tipo	Noviembre 1966	
		Distancia de Mahalanobis	Probabilidad de Pertenencia
1	anane	-	-
2	cnne	-	-
3	CNNE	11.9	1.000
4	CNNE	12.8	1.000
5	cnw	-	-
6	gota	-	-
7	(GOTA)	-	1.00
8	gota	-	-
9	CNW	15.4	0.943
10	anw	-	-
11	ANANE	5.9	0.998
12	ANANE	6.6	0.480
13	(ANANE)	-	1.00
14	ANW	2.1	0.993
15	anw	-	-
16	(ANANE)	-	0.75
17	ANW	7.7	0.448
18	CNNE	9.4	1.000
19	CNNE	9.5	1.000
20	CNNE	24.3	1.000
21	ANANE	13.5	0.996
22	cnne	-	-
23	ANANE	8.7	1.000
24	anane	-	-
25	ANANE	1.8	0.997
26	ANANE	8.1	0.999
27	(ANANE)	-	1.00
28	ANANE	10.6	0.925
29	anw	-	-
30	ANW	4.4	0.928

TABLA LXXXII

	CLASIFICACION	Diciembre 1966	
Fecha	Tipo	Distancia de Mahalanobis	Probabilidad de Pertenencia
1	cw	-	-
2	CSW	13.5	0.999
3	anw	-	-
4	anw	-	-
5	Am	0.8	0.741
6	Am	2.9	0.346
7	AW	4.5	0.962
8	Am	1.2	0.685
9	am	-	-
10	ANW	4.3	0.988
11	ANW	4.0	0.813
12	anw	-	-
13	CE	0.0	1.000
14	ANW	2.0	0.851
15	anw	-	-
16	ANW	1.7	0.855
17	AW	10.3	0.740
18	Am	4.4	0.842
19	Am	3.4	0.991
20	am	-	-
21	am	-	-
22	Am	1.8	0.956
23	AN	2.9	0.617
24	an	-	-
25	ANE	3.0	0.786
26	ane	-	-
27	AN	5.8	0.700
28	ANE	5.4	0.940
29	ane	-	-
30	ane	-	-
31	ane	-	-

TABLA LXXXIII

Fecha	CLASIFICACION Tipo	Enero	1967
		Distancia de Mahalanobis	Probabilidad de Pertenencia
1	ac	-	-
2	Ac	8.4	0.664
3	ANE	12.3	0.965
4	ANE	6.8	0.991
5	ANW	6.3	0.652
6	(ANW)	-	0.99
7	ANE	2.7	0.957
8	CNNE	11.2	0.936
9	cnne	-	-
10	GOTA	14.6	0.991
11	csw	-	-
12	ane	-	-
13	AN	3.3	0.718
14	Am	2.0	0.840
15	AN	2.7	0.583
16	AN	2.6	0.533
17	an	-	-
18	AN	20.3	0.004
19	CW	15.4	0.207
20	cw	-	-
21	ANW	0.5	0.938
22	ANW	1.4	0.996
23	ANW	3.5	0.951
24	(Am)	-	0.45
25	AW	0.3	0.978
26	AW	6.8	0.837
27	AW	3.4	0.989
28	ac	-	-
29	Ac	12.1	0.143
30	GOTA	12.1	0.995
31	GOTA	13.8	0.756

TABLA LXXXIV

	CLASIFICACION	Febrero	1967
Fecha	Tipo	Distancia de Mahalanobis	Probabilidad de Pertenencia
1	Ac	10.1	0.999
2	Am	2.3	0.995
3	(ANE)	-	0.60
4	Am	3.3	0.986
5	Am	0.9	0.986
6	(Am)	-	0.96
7	am	-	-
8	am	-	-
9	am	-	-
10	CNNE	20.9	0.999
11	CNNE	18.1	0.981
12	CNNE	17.3	0.399
13	CNW	10.3	0.873
14	CNW	4.1	0.959
15	CW	7.2	0.997
16	CW	6.3	0.872
17	cw	-	-
18	CW	16.7	0.050
19	AW	2.2	0.709
20	AW	7.1	0.659
21	AW	9.4	0.948
22	Ac	11.5	0.303
23	(Ac)	-	0.95
24	(AW)	-	0.98
25	CSW	25.1	0.844
26	CW	10.6	0.798
27	Ac	7.9	0.947
28	Ac	11.5	0.303

TABLA LXXXV

	CLASIFICACION	Marzo 1967	
Fecha	Tipo	Distancia de Mahalanobis	Probabilidad de Pertenencia
1	Ac	10.9	0.987
2	Ac	12.7	0.422
3	AW	10.6	0.993
4	aw	-	-
5	AW	5.6	1.000
6	am	-	-
7	ANW	4.9	0.954
8	cnw	-	-
9	cnw	-	-
10	CNW	24.6	0.127
11	AW	5.0	0.911
12	AW	2.1	0.998
13	AW	1.4	0.965
14	ANW	6.4	0.964
15	ANW	4.3	0.891
16	ANW	9.5	0.451
17	Am	7.9	0.903
18	ANW	9.6	0.949
19	Am	5.3	0.984
20	am	-	-
21	Am	8.7	0.631
22	Ac	8.7	0.906
23	Am	9.9	0.408
24	ac	-	-
25	Ac	13.6	0.991
26	(ANW)	-	0.097
27	ANW	8.7	1.000
28	ANW	1.6	0.997
29	an	-	-
30	ANANE	16.0	0.974
31	ANANE	1.0	1.000

TABLA LXXXVI

	CLASIFICACION	Abril 1967	
Fecha	Tipo	Distancia de Mahalanobis	Probabilidad de Pertenencia
1	anane	-	-
2	ANANE	10.3	0.918
3	ANANE	11.5	0.550
4	ANANE	16.2	0.839
5	Am	10.4	0.993
6	am	-	-
7	CSW	29.3	0.989
8	csw	-	-
9	CNNE	20.2	0.999
10	CNNE	15.7	0.993
11	GOTA	19.0	0.908
12	CNNE	20.0	0.973
13	ce	-	-
14	gota	-	-
15	GOTA	41.5	0.972
16	GOTA	34.7	0.043
17	GOTA	23.3	0.039
18	GOTA	32.0	0.979
19	GOTA	24.4	0.953
20	GOTA	28.8	0.714
21	cnne	-	-
22	cnne	-	-
23	am	-	-
24	am	-	-
25	Am	6.3	0.933
26	CE	12.3	0.980
27	CNNE	21.2	0.999
28	CNNE	39.3	0.424
29	cnne	-	-
30	GOTA	8.0	0.911

TABLA LXXXVII

Fecha	CLASIFICACION Tipo	Mayo Distancia de Mahalanobis	1967 Probabilidad de Pertenencia
1	GOTA	8.7	0.931
2	CE	8.4	0.933
3	CE	8.0	0.988
4	cnw	-	-
5	cnw	-	-
6	cnw	-	-
7	CW	14.5	0.256
8	Am	6.8	0.545
9	CSW	21.2	0.215
10	CSW	15.9	0.885
11	CSW	7.3	0.968
12	CSW	5.5	0.892
13	CSW	14.9	0.924
14	CSW	4.9	0.818
15	CSW	8.5	0.445
16	CW	8.7	0.866
17	CW	8.1	0.672
18	CW	11.0	0.202
19	am	-	-
20	am	-	-
21	ASE	2.3	0.928
22	AW	2.1	0.972
23	aw	-	-
24	AW	5.3	0.443
25	aw	-	-
26	ase	-	-
27	cnw	-	-
28	anw	-	-
29	anw	-	-
30	Ac	1.8	0.860
31	ASE	1.3	0.986

TABLA LXXXVIII

	CLASIFICACION	Junio	1967	
Fecha	Tipo	Distancia de Mahalanobis		Probabilidad de Pertenencia
1	AW	3.4		0.509
2	T	17.8		1.000
3	T	21.3		0.994
4	GOTA	38.1		0.970
5	GOTA	9.0		1.000
6	GOTA	72.9		1.000
7	GOTA	10.1		0.929
8	ANW	8.2		0.999
9	ANW	2.2		1.000
10	AW	2.4		0.987
11	anane	-		-
12	anane	-		-
13	t	-		-
14	T	7.5		1.000
15	T	6.9		1.000
16	t	-		-
17	gota	-		-
18	GOTA	7.0		1.000
19	GOTA	13.8		1.000
20	am	-		-
21	Am	6.3		0.678
22	ac	-		-
23	Ac	3.0		0.996
24	AW	5.0		0.568
25	ANW	7.4		1.000
26	anane	-		-
27	anane	-		-
28	(Am)	-		0.80
29	ase	-		-
30	ASE	0.9		0.948

TABLA LXXXIX

Fecha	Tipo	CLASIFICACION	Julio	1967	Probabilidad de Pertenencia
			Distancia de Mahalanobis		
1	ac		-		-
2	ac		-		-
3	AW		5.0		0.568
4	(AW)		-		0.82
5	AW		2.7		0.527
6	ab		-		-
7	(AB)		-		0.48
8	Ac		3.3		0.717
9	ASE		10.5		0.948
10	ase		-		-
11	(Ac)		-		0.94
12	ab		-		-
13	ANW		2.9		1.000
14	am		-		-
15	Am		3.5		0.701
16	(Ac)		-		0.43
17	ac		-		-
18	Ac		1.3		0.990
19	ase		-		-
20	ase		-		-
21	(ASE)		-		1.00
22	AB		1.5		0.763
23	Ac		2.2		0.765
24	(Ac)		-		0.72
25	Ac		1.0		0.977
26	ASE		4.0		0.696
27	ab		-		-
28	AB		2.7		0.512
29	ab		-		-
30	ASE		1.2		0.936
31	Ac		4.1		0.372

TABLA XC

	CLASIFICACION	Agosto 1967	
Fecha	Tipo	Distancia de Mahalanobis	Probabilidad de Pertenencia
1	Ac	16.2	0.977
2	AB	3.1	0.774
3	AB	1.6	0.646 -
4	ANW	3.2	1.000
5	t	-	-
6	ac	-	-
7	AB	0.8	0.955
8	cw	-	-
9	cw	-	-
10	(AW)	-	1.00
11	(Ac)	-	0.99
12	AB	1.5	0.744
13	AW	1.3	0.665
14	aw	-	-
15	ase	-	-
16	Am	7.1	0.640
17	Am	3.9	0.515
18	am	-	-
19	ab	-	-
20	Ac	3.2	0.879
21	Ac	0.8	0.978
22	ASE	3.6	0.531
23	ASE	2.7	0.687
24	AB	2.5	0.967
25	T	8.4	1.000
26	T	15.8	1.000
27	ANW	11.4	0.997
28	ab	-	-
29	aw	-	-
30	ase	-	-
31	ab	4.1	0.372

TABLA XCI

Fecha	Tipo	CLASIFICACION	Septiembre 1967	Probabilidad de Pertenencia
		Distancia de Mahalanobis		
1	ase	-		-
2	ASE	5.5		1.000
3	anw	-		-
4	anw	-		-
5	aw	-		-
6	aw	-		-
7	am	-		-
8	ase	-		-
9	ase	-		-
10	am	-		-
11	am	-		-
12	ac	-		-
13	aw	-		-
14	AW	6.3		0.275
15	Ac	6.0		0.871
16	ac	-		-
17	AW	4.4		0.952
18	Am	7.7		0.142
19	ac	-		-
20	Ac	9.6		0.640
21	cw	-		-
22	AW	10.2		0.753
23	ac	-		-
24	Ac	1.9		0.956
25	AW	1.4		0.976
26	AW	8.0		0.660
27	Ac	3.1		0.848
28	ac	-		-
29	Ac	6.7		0.972
30	ac	-		-

TABLA XCII

Fecha	CLASIFICACION Tipo	Octubre 1967	Distancia de	Probabilidad de Pertenencia
			Mahalanobis	
1	ac	-	-	-
2	ac	-	-	-
3	anw	-	-	-
4	anw	-	-	-
5	(AW)	-	-	0.98
6	(AW)	-	-	0.92
7	Ac	3.9	-	0.961
8	(Ac)	-	-	0.73
9	Am	10.2	-	0.988
10	ac	-	-	-
11	Ac	4.3	-	0.932
12	cnw	-	-	-
13	cw	-	-	-
14	cw	-	-	-
15	(AW)	-	-	0.94
16	Ac	18.3	-	0.734
17	AW	7.5	-	0.714
18	AW	7.1	-	0.646
19	Am	3.5	-	0.979
20	AW	2.7	-	0.938
21	csw	-	-	-
22	(CSW)	-	-	0.99
23	gota	-	-	-
24	gota	-	-	-
25	Am	2.6	-	0.993
26	Am	4.0	-	0.908
27	anw	-	-	-
28	ANW	5.3	-	0.827
29	anw	-	-	-
30	anw	-	-	-
31	anw	-	-	-

TABLA XCIII

Fecha	CLASIFICACION Tipo	Noviembre 1967	
		Distancia de Mahalanobis	Probabilidad de Pertenencia
1	aw	-	-
2	CW	2.8	0.961
3	CNW	8.5	0.980
4	anw	-	-
5	CNW	21.7	0.988
6	cnw	-	-
7	CNW	15.4	0.698
8	gota	-	-
9	GOTA	12.2	1.000
10	ANW	8.2	0.992
11	Ac	4.5	0.997
12	ac	-	-
13	AW	12.4	0.670
14	AW	2.4	0.998
15	GOTA	16.7	0.004
16	cnne	-	-
17	GOTA	10.7	1.000
18	GOTA	17.4	0.047
19	GOTA	12.1	0.978
20	gota	-	-
21	ANANE	17.9	0.763
22	am	-	-
23	am	-	-
24	am	-	-
25	cw	-	-
26	GOTA	16.4	0.987
27	ANANE	14.3	0.994
28	ANANE	7.2	0.998
29	anw	-	-
30	anw	-	-

TABLA XCIV

Fecha	CLASIFICACION Tipo	Diciembre	1967	Probabilidad de Pertenencia
		Distancia de Mahalanobis		
1	Am	1.2		0.981
2	am	-		-
3	am	-		-
4	Am	3.5		0.990
5	Am	4.1		0.981
6	am	-		-
7	(AW)	-		1.00
8	ANW	4.5		0.937
9	AN	4.9		0.316
10	CNNE	12.7		0.993
11	CNNE	36.0		1.000
12	ANE	5.5		0.923
13	ane	-		-
14	Am	3.4		0.942
15	am	-		-
16	Ac	16.1		0.892
17	Ac	25.9		0.538
18	ane	-		-
19	ANE	2.1		0.993
20	aw	-		-
21	AW	7.0		0.336
22	aw	-		-
23	aw	-		-
24	anw	-		-
25	CNW	16.6		0.768
26	cnw	-		-
27	cnw	-		-
28	Am	4.1		0.562
29	ANW	3.9		0.736
30	am	-		-
31	am	-		-

TABLA XCV

Fecha	CLASIFICACION Tipo	Enero Distancia de Mahalanobis	1968
			Probabilidad de Pertenencia
1	Am	2.5	0.610
2	anw	-	-
3	AW	3.6	0.687
4	(AW)	-	0.58
5	aw	-	-
6	AN	4.4	0.605
7	ANW	3.0	0.429
8	anw	-	-
9	Ac	2.5	0.842
10	ANW	2.5	0.651
11	Am	7.3	0.972
12	AN	1.7	0.736
13	AN	4.2	0.441
14	Ac	8.3	0.147
15	ac	-	-
16	Ac	11.1	0.989
17	Ac	2.5	0.996
18	Ac	3.7	0.403
19	Ac	3.8	0.656
20	Am	2.5	0.950
21	Am	3.1	0.855
22	am	-	-
23	ac	-	-
24	Ac	5.8	0.993
25	AN	2.3	0.532
26	ANE	10.9	0.033
27	AN	5.0	0.514
28	ANW	1.8	0.851
29	Ac	3.4	0.843
30	Am	2.1	0.906
31	am	-	-

TABLA XCVI

Fecha	Tipo	CLASIFICACION	Febrero	1968
			Distancia de Mahalanobis	Probabilidad de Pertenencia
1	Ac		7.8	0.997
2	Ac		2.9	0.527
3	anw		--	-
4	Am		3.4	0.547
5	(ANW)		-	0.98
6	CSW		2.2	0.966
7	CW		5.4	0.973
8	(CW)		-	0.78
9	(CSW)		-	1.00
10	csw		-	-
11	csw		-	-
12	CW		5.2	0.584
13	CSW		15.0	1.000
14	CSW		3.6	0.941
15	CSW		5.3	0.970
16	CSW		7.5	0.983
17	GOTA		4.6	0.999
18	CSW		8.1	1.000
19	csw		-	-
20	CW		6.4	0.886
21	CW		26.8	0.004
22	cw		-	-
23	CW		4.7	0.883
24	CSW		12.1	0.752
25	CSW		6.9	0.973
26	csw		-	-
27	anw		-	-
28	ANW		0.9	0.992
29	CSW		2.7	0.916

TABLA XCVII

Fecha	CLASIFICACION Tipo	Marzo Distancia de Mahalanobis	1968	Probabilidad de Pertenencia
1	cw	-	-	-
2	cw	-	-	-
3	ce	-	-	-
4	ce	-	-	-
5	ce	-	-	-
6	am	-	-	-
7	CNNE	10.8	1.000	
8	CNNE	20.8	1.000	
9	CNNE	19.8	1.000	
10	CNNE	17.7	1.000	
11	CNNE	21.6	0.960	
12	am	-	-	-
13	ANW	9.3	0.991	
14	ANW	5.9	0.999	
15	anw	-	-	-
16	ANW	8.6	0.733	
17	ANW	1.5	0.972	
18	ANW	4.8	0.808	
19	(AW)	-	0.58	
20	CW	13.0	0.988	
21	cw	-	-	-
22	ANW	4.3	0.998	
23	ANW	3.5	0.977	
24	anw	-	-	-
25	cnw	-	-	-
26	ANW	9.3	1.000	
27	AW	9.5	0.980	
28	gota	-	-	-
29	gota	-	-	-
30	GOTA	23.5	0.005	
31	GOTA	27.1	0.001	

TABLA XCVIII

Fecha	Tipo	CLASIFICACION	Abril	1968	Probabilidad de Pertenencia
			Distancia de Mahalanobis		
1	am		-		-
2	cnw		-		-
3	cw		-		-
4	csw		-		-
5	csw		-		-
6	CNNE		21.9		0.389
7	CNNE		8.4		0.997
8	CNNE		27.5		0.047
9	CNNE		11.5		0.930
10	CE		20.9		0.979
11	CNW		2.6		0.994
12	GOTA		17.3		0.617
13	cnw		-		-
14	cnw		-		-
15	cnw		-		-
16	cnw		-		-
17	cw		-		-
18	cw		-		-
19	AW		7.5		0.752
20	csw		-		-
21	csw		-		-
22	csw		-		-
23	Ac		3.8		0.938
24	ANW		3.8		0.982
25	Ac		3.2		0.957
26	ANW		7.3		0.788
27	AW		4.2		1.000
28	CW		5.7		0.394
29	cw		-		-
30	cw		-		-

TABLA XCIX

Fecha	CLASIFICACION Tipo	Mayo Distancia de Mahalanobis	1968	Probabilidad de Pertenencia
1	ANW	5.4		0.983
2	cw	-		-
3	CSW	5.7		0.898
4	CSW	5.7		0.586
5	cnw	-		-
6	cnw	-		-
7	anane	-		-
8	(ANW)	-		0.98
9	CNW	11.0		0.247
10	ce	-		-
11	CE	14.3		0.989
12	Am	4.7		0.988
13	Ac	7.7		0.415
14	Ac	7.5		0.587
15	Ac	7.8		0.731
16	ase	-		-
17	ASE	19.2		0.960
18	csw	-		-
19	CSW	7.5		0.999
20	CNW	24.5		0.327
21	CNW	12.7		1.000
22	CNW	10.7		0.835
23	CNW	16.7		0.692
24	AW	1.5		0.988
25	am	-		-
26	AW	1.6		0.998
27	CNW	14.7		0.733
28	Am	12.0		0.757
29	Am	5.3		0.969
30	ASE	11.7		0.964
31	ase	-		-

TABLA C

Fecha	CLASIFICACION Tipo	Junio Distancia de Mahalanobis	1968	Probabilidad de Pertenencia
1	T	18.3		0.998
2	T	11.4		0.996
3	CNNE	-		-
4	(AW)	-		0.81
5	Ac	14.2		0.712
6	t	-		-
7	am	-		-
8	t	-		-
9	T	9.4		1.000
10	T	4.5		1.000
11	GOTA	11.0		0.989
12	gota	-		-
13	T	8.8		0.998
14	T	13.9		1.000
15	T	6.6		0.974
16	T	4.3		1.000
17	gota	-		-
18	GOTA	8.1		0.996
19	CNW	6.8		1.000
20	AW	2.9		0.995
21	AW	0.7		0.954
22	anw	-		-
23	CW	16.4		0.997
24	AW	5.6		0.606
25	(ASE)	-		0.47
26	ase	-		-
27	Ac	12.6		1.000
28	ac	-		-
29	Ac	22.3		0.781
30	ASE	7.8		1.000

TABLA CI

Fecha	CLASIFICACION Tipo	Julio	1968	Probabilidad de Pertenencia
			Distancia de Mahalanobis	
1	ab	-	-	-
2	anw	-	-	-
3	AB	2.6	-	0.578
4	ase	-	-	-
5	AB	3.5	-	0.846
6	(AW)	-	-	0.92
7	AB	2.8	-	0.721
8	Ac	18.5	-	0.597
9	ase	-	-	-
10	Am	28.5	-	0.185
11	anw	-	-	-
12	AW	1.9	-	0.814
13	AW	1.2	-	0.875
14	ANW	2.7	-	1.000
15	AW	2.3	-	0.978
16	anane	-	-	-
17	Ac	3.7	-	0.797
18	ASE	2.1	-	0.749
19	Am	6.0	-	0.610
20	ASE	5.5	-	0.996
21	ASE	5.4	-	0.999
22	ASE	29.7	-	1.000
23	ASE	9.3	-	1.000
24	ASE	5.7	-	1.000
25	ASE	3.9	-	0.953
26	ASE	0.5	-	0.993
27	(ASE)	-	-	0.99
28	ase	-	-	-
29	ANW	7.2	-	0.989
30	ANW	8.1	-	0.986
31	ANW	4.8	-	0.999

TABLA CII

Fecha	Tipo	CLASIFICACION	Agosto	1968	Probabilidad de Pertenencia
			Distancia de Mahalanobis		
1	anane		-		-
2	anane		-		-
3	anane		-		--
4	csw		-		-
5	CW		13.6		0.980
6	AW		1.0		0.788
7	T		13.7		1.000
8	t		-		-
9	t		-		-
10	t		-		-
11	T		29.2		0.034
12	(AW)		-		0.65
13	AW		3.5		0.588
14	Am		19.2		0.074
15	Ac		3.4		0.655
16	AB		3.2		0.821
17	(ANW)		-		1.00
18	Am		3.2		0.654
19	ASE		2.9		0.889
20	ASE		0.7		0.957
21	ASE		3.1		0.775
22	ASE		4.4		0.999
23	ASE		3.8		1.000
24	(ASE)		-		1.00
25	ASE		10.2		1.000
26	(AB)		-		0.86
27	gota		-		-
28	gota		-		-
29	gota		-		-
30	ANW		16.4		1.000
31	CNW		20.7		0.945

TABLA CIII

Fecha	Tipo	CLASIFICACION	Septiembre 1968	Probabilidad de Pertenencia
		Distancia de Mahalanobis		
1	AW	1.4		0.983
2	AW	4.6		0.999
3	AW	1.6		0.984
4	Ac	2.0		0.805
5	Ac	3.1		0.722
6	ASE	2.4		0.927
7	ase	-		-
8	ASE	6.2		0.754
9	ASE	5.7		0.999
10	ac	-		-
11	Ac	5.4		0.247
12	Ac	4.6		0.396
13	(AW)	-		1.00
14	CW	19.6		0.322
15	CW	6.3		0.958
16	cnne	-		-
17	(CE)	-		0.88
18	ANW	7.1		0.953
19	AW	3.4		0.972
20	AW	6.4		0.979
21	AW	3.0		0.994
22	aw	-		-
23	AW	15.9		0.743
24	Am	19.1		0.960
25	Ac	9.6		0.781
26	Am	8.1		0.534
27	Ac	8.2		0.971
28	anw	-		-
29	Ac	7.5		0.834
30	ac	-		-

TABLA CIV

Fecha	CLASIFICACION Tipo	Octubre 1968	Distancia de	Probabilidad de Pertenencia
			Mahalanobis	
1	(Ac)	-		0.91
2	Am	3.5		0.961
3	Ac	5.8		0.997
4	Ac	10.4		0.442
5	(Ac)	-		0.952
6	ASE	1.5		0.995
7	Ac	6.7		0.862
8	AW	0.9		0.963
9	Ac	2.9		0.938
10	Ac	2.4		0.726
11	Ac	5.3		0.840
12	Ac	21.0		0.774
13	Ac	18.5		0.993
14	Ac	9.7		0.988
15	Ac	8.7		0.468
16	AW	3.2		0.943
17	Ac	9.1		0.942
18	AW	1.5		0.993
19	Am	7.1		0.234
20	AW	5.2		0.770
21	ac	-		-
22	Am	4.1		0.996
23	Ac	8.7		0.941
24	CW	-		-
25	AW	5.4		0.568
26	ANW	3.7		0.829
27	AW	3.5		0.998
28	CW	-		-
29	AW	2.5		0.670
30	CW	16.9		0.994
31	CSW	9.6		0.858

TABLA CV

Fecha	CLASIFICACION Tipo	Noviembre 1968	
		Distancia de Mahalanobis	Probabilidad de Pertenencia
1	GOTA	11.8	0.998
2	cnw	-	-
3	cnw	-	-
4	CNW	3.8	0.969
5	CW	13.0	0.799
6	CW	7.4	0.175
7	CW	4.3	0.951
8	CW	7.8	0.781
9	ANW	5.3	0.943
10	ANW	4.2	0.605
11	(AW)	-	0.57
12	ANW	2.0	0.994
13	CSW	5.1	0.934
14	CSW	10.7	0.896
15	GOTA	24.3	1.000
16	GOTA	25.8	0.246
17	CW	9.3	0.631
18	CW	9.2	0.489
19	CW	21.7	0.035
20	ANW	1.5	0.993
21	ANW	3.4	0.810
22	Ac	8.4	0.964
23	Ac	11.3	0.702
24	ANW	9.1	0.926
25	ANW	6.5	0.933
26	AW	4.1	0.867
27	CW	9.2	0.392
28	GOTA	8.5	0.999
29	GOTA	15.8	0.999
30.	cnw	-	-

TABLA CVI

Fecha	CLASIFICACION Tipo	Diciembre	1968	Probabilidad de Pertenencia
		Distancia de Mahalanobis		
1	ANW	2.3		0.590
2	CW	-		-
3	ANW	6.4		0.992
4	ANW	1.1		0.996
5	AW	4.3		0.952
6	CSW	12.9		0.999
7	CSW	11.7		0.888
8	CSW	4.4		1.000
9	CSW	11.9		0.856
10	GOTA	12.5		0.997
11	CNNE	15.1		0.047
12	anw	-		-
13	ANW	0.7		0.973
14	CNW	12.3		0.643
15	anw	-		-
16	(CW)	-		0.90
17	CW	-		-
18	(CW)	-		0.99
19	CNW	10.9		0.713
20	anw	-		-
21	AW	3.3		0.989
22	(AW)	-		0.96
23	AW	6.4		0.753
24	ANW	3.6		0.989
25	ANW	3.8		0.999
26	ANW	8.4		0.988
27	ANW	3.2		0.998
28	AN	3.6		0.606
29	AN	3.7		0.664
30	AN	2.4		0.837
31	an	-		-

TABLA CVII

Fecha	CLASIFICACION Tipo	Enero	1969
		Distancia de Mahalanobis	Probabilidad de Pertenencia
1	ANE	3.1	0.950
2	Am	4.5	0.908
3	Am	5.8	0.714
4	ANE	10.3	0.060
5	ane	-	-
6	GOTA	9.8	0.999
7	CNW	5.6	0.741
8	(CN)	-	1.00
9	GOTA	16.6	1.000
10	CW	5.7	0.974
11	cw	-	-
12	cw	-	-
13	cw	-	-
14	cw	-	-
15	cw	-	-
16	cw	-	-
17	aw	-	-
18	aw	-	-
19	AW	4.6	0.999
20	AW	0.8	0.996
21	AW	2.7	0.998
22	AW	3.3	1.000
23	anw	-	-
24	ANW	4.7	0.994
25	aw	-	-
26	aw	-	-
27	AW	1.4	0.975
28	aw	-	-
29	AW	2.4	0.935
30	AW	0.6	0.998
31	AM	1.2	0.875

TABLA CVIII

Fecha	Tipo	CLASIFICACION	Febrero	1969
			Distancia de Mahalanobis	Probabilidad de Pertenencia
1	Ac		3.0	0.838
2	gota		-	-
3	CSW		7.2	0.997
4	CNNE		57.9	0.107
5	ane		-	-
6	ANNE		4.4	0.915
7	AW		23.7	0.000
8	GOTA		60.9	0.000
9	(CNW)		-	0.50
10	GOTA		15.7	0.171
11	Am		2.9	0.709
12	anw		-	-
13	GOTA		7.2	0.972
14	CNNE		11.7	0.507
15	CNNE		16.3	0.619
16	(CNNE)		-	1.00
17	CNNE		10.6	0.194
18	CSW		20.0	0.764
19	CSW		10.8	1.000
20	CW.		9.2	0.111
21	CSW		7.1	1.000
22	csw		-	-
23	(CW)		-	0.69
24	CNW		10.8	0.531
25	CNW		4.9	0.890
26	CW		9.3	0.859
27	CW		31.1	0.001
28	CW		11.3	0.981

TABLA CIX

Fecha	CLASIFICACION Tipo	Marzo Distancia de Mahalanobis	1969
			Probabilidad de Pertenencia
1	GOTA	9.7	0.248
2	csw	-	-
3	cnne	-	-
4	cnne	-	-
5	CNNE	9.8	0.986
6	CNNE	12.9	0.816
7	CW	17.3	0.697
8	CNW	11.4	0.738
9	CW	11.5	0.998
10	CW	13.6	0.849
11	ANW	1.7	0.997
12	AW	12.2	0.938
13	csw	-	-
14	csw	-	-
15	csw	-	-
16	csw	-	-
17	CSW	19.0	0.974
18	CSW	8.6	0.795
19	CW	-	-
20	ANW	4.1	0.910
21	CW	18.1	0.734
22	CW	10.6	0.811
23	CNW	9.7	0.568
24	CSW	9.0	0.681
25	csw	-	-
26	CSW	5.9	0.996
27	cnne	-	-
28	CNNE	18.6	0.999
29	anane	-	-
30	ANANE	8.5	1.000
31	ANANE	1.6	1.000

TABLA CX

	CLASIFICACION	Abril	1969
Fecha	Tipo	Distancia de Mahalanobis	Probabilidad de Pertenencia
1	ce	-	-
2	CNNE	13.4	0.034
3	cnne	-	-
4	CNNE	25.9	0.744
5	gota	-	-
6	CNNE	10.2	0.306
7	gota	-	-
8	gota	-	-
9	ANW	20.9	0.365
10	Am	6.3	0.528
11	(Am)	-	0.98
12	Am	8.1	0.611
13	AW	4.8	0.696
14	Am	4.3	0.910
15	Am	8.0	0.930
16	Am	3.6	0.953
17	Am	3.4	0.627
18	Am	1.7	0.987
19	ANW	3.5	0.869
20	CE	14.0	0.916
21	CW	4.6	0.942
22	CW	21.4	0.392
23	aw	-	-
24	aw	-	-
25	cw	-	-
26	cnw	-	-
27	cnne	-	-
28	cnne	-	-
29	cnne	-	-
30	cw	-	-

TABLA CXI

Fecha	CLASIFICACION Tipo	Mayo	1969	Probabilidad de Pertenencia
			Distancia de Mahalanobis	
1	CSW	7.8		0.997
2	CSW	4.0		0.963
3	CSW	-		-
4	CNW	8.8		0.710
5	CW	5.2		0.695
6	aw	-		-
7	ANW	3.1		0.975
8	AW	2.9		0.985
9	aw	-		-
10	ac	-		-
11	ase	-		-
12	ase	-		-
13	AW	15.5		1.000
14	AW	5.3		1.000
15	AW	2.0		0.999
16	AW	7.9		0.367
17	ase	-		-
18	AW	7.9		0.339
19	CE	8.3		1.000
20	CE	21.8		0.682
21	AW	10.6		0.231
22	AW	1.4		0.999
23	CW	14.9		0.963
24	CSW	11.8		0.995
25	CW	6.2		0.865
26	CNW	4.4		0.990
27	CW	10.1		0.908
28	(CW)	-		0.57
29	CW	4.6		0.501
30	ANW	3.7		0.558
31	Am	5.4		0.709

TABLA CXII

Fecha	CLASIFICACION Tipo	Junio Distancia de Mahalanobis	1969	Probabilidad de Pertenencia
1	ANW	10.3		1.000
2	am	-		-
3	AW	1.0		- 0.985
4	anane	-		-
5	T	6.7		1.000
6	gota	-		-
7	gota	-		-
8	gota	-		-
9	gota	-		-
10	gota	-		-
11	GOTA	9.4		0.948
12	GOTA	8.7		0.998
13	gota	-		-
14	gota	-		-
15	CNW	8.4		0.997
16	cnw	-		-
17	anw	-		-
18	CNW	24.1		0.721
19	anw	-		-
20	(AW)	-		0.60
21	CW	15.3		0.999
22	CNW	12.4		1.000
23	CNW	7.4		0.982
24	anw	-		-
25	aw	-		-
26	ac	-		-
27	ase	-		-
28	ase	-		-
29	ASE	6.6		0.928
30	aw	-		-

TABLA CXIII

Fecha	CLASIFICACION Tipo	Julio Distancia de Mahalanobis	1969	Probabilidad de Pertenencia
1	(AB)	-		1.00
2	T	30.9		1.000
3	(Am)	-		0.34
4	(Am)	-		0.52
5	anw	-		-
6	ab	-		-
7	AB	4.3		0.816
8	AB	1.5		0.748
9	am	-		-
10	(Am)	-		1.00
11	Am	6.9		1.000
12	ASE	16.7		0.614
13	ASE	9.1		0.959
14	ASE	4.9		0.998
15	ase	-		-
16	ASE	3.6		0.994
17	ASE	11.3		0.596
18	ASE	13.3		0.997
19	(ASE)	-		0.90
20	ASE	4.3		0.887
21	(ASE)	-		0.91
22	ASE	2.2		0.979
23	ASE	5.9		0.944
24	(ASE)	-		0.93
25	ASE	2.3		0.859
26	Ac	2.3		0.675
27	Ac	1.9		0.834
28	ASE	3.0		0.915
29	ASE	4.5		0.855
30	ASE	4.2		0.879
31	ASE	16.7		0.948

TABLA CXIV

Fecha	Tipo	CLASIFICACION	Agosto	1969	Probabilidad de Pertenencia
			Distancia de Mahalanobis		
1	T		7.7		1.000
2	CW		10.4		1.000
3	(ANW)		-	-	1.00
4	ASE		4.7		0.581
5	ASE		3.6		0.711
6	(ASE)		-	-	0.95
7	ase		-	-	-
8	ASE		2.7		0.996
9	AB		6.7		0.557
10	AB		4.6		0.993
11	AB		4.1		0.992
12	(AB)		-	-	0.96
13	AB		0.5		0.946
14	ab		-	-	-
15	AB		4.6		0.903
16	(AB)		-	-	0.58
17	Ac		1.2		0.919
18	(Ac)		-	-	0.83
19	ASE		1.8		0.767
20	ASE		14.7		0.871
21	(ASE)		-	-	1.00
22	AB		0.8		0.936
23	anane		-	-	-
24	anane		-	-	-
25	AW		2.6		0.935
26	Ac		1.5		0.878
27	ac		-	-	-
28	ac		-	-	-
29	Ac		5.5		0.510
30	t		-	-	-
31	t		-	-	-

TABLA CXV

Fecha	Tipo	CLASIFICACION	Septiembre 1969	Probabilidad de Pertenencia
		Distancia de Mahalanobis		
1	gota	-	-	-
2	gota	-	-	-
3	gota	-	-	-
4	AW	2.0	0.998	
5	AW	2.8	0.992	
6	aw	-	-	-
7	AW	4.3	0.976	
8	AW	6.5	0.668	
9	AW	7.2	0.658	
10	ac	-	-	-
11	ac	-	-	-
12	csw	-	-	-
13	(CW)	-	0.82	
14	cw	-	-	-
15	cw	-	-	-
16	(CW)	-	0.50	
17	(CW)	-	0.63	
18	cw	-	-	-
19	ANW	8.0	0.827	
20	anw	-	-	-
21	am	-	-	-
22	Am	3.5	0.998	
23	Ac	3.2	0.979	
24	ac	-	-	-
25	am	-	-	-
26	Am	14.0	0.663	
27	Am	2.7	0.999	
28	am	-	-	-
29	t	-	-	-
30	t	-	-	-

TABLA CXVI

Fecha	CLASIFICACION Tipo	Octubre Distancia de Mahalanobis	1969 Probabilidad de Pertenencia
1	gota	-	-
2	gota	-	-
3	gota	-	-
4	gota	-	-
5	gota	-	-
6	Am	15.0	0.682
7	Am	8.1	1.000
8	Ac	14.1	0.681
9	AW	3.0	0.999
10	ac	-	-
11	cw	-	-
12	cw	-	-
13	(CW)	-	0.61
14	cw	-	-
15	Am	3.1	0.979
16	Am	6.7	0.579
17	CSW	20.6	0.617
18	CSW	4.4	0.994
19	CSW	9.5	0.895
20	CNW	15.5	0.291
21	gota	-	-
22	(AW)	-	0.97
23	am	-	-
24	Am	2.6	0.985
25	am	-	-
26	Am	1.8	0.998
27	Am	3.3	1.000
28	Am	2.4	1.000
29	Am	6.2	1.000
30	Am	6.0	0.999
31	Am	5.9	0.994

TABLA CXVII

Fecha	CLASIFICACION Tipo	Noviembre 1969	
		Distancia de Mahalanobis	Probabilidad de Pertenencia
1	ac	-	-
2	Ac	8.6	0.668
3	Am	12.0	0.044
4	Am	17.5	0.042
5	ANW	9.6	0.944
6	ANW	8.6	0.997
7	anw	-	-
8	CNW	12.0	0.030
9	CNW	14.1	0.803
10	ANW	3.6	0.684
11	cw	-	-
12	cw	-	-
13	CW	4.7	0.523
14	CNW	12.6	0.608
15	anw	-	-
16	anw	-	-
17	anw	-	-
18	ANANE	4.8	0.991
19	ANANE	3.6	1.000
20	GOTA	39.9	0.992
21	CNW	13.9	0.719
22	CW	13.4	0.097
23	(GOTA)	-	1.00
24	cnne	-	-
25	cnne	-	-
26	cnne	-	-
27	anw	-	-
28	ANANE	12.0	0.772
29	cnne	-	-
30	CNNE	16.9	1.000

TABLA CXVIII

Fecha	Tipo	CLASIFICACION	Diciembre	1969
			Distancia de Mahalanobis	Probabilidad de Pertenencia
1	ane		-	-
2	Am		0.2	0.899
3	ANW		4.1	0.980
4	Am		10.5	0.068
5	anw		-	-
6	anw		-	-
7	cnw		-	-
8	Am		7.6	0.256
9	Ac		8.1	0.055
10	Am		1.3	0.729
11	ANW		2.3	0.899
12	ANW		3.5	0.994
13	AN		3.9	0.756
14	AN		2.5	0.903
15	anw		-	-
16	(AW)		-	1.00
17	ANW		2.9	0.695
18	(CW)		-	0.53
19	ANW		1.9	0.997
20	anw		-	-
21	ANW		5.9	0.996
22	aw		-	-
23	Am		2.8	0.919
24	AN		3.0	0.440
25	cnw		-	-
26	cnne		-	-
27	cnne		-	-
28	CNNE		17.1	0.999
29	cnw		-	-
30	cnw		-	-
31	(CNNE)		-	0.50.

TABLA CXIX

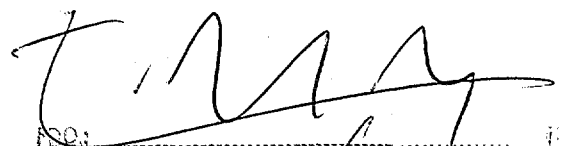
Fecha	CLASIFICACION Tipo	Enero	1970
		Distancia de Mahalanobis	Probabilidad de Pertenencia
1	cnne	-	-
2	(CW)	-	0.02
3	CSW	15.3	0.921
4	(CSW)	-	1.00
5	(CSW)	-	1.00
6	csw	-	-
7	CW	11.2	0.191
8	(CW)	-	0.90
9	cw	-	-
10	cw	-	-
11	CW	7.4	0.928
12	CW	12.9	0.916
13	cw	-	-
14	CSW	6.3	0.999
15	CW	9.0	0.923
16	anw	-	-
17	ANW	2.5	0.936
18	CSW	58.6	1.000
19	CW	3.6	1.000
20	aw	-	-
21	aw	-	-
22	ANW	4.2	0.771
23	CW	13.6	0.989
24	aw	-	-
25	cw	-	-
26	CW	3.9	0.685
27	ANW	4.5	0.561
28	ANW	2.2	0.000
29	AW	2.4	0.959
30	aw	-	-
31	AW	2.8	0.418

TABLA CXX

Fecha	Tipo	CLASIFICACION	Febrero	1970
		Distancia de Mahalanobis		Probabilidad de Pertenencia
1	aw	-		-
2	AW	3.0		0.793
3	anw	-		-
4	AW	1.4		0.937
5	cw	-		-
6	CW	6.2		0.936
7	aw	-		-
8	ANW	3.2		0.766
9	AW	0.7		0.985
10	AW	6.5		0.258
11	aw	-		-
12	aw	-		-
13	CW	4.4		0.803
14	(CNNE)	-		0.50
15	AN	2.1		0.661
16	am	-		-
17	Am	3.1		0.422
18	Ac	3.2		0.914
19	Ac	4.4		0.332
20	ac	-		-
21	Ac	6.8		0.998
22	Ac	4.2		0.975
23	ac	-		-
24	AW	8.5		0.326
25	AW	3.2		0.966
26	anw	-		-
27	an	-		-
28	cnne	-		-

REUNIDO, EN EL DIA DE LA FECHA, EL TRIBUNAL DE ESTA MAESTRÍA CONCEDE  
A LA PRESENTE TESIS DOCTORAL LA CALIF. DE UNA DE ... Apto. con ladríz px univisida  
MADRID, 4 de marzo de 1989.

EL PRESIDENTE,

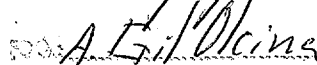
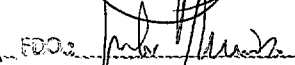


  
SECRETARIO,

FDO.:   
PRIMER VOCAL

FDO.:   
SEGUNDO VOCAL

FDO.:   
TERCER VOCAL

FDO.:   
A. Gil Molina FDO.:   
J. M. Martín Vides